

Cauchon diagrams for quantized enveloping algebras

Antoine M\'eriaux *

*Laboratoire d'\'equations aux d\'eriv\'ees partielles et physique math\'ematique,
U.F.R. Sciences, B.P. 1039, 51687 Reims Cedex 2, France.
antoine.meriaux@univ-reims.fr*

Abstract

Let \mathfrak{g} be a finite dimensional complex simple Lie algebra, \mathbb{K} a commutative field and q a nonzero element of \mathbb{K} which is not a root of unity. To each reduced decomposition of the longest element w_0 of the Weyl group W corresponds a PBW basis of the quantised enveloping algebra $\mathcal{U}_q^+(\mathfrak{g})$, and one can apply the theory of deleting-derivation to this iterated Ore extension. In particular, for each decomposition of w_0 , this theory constructs a bijection between the set of prime ideals in $\mathcal{U}_q^+(\mathfrak{g})$ that are invariant under a natural torus action and certain combinatorial objects called Cauchon diagrams. In this paper, we give an algorithmic description of these Cauchon diagrams when the chosen reduced decomposition of w_0 corresponds to a good ordering (in the sense of Lusztig [Lus90]) of the set of positive roots. This algorithmic description is based on the constraints that are coming from Lusztig's admissible planes [Lus90]: each admissible plane leads to a set of constraints that a diagram has to satisfy to be Cauchon. Moreover, we explicitly describe the set of Cauchon diagrams for explicit reduced decomposition of w_0 in each possible type. In any case, we check that the number of Cauchon diagrams is always equal to the cardinal of W . In [CM08], we use these results to prove that Cauchon diagrams correspond canonically to the positive subexpressions of w_0 . So the results of this paper also give an algorithmic description of the positive subexpressions of any reduced decomposition of w_0 corresponding to a good ordering.

1 Introduction

Let \mathfrak{g} be a finite dimensional complex simple Lie algebra of rank n , \mathbb{K} a commutative field and q a nonzero element of \mathbb{K} which is not a root of unity. We follow the notation and convention of [Jan96] for the quantum group $\mathcal{U}_q(\mathfrak{g})$. In particular, to each choice of a reduced decomposition of the longest Weyl word w_0 of the Weyl group W corresponds a generating system $(X_\beta)_{\beta \in \Phi^+}$ of the positive part $\mathcal{U}_q^+(\mathfrak{g})$ of $\mathcal{U}_q(\mathfrak{g})$ (see Section 3), where Φ^+ denotes the set of positive roots associated to \mathfrak{g} .

The natural action of an n -dimensional torus on $\mathcal{U}_q^+(\mathfrak{g})$ induces a stratification of the prime spectrum $\text{Spec}(\mathcal{U}_q^+(\mathfrak{g}))$ of $\mathcal{U}_q^+(\mathfrak{g})$ via the so-called Stratification Theorem (see [GL00]). In this stratification, the primitive ideals are easily identified: they are the primes of $\mathcal{U}_q^+(\mathfrak{g})$ that are maximal in their strata. This stratification was recently used in [AD08], [Lau07b] and [Lau07a] in order to describe the automorphism group of $\mathcal{U}_q^+(\mathfrak{g})$ in the case where \mathfrak{g} is of type A_2 and B_2 .

As $\mathcal{U}_q^+(\mathfrak{g})$ can be presented as a skew-polynomial algebra, this stratification can also be described via the deleting-derivations theory of Cauchon [Cau03a]. In particular, in this theory, the strata are in a natural bijection with certain combinatorial objects, called Cauchon diagrams, and their geometry is completely described by the associated diagram. In fact, in the above situation, Cauchon diagrams are distinguished subsets of the set of positive roots Φ^+ . (For this reason, we often refer to subsets of Φ^+ as diagrams.) Note that to each reduced decomposition of w_0 corresponds a PBW basis of $\mathcal{U}_q^+(\mathfrak{g})$ and so a notion of Cauchon diagrams.

* Acknowledgements : The author wishes to express gratitude to S. Launois for useful discussions and valuable advices.

The main aim of this paper is to give an algorithmic description of Cauchon diagrams in the case where the reduced decomposition of w_0 corresponds to a good order of Φ^+ (in the sense of [Lus90]). Moreover, in each type, we exhibit a reduced decomposition of w_0 for which we are able to describe explicitly the corresponding Cauchon diagrams.

Our first ingredient in order to obtain an algorithmic description of Cauchon diagrams is the commutation relation between two generators X_β and $X_{\beta'}$ given by Levendorskii and Soibelman [LS91]. These formulas are not explicitly known, so that one cannot easily use them in order to perform the deleting-derivations algorithm. As a consequence, the description of Cauchon diagrams does not seem accessible in the general case. For this reason, we will limit ourselves to the case where the reduced decomposition of w_0 corresponds to a good order on Φ^+ (see [Lus90]). We recall this notion in Section 2. Although we still do not know explicitly all the commutation relations between the generators of $\mathcal{U}_q^+(\mathfrak{g})$, the situation is better as we control enough commutation relations. More precisely, in this case, the commutation relation between two variables X_β , $X_{\beta'}$ is known when β and β' span a so-called admissible plane [Lus90] (see Section 3.4). Those relations allow the (algorithmic) construction of a set of necessary conditions, called *implications*, for a diagram Δ to be a Cauchon diagram (see Section 5.1). In Section 5.2, we prove that these conditions are necessary and sufficient (see Theorem 5.3.1), so that we get an algorithmic description of Cauchon diagrams.

In Section 6, we use this theorem to give an explicit description of these implications and these diagrams for special choices of the reduced decomposition of w_0 . More precisely, in each type, we exhibit a reduced decomposition of w_0 for which we explicitly describe the corresponding Cauchon diagrams. As a corollary, we prove that in each type the number of diagrams is equal to the size $|W|$ of the Weyl group. As the strata do not depend on the choice of the reduced decomposition of w_0 , this implies that the number of strata is always equal to $|W|$. This result was first proved by Gorelik [Gor00] by using different methods, but with the additional assumption that q is transcendental.

In [CM08], we use the results of this paper in order to show that Cauchon diagrams Δ are in one-to-one correspondence with positive sub-expressions \mathbf{w}^Δ of w_0 as defined by Marsh and Rietsch [MR04]. More precisely, assume w_0 has a reduced expression of the form $w_0 = s_{\alpha_1} \circ \dots \circ s_{\alpha_N}$ and that this decomposition corresponds to a good order on Φ^+ . For all $i \in \{1, \dots, N\}$, we set $\beta_i = s_{\alpha_1} \circ \dots \circ s_{\alpha_{i-1}}(\alpha_i)$, so that $\Phi^+ = \{\beta_1 < \dots < \beta_N\}$. For each diagram $\Delta = \{\beta_{i_1} < \dots < \beta_{i_t}\} \subseteq \Phi^+$, we set $w^\Delta := s_{\alpha_{i_1}} \circ \dots \circ s_{\alpha_{i_t}}$. Then we have the following results (see [CM08]).

- If Δ is a Cauchon diagram, the above decomposition of w^Δ is reduced.
- The map $\Delta \rightarrow w^\Delta$ is a bijection from the set \mathcal{D} of Cauchon diagrams to W .

2 Root systems

2.1 Classical results on root systems

Let \mathfrak{g} be a simple complex Lie algebra. Let follow the notations of [Jan96, Chap 4].

Notation.

- We denote by Φ a root system and $E = \text{Vect}(\Phi)$ ($\dim E = n$). When $\Pi := \{\alpha_1, \dots, \alpha_n\}$ is a basis of Φ , one has a decomposition $\Phi = \Phi^+ \sqcup \Phi^-$, where Φ^+ (resp. Φ^-) is the set of positive (resp. negative) roots .
- Denote by W the Weyl group associated to the root system Φ ; it is generated by the reflections $s_{\alpha_i} (= s_i)$, $1 \leq i \leq n$. The longest Weyl word in W is written w_0 .

Definition 2.1.1.

A root system Φ is *reducible* if $\Phi = \Phi_1 \sqcup \Phi_2$ where Φ_1 and Φ_2 are two orthogonal root systems. Otherwise Φ is called *irreducible*.

Let us recall that there is a one to one correspondence between the irreducible root systems and the simple complex Lie algebras of finite dimension. We say that \mathfrak{g} is of a given type if the associated root system is of the same type. The following definitions and results are taken from [Lus90].

Definition 2.1.2.

Let $\Pi = \{\alpha_1, \alpha_2, \dots, \alpha_n\}$ be a basis of Φ and $j \in \llbracket 1, n \rrbracket$ ($:= \{1, 2, \dots, n\}$).

1. The column j is the set $C_j := \{\beta \in \Phi^+ \mid \beta = k_1\alpha_1 + \dots + k_j\alpha_j, k_i \in \mathbb{N}, k_j \neq 0\}$;
2. A root $\beta = k_1\alpha_1 + \dots + k_j\alpha_j \in C_j$ is called *ordinary* if $k_j = 1$; it is called *exceptional* if $k_j = 2$;
3. A column C_j is called *ordinary* if each root β of C_j is ordinary; this column is called *exceptional* if every root β of C_j is ordinary except a unique one (β_{ex}) which is exceptional.

Definition 2.1.3.

A numbering $\Pi = \{\alpha_1, \alpha_2, \dots, \alpha_n\}$ is *good* if all columns C_j are ordinary or exceptional.

Example 2.1.4 (The G_2 case). The root system pf type G_2 has rank 2, there are two simple roots α_1 and α_2 such that $\|\alpha_2\| = \sqrt{3}\|\alpha_1\|$. $\Pi = \{\alpha_1, \alpha_2\}$ is a base for this roots system. The numbering $\Pi = \{\alpha_1, \alpha_2\}$ is good in this case because $C_1 = \{\alpha_1\}$ is ordinary and $C_2 = \{\alpha_2, \alpha_1 + \alpha_2, 2\alpha_1 + \alpha_2, 3\alpha_1 + \alpha_2, 3\alpha_1 + 2\alpha_2\}$ is exceptional.

On the contrary, the numbering $\Pi = \{\alpha_2, \alpha_1\}$ is not good. For this numbering, $C_1 = \{\alpha_2\}$ is ordinary but $C_2 = \{\alpha_1, \alpha_2 + \alpha_1, \alpha_2 + 2\alpha_1, \alpha_2 + 3\alpha_1, 2\alpha_2 + 3\alpha_1\}$ is neither ordinary nor exceptional.

Proposition 2.1.5.

Les \mathfrak{g} be a simple Lie algebra of finite dimension. The following numberings of the associated root system Π are examples of good numberings.

- If \mathfrak{g} is of type A_n , with Dynkin diagram : $\alpha_1 - \alpha_2 - \dots - \alpha_{n-1} - \alpha_n$, then

$$\Pi = \{\alpha_1, \alpha_2, \dots, \alpha_{n-1}, \alpha_n\} \text{ is a good numbering.}$$

- If \mathfrak{g} is of type B_n , with Dynkin diagram : $\alpha_1 \Leftarrow \alpha_2 - \dots - \alpha_{n-1} - \alpha_n$, then

$$\Pi = \{\alpha_1, \alpha_2, \dots, \alpha_{n-1}, \alpha_n\} \text{ is a good numbering.}$$

- If \mathfrak{g} is of type C_n , with Dynkin diagram : $\alpha_1 \Rightarrow \alpha_2 - \dots - \alpha_{n-1} - \alpha_n$, then

$$\Pi = \{\alpha_1, \alpha_2, \dots, \alpha_{n-1}, \alpha_n\} \text{ is a good numbering.}$$

- If \mathfrak{g} is of type D_n , with Dynkin diagram :
$$\begin{array}{ccccccccc} & & \alpha_1 & & & & & & \\ & & \backslash & & & & & & \\ & & \alpha_3 & - & \alpha_4 & - & \cdots & - & \alpha_{n-1} & - & \alpha_n \\ & & / & & & & & & \\ & & \alpha_2 & & & & & & \end{array}$$
, then

$$\Pi = \{\alpha_1, \alpha_2, \dots, \alpha_{n-1}, \alpha_n\} \text{ is a good numbering.}$$

- If \mathfrak{g} is of type G_2 , with Dynkin diagram : $\alpha_1 \Leftarrow \alpha_2$, then

$$\Pi = \{\alpha_1, \alpha_2\} \text{ is a good numbering.}$$

- If \mathfrak{g} is of type F_4 , with Dynkin diagram : $\alpha_1 - \alpha_2 \Rightarrow \alpha_3 - \alpha_4$, then

$$\Pi = \{\alpha_4, \alpha_3, \alpha_2, \alpha_1\} \text{ is a good numbering.}$$

- If \mathfrak{g} is of type E_6 , with Dynkin diagram :
$$\begin{array}{ccccccccc} & & & & \alpha_2 & & & & \\ & & & & | & & & & \\ \alpha_1 & - & \alpha_3 & - & \alpha_4 & - & \alpha_5 & - & \alpha_6 \end{array}$$
, then,

$$\Pi = \{\alpha_2, \alpha_5, \alpha_4, \alpha_3, \alpha_1, \alpha_6\} \text{ is a good numbering.}$$

- If \mathfrak{g} is of type E_7 , with Dynkin diagram :
$$\begin{array}{ccccccccc} & & & & \alpha_2 & & & & \\ & & & & | & & & & \\ \alpha_1 & - & \alpha_3 & - & \alpha_4 & - & \alpha_5 & - & \alpha_6 & - & \alpha_7 \end{array}$$
, then

$$\Pi = \{\alpha_2, \alpha_5, \alpha_4, \alpha_3, \alpha_1, \alpha_6, \alpha_7\} \text{ is a good numbering.}$$

- If \mathfrak{g} is of type E_8 , with Dynkin diagram :

$$\alpha_1 - \alpha_3 - \overset{\alpha_2}{|} \alpha_4 - \alpha_5 - \alpha_6 - \alpha_7 - \alpha_8 , \text{ then}$$

 $\Pi = \{\alpha_2, \alpha_5, \alpha_4, \alpha_3, \alpha_1, \alpha_6, \alpha_7, \alpha_8\}$ is a good numbering.

The corresponding columns with these numberings are given explicitly in the section 3 and one could verify that each column is ordinary or exceptional. In the following, the chosen numbering on Π is always a good one. From Section 6, we use the numbering from the previous proposition.

2.2 Lusztig order

The following definition is from [Lus90, section 4.3].

Definition 2.2.1.

- For a root $\beta = k_1\alpha_1 + \dots + k_j\alpha_j \in C_j$, the *height* of β is the positive integer $h(\beta) := k_1 + \dots + k_j$; the *Lusztig height* of β is the rational number $h'(\beta) := \frac{1}{k_j}h(\beta)$.
- If $t \in h'(C_j)$, then the set $B^{j,t} := \{\beta \in C_j | h'(\beta) = t\}$ is called *the box of height t in the column C_j* .

Remark 2.2.2.

$$C_j = \bigsqcup_{t \in \mathbb{N}^*} B^{j,t}.$$

Definition 2.2.3 (Lusztig order on Φ^+).

We define a partial order on Φ^+ as follows. Let β_1 and β_2 be two positive roots,

- If $\beta_1 \in C_{j_1}$ and $\beta_2 \in C_{j_2}$ with $j_1 < j_2$, then $\beta_1 < \beta_2$.
- If β_1 and β_2 are in the same column C_j and if $h'(\beta_2) < h'(\beta_1)$, then $\beta_1 < \beta_2$.

One can refine the previous partial order in a total one by choosing arbitrarily an order inside the boxes. Such a total order on Φ^+ is called "*a*" Lusztig order.

Observation. • α_j is the greatest root in C_j for any Lusztig order.

- The positive roots of a box are consecutive for any Lusztig order, that is, $B^{j,t} = \{\beta_p, \beta_{p+1}, \dots, \beta_{p+l}\}$.
- Any Lusztig order induces an order on boxes. For example, the box before $B^{j,t}$ in the column C_j is $B^{j,t+1}$.

Proposition 2.2.4.

Let $j \in \{2, \dots, n\}$. Assume C_j is an exceptional column, we denote by β_{ex} its exceptional root. Then :

1. $\beta_{ex} \perp (C_1 \sqcup \dots \sqcup C_{j-1})$
2. If $D = \langle \beta_{ex} \rangle$ and if s_D is the orthogonal against D , then :
 - $s_D(C_j) = C_j$ and for any $\beta \in C_j \setminus \{\beta_{ex}\}$, we have $\beta + s_D(\beta) = \beta_{ex}$.
 - Let $B^{j,t}$ be a box different from the box which contain β_{ex} . Then s_D transforms $B^{j,t}$ into $B^{j,h(\beta_{ex})-t}$.

Proof :

1. Let $\beta \in C_1 \cup \dots \cup C_{j-1}$. If β is not orthogonal to β_{ex} , then $s_\beta(\beta_{ex}) = \beta_{ex} + k\beta$ ($k \in \mathbb{Z} \setminus \{0\}$) is a root of C_j whose coordinate on α_j is equal to 2. This is a contradiction with the unicity of the exceptional root.
2. We observe that $s_D = -s_{\beta_{ex}}$, so that $s_D(\Phi) = \Phi$.
 - Let β be an ordinary root of C_j . We can decompose this root

$$\beta = a_1\alpha_1 + \dots + a_{j-1}\alpha_{j-1} + \frac{1}{2}\beta_{ex} \quad (a_i \in \mathbb{Q}).$$

From 1. we deduce that $s_D(\beta) = -a_1\alpha_1 - \dots - a_{j-1}\alpha_{j-1} + \frac{1}{2}\beta_{ex} = \beta_{ex} - \beta$. This is a root from the previous observation. This root is clearly in C_j since β is in $C_j \setminus \{\beta_{ex}\}$.

- By the previous assertion, s_D transforms two element from $B^{j,t}$ into two roots of the same height. We deduce from this fact (and from the fact that s_D is an involution) that $s_D(B^{j,t})$ is a box denoted by $B^{j,s}$. The formula $t+s = h(\beta_{ex})$ is a consequence of the previous assertion.

□

Definition 2.2.5.

The support of a root $\beta = a_1\alpha_1 + \dots + a_j\alpha_j \in C_j$ is the set $Supp(\beta) := \{\alpha_i \in \Pi \mid a_i \neq 0\}$. In particular, for $\beta \in C_j$, we have $Supp(\beta) \subset \{1, \dots, j\}$.

We are now ready to prove that the box containing the exceptional root of an exceptional column is reduced to the exceptional root.

Proposition 2.2.6.

Let $j \in \{2, \dots, n\}$. Assume C_j is an exceptional column and denote by β_{ex} its exceptional root. Then $h'(\beta_{ex}) \notin \mathbb{N}$, so that β_{ex} is alone in its box.

Proof : Denote $\Pi_j = \{\alpha_1, \dots, \alpha_j\}$ and $\Phi_j = \Phi \cap Vect(\Pi_j)$. Then Φ_j is a root system with basis Π_j and $\Phi_j^+ = \Phi^+ \cap Vect(\Pi_j)$.

Let us consider the case where Φ_j irreducible. Then we have

Observation 1. If β is a root of Φ_j^+ of maximal height then $\beta \in C_j$.

Proof of Observation 1. :

Assume that $\beta \in C_i$ with $i < j$. In the Dynkin diagram of Φ_j which is convex as Φ_j is irreducible, we can construct a path from α_i to α_j . Denote this path by $P = (\alpha_{i_1}, \dots, \alpha_{i_t})$, where $i_1 = i$ and $i_t = j$. We know that $\alpha_i \in Supp(\beta)$ and that $\alpha_j \notin Supp(\beta)$. So there is a smallest index l such that $\alpha_{i_l} \in Supp(\beta)$ and $\alpha_{i_{l+1}} \notin Supp(\beta)$. Thus, for all $\alpha \in Supp(\beta)$, we have $\langle \alpha, \alpha_{i_{l+1}} \rangle \leq 0$ and, since α_{i_l} and $\alpha_{i_{l+1}}$ are two consecutive elements from P, we have $\langle \alpha_{i_l}, \alpha_{i_{l+1}} \rangle < 0$. We deduce that, $\langle \beta, \alpha_{i_{l+1}} \rangle < 0$ thus $\beta + \alpha_{i_{l+1}} \in \Phi_j^+$ which contradicts the maximality of the height of β .

Observation 2. β_{ex} is the largest root of Φ_j .

Proof of Observation 2. : Let β be a largest root in Φ_j . We assume that $\beta \neq \beta_{ex}$. By the previous observation, we know that $\beta \in C_j$ and, by Proposition 2.2.4, $\beta_{ex} = \beta + s_D(\beta)$ is a sum of two positive roots, thus its height is greater than the height of β . So β is equal to β_{ex} .

We note that the existence of an exceptional root implies that Φ_j is not of type A_j . So Φ_j is of type $B_j, C_j, D_j, E_6, E_7, E_8, F_4$ or G_2 and, we deduce from [Bou68] that the height of the largest root is odd. Hence it follows from Observation 2. that the height of β_{ex} is odd, so that $h'(\beta_{ex}) \notin \mathbb{N}$.

Let us now assume that Φ_j is reducible. Denote by Γ_j the Dynkin diagram whose vertices are $\alpha_1, \dots, \alpha_j$, and whose edges come from the Dynkin diagram of Φ . We note Π' the connected component of α_j in Γ_j ;

$$\Pi' := \{\alpha_i \in \Pi_j \mid \text{there exists a path contained in } \Gamma_j \text{ connecting } \alpha_i \text{ to } \alpha_j\}.$$

We note $\Phi' = \Phi \cap Vect(\Pi')$. It is a root system, with basis Π' , and we have $\Phi'^+ = \Phi^+ \cap Vect(\Pi')$.

Observation 3. $C_j \subseteq \Phi'^+$.

Proof of Observation 3. :

Otherwise, there is a root in $C_j \setminus \Phi'^+$. If β is such a root, there is a simple roots in its support which is also in the set $\Pi_j \setminus \Pi'$. As the support of β contains $\alpha_j \in \Pi'$ too, we can write $\beta = u + v$ with $u = \alpha_{i_1} + \dots + \alpha_{i_l}$ whose support is a subset of $\Pi_j \setminus \Pi'$ and $v = \alpha_{i_{l+1}} + \dots + \alpha_{i_p}$ whose support is a subset of Π' . Let us choose β such that the integer l is minimal.

- If $l = 1$, then $\beta = \alpha_{i_1} + v$. As $\alpha_{i_1} \notin \Pi'$, there is no link between α_{i_1} and the element of $Supp(v)$. Then $s_{i_1}(\beta) = -\alpha_{i_1} + v \in \Phi$, which is impossible because the coordinates of this root in the basis Π do not have the same sign.
- So $l \geq 2$. As $\langle u, u \rangle > 0$, there exists a root in $Supp(u)$, for example α_{i_l} , such that $\langle u, \alpha_{i_l} \rangle > 0$. As above, we have :

$$\langle v, \alpha_{i_l} \rangle = 0 \Rightarrow \langle \beta, \alpha_{i_l} \rangle > 0 \Rightarrow \beta' = \beta - \alpha_{i_l} \in C_j \setminus \Phi'^+,$$

which is a contradiction with the minimality of l .

So we can conclude that $C_j \subseteq \Phi'^+$.

Hence C_j is an exceptional column of Φ' which is irreducible by construction. The proof above also shows that the exceptional root β_{ex} satisfies $h'(\beta_{ex}) \notin \mathbb{N}$.

□

We can now prove that any Lusztig order is a convex order.

Proposition 2.2.7.

" $<$ " is a convex order over Φ^+

Proof : Let $\beta_1 < \beta_2$ be two positive roots such that $\beta_1 + \beta_2 \in \Phi^+$.

- If the two roots β_1 and β_2 do not belong to the same column, then $\beta_1 + \beta_2$ is in the same column as β_2 . In this case, neither β_2 , nor $\beta_1 + \beta_2$ are exceptional and

$$h'(\beta_1 + \beta_2) = h(\beta_1 + \beta_2) = h(\beta_1) + h(\beta_2) > h(\beta_2) = h'(\beta_2).$$

Hence we have : $\beta_1 < \beta_1 + \beta_2 < \beta_2$.

- If the two roots β_1 and β_2 belong to the same column, then $\beta_1 + \beta_2$ is an exceptional root. We deduce from Proposition 2.2.4 that $h'(\beta_1 + \beta_2) = \frac{h'(\beta_1) + h'(\beta_2)}{2}$. Proposition 2.2.6 excludes the case where $h'(\beta_1 + \beta_2) = h'(\beta_1) = h'(\beta_2)$ because the exceptional root is alone in its box. So we get $h'(\beta_1) > h'(\beta_1 + \beta_2) > h'(\beta_2)$, so that $\beta_1 < \beta_1 + \beta_2 < \beta_2$.

□

Consider a reduced decomposition of $w_0 = s_{i_1} \circ s_{i_2} \circ \dots \circ s_{i_N}$ of the longest Weyl word w_0 . For all $j \in \llbracket 1, N \rrbracket$, we set $\beta_j := s_{i_1} \circ s_{i_2} \circ \dots \circ s_{i_{j-1}}(\alpha_{i_j})$. Then it is well known (cf, for example, [BG02, I.5.1]) that $\{\beta_1, \dots, \beta_N\} = \Phi^+$. For each integer $j \in \llbracket 1, N \rrbracket$, we say that α_{i_j} is the simple root associated to the positive root β_j .

We define an order on Φ^+ by setting $\beta_i \prec \beta_j$ when $i < j$. We say that " \prec " is the order associated to the reduced decomposition $w_0 = s_{i_1} \circ s_{i_2} \circ \dots \circ s_{i_N}$ of w_0 .

In [Pap94, Theorem and remark page 662], it is shown that this is a convex order and that this leads to a one to one correspondence between reduced decompositions of w_0 and convex orders on Φ^+ .

Hence, as the Lusztig order " $<$ " is convex, there is a unique reduced decomposition

$w_0 = s_{i'_1} \circ s_{i'_2} \circ \dots \circ s_{i'_N}$ of w_0 whose associated order is " $<$ ". In this article, we always choose this decomposition for w_0 .

The following proposition of Lusztig [Lus90, section 4.3] explains the behaviour of the positive roots inside (non-exceptional) boxes.

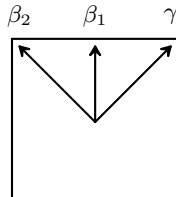
Proposition 2.2.8.

Inside each ordinary box (box which does not contain the exceptional root), roots are pairwise orthogonal. Moreover, simple roots associated to the positive roots of a given box are pairwise orthogonal.

Proof : For the type G_2 , explicit computations leads to the result. We now assume that \mathfrak{g} is a finite dimensional simple Lie algebra which is not of type G_2 . Recall that the positive roots of a box are consecutive. Let β_1 and β_2 be two consecutive roots of a box B in the column C_j . We note α_{i_1} and α_{i_2} the associated simple roots.

Suppose that α_{i_1} is not orthogonal to α_{i_2} , hence $\lambda = -\langle \alpha_{i_1}^\vee, \alpha_{i_2} \rangle = 1$ or 2 (recall that \mathfrak{g} is not of type G_2). So we can write $\beta_2 = w \circ s_{i_1}(\alpha_{i_2}) = w(\lambda\alpha_{i_1} + \alpha_{i_2}) = \lambda\beta_1 + w(\alpha_{i_2})$. As $w(\alpha_{i_2}) \in \Phi$, we must have $\lambda = 2$, otherwise $h(w(\alpha_{i_2})) = h(\beta_2) - h(\beta_1) = 0$, which is absurd.

In this case, $\gamma = -w(\alpha_{i_2}) = 2\beta_1 - \beta_2 \in C_j$ and $h(\gamma) = 2h(\beta_1) - h(\beta_2) = h(\beta_1)$. As β_1 and β_2 are distinct roots, so they are not collinear. So the set $\Phi' = \Phi \cap \text{Vect}(\beta_1, \beta_2)$ is a root system of rank 2 which contains β_1, β_2, γ and their opposites. The equality $2\beta_1 = \gamma + \beta_2$ allows to state that Φ' is of type B_2 and that the situation is the following one :



So $\gamma - \beta_1 \in \Phi$, with $h(\gamma - \beta_1) = h(\gamma) - h(\beta_1) = 0$. This is impossible, and so $\alpha_{i_1} \perp \alpha_{i_2}$.

Then we get $\langle \beta_1, \beta_2 \rangle = \langle w(\alpha_{i_1}), w(s_{i_1}(\alpha_{i_2})) \rangle = \langle \alpha_{i_1}, s_{i_1}(\alpha_{i_2}) \rangle = \langle \alpha_{i_1}, \alpha_{i_2} \rangle = 0$, as desired. This finishes the case where the two roots are consecutive. One concludes using an induction on the "distance" between the two roots β_1 and β_2 . \square

Convention.

For $j \in \llbracket 1, n \rrbracket$, denote δ_j the smallest root of C_j . Let us recall that α_j is the largest root of C_j .

Proposition 2.2.9.

δ_j and α_j are alone in their boxes.

Proof : The root α_j is alone in its box because it is the only roots of C_j whose height is equal to 1.

To prove that δ_j is alone in its box, we need the following result.

Lemma 2.2.10.

Let $1 \leq l \leq N$ and $1 \leq m \leq n$. Set $\Pi_m := \{\alpha_1, \dots, \alpha_m\}$. If $\beta_l = s_{i_1} \dots s_{i_{l-1}}(\alpha_{i_l})$ is in the column C_m , then $\alpha_{i_l} \in \Pi_m$ for $j \in \llbracket 1, l \rrbracket$.

Proof : The proof is by induction on l .

If $l = 1$, then $\beta_1 = \alpha_1 \in \Pi_1$.

If $l \geq 2$, then β_{l-1} is in the column C_m or C_{m-1} . By the induction hypothesis, it implies that $\alpha_{i_t} \in \Pi_m$ (or $\alpha_{i_t} \in \Pi_{m-1} \subset \Pi_m$) for $t \in \llbracket 1, l-1 \rrbracket$. We observe that $\beta_l = s_{i_1} \dots s_{i_{l-1}}(\alpha_{i_l}) = \alpha_{i_l} + n_{l-1}\alpha_{i_{l-1}} + \dots + n_1\alpha_{i_1}$ where each n_t is in \mathbb{Z} . As $\beta_l \in C_m$, necessarily $\alpha_{i_l} \in \Pi_m$. \square

Back to the proof of Proposition 2.2.9 :

There is an integer $1 \leq l \leq N$ such that $\delta_j = \beta_l = s_{i_1} \circ s_{i_2} \circ \dots \circ s_{i_{l-1}}(\alpha_{i_l})$. As above, $\beta_l = \alpha_{i_l} + n_{l-1}\alpha_{i_{l-1}} + \dots + n_1\alpha_{i_1}$ ($n_t \in \mathbb{Z}$) with $\alpha_{i_1}, \dots, \alpha_{i_{l-1}}$ in Π_{j-1} since $\beta_{l-1} \in C_{j-1}$. As $\beta_l \in C_j$, it implies that $\alpha_{i_l} = \alpha_j$.

If $\delta_j (= \beta_l)$ is not alone in its box, then β_{l+1} is also in this box and one has (Proposition 2.2.8) $\alpha_{i_l} \perp \alpha_{i_{l+1}}$. By the previous lemma, it implies that $\alpha_{i_{l+1}} \in \Pi_j \setminus \{\alpha_j\} = \Pi_{j-1}$ and $\beta_{l+1} = s_{i_1} \circ s_{i_2} \circ \dots \circ s_{i_{l-1}} \circ s_{i_l}(\alpha_{i_{l+1}}) = s_{i_1} \circ s_{i_2} \circ \dots \circ s_{i_{l-1}}(\alpha_{i_{l+1}}) = \alpha_{i_{l+1}} + n'_{l-1}\alpha_{i_{l-1}} + \dots + n'_1\alpha_{i_1}$ ($n'_t \in \mathbb{Z}$), which contradicts the hypothesis $\beta_{l+1} \in C_j$. \square

Let us recall the following result (see, for example, [Hum78, Lemma 9.4]).

Lemma 2.2.11.

Let β and δ be two distinct roots of Φ^+ such that $\langle \beta, \delta \rangle \neq 0$

- If $\langle \beta, \delta \rangle > 0$, then $\beta - \delta \in \Phi$.
- If $\langle \beta, \delta \rangle < 0$, then $\beta + \delta \in \Phi$.

Proposition 2.2.12.

Let β be an ordinary root of a column C_j . Denote (as in the proof of Proposition 2.2.6) by Γ_j the diagram whose vertices are $\alpha_1, \dots, \alpha_j$, and whose edges are the edges from the Dynkin diagram of Φ . Denote by Ω_j the connected component of α_j in Γ_j .

1. If $\beta \neq \alpha_j$ then there exists $\epsilon \in \{\alpha_1, \dots, \alpha_{j-1}\}$ such that $\beta - \epsilon \in C_j$.

2. $\text{Supp } \beta \subset \Omega_j$.

3. If $\beta \neq \delta_j$ then there exists $\epsilon \in \{\alpha_1, \dots, \alpha_{j-1}\}$ such that $\beta + \epsilon \in C_j$.

Proof : One verifies that this proposition is true in the case G_2 thanks to the description of the columns given in Example 2.1.4. Assume from now on that the root system is not of type G_2 . Set $\Pi_j = \{\alpha_1, \dots, \alpha_j\}$.

1. If it exists $\epsilon \in \Pi_j \setminus \{\alpha_j\}$ such that $\langle \beta, \epsilon \rangle > 0$, one concludes with Lemma 2.2.11. So let us assume that for all $\epsilon \in \Pi_j \setminus \{\alpha_j\}$, we have $\langle \beta, \epsilon \rangle \leq 0$.

As $\langle \beta, \beta \rangle > 0$ then $\langle \beta, \alpha_j \rangle > 0$ and $\beta - \alpha_j = \gamma_1 \in \Phi^+$ with $\alpha_j \notin \text{Supp}(\gamma_1)$. One can write $\beta = \beta_1 + \gamma_1$ with $\beta_1 = \alpha_j \in C_j$ and, since β is ordinary, we get $\alpha_j \notin \text{Supp}(\gamma_1)$. Since $\beta \neq \alpha_j$, one has $h(\beta) \geq 2$ and we will prove by induction that, for each integer $i \in \llbracket 1, h(\beta) - 1 \rrbracket$, one has $\beta = \beta_i + \gamma_i$ with $\beta_i \in C_j$, $\gamma_i \in \Phi^+$ and $h(\beta_i) = i$.

- As $h(\beta_1) = h(\alpha_j) = 1$, the result is proved for $i = 1$.
- Let us assume that the result is proved for i with $1 \leq i < h(\beta) - 1$ and observe that, since β is ordinary, $\gamma_i \notin C_j$ so that $\text{Supp}(\gamma_i) \subset \Pi_{j-1}$. As $\langle \gamma_i, \gamma_i \rangle > 0$, there is $\epsilon \in \Pi_{j-1}$ such that $\langle \gamma_i, \epsilon \rangle > 0$. As $i < h(\beta) - 1$, one has $h(\gamma_i) > 1$. Hence $\gamma_i \neq \epsilon$, and so we deduce from Lemma 2.2.11 that $\gamma_{i+1} := \gamma_i - \epsilon$ belongs to Φ^+ . So $\langle \beta, \epsilon \rangle = \langle \beta_i, \epsilon \rangle + \langle \gamma_i, \epsilon \rangle$ and, since $\langle \beta, \epsilon \rangle \leq 0$, one has $\langle \beta_i, \epsilon \rangle < 0$. So we deduce from Lemma 2.2.11 that $\beta_{i+1} := \beta_i + \epsilon \in C_j$. Hence, $\beta = \beta_{i+1} + \gamma_{i+1}$ with $\beta_{i+1} \in C_j$ and $h(\beta_{i+1}) = h(\beta_i) + 1$.

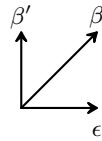
So we have proved the result and, for $i = h(\beta) - 1$, one has $h(\gamma_i) = 1$. So, since β is ordinary, we have $\epsilon := \gamma_i \in \Pi_{j-1}$ and $\beta - \epsilon = \beta_i \in C_j$.

2. The proof is by induction on $h(\beta)$.

If $h(\beta) = 1$, one has $\beta = \alpha_j \in \Omega_j$.

If $h(\beta) > 1$, we deduce from 1. that it exists $\epsilon \in \Pi_{j-1}$ such that $\beta' := \beta - \epsilon \in C_j$. So β' is ordinary and $h(\beta') = h(\beta) - 1$ so that, by the induction hypothesis, $\text{Supp } \beta' \subset \Omega_j$. It remains to prove that $\epsilon \in \Omega_j$.

If $\epsilon \notin \Omega_j$, then $\epsilon \perp \alpha$ for all $\alpha \in \text{Supp } \beta'$. As a result, $\epsilon \perp \beta'$. Let us consider the plane $P = \langle \beta, \epsilon \rangle$ and observe that $\Phi_P = \Phi \cap P$ is a root system of rank 2. As Φ is not of type G_2 , Φ_P is not of type G_2 as well. This forces Φ_P to be of type B_2 . So one has the following configuration :



As a result, $\beta' - \epsilon$ is a root. As $\text{Supp } \beta' \subset \Omega_j$, one has $\epsilon \notin \text{Supp } \beta'$ which is a contradiction with $\beta' - \epsilon$ being a root. So, one has $\epsilon \in \Omega_j$ and then, $\text{Supp } \beta \subset \Omega_j$.

3. Let β be a root of C_j , not equal to δ_j . If it exists $\epsilon \in \Pi_{j-1}$ such that $\langle \beta, \epsilon \rangle < 0$ then one concludes thanks to Lemma 2.2.11.

Let us assume that $\langle \beta, \epsilon \rangle \geq 0$ for all $\epsilon \in \Pi_{j-1}$. If $\langle \beta, \alpha_j \rangle < 0$, then C_j is exceptional and $\beta + \alpha_j = \beta_{ex}$. We deduce from Proposition 2.2.4 that s_D switches α_j and δ_j , so that, $\beta_{ex} = \alpha_j + \delta_j$. It implies that $\beta = \delta_j$ which is a contradiction with the hypothesis. So one has $\langle \beta, \alpha_j \rangle \geq 0$ and then, $\langle \beta, \epsilon \rangle \geq 0$ for all $\epsilon \in \Pi_j$.

Before finishing the proof, we need to establish two intermediaire results.

Observation 1. $\text{Supp}(\delta_j) = \Omega_j$.

Proof of Observation 1.

From 2. one has $\text{Supp}(\delta_j) \subset \Omega_j$. Let us suppose that this inclusion is a strict one and consider $\alpha \in \Omega_j \setminus \text{Supp}(\delta_j)$. As Ω_j is connected, there exist $\alpha'_1, \alpha'_2, \dots, \alpha'_s$ in Ω_j , with $s \geq 2$, such that $\alpha'_1 = \alpha, \alpha'_s \in \text{Supp}(\delta_j)$ and, for $1 \leq i < s$, $\langle \alpha'_i, \alpha'_{i+1} \rangle < 0$.

Let k be the greatest integer such that $\alpha'_k \notin \text{Supp}(\delta_j)$. One has $k < s$ and $\alpha'_{k+1} \in \text{Supp}(\delta_j)$. As δ_j is then a linear combination whose coefficients are positive integers of simple roots which are not equal to α'_k and, as the scalar product of two distinct simple roots is nonpositive, one has :

$$\langle \alpha'_k, \delta_j \rangle \leq \langle \alpha'_k, \alpha'_{k+1} \rangle < 0.$$

Then we deduce from Lemma 2.2.11 that $\delta_j + \alpha'_k \in C_j \setminus \{\beta_{ex}\}$, which is a contradiction with the fact that δ_j is the smallest root of C_j .

Observation 2. $\langle \beta, \delta_j \rangle > 0$

Proof of Observation 2.

As $\langle \beta, \beta \rangle > 0$, there is $\alpha \in \text{Supp}(\beta)$ such that $\langle \beta, \alpha \rangle > 0$. By 2. and Observation 1, one has $\alpha \in \text{Supp } \delta_j$. As we have already proved that $\langle \beta, \epsilon \rangle \geq 0$ for all $\epsilon \in \Pi_j$, one has $\langle \beta, \epsilon \rangle \geq 0$ for all $\epsilon \in \text{Supp } \delta_j = \Omega_j \subset \Pi_j \Rightarrow \langle \beta, \delta_j \rangle \geq \langle \beta, \alpha \rangle > 0$.

By Observation 2 and Lemma 2.2.11, we have $\gamma_1 := \delta_j - \beta \in \Phi^+$ and, since β and δ_j are ordinary roots of C_j , $\text{Supp}(\gamma_1) \subset \Pi_{j-1}$. We prove now, by decreasing induction that, for each integer $i \in \llbracket 1, h(\delta_j - \beta) \rrbracket$, there exists

$\rho_i \in \Phi^+$ with $\text{Supp}(\rho_i) \subset \Pi_{j-1}$, such that $h(\rho_i) = i$ and $\beta + \rho_i \in C_j$.

- For $i = h(\delta_j - \beta)$, the result holds with $\rho_i = \gamma_1$.
- Assume $i \in [\![2, h(\delta_j - \beta)]\!]$ and assume that there exists ρ_i such that $\eta_i = \beta + \rho_i \in C_j$. As $\langle \rho_i, \rho_i \rangle > 0$, there is $\epsilon \in \text{Supp}(\rho_i) \subset \Pi_{j-1}$ such that $\langle \rho_i, \epsilon \rangle > 0$. As we have already proved that $\langle \beta, \epsilon \rangle \geq 0$, this implies that $\langle \eta_i, \epsilon \rangle > 0$. So we deduce from Lemma 2.2.11 that $\eta_{i-1} := \eta_i - \epsilon \in C_j$ and $\rho_{i-1} := \rho_i - \epsilon \in \Phi^+$. Clearly one has $\text{Supp}(\rho_{i-1}) \subset \Pi_{j-1}$, $h(\rho_{i-1}) = i-1$ and $\beta + \rho_{i-1} = \eta_{i-1} \in C_j$. So the result holds and, for $i = 1$, $\epsilon := \rho_1 \in \Pi_{j-1}$ and $\beta + \epsilon \in C_j$.

□

Proposition 2.2.13.

Let $j \in [\![1, n]\!]$.

1. If C_j is ordinary, then $h'(C_j)$ is an interval of the form $[\![1, t]\!]$,
2. If C_j is exceptional, then $h'(C_j \setminus \{\beta_{ex}\})$ is an interval of the form $[\![1, 2t]\!]$ ($t \in \mathbb{N}^*$). Moreover we have $h'(\beta_{ex}) = t + \frac{1}{2}$.

Proof : The fact that $h'(C_j)$ in the ordinary case (resp. $h'(C_j \setminus \{\beta_{ex}\})$ in the exceptional case) is an interval of integers comes from Proposition 2.2.12. It contains $1 = h(\alpha_j)$, and so the first case is proved.

Let us assume that C_j is exceptional. Denote by B_1, \dots, B_t the boxes which contain the roots smaller than β_{ex} for the Lusztig order. For these boxes, we have $h'(B_i) > h'(\beta_{ex})$. But the relation $h(B_i) + h(B'_i) = h(\beta_{ex})$, for the image B'_i of B_i by s_D , implies $h'(B_i) > h'(\beta_{ex}) > h'(B'_i)$. So we have exactly t boxes appearing after β_{ex} and the interval $h'(C_j \setminus \{\beta_{ex}\})$ is of the form $[\![1, 2t]\!]$ ($t \in \mathbb{N}^*$).

Moreover $h(\beta_{ex}) = h(\alpha_j + s_D(\alpha_j)) = 1 + 2t$ and finally $h'(\beta_{ex}) = t + \frac{1}{2}$.

□

We now recall the notion of admissible planes introduced by Lusztig in [Lus90, Section 6.1].

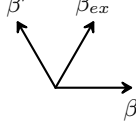
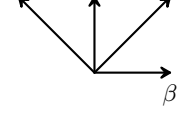
Definition 2.2.14.

We call *admissible plane* $P := \langle \beta, \beta' \rangle$ a plane spanned by two positive roots β and β' such that : β belongs to an exceptional column C_j and $\beta' = s_D(\beta)$ is such that $|h'(\beta') - h'(\beta)| = 1$. (In this case $\beta + \beta' = \beta_{ex}$ and $h'(\beta_{ex}) = t \pm \frac{1}{2}$).

or β is an ordinary root in any column C_j and $\beta' = \alpha_i$ with $i < j$. We set $\Phi_P := \Phi \cap P$ and $\Phi_P^+ := \Phi^+ \cap P$.

Remark 2.2.15. If Φ_P is of type G_2 then $\Phi = G_2$ (due to the lengths of the roots).

If Φ is not of type G_2 then the first condition leads to two different type of admissible planes, Φ_P^+ is of one of the following type :

Type (1.1)	Type (1.2)
	
A_2	B_2
$\beta > \beta_{ex} > \beta'$	$\beta > \beta_{ex} > \beta' > \alpha_i$

The second condition leads to four types of admissible planes, Φ_P^+ is of one of the following types :

Type (2.1)	Type (2.2)	Type (2.3)	Type (2.4)
A_2	B_2 with long α_i	B_2 with short α_i	$A_1 \times A_1$
$\beta_1 > \beta_2 > \alpha_i$	$\beta > \beta_{ex} > \beta' > \alpha_i$	$\beta_1 > \beta_2 > \beta_3 > \alpha_i$	$\beta > \alpha_i$

We note that types (1.2) and (2.2) are the same.

3 The quantized enveloping algebra $\mathcal{U}_q(\mathfrak{g})$

Let \mathbb{K} be a field of characteristic not equal to 2 and 3, and q an element \mathbb{K}^* which is not a root of unity. Firstly, we recall definitions about $\mathcal{U}_q(\mathfrak{g})$ and $\mathcal{U}_q^+(\mathfrak{g})$ using notations from [Jan96, chap4]. We recall then the Poincare-Birkhoff-Witt bases of $\mathcal{U}_q(\mathfrak{g})$ construction using Lusztig automorphisms. There are several ways to construct the so called Lusztig automorphisms, we recall here three different methods. The Lusztig's one follows [Lus90, Section 3], Jantzen's one, which is the same as De Concini, Kac et Procesi, is explained in [Jan96, Section 8.14] and [DCKP95, Section 2.1] and a third one is necessary to establish a link between the two others. We will explain each method and then see the links between the obtained bases.

3.1 Recalls on $\mathcal{U}_q(\mathfrak{g})$

Notation.

For all a and n integers such that $a \geq n \geq 0$, we set

$$[n]_q = \frac{q^n - q^{-n}}{q - q^{-1}}, \quad [n]_q! = [n]_q[n-1]_q \dots [2]_q[1]_q, \quad \left[\begin{array}{c} a \\ n \end{array} \right]_q = \frac{[a]_q!}{[n]_q![a-n]_q!}.$$

Moreover for all $\alpha \in \Pi$, we set $q_\alpha = q^{\frac{(\alpha, \alpha)}{2}}$.

Definition 3.1.1.

- The quantized enveloping algebra $\mathcal{U}_q(\mathfrak{g})$ is the \mathbb{K} -algebra with generators $E_\alpha, F_\alpha, K_\alpha$ and K_α^{-1} (for all α in Π) and relations (for all $\alpha, \beta \in \Pi$)

$$K_\alpha K_\alpha^{-1} = 1 = K_\alpha^{-1} K_\alpha \quad K_\alpha K_\beta = K_\beta K_\alpha \quad (1)$$

$$K_\alpha E_\beta K_\alpha^{-1} = q^{(\alpha, \beta)} E_\beta \quad (2)$$

$$K_\alpha F_\beta K_\alpha^{-1} = q^{-(\alpha, \beta)} F_\beta \quad (3)$$

$$E_\alpha F_\beta - F_\beta E_\alpha = \delta_{\alpha\beta} \frac{K_\alpha - K_\alpha^{-1}}{q_\alpha - q_\alpha^{-1}} \quad (4)$$

where $\delta_{\alpha\beta}$ is the Kronecker symbol, and (for $\alpha \neq \beta$)

$$\sum_{s=0}^{1-a_{\alpha\beta}} (-1)^s \left[\begin{array}{c} 1 - a_{\alpha\beta} \\ i \end{array} \right]_{q_\alpha} E_\alpha^{1-a_{\alpha\beta}-s} E_\beta E_\alpha^s = 0 \quad (5)$$

$$\sum_{s=0}^{1-a_{\alpha\beta}} (-1)^s \left[\begin{array}{c} 1 - a_{\alpha\beta} \\ i \end{array} \right]_{q_\alpha} F_\alpha^{1-a_{\alpha\beta}-s} F_\beta F_\alpha^s = 0 \quad (6)$$

where $a_{\alpha\beta} = 2(\alpha, \beta)/(\alpha, \alpha)$ for all $\alpha, \beta \in \Pi$.

- $\mathcal{U}_q^+(\mathfrak{g})$ (resp. $\mathcal{U}_q^-(\mathfrak{g})$) is the subalgebra of $\mathcal{U}_q(\mathfrak{g})$ generated by all E_α (resp. F_α) with $\alpha \in \Pi$.

Let us recall two important results proven for example in [BG02, Section I.6].

Theorem 3.1.2.

1. $\mathcal{U}_q^+(\mathfrak{g})$ is Noetherian domain.
2. $\mathcal{U}_q^+(\mathfrak{g})$ is graded by $\mathbb{Z}\Phi$ with $\text{wt}(E_\alpha) = \alpha$, $\text{wt}(F_\alpha) = -\alpha$ and $\text{wt}(K_\alpha^{\pm 1}) = 0$.

3.2 Lusztig's construction

Definition 3.2.1 (Lusztig's automorphisms).

For all $i \in \llbracket 1, n \rrbracket$ there is a unique automorphism T_{α_i} of the algebra $\mathcal{U}_q(\mathfrak{g})$ such that :

$$T_{\alpha_i} E_{\alpha_i} = -F_{\alpha_i} K_{\alpha_i}, \quad T_{\alpha_i} F_{\alpha_i} = -K_{\alpha_i}^{-1} E_{\alpha_i}, \quad T_{\alpha_i} K_{\alpha_j} = K_{\alpha_j} K_{\alpha_i}^{-a_{ij}} \quad (j \in \llbracket 1, n \rrbracket)$$

and for $j \neq i$:

$$\begin{aligned} T_{\alpha_i} E_{\alpha_j} &= \sum_{r+s=-a_{ij}} (-1)^r q^{-d_i s} E_{\alpha_i}^{(r)} E_{\alpha_j} E_{\alpha_i}^{(s)} \\ T_{\alpha_i} F_{\alpha_j} &= \sum_{r+s=-a_{ij}} (-1)^r q^{d_i s} F_{\alpha_i}^{(s)} F_{\alpha_j} F_{\alpha_i}^{(r)} \end{aligned}$$

where $E_{\alpha_i}^{(n)} := \frac{E_{\alpha_i}^n}{[n]_{d_i}}$ and $d_i = \frac{(\alpha_i, \alpha_i)}{2}$.

We now fix a Lusztig order so that we can use the notations of columns and boxes as in the Section 2. The following result is given by Lusztig in [Lus90, Section 4.3] :

Proposition 3.2.2.

There is a unique map from Φ^+ to $\llbracket 1, n \rrbracket$, sending β to i_β such that the following properties are satisfied :

1. $s_{i_{\beta_1}}$ and $s_{i_{\beta_2}}$ commute in W whenever β_1 and β_2 are in the same box. Hence, for a box B , the product of all s_{i_β} with $\beta \in B$ is a well defined element $s(B)$ in W , independent of the order of the factors.
2. $i_{\alpha_j} = j$ for $j \in \llbracket 1, n \rrbracket$.
3. If $\beta \in C_j$ and if B_1, \dots, B_k are the boxes in C_j whose elements are strictly greater than β for the Lusztig order then $s(B_1)s(B_2)\dots s(B_k)(\alpha_{i_\beta}) = \beta$.

We then set $w_\beta := s(B_1)s(B_2)\dots s(B_k)$.

We now recall the construction of a PBW basis of $\mathcal{U}_q^+(\mathfrak{g})$ due to Lusztig [Lus90, Theorem 3.2].

Theorem 3.2.3.

Let $w \in W$ and $s_{i_1}\dots s_{i_p}$ be a reduced decomposition of w . Then the automorphism $T_w := T_{\alpha_{i_1}}\dots T_{\alpha_{i_p}}$ depends only on w and not on the choice of reduced expression for it. Hence the T_{α_i} define a homomorphism of the braid group of W in the group of automorphisms of the algebra $\mathcal{U}_q(\mathfrak{g})$.

Proposition 3.2.4.

For all positive roots β , we define $E_\beta := T_{w_\beta}(E_{i_\beta}) \in \Phi^+$. These elements form a Poincaré-Birkhoff-Witt basis of $\mathcal{U}_q^+(\mathfrak{g})$ ([Lus90, proposition 4.2]).

To obtain commutation relation in this context, we can use admissible planes.

Notation.

If $\beta > \beta'$, then we set $[E_\beta, E_{\beta'}]_q = E_\beta E_{\beta'} - q^{(\beta, \beta')} E_{\beta'} E_\beta$.

Our aim in the remaining of this paragraph is to exhibit the form of the commutation relation between two generators E_γ and $E_{\gamma'}$, when γ and γ' belong to the same admissible plane P .

We first consider the case where $\Phi_P (= \Phi \cap P)$ is of type G_2 . In this case, Φ is also of type G_2 and the commutation relations have been computed in [Lus90, Section 5.2]. This leads us to the following result.

Proposition 3.2.5.

Assume that Φ is of type G_2 . Denote by α_1 the short simple root and by α_2 the long simple root. This is a good numbering of the set of simple roots (see Example 2.1.4). The corresponding reduced decomposition of w_0 is $s_1s_2s_1s_2s_1s_2$ ($s_i = s_{\alpha_i}$) and, describing the roots in the associated convex order, one has

$$\Phi^+ = \{\beta_1 = \alpha_1, \beta_2 = 3\alpha_1 + \alpha_2, \beta_3 = 2\alpha_1 + \alpha_2, \beta_4 = 3\alpha_1 + 2\alpha_2, \beta_5 = \alpha_1 + \alpha_2, \beta_6 = \alpha_2\}.$$

The first column C_1 is reduced to $\{\beta_1\}$, the second column $C_2 = \{\beta_2, \beta_3, \beta_4, \beta_5, \beta_6\}$ is exceptional with $\beta_{ex} = \beta_4$. One has :

- $[E_{\beta_3}, E_{\beta_1}]_q = \lambda E_{\beta_2}$ with $\lambda \neq 0$,
- $[E_{\beta_4}, E_{\beta_1}]_q = \lambda E_{\beta_3}^2$ with $\lambda \neq 0$,
- $[E_{\beta_5}, E_{\beta_1}]_q = \lambda E_{\beta_3}$ with $\lambda \neq 0$,
- $[E_{\beta_6}, E_{\beta_1}]_q = \lambda E_{\beta_5}$ with $\lambda \neq 0$,
- $[E_{\beta_3}, E_{\beta_2}]_q = \lambda E_{\beta_2}$ with $\lambda \neq 0$,
- $[E_{\beta_5}, E_{\beta_3}]_q = \lambda E_{\beta_4}$ with $\lambda \neq 0$.

If Φ is not of type G_2 , the commutation relations between the Lusztig's generators corresponding to two roots which are in the same admissible plane are known in several cases ([Lus90, Section 5.2]). In particular, we have the following relations.

Proposition 3.2.6 (Φ not of type G_2).

- If $P = \langle \beta, \beta' \rangle$ is an admissible plane of type (1.1), then $\Phi_P^+ = \{\beta, \beta_{ex} = \beta + \beta', \beta'\}$ and:
 - $[E_\beta, E_{\beta'}]_q = \lambda E_{\beta_{ex}}$ with $\lambda \neq 0$,
 - $[E_\beta, E_{\beta_{ex}}]_q = [E_{\beta_{ex}}, E_{\beta'}]_q = 0$.
- If $P = \langle \beta, \beta' \rangle$ is an admissible plane of type (1.2), then $\Phi_P^+ = \{\beta, \beta_{ex} = \beta + \beta', \beta', \alpha_i\}$ and the relations are:
 - $[E_\beta, E_{\beta'}]_q = \lambda E_{\beta_{ex}}$ with $\lambda \neq 0$,
 - $[E_{\beta_{ex}}, E_{\alpha_i}]_q = \lambda' E_{\beta'}^2$ with $\lambda' \neq 0$,
 - $[E_\beta, E_{\alpha_i}]_q = \lambda'' E_{\beta'}$ with $\lambda'' \neq 0$,
 - $[E_\beta, E_{\beta_{ex}}]_q = [E_{\beta_{ex}}, E_{\beta'}]_q = [E_{\beta'}, E_{\alpha_i}]_q = 0$.
- If $P = \langle \beta, \alpha_i \rangle$ is an admissible plane of type (2.1), then $\Phi_P^+ = \{\beta_1, \beta_2 = \beta_1 + \alpha_i, \alpha_i\}$ ($\beta = \beta_1$ or β_2) and:
 - $[E_{\beta_1}, E_{\alpha_i}]_q = \lambda E_{\beta_2}$ with $\lambda \neq 0$,
 - $[E_{\beta_1}, E_{\beta_2}]_q = [E_{\beta_2}, E_{\alpha_i}]_q = 0$.
- If $P = \langle \beta, \alpha_i \rangle$ is an admissible plane of type (2.2), then we have the same relations as in type (1.2).
- If $P = Vect(\beta, \alpha_i)$ is an admissible plane of type (2.3), then $\Phi_P^+ = \{\beta_1, \beta_2 = \beta_1 + \alpha_i, \beta_3 = \beta_1 + 2\alpha_i, \alpha_i\}$ ($\beta = \beta_1, \beta_2$ or β_3) and the relations are :
 - $[E_{\beta_2}, E_{\alpha_i}]_q = \lambda E_{\beta_3}$ with $\lambda \neq 0$,
 - $[E_{\beta_1}, E_{\beta_3}]_q = \lambda' E_{\beta_2}^2$ with $\lambda' \neq 0$,
 - $[E_{\beta_1}, E_{\alpha_i}]_q = \lambda'' E_{\beta_2}$ with $\lambda'' \neq 0$,
 - $[E_{\beta_1}, E_{\beta_2}]_q = [E_{\beta_2}, E_{\beta_3}]_q = [E_{\beta_3}, E_{\alpha_i}]_q = 0$
- If $P = \langle \beta, \alpha_i \rangle$ is an admissible plane of type (2.4), then $\Phi_P^+ = \{\beta, \alpha_i\}$ with $\beta \perp \alpha_i$ and, if β is ordinary, then $[E_\beta, E_{\alpha_i}]_q = 0$.

Corollary 3.2.7.

Assume Φ is not of type G_2 . Let i, l be two integers such that $1 \leq i < l \leq n$ and $\eta \in C_l$

1. If $(\eta, \alpha_i) > 0$, then $[E_\eta, E_{\alpha_i}]_q = 0$.
2. If $\eta + \alpha_i = m\gamma$ with $\gamma \in \Phi^+$ and $m \in \mathbb{N}^*$, then $[E_\eta, E_{\alpha_i}]_q = \lambda E_\gamma^m$, with $\lambda \in \mathbb{K}^*$.
3. If $\eta = \eta_1 + \eta_2$ with η_1 and η_2 in C_l such that $h(\eta_1) + 1 = h(\eta_2)$ then $[E_{\eta_1}, E_{\eta_2}]_q = \lambda E_\eta$, with $\lambda \in \mathbb{K}^*$.

Proof : $P = \text{Vect}(\eta, \alpha_i)$ is an admissible plane of type (2.1), (2.2), (2.3) or (2.4) by definition.

1. P is not of type (2.4) because $(\eta, \alpha_i) \neq 0$. We distinguish between three remaining cases.
 - If P is of type (2.1), then with the notations of Remark 2.2.15, we have $\eta = \beta_2$, and so the result follows from Proposition 3.2.6.
 - If P is of type (2.2), then we have $\eta = \beta'$, and so the result follows from Proposition 3.2.6.
 - If P is of type (2.3), then we have $\eta = \beta_3$, and so the result follows from proposition 3.2.6.
2. Since $m \neq 0$, we have $\gamma \in P \cap \Phi^+ = \Phi_p^+$, so P is not of type (2.4). We distinguish between three remaining cases.
 - If P is of type (2.1), then we deduce that $m = 1$, $\eta = \beta_1$ and $\gamma = \beta_2$, and so the result follows from Proposition 3.2.6.
 - If P is of type (2.2), then there are two possibilities:
 - $m = 1$, $\eta = \beta$ and $\gamma = \beta'$.
 - $m = 2$, $\eta = \beta_{ex}$ and $\gamma = \beta'$.
 - In both cases, the result follows from Proposition 3.2.6.
- If P is of type (2.3), then we have $m = 1$, $\eta = \beta_1$ (resp. $\eta = \beta_2$) and $\gamma = \beta_2$ (resp. $\gamma = \beta_3$), and so the result follows from Proposition 3.2.6.
3. Let us consider the plane $P := \langle \eta_1, \eta_2 \rangle$. It is an admissible plane (see definition 2.2.14) and $\Phi_P^+ = \{\eta_1, \eta, \eta_2\}$ (if P is of type 1.1) or $\{\eta_1, \eta, \eta_2, \alpha_i\}$ with $i < l$ (if P is of type 1.2). The previous proposition implies that $[E_{\eta_1}, E_{\eta_2}]_q = \lambda E_\eta$, with $\lambda \in \mathbb{K}^*$ in both cases.

□

3.3 Jantzen's construction

In [Jan96, section 8.14], a different construction of a PBW basis is explained which also uses the automorphisms T_α , ($\alpha \in \Pi$).

For a given reduced decomposition of $w_0 = s_{i_1} \dots s_{i_N}$, we know that, for all $\beta \in \Phi^+$, there exists $i_\beta \in \llbracket 1, N \rrbracket$ such that $\beta = s_{i_1} \dots s_{i_{\beta}-1}(\alpha_{i_\beta})$.

Definition 3.3.1.

Let $\beta \in \Phi^+$, we set $w'_\beta := s_{i_1} \dots s_{i_\beta-1}$ and define $X_\beta := T_{w'_\beta}(E_{\alpha_{i_\beta}})$, $Y_\beta := T_{w'_\beta}(F_{\alpha_{i_\beta}})$.

The following result follows from [Jan96, theoreme 4.21 and 8.24].

Theorem 3.3.2.

- If $\alpha \in \Pi$, then $X_\alpha = E_\alpha$ ([Jan96, Proposition 8.20]).
- The products $X_{\beta_1}^{k_1} \dots X_{\beta_N}^{k_N}$ ($k_i \in \mathbb{N}$) form a basis of $\mathcal{U}_q^+(\mathfrak{g})$.
- The products $X_{\beta_1}^{k_1} \dots X_{\beta_N}^{k_N} K_{\alpha_1}^{m_1} \dots K_{\alpha_n}^{m_n} Y_{\beta_1}^{l_1} \dots Y_{\beta_N}^{l_N}$ (resp. $K_{\alpha_1}^{m_1} \dots K_{\alpha_n}^{m_n} Y_{\beta_1}^{l_1} \dots Y_{\beta_N}^{l_N} X_{\beta_1}^{k_1} \dots X_{\beta_N}^{k_N}$, resp. $Y_{\beta_1}^{l_1} \dots Y_{\beta_N}^{l_N} K_{\alpha_1}^{m_1} \dots K_{\alpha_n}^{m_n} X_{\beta_1}^{k_1} \dots X_{\beta_N}^{k_N}$), ($k_i, l_i \in \mathbb{N}, m_i \in \mathbb{Z}$) form a basis of $\mathcal{U}_q(\mathfrak{g})$.

The following theorem was proved by Levendorskiĭ et Soibelman [LS91, Proposition 5.5.2] in a slightly different case. One can find other formulations in the literature (several containing small mistakes). That is why we give a proof of this result in [Mér08, Section 3.3]. We make this proof essentially by rewriting the one from [LS91, Proposition 5.5.2].

Theorem 3.3.3 (of Levendorskiĭ et Soibelman).

If i and j are two integers such that $1 \leq i < j \leq N$, then we have

$$X_{\beta_i} X_{\beta_j} - q^{(\beta_i, \beta_j)} X_{\beta_j} X_{\beta_i} = \sum_{\substack{\beta_i < \gamma_1 < \dots < \gamma_p < \beta_j, \\ p \geq 1, k_i \in \mathbb{N}}} c_{\bar{\mathbf{k}}, \bar{\gamma}} X_{\gamma_1}^{k_1} \dots X_{\gamma_p}^{k_p},$$

where $c_{\bar{\mathbf{k}}, \bar{\gamma}} \in \mathbb{K}$ and $c_{\bar{\mathbf{k}}, \bar{\gamma}} \neq 0$ only if $\text{wt}(X_{\gamma_1}^{k_1} \dots X_{\gamma_p}^{k_p}) := k_1 \times \gamma_1 + \dots + k_p \times \gamma_p = \beta_i + \beta_j$.

3.4 Commutation relations between X_γ in admissible planes

The goal of this section is to show that the X_γ satisfy analogous relations to the E_γ (see Section 3.2.). In order to achieve this aim, we start by introducing an intermediate generating system.

3.4.1 Construction of a third generating system

Let us recall the following well-known result :

Lemma 3.4.1 ([Jan96], Section 4.6).

1. There is a unique automorphism ω of $\mathcal{U}_q(\mathfrak{g})$ such that $\omega(E_\alpha) = F_\alpha$, $\omega(F_\alpha) = E_\alpha$ and $\omega(K_\alpha) = K_\alpha^{-1}$. One has $\omega^2 = 1$.
2. There is a unique anti-automorphism τ of $\mathcal{U}_q(\mathfrak{g})$ such that $\tau(E_\alpha) = E_\alpha$, $\tau(F_\alpha) = F_\alpha$ and $\tau(K_\alpha) = K_\alpha^{-1}$. One has $\tau^2 = 1$.

Convention.

- Let i be an integer of $\llbracket 1, n \rrbracket$. And set $T'_{\alpha_i} := \tau \circ T_{\alpha_i} \circ \tau$. This is an automorphism of $\mathcal{U}_q(\mathfrak{g})$ which satisfies the following conditions :

$$T'_{\alpha_i} E_{\alpha_i} = -K_{\alpha_i}^{-1} F_{\alpha_i}, \quad T'_{\alpha_i} F_{\alpha_i} = -E_{\alpha_i} K_{\alpha_i}, \quad T'_{\alpha_i} K_{\alpha_j} = K_{\alpha_j} K_{\alpha_i}^{-a_{ij}} \quad (j \in \llbracket 1, n \rrbracket)$$

and for $j \neq i$:

$$\begin{aligned} T'_{\alpha_i} E_{\alpha_j} &= \sum_{r+s=-a_{ij}} (-1)^r q^{d_i s} E_{\alpha_i}^{(s)} E_{\alpha_j} E_{\alpha_i}^{(r)} \\ T'_{\alpha_i} F_{\alpha_j} &= \sum_{r+s=-a_{ij}} (-1)^r q^{-d_i s} F_{\alpha_i}^{(r)} F_{\alpha_j} F_{\alpha_i}^{(s)} \end{aligned}$$

- If $w_p \in W$ has a reduced decomposition given by $w_p = s_{i_1} \dots s_{i_p}$, then we set $T'_{w_p} := \tau \circ T_{w_p} \circ \tau$. We have $T'_{w_p} = T'_{\alpha_{i_1}} \dots T'_{\alpha_{i_p}}$.
- If $\beta \in \Phi^+$, then we set $w_\beta := s_{i_1} \dots s_{i_{\beta}-1}$ and we define $X'_\beta := T'_{w_\beta}(E_{\alpha_{i_\beta}})$ and $Y'_\beta := T_{w_\beta}(F_{\alpha_{i_\beta}})$. One has $X'_\alpha = E_\alpha$ and $Y'_\alpha = F_\alpha$ for $\alpha \in \Pi$.

The Theorem of Levendorskiĭ and Soibelman can be rewritten as below. The proof can be found in [Mér08, Section 3.4] :

Proposition 3.4.2.

If i and j are two integers such that $1 \leq i < j \leq N$ then we have

$$X'_{\beta_i} X'_{\beta_j} - q^{-(\beta_i, \beta_j)} X'_{\beta_j} X'_{\beta_i} = \sum_{\substack{\beta_i < \gamma_1 < \dots < \gamma_p < \beta_j, \\ p \geq 1, k_i \in \mathbb{N}}} c_{\bar{k}, \bar{\gamma}} X'^{k_1}_{\gamma_1} \dots X'^{k_p}_{\gamma_p}$$

with $c_{\bar{k}, \bar{\gamma}} \in \mathbb{K}$ and $c_{\bar{k}, \bar{\gamma}} \neq 0$ only if $wt(X'^{k_1}_{\gamma_1} \dots X'^{k_p}_{\gamma_p}) := k_1 \times \gamma_1 + \dots + k_p \times \gamma_p = \beta_i + \beta_j$

3.4.2 Relations between E_β and X'_β .

As in previous sections, Φ^+ is provided with a given Lusztig order associated to a reduced decomposition of $w_0 = s_{i_1} \dots s_{i_N}$. In this case, we can improve the Theorem of Levendorskiĭ and Soibelman.

Theorem 3.4.3.

If i and j are two integers such that $1 \leq i < j \leq N$, then one has :

$$X'_{\beta_i} X'_{\beta_j} - q^{-(\beta_i, \beta_j)} X'_{\beta_j} X'_{\beta_i} = \sum_{\beta_i < \gamma_1 < \dots < \gamma_p < \beta_j} C_{\bar{k}, \bar{\gamma}} X'^{k_1}_{\gamma_1} \dots X'^{k_p}_{\gamma_p}.$$

The monomials on the left-hand side whose coefficient $C_{\bar{k}, \bar{\gamma}}$ is not equal to zero satisfies:

- $wt(X'^{k_1}_{\gamma_1} \dots X'^{k_p}_{\gamma_p}) = \beta_i + \beta_j$;

- γ_1 is not in the same box as β_i ;
- γ_p is not in the same box as β_j .

The proof of this theorem is essentially based on the following result:

Lemma 3.4.4.

Let $B = \{\beta_p, \dots, \beta_{p+l}\}$ be a box and $\alpha_{i_p}, \dots, \alpha_{i_{p+l}}$ be the corresponding simple roots. Then $\forall k \in \llbracket 0, l \rrbracket$, we have:

$$T'_{\alpha_{i_p}} \dots T'_{\alpha_{i_{p+k-1}}} (E_{\alpha_{i_{p+k}}}) = E_{\alpha_{i_{p+k}}} = T'_{\alpha_{i_p}} \dots T'_{\alpha_{i_{p+k-1}}} T'_{\alpha_{i_{p+k+1}}} \dots T'_{\alpha_{i_{p+l}}} (E_{\alpha_{i_{p+k}}}).$$

Proof : We already know that if α_1 and α_2 are two simple orthogonal roots, then $T_{\alpha_1}(E_{\alpha_2}) = E_{\alpha_2} = \tau(E_{\alpha_2})$, hence $T'_{\alpha_1}(E_{\alpha_2}) = E_{\alpha_2}$. As $\alpha_{i_p}, \dots, \alpha_{i_{p+l}}$ are orthogonal to each others by Proposition 2.2.8, the formulas above are proved. \square

Proof of Theorem 3.4.3 : The first point is provided by Proposition 3.4.2. If in the reduced decomposition of w_0 , we change the order of the reflexions associated to the simple roots coming from a single box B , we find a new reduced decomposition of w_0 . The positive roots of B constructed with this new decomposition of w_0 are permuted as the simple roots are but the other roots are not moved. By the previous lemma, the X'_β , $\beta \in B$, are also permuted in the same way but are not modified, and the X'_γ , $\gamma \notin B$, are not modified. Thus, without lost of generality, we can assume that β_i is maximal in its box and that β_j is minimal in its box. As a result, if $\beta_i < \gamma_1 < \dots < \gamma_p < \beta_j$, then γ_1 is not in the same box as β_i and γ_p is not in the same box as β_j . \square

Remark 3.4.5. The proof of the previous theorem can be rewritten with the elements X_β ($\beta \in \Phi_+$) so that we also apply Theorem 3.4.3 to those elements.

We can now establish a link between the X'_β 's and the E_β 's.

Theorem 3.4.6.

$$\forall \beta \in \Phi^+, \exists \lambda_\beta \in \mathbb{K} \setminus \{0\} \text{ such that } X'_\beta = \lambda_\beta E_\beta$$

Proof : Let β and β' be two positive roots such that $\beta > \beta'$. Set $[X'_\beta, X'_{\beta'}]_q = X'_\beta X'_{\beta'} - q^{(\beta, \beta')} X'_{\beta'} X'_\beta$. Let us deal first with the case where Φ is of type G_2 . We keep the conventions of Proposition 3.2.5. It is known (Conventions 3.4.1.) that, since β_1 and β_6 are simple, one has $X'_{\beta_1} = E_{\beta_1}$ and $X'_{\beta_6} = E_{\beta_6}$. Thus

$$[X'_{\beta_6}, X'_{\beta_1}]_q = [E_{\beta_6}, E_{\beta_1}]_q = \lambda E_{\beta_5} \text{ avec } \lambda \in \mathbb{K}^*.$$

By Theorem 3.4.3, one also has $[X'_{\beta_6}, X'_{\beta_1}]_q = \mu X'_{\beta_5}$ with $\mu \in \mathbb{K}$ and, then, $X'_{\beta_5} = \lambda_{\beta_5} E_{\beta_5}$ with $\lambda_{\beta_5} \in \mathbb{K}^*$. It implies that $[X'_{\beta_5}, X'_{\beta_1}]_q = \lambda_{\beta_5} [E_{\beta_5}, E_{\beta_1}]_q = \nu E_{\beta_3}$ with $\nu \in \mathbb{K}^*$. We deduce as above that $X'_{\beta_3} = \lambda_{\beta_3} E_{\beta_3}$ with $\lambda_{\beta_3} \in \mathbb{K}^*$. Using the same method and considering $[X'_{\beta_3}, X'_{\beta_1}]_q = \lambda_{\beta_3} [E_{\beta_3}, E_{\beta_1}]_q$, one proves that $X'_{\beta_2} = \lambda_{\beta_2} E_{\beta_2}$ with $\lambda_{\beta_2} \in \mathbb{K}^*$. At last, one has $[X'_{\beta_5}, X'_{\beta_3}]_q = \lambda_{\beta_5} \lambda_{\beta_3} [E_{\beta_5}, E_{\beta_3}]_q = \nu E_{\beta_4}$ with $\nu \in \mathbb{K}^*$, so it implies that $X'_{\beta_4} = \lambda_{\beta_4} E_{\beta_4}$ with $\lambda_{\beta_4} \in \mathbb{K}^*$.

Suppose now that Φ is of type G_2 , and consider a column C_t ($t \in \llbracket 1, n \rrbracket$). We just prove the theorem for all the roots of C_t .

We first study the case of ordinary roots.

Let $\beta \in C_t$ be an ordinary root. Let us prove the result by induction on $h(\beta)$.

If $h(\beta) = 1$, then $\beta = \alpha_t$ and as above $X'_{\alpha_t} = E_{\alpha_t}$.

Assume $h(\beta) > 1$ and the result proved for all $\delta \in C_t$ an ordinary root such that $h(\delta) < h(\beta)$. By proposition 2.2.12, there is a simple root α_i ($i < t$) such that $\beta - \alpha_i = \gamma \in C_t$. Moreover, γ is ordinary because, if it is not the case $\beta = \gamma + \alpha_i$ would be exceptional which contradicts the uniqueness of an exceptional root in a column. So $P := \langle \alpha_i, \beta \rangle$ is an admissible plane of type (2.1), (2.2) or (2.3) and then $[E_\gamma, E_{\alpha_i}]_q = c E_\beta$ ($c \in \mathbb{K} \setminus \{0\}$) (see Section 3.2).

As $h(\gamma) = h(\beta) - 1 < h(\beta)$, one has $X'_\gamma = \lambda_\gamma E_\gamma$ ($\lambda_\gamma \in \mathbb{K} \setminus \{0\}$), and as $E_{\alpha_i} = X'_{\alpha_i}$, one has :

$$[X'_\gamma, X'_{\alpha_i}]_q = \lambda_\gamma [E_\gamma, E_{\alpha_i}]_q = \lambda_\gamma c E_\beta.$$

By Theorem 3.4.3, E_β is a linear combination of monomials $X'_{\delta_1} \dots X'_{\delta_s}$ with $\alpha_i < \delta_1 \leq \dots \leq \delta_s < \gamma$, δ_s not in the same box as γ , δ_1 not in the same box as α_i and

$$\delta_1 + \dots + \delta_s = \alpha_i + \gamma = \beta \quad (\star).$$

For all monomials, $\delta_s \in C_t$ and δ_s is ordinary (because $\beta \in C_t$ and β is ordinary). As $\delta_s < \gamma$ and δ_s does not belong to the same box as γ , one has $h(\delta_s) > h(\gamma)$. Hence $h(\delta_s) \geq h(\beta)$, so that $s = 1$ and $\delta_1 = \beta$. This implies $E_\beta = aX'_\beta$ with $a \in \mathbb{K} \setminus \{0\}$, and the result is proved.

Let us now assume that β is the exceptional root of C_t . Let γ be the root of C_t which precedes β in the Lusztig order and let $\delta = s_D(\gamma)$, so that $\delta + \gamma = \beta$ (see Figure 1.). By Proposition 2.2.13, one has $h'(\beta) = m + \frac{1}{2}$ with $m \in \mathbb{N}^*$ and $h'(C_t) = [\![1, 2m]\!]$. If B is the box in C_t which precedes β , then $h'(B) = h(B) = t + 1$. As β is alone in its box, we have $\gamma \in B$, so that $h(\gamma) = m + 1$. Hence $h(\delta) = m$. Thus $P = \text{Vect } (\gamma, \delta)$ is an admissible plane of type (1.1) or (1.2), and $[E_\delta, E_\gamma]_q = cE_\beta (c \neq 0)$ (see Section 3.2).

As γ and δ are ordinary roots, we already know that $X'_\gamma = \lambda_\gamma E_\gamma$ and $X'_\delta = \lambda_\delta E_\delta$ with $\lambda_\gamma \neq 0$ and $\lambda_\delta \neq 0$. Thus, one has :

$$[X'_\delta, X'_\gamma]_q = \lambda_\gamma \lambda_\delta [E_\delta, E_\gamma]_q = \lambda_\gamma \lambda_\delta cE_\beta \quad (\lambda_\gamma \neq 0, \lambda_\delta \neq 0).$$

$C_t :$	β_k
	\vdots
	γ
	β
	δ
	\vdots
	β_N

Figure 1.

As above, E_β is a linear combination of monomials $X'_{\delta_1} \dots X'_{\delta_s}$ with $\gamma < \delta_1 \leq \dots \leq \delta_s < \delta$, δ_s not in the same box as δ and δ_1 not in the same box as γ . As β is the only root of C_t which satisfies $\gamma < \beta < \delta$, β is not in the same box as δ and β is not in the same box as γ . Hence $s = 1$ and $\delta_1 = \beta$. So that $E_\beta = aX'_\beta$ with $a \in \mathbb{K} \setminus \{0\}$.

□

From Theorems 3.4.3 and 3.4.6, we deduce the following result.

Corollary 3.4.7.

If i and j are two integers such that $1 \leq i < j \leq N$, one has:

$$E_{\beta_i} E_{\beta_j} - q^{-(\beta_i, \beta_j)} E_{\beta_j} E_{\beta_i} = \sum_{\substack{\beta_i < \gamma_1 < \dots < \gamma_p < \beta_j, \\ p \geq 1, k_i \in \mathbb{N}}} C'_{\overline{k}, \overline{\gamma}} E_{\gamma_1}^{k_1} \dots E_{\gamma_p}^{k_p}.$$

The monomials on the left-hand side whose coefficient $C'_{\overline{k}, \overline{\gamma}}$ is not equal to zero satisfies:

- $\text{wt}(X'^{k_1}_{\gamma_1} \dots X'^{k_p}_{\gamma_p}) = \beta_i + \beta_j$;
- γ_1 is not in the same box as β_i ;
- γ_p is not in the same box as β_j .

3.4.3 Link with Jantzen's construction

Proposition 3.4.8.

Let $\beta_1 < \beta_2$ be two positive roots.

1. If $E_{\beta_1} E_{\beta_2} - q^{-(\beta_1, \beta_2)} E_{\beta_2} E_{\beta_1} = kE_\gamma^m$ ($k \neq 0, m \geq 1$ and $\gamma \in \Phi^+$), then

$$X_{\beta_1} X_{\beta_2} - q^{+(\beta_1, \beta_2)} X_{\beta_2} X_{\beta_1} = k' X_\gamma^m \quad (k' \neq 0).$$

2. If $E_{\beta_1} E_{\beta_2} - q^{-(\beta_1, \beta_2)} E_{\beta_2} E_{\beta_1} = kE_\gamma E_\delta$ ($k \neq 0, \gamma, \delta \in \Phi^+, \gamma$ and δ belonging to the same box), then $X_{\beta_1} X_{\beta_2} - q^{+(\beta_1, \beta_2)} X_{\beta_2} X_{\beta_1} = k' X_\gamma X_\delta$ ($k' \neq 0$).

Proof : Let $\beta \in \Phi^+$. Let us recall (see Section 3.4.1) that $X_\beta := T_{w'_\beta}(E_{\alpha_{i_\beta}})$, $X'_\beta := T'_{w'_\beta}(E_{\alpha_{i_\beta}})$, and that $T_{w'_\beta} = \tau \circ T'_{w'_\beta} \circ \tau$. So we have $X_\beta = \tau \circ T'_{w'_\beta} \circ \tau(E_{\alpha_{i_\beta}}) = \tau(X'_\beta)$. Let us also recall (see Theoreme 3.4.6) that $X'_\beta = \lambda_\beta E_\beta$ with $\lambda_\beta \in \mathbb{K}^*$.

Let $\beta_1 < \beta_2$ be two positive roots.

1. If $E_{\beta_1}E_{\beta_2} - q^{-(\beta_1, \beta_2)}E_{\beta_2}E_{\beta_1} = kE_{\gamma}^m$ ($k \neq 0, \gamma \in \Phi^+$), then :

$$\begin{aligned}
X_{\beta_1}X_{\beta_2} - q^{+(\beta_1, \beta_2)}X_{\beta_2}X_{\beta_1} &= \tau(X'_{\beta_1})\tau(X'_{\beta_2}) - q^{+(\beta_1, \beta_2)}\tau(X_{\beta_2})\tau(X_{\beta_1}) \\
&= \tau(X'_{\beta_2}X'_{\beta_1} - q^{+(\beta_1, \beta_2)}X'_{\beta_1}X'_{\beta_2}) \\
&= -q^{+(\beta_1, \beta_2)}\tau(X'_{\beta_1}X'_{\beta_2} - q^{-(\beta_1, \beta_2)}X'_{\beta_2}X'_{\beta_1}) \\
&= -q^{+(\beta_1, \beta_2)}\lambda_{\beta_1}\lambda_{\beta_2}\tau(E_{\beta_1}E_{\beta_2} - q^{-(\beta_1, \beta_2)}E_{\beta_2}E_{\beta_1}) \\
&= -q^{+(\beta_1, \beta_2)}\lambda_{\beta_1}\lambda_{\beta_2}\tau(kE_{\gamma}^m) \\
&= \frac{-q^{+(\beta_1, \beta_2)}\lambda_{\beta_1}\lambda_{\beta_2}k}{\lambda_{\gamma}}\tau((X'_{\gamma})^m) \\
&= k'X_{\gamma}^m \text{ with } k' \in \mathbb{K}^*
\end{aligned}$$

2. If $E_{\beta_1}E_{\beta_2} - q^{-(\beta_1, \beta_2)}E_{\beta_2}E_{\beta_1} = kE_{\gamma}E_{\delta}$ ($k \neq 0, \gamma, \delta \in \Phi^+, \gamma$ and δ belonging two the same box) so, by doing the same computations as in 1., we obtain :

$$X_{\beta_1}X_{\beta_2} - q^{(\beta_1, \beta_2)}X_{\beta_2}X_{\beta_1} = k'\tau(X'_{\gamma}X'_{\delta}) = k'X_{\delta}X_{\gamma} \quad (k' \neq 0)$$

As γ and δ are in the same box, we know (see Proposition 2.2.8) that $(\delta, \gamma) = 0$, so that, by Theorem 3.3.3, we get $X_{\gamma}X_{\delta} = X_{\gamma}X_{\delta}$, as desired.

□

4 Deleting derivations in $\mathcal{U}_q^+(\mathfrak{g})$

4.1 $\mathcal{U}_q^+(\mathfrak{g})$ is a CGL extension

In this section, we set $A := \mathcal{U}_q^+(\mathfrak{g})$, $X_i := X_{\beta_i}$ for $1 \leq i \leq N$, and $\lambda_{i,j} := q^{-(\beta_j, \beta_i)}$ for $1 \leq i, j \leq N$. We know from Proposition 3.3.3) that, if $1 \leq i < j \leq N$, then one has:

$$X_jX_i - \lambda_{j,i}X_iX_j = P_{j,i} \quad (7)$$

with

$$P_{j,i} = \sum_{\bar{k}=(k_{i+1}, \dots, k_{j-1})} c_{\bar{k}}X_{i+1}^{k_{i+1}} \dots X_{j-1}^{k_{j-1}}, \quad (8)$$

where $c_{\bar{k}} \in \mathbb{K}$.

Moreover, as $\mathcal{U}_q^+(\mathfrak{g})$ is Φ -graduated, one has

$$c_{\bar{k}} \neq 0 \Rightarrow \lambda_{l,i+1}^{k_{i+1}} \dots \lambda_{l,j-1}^{k_{j-1}} = \lambda_{l,j}\lambda_{l,i} \text{ for all } 1 \leq l \leq N \quad (9)$$

Thus, A satisfies [Cau03a, Hypothesis 6.1.1].

From Theorem 3.3.2, ordered monomials in X_i are a basis of A , so that we deduce from [Cau03a, Proposition 6.1.1]:

Proposition 4.1.1.

1. A is skew polynomial ring which could be expressed as:

$$A = \mathbb{K}[X_1][X_2; \sigma_2, \delta_2] \dots [X_N; \sigma_N, \delta_N],$$

where the σ_j 's are \mathbb{K} -linear automorphisms and the δ_j 's are \mathbb{K} -linear σ_j -derivations such that, for $1 \leq i < j \leq N$, $\sigma_j(X_i) = \lambda_{j,i}X_i$ and $\delta_j(X_i) = P_{j,i}$.

2. If $1 \leq m \leq N$, then there is a (unique) automorphism h_m of the algebra A which satisfies $h_m(X_i) = \lambda_{m,i}X_i$ for $1 \leq i \leq N$.

Moreover, we deduce from [Cau03a, Proposition 6.1.2] the following result.

Proposition 4.1.2.

1. *A satisfies conventions from [Cau03a, Section 3.1], that is to say:*

- For all $j \in \llbracket 2, N \rrbracket$, σ_j is a \mathbb{K} -linear automorphism and δ_j is a \mathbb{K} -linear (left sided) σ_j -derivation and locally nilpotent.
- For all $j \in \llbracket 2, N \rrbracket$, one has $\sigma_j \circ \delta_j = q_j \delta_j \circ \sigma_j$ with $q_j = \lambda_{j,j} = q^{-\|\beta_j\|^2}$, and for all $i \in \llbracket 1, j-1 \rrbracket$, $\sigma_j(X_i) = \lambda_{j,i} X_i$.
- None of the q_j ($2 \leq j \leq N$) is a root of unity.

2. *A satisfies [Cau03a, Hypothesis 4.1.2], that is to say:*

The subgroup H of the automorphisms group of A generated by the elements h_l satisfies

- For all h in H , the indeterminates X_1, \dots, X_N are h -eigenvectors.
- The set $\{\lambda \in \mathbb{K}^* \mid (\exists h \in H)(h(X_1) = \lambda X_1)\}$ is infinite.
- If $m \in \llbracket 2, N \rrbracket$, there is $h_m \in H$ such that $h_m(X_i) = \lambda_{m,i} X_i$ if $1 \leq i < m$ and $h_m(X_m) = q_m X_m$.

The previous proposition shows that $\mathcal{U}_q^+(\mathfrak{g})$ is a CGL extension in the sens of [LLR06] and so allows us to apply the deleting derivation theory ([Cau03a]). We describe this theory in the following section.

4.2 The deleting derivation algorithm

It follows from Propositions 4.1.1 and 4.1.2, that A is an integral domain which is noetherian. Denote by F its fields of fraction. We define, by induction, the families $X^{(l)} = (X_i^{(l)})_{1 \leq i \leq N}$ of elements of $F^\star := F \setminus \{0\}$, and the algebras $A^{(l)} := \mathbb{K} \langle X_1^{(l)}, \dots, X_N^{(l)} \rangle$ when l decreases from $N+1$ to 2 as in [Cau03a, Section 3.2]. So we have for all $l \in \llbracket 2, N+1 \rrbracket$:

Lemma 4.2.1.

If $1 \leq i < j \leq N$, one has :

$$X_j^{(l)} X_i^{(l)} - \lambda_{j,i} X_i^{(l)} X_j^{(l)} = P_{j,i}^{(l)} \quad (10)$$

with

$$P_{j,i}^{(l)} = \begin{cases} 0 & \text{si } j \geq l \\ \sum_{\bar{k}=(k_{i+1}, \dots, k_{j-1})} c_{\bar{k}} (X_{i+1}^{(l)})^{k_{i+1}} \dots (X_{j-1}^{(l)})^{k_{j-1}} & \text{si } j < l, \end{cases} \quad (11)$$

where $c_{\bar{k}}$ are the same as in the formula (8), so that we also have the implication (9).

Proof : See [Cau03a, Théorème 3.2.1]. □

Lemma 4.2.2.

The ordered monomials on $X_1^{(l)}, \dots, X_N^{(l)}$ form a basis $A^{(l)}$ as a \mathbb{K} -vectorial space.

Proof : See [Cau03a, Théorème 3.2.1]. □

From Lemmas 4.2.1 and 4.2.2 above and from [Cau03a, Proposition 6.1.1], we deduce that:

Lemma 4.2.3.

1. $A^{(l)}$ is an iterated ore extension which can be written :

$$A^{(l)} = \mathbb{K}[X_1^{(l)}][X_2^{(l)}; \sigma_2^{(l)}, \delta_2^{(l)}] \dots [X_N^{(l)}; \sigma_N^{(l)}, \delta_N^{(l)}]$$

where $\sigma_j^{(l)}$ are \mathbb{K} -linear automorphisms and $\delta_j^{(l)}$ are \mathbb{K} -linear (left sided) $\sigma_j^{(l)}$ -derivations such that, for $1 \leq i < j \leq N$, $\sigma_j^{(l)}(X_i^{(l)}) = \lambda_{j,i} X_i^{(l)}$ and $\delta_j^{(l)}(X_i^{(l)}) = P_{j,i}^{(l)}$.

2. $A^{(l)}$ is the \mathbb{K} algebra generated by the elements $X_1^{(l)}, \dots, X_N^{(l)}$ with relations (10).

Let us recall that the automorphisms h_m ($1 \leq m \leq N$) of the algebra A defined in Proposition 4.1.1 can be extended (uniquely) in automorphisms, also denoted by h_m , of the field F .

Lemma 4.2.4.

If $1 \leq m, i \leq N$, one has $h_m(X_i^{(l)}) = \lambda_{m,i} X_i^{(l)}$ so that h_m induces (by restriction) an automorphism of the algebra $A^{(l)}$, denoted by $h_m^{(l)}$.

Proof : See [Cau03a, Lemme 4.2.1]. □

Convention.

Denote by $H^{(l)}$ the subgroup of the automorphism group of $A^{(l)}$ generated by $h_m^{(l)}$ ($1 \leq m \leq N$).

By [Cau03a, Proposition 6.1.2], one has :

Lemma 4.2.5.

The iterated Ore extension $A^{(l)} = \mathbb{K}[X_1^{(l)}][X_2^{(l)}; \sigma_2^{(l)}, \delta_2^{(l)}] \dots [X_N^{(l)}; \sigma_N^{(l)}, \delta_N^{(l)}]$ satisfies the conventions of [Cau03a, Section 3.1] with, as above, $\lambda_{i,j} = q^{-(\beta_i, \beta_j)}$ and $q_i = \lambda_{i,i} = q^{-||\beta_i||^2}$ for $1 \leq i, j \leq N$. It also satisfies the Hypothesis 4.1.2 of [Cau03a] with $H^{(l)}$ replacing H .

Corollary 4.2.6.

If J is a $H^{(l)}$ -prime ideal of $A^{(l)}$ in the sense of [BG02, II.1.9], then J is completely prime.

Proof : One has :

- $A^{(l)} = \mathbb{K}[X_1^{(l)}][X_2^{(l)}; \sigma_2^{(l)}, \delta_2^{(l)}] \dots [X_N^{(l)}; \sigma_N^{(l)}, \delta_N^{(l)}]$ is an iterated Ore extension by Lemma 4.2.3,
- $X_1^{(l)}, X_2^{(l)}, \dots, X_N^{(l)}$ are $H^{(l)}$ -eigenvectors by Lemma 4.2.4.
- If $1 \leq i < j \leq N$, then one has $h_i^{(l)}(X_j^{(l)}) = \lambda_{j,i} X_i^{(l)} = \sigma_j^{(l)}(X_i^{(l)})$ and $h_j^{(l)}(X_j^{(l)}) = q_j X_j^{(l)}$ with $q_j = \lambda_{j,j} \in \mathbb{K}^*$ is not a root of unity by Lemmas 4.2.3 and 4.2.4.

Hence we deduce from [BG02, Theorem II.5.12] that J is completely prime. □

From the construction of the deleting algorithm ([Cau03a, Section 3.2]), one has :

Lemma 4.2.7.

1. $X_i^{(N+1)} = X_i$ for all $i \in \llbracket 1, N \rrbracket$

2. If $2 \leq l \leq N$ and if $i \in \llbracket 1, N \rrbracket$, one has

$$X_i^{(l)} = \begin{cases} X_i^{(l+1)} & \text{si } i \geq l \\ \sum_{n=0}^{+\infty} \left[\frac{(1-q_l)^{-n}}{[n]! q_l} \left(\delta_l^{(l+1)} \right)^n \circ \left(\sigma_l^{(l+1)} \right)^{-n} \left(X_i^{(l+1)} \right) \right] \left(X_l^{(l+1)} \right)^{-n} & \text{si } i < l \end{cases} \quad (12)$$

Lemma 4.2.8.

Let J be an $H^{(l)}$ -invariant (two sided) ideal of $A^{(l)}$. Let us consider an integer $j \in \llbracket 2, N \rrbracket$ and denote by $B = \mathbb{K}[X_1^{(l)}][X_2^{(l)}; \sigma_2^{(l)}, \delta_2^{(l)}] \dots [X_{j-1}^{(l)}; \sigma_{j-1}^{(l)}, \delta_{j-1}^{(l)}]$ the subalgebra of $A^{(l)}$ generated by $X_1^{(l)}, \dots, X_{j-1}^{(l)}$. Then $\sigma_j^{(l)}(B \cap J) = B \cap J$ and $\delta_j^{(l)}(B \cap J) \subset B \cap J$.

Proof : By Lemmas 4.2.3 and 4.2.4, one has for $1 \leq i < j$,

$$\sigma_j^{(l)}(X_i^{(l)}) = \lambda_{j,i} X_i^{(l)} = h_j^{(l)}(X_i^{(l)}) \quad (13)$$

As a result, for all $b \in B$, $\sigma_j^{(l)}(b) = h_j^{(l)}(b)$. As J is $H^{(l)}$ -invariant, and as B is $\sigma_j^{(l)}$ -invariant, we deduce that, for all $b \in B \cap J$, we have $\sigma_j^{(l)}(b) \in B \cap J$. So, $\sigma_j^{(l)}(B \cap J) \subset B \cap J$. From the equality (13), we get that:

$$\left(\sigma_j^{(l)} \right)^{-1}(X_i^{(l)}) = \lambda_{j,i}^{-1} X_i^{(l)} = \left(h_j^{(l)} \right)^{-1}(X_i^{(l)}) \quad (14)$$

As above, we deduce that $\left(\sigma_j^{(l)} \right)^{-1}(B \cap J) \subset B \cap J$, so that $\sigma_j^{(l)}(B \cap J) = B \cap J$.

Finally, if $b \in B \cap J$, then we have $\delta_j^{(l)}(b) = X_j^{(l)} b - \sigma_j^{(l)}(b) X_j^{(l)} \in B \cap J$. □

If $l \in \llbracket 2, N \rrbracket$, then it follows from (12) that $X_l^{(l)} = X_l^{(l+1)}$. This element is a nonzero element which belongs to the two algebras $A^{(l)}$ and $A^{(l+1)}$ (recall that none of the $X_i^{(l)}$ is null). So, the set $S_l := \{(X_l^{(l)})^p \mid p \in \mathbb{N}\}$ is a multiplicative system of regular elements of $A^{(l)}$ and $A^{(l+1)}$. From [Cau03a, Theorem 3.2.1], we deduce:

Lemma 4.2.9.

Let $l \in \llbracket 2, N \rrbracket$. Then S_l is an Ore set in $A^{(l)}$ and also in $A^{(l+1)}$. Moreover, one has:

$$A^{(l)}S_l^{-1} = A^{(l+1)}S_l^{-1}$$

4.3 Prime spectrum and diagrams

Let us recall that the convention are $X_i = X_{\beta_i}$ for $1 \leq i \leq N$. Denote $\bar{A} := A^{(2)} = \mathbb{K} < T_{\beta_1}, \dots, T_{\beta_N} >$ with $T_{\beta_i} = X_i^{(2)}$ for all i . By lemmas 4.2.1 and 4.2.3, \bar{A} is the quantum affine space generated by T_{β_i} ($1 \leq i \leq N$) with relations $T_{\beta_j}T_{\beta_i} = \lambda_{j,i}T_{\beta_i}T_{\beta_j}$ for $1 \leq i < j \leq N$.

Let us consider an integer $l \in \llbracket 2, N \rrbracket$ and a prime ideal $P \in \text{Spec}(A^{(l+1)})$.

- Assume $X_l^{(l+1)} \notin P$.
Then, by [Cau03a, Lemmas 4.2.2 and 4.3.1], we have $S_l \cap P = \emptyset$ and $Q := A^{(l)} \cap PS_l^{-1} \in \text{Spec}(A^{(l)})$.
- Assume $X_l^{(l+1)} \in P$.
Then, by [Cau03a, Lemma 4.3.2], there is a (unique) surjective algebra homomorphism

$$g : A^{(l)} \rightarrow \frac{A^{(l+1)}}{(X_l^{(l+1)})}$$

which satisfies, for all i , $g(X_i^{(l)}) = \overline{X_i^{(l+1)}}(:= X_i^{(l+1)} + (X_l^{(l+1)}))$, so that $Q = g^{-1}(\frac{P}{(X_l^{(l+1)})}) \in \text{Spec}(A^{(l)})$.

We define this way a map $\phi_l : \text{Spec}(A^{(l+1)}) \rightarrow \text{Spec}(A^{(l)})$ that maps P to Q and, by composing these maps, we obtain a map $\phi = \phi_2 \circ \dots \circ \phi_N : \text{Spec}(A) \rightarrow \text{Spec}(\bar{A})$. By [Cau03a, Proposition 4.3.1], one has :

Lemma 4.3.1.

Each ϕ_l ($2 \leq l \leq N$) is injective, so that ϕ is injective.

We can now define the notion of diagrams and Cauchon diagrams

Definition 4.3.2.

1. We call *diagram* a subset Δ of the set of positive roots Φ^+ , and we note:

$$\text{Spec}_\Delta(\bar{A}) := \{Q \in \text{Spec}(\bar{A}) \mid Q \cap \{T_{\beta_1}, \dots, T_{\beta_N}\} = \{T_\beta \mid \beta \in \Delta\}\}.$$

2. A diagram Δ is a *Cauchon diagram* if there is $P \in \text{Spec}(A)$ such that $\phi(P) \in \text{Spec}_\Delta(\bar{A})$, that is to say, if $\phi(P) \cap \{T_{\beta_1}, \dots, T_{\beta_N}\} = \{T_\beta \mid \beta \in \Delta\}$. In this case, we set

$$\text{Spec}_\Delta(A) = \{P \in \text{Spec}(A) \mid \phi(P) \in \text{Spec}_\Delta(\bar{A})\}.$$

By [Cau03a, Theorems 5.1.1, 5.5.1 et 5.5.2], we have:

Proposition 4.3.3.

1. If Δ is a Cauchon diagram, then $\phi(\text{Spec}_\Delta(A)) = \text{Spec}_\Delta(\bar{A})$ and ϕ induced a bi-increasing homeomorphism from $\text{Spec}_\Delta(A)$ onto $\text{Spec}_\Delta(\bar{A})$.
2. The family $\text{Spec}_\Delta(A)$ (with Δ Cauchon diagram) coincide with the Goodearl-Letzter H-stratification of $\text{Spec}(A)$ ([BG02]).

In the following section, we describe more precisely Cauchon Diagrams. In order to do this, the criteria in the next proposition will be needed.

Proposition 4.3.4.

Let $P^{(m)}$ be an H -prime ideal of $A^{(m)}$.

$P^{(m)} \in \text{Im}(\phi_m)$ if and only if one of two following conditions is satisfied

1. $X_m^{(m)} \notin P^{(m)}$.
2. $X_m^{(m)} \in P^{(m)}$ and $\Theta^{(m)}(\delta_m^{(m+1)}(X_i^{(m+1)})) \in P^{(m)}$ for $1 \leq i \leq m-1$.
(where $\delta_m^{(m+1)}(X_i^{(m+1)}) = P_{m,i}^{(m+1)}(X_{i+1}^{(m+1)}, \dots, X_{m-1}^{(m+1)})$ (lemma 4.2.1) and $\Theta^{(m)} : \mathbb{K} < X_1^{(m+1)}, \dots, X_{m-1}^{(m+1)} > \rightarrow \mathbb{K} < X_1^{(m)}, \dots, X_{m-1}^{(m)} >$ is the homomorphism which send $X_l^{(m+1)}$ to $X_l^{(m)}$)

Proof : Assume that $P^{(m)} \in \text{Im}(\phi_m)$, so that $P^{(m)} = \phi_m(P^{(m+1)})$ with $P^{(m+1)} \in \text{Spec}(A^{(m+1)})$, and assume that condition 1. is not satisfied. This implies that $P^{(m)} = \ker(g)$ where $g : A^{(m)} \rightarrow A^{(m+1)}/P^{(m+1)}$ is the homomorphism which sends $X_i^{(m)}$ to $x_i^{(m+1)} := X_i^{(m+1)} + P^{(m+1)}$. Let $1 \leq i \leq m-1$.

Recall that $\delta_m^{(m+1)}(X_i^{(m+1)}) = P_{m,i}^{(m+1)}(X_{i+1}^{(m+1)}, \dots, X_{m-1}^{(m+1)})$ and that $\Theta^{(m)} : k < X_1^{(m+1)}, \dots, X_{m-1}^{(m+1)} > \rightarrow k < X_1^{(m)}, \dots, X_{m-1}^{(m)} >$ is the homomorphism which transforms each $X_l^{(m+1)}$ in $X_l^{(m)}$. Since $X_m^{(m)} \in P^{(m)}$, we have $X_m^{(m+1)} \in P^{(m+1)}$ [Cau03a], Proposition 4.3.1. and so, $\delta_m^{(m+1)}(X_i^{(m+1)}) \in P^{(m+1)}$. Now, we have

$$\begin{aligned} g(\Theta^{(m)}(\delta_m^{(m+1)}(X_i^{(m+1)}))) &= g(\Theta^{(m)}(P_{m,i}^{(m+1)}(X_{i+1}^{(m+1)}, \dots, X_{m-1}^{(m+1)}))) = g(P_{m,i}^{(m+1)}(X_{i+1}^{(m)}, \dots, X_{m-1}^{(m)})) \\ &= P_{m,i}^{(m+1)}(x_{i+1}^{(m+1)}, \dots, x_{m-1}^{(m+1)}) = P_{m,i}^{(m+1)}(X_{i+1}^{(m+1)}, \dots, X_{m-1}^{(m+1)}) + P^{(m+1)} = 0. \end{aligned}$$

This implies that $\Theta^{(m)}(\delta_m^{(m+1)}(X_i^{(m+1)})) \in \ker(g) = P^{(m)}$.

If condition 1. is satisfied, then $P^{(m)} \in \text{Im}(\phi_m)$ by [Cau03a, Lemma 4.3.1].

Assume that condition 2. is satisfied. Let $1 \leq i \leq m-1$. Then we have, as previously, $P_{m,i}^{(m+1)}(X_{i+1}^{(m)}, \dots, X_{m-1}^{(m)}) = \Theta^{(m)}(\delta_m^{(m+1)}(X_i^{(m+1)})) \in P^{(m)}$. So, in $Q^{(m)} = A^{(m)}/P^{(m)}$, we have $P_{m,i}^{(m+1)}(x_{i+1}^{(m)}, \dots, x_{m-1}^{(m)}) = 0$. Since $P_{m,i}^{(m)} = 0$ (see Lemma 4.2.1), we can write $x_m^{(m)} x_i^{(m)} - \lambda_{m,i} x_i^{(m)} x_m^{(m)} = P_{m,i}^{(m)}(x_{i+1}^{(m)}, \dots, x_{m-1}^{(m)}) = 0 = P_{m,i}^{(m+1)}(x_{i+1}^{(m)}, \dots, x_{m-1}^{(m)})$.

If $1 \leq i \leq j-1$ with $j \neq m$, it follows from Lemma 4.2.1 that:

$$x_j^{(m)} x_i^{(m)} - \lambda_{j,i} x_i^{(m)} x_j^{(m)} = P_{j,i}^{(m)}(x_{i+1}^{(m)}, \dots, x_{j-1}^{(m)}) = P_{j,i}^{(m+1)}(x_{i+1}^{(m)}, \dots, x_{j-1}^{(m)}).$$

So, by the universal property of algebras defined by generators and relations, there exists a (unique) homomorphism $\epsilon : A^{(m+1)} \rightarrow Q^{(m)}$ which sends $X_l^{(m+1)}$ to $x_l^{(m)}$ for all l . This homomorphism is surjective, and its kernel $\ker(\epsilon) = P^{(m+1)}$ is a prime ideal of $A^{(m+1)}$. We observe that, since $X_m^{(m)} \in P^{(m)}$, we have $X_m^{(m+1)} \in P^{(m+1)}$, and that ϵ induces an automorphism

$$\bar{\epsilon} : A^{(m+1)}/P^{(m+1)} \rightarrow Q^{(m)} = A^{(m)}/P^{(m)}$$

which sends $x_l^{(m+1)}$ to $x_l^{(m)}$ for all l . Recall that $f_m : A^{(m)} \rightarrow A^{(m)}/P^{(m)}$ denotes the canonical homomorphism. So, $g = (\bar{\epsilon})^{-1} \circ f_m : A^{(m)} \rightarrow A^{(m+1)}/P^{(m+1)}$ is the homomorphism which sends $X_l^{(m)}$ to $x_l^{(m+1)}$ for all l . As $\ker(g) = \ker(f_m) = P^{(m)}$, we conclude that $P^{(m)} = \phi_m(P^{(m+1)})$, as desired. \square

5 Cauchon diagrams in $\mathcal{U}_q^+(\mathfrak{g})$

In [Cau03b], Cauchon uses a combinatorial tool to describe "admissible diagrams" (which are called "Cauchon diagrams" here) for the algebra $O_q(M_n(k))$ of quantum matrices. Thanks to Lusztig admissible planes theory (see Section 3.2), results from Section 3.3 and the deleting derivation theory, we describe those diagrams for $\mathcal{U}_q^+(\mathfrak{g})$ (where \mathfrak{g} is a simple Lie algebra of finite dimension over \mathbb{C}). The goal of this section is to prove the following statement:

Theorem: A diagram $\Delta \subset \Phi^+$ satisfies all the implications from admissible planes (to be defined) if and only if Δ is a Cauchon diagram (in the sense of Definition 4.3.2).

5.1 Implications in a diagram

Lemma 5.1.1.

Let $j \in \llbracket 1, N \rrbracket$, $l \in \llbracket 2, N \rrbracket$, $P^{(l+1)}$ be a prime ideal of $A^{(l+1)}$ and $P^{(l)} := \varphi_l(P^{(l+1)})$.

1. If $X_j^{(l+1)} \in P^{(l+1)}$, then $X_j^{(l)} \in P^{(l)}$.

2. If $X_j^{(l+1)} = X_j^{(l)}$ (this is in particular the case if $j \geq l$), then one has: $X_j^{(l+1)} \in P^{(l+1)}$ if and only if $X_j^{(l)} \in P^{(l)}$.

Proof : The second point can be shown as in [Cau03a, lemma 4.3.4]. Let us show the first point when $j < l$.

1st **case :** The pivot (in reference to Gaussian elimination) $\varpi := X_l^{(l+1)}$ belongs to $P^{(l+1)}$. Recall (see Section 4.2) that there is a surjective homomorphism of algebra

$$g : A^{(l)} \rightarrow \frac{A^{(l+1)}}{(X_l^{(l+1)})}$$

which satisfies $g(X_i^{(l)}) = \overline{X_i^{(l+1)}}(:= X_i^{(l+1)} + (X_l^{(l+1)}))$ for all $i \in \llbracket 1, N \rrbracket$. As $X_j^{(l+1)} \in P^{(l+1)}$, one has $g(X_j^{(l)}) \in \frac{P^{(l+1)}}{(X_l^{(l+1)})}$, so that $X_j^{(l)} \in g^{-1}(\frac{P^{(l+1)}}{(X_l^{(l+1)})}) =: P^{(l)}$.

2nd **case :** The pivot $\varpi = X_l^{(l+1)}$ does not belongs to $P^{(l+1)}$. Set $S_l := \{\varpi^n | n \in \mathbb{N}\}$. Recall (seeSection 4.2) that we have $P^{(l)} = A^{(l)} \cap (P^{(l+1)} S_l^{-1})$.

Set $J := \bigcap_{h \in H^{(l+1)}} h(P^{(l+1)})$ and observe that J is an $H^{(l+1)}$ -invariant two-sided ideal by construction. As $A^{(l+1)}$ [Cau03a, Hypothesis 4.1.2] by Lemma 4.2.5, $X_j^{(l+1)}$ is an $H^{(l+1)}$ -eigenvector. Thus, since $X_j^{(l+1)}$ belongs to $P^{(l+1)}$, it also belongs to J .

From Lemma 4.2.8, we deduce that $(\delta_l^{(l+1)})^n \circ (\sigma_l^{(l+1)})^{-n} (X_j^{(l+1)}) \in J \subset P^{(l+1)}$ for all $n \in \mathbb{N}$. As a result, we get :

$$X_j^{(l)} = \sum_{n=0}^{+\infty} \left[\frac{(1-q_l)^{-n}}{[n]! q_l} (\delta_l^{(l+1)})^n \circ (\sigma_l^{(l+1)})^{-n} (X_j^{(l+1)}) \right] (X_l^{(l+1)})^{-n} \in P^{(l+1)} S_l^{-1}.$$

Thus, $X_j^{(l)} \in A^{(l)} \cap (P^{(l+1)} S_l^{-1}) = P^{(l)}$.

□

Lemma 5.1.2.

Let $l \in \llbracket 2, N \rrbracket$ and $P^{(l+1)}$ be a prime ideal of $A^{(l+1)}$. Consider an integer j with $2 \leq j < l$ and set $P^{(j)} = \varphi_j \circ \dots \circ \varphi_l(P^{(l+1)})$.

1. Assume that β_j is in the same box as β_l or in the box before β_l 's one. Then

- $X_j^{(j+1)} = X_j^{(j+2)} = \dots = X_j^{(l+1)}$,
- $(X_j^{(j+1)} \in P^{(j+1)}) \Rightarrow (X_j^{(j+2)} \in P^{(j+2)}) \Rightarrow \dots \Rightarrow (X_j^{(l+1)} \in P^{(l+1)})$.

2. Assume that the boxes B and B' of β_j and β_l (respectively) are separated by a box B'' containing a unique element β_e such that $X_e^{(e+1)} \in P^{(e+1)}$. Then $(X_j^{(j+1)} \in P^{(j+1)}) \Rightarrow (X_j^{(l+1)} \in P^{(l+1)})$.

Proof :

1. Let $k \in \llbracket j+1, l \rrbracket$ so that β_k is, in the same box as as β_j , or in the same box as β_l . As these boxes are consecutive or equal, one has $X_k X_j = q^{-<\beta_k, \beta_j>} X_j X_k$, so that by Lemma 4.2.1, we have $X_k^{(k+1)} X_j^{(k+1)} = q^{-<\beta_k, \beta_j>} X_j^{(k+1)} X_k^{(k+1)}$. So one has $\delta_k^{(k+1)}(X_j^{(k+1)}) = 0$ and, by [Cau03a, Section 3.2], we get :

$$X_j^{(k)} = \sum_{s=0}^{+\infty} \lambda_s (\delta_k^{(k+1)})^s \circ (\sigma_k^{(k+1)})^{-s} (X_j^{(k+1)}) (X_k^{(k+1)})^{-s} = \sum_{s=0}^{+\infty} \lambda'_s (\delta_k^{(k+1)})^s (X_j^{(k+1)}) (X_k^{(k+1)})^{-s} = X_j^{(k+1)}$$

$(\lambda_s, \lambda'_s \in \mathbb{K})$.

This shows the first point. The second point follows from Lemma 5.1.1.

2. As B and B'' are consecutive, 1. implies that $X_j^{(j+1)} = \dots = X_j^{(e+1)}$ and that $(X_j^{(j+1)} \in P^{(j+1)}) \Rightarrow \dots \Rightarrow (X_j^{(e+1)} \in P^{(e+1)})$. It just remains to show that:

$$X_j^{(k)} \in P^{(k)} \Rightarrow X_j^{(k+1)} \in P^{(k+1)} \text{ pour } e+1 \leq k \leq l.$$

We do that by induction on k . As in the previous point, we have

$$X_j^{(k)} = X_j^{(k+1)} + \sum_{s=1}^{+\infty} \lambda_s \left(\delta_k^{(k+1)} \right)^s \circ \left(\sigma_k^{(k+1)} \right)^{-s} (X_j^{(k+1)}) \left(X_k^{(k+1)} \right)^{-s} \quad (\lambda_s \in \mathbb{K})$$

- If $\delta_k^{(k+1)}(X_j^{(k+1)}) = 0$, then one has $X_j^{(k)} = X_j^{(k+1)}$ and we conclude thanks to Lemma 5.1.1.
- Otherwise, one has $\delta_k^{(k+1)}(X_j^{(k+1)}) = \lambda \left(X_e^{(k+1)} \right)^m$ ($m \in \mathbb{N}^*$, $\lambda \in \mathbb{K}^*$) by Lemma 4.2.1 and, as B' and B'' are consecutive,

$$\begin{aligned} \delta_k^{(k+1)} \left(X_e^{(k+1)} \right) = 0 &\Rightarrow \left(\delta_k^{(k+1)} \right)^s (X_j^{(k+1)}) = \lambda \left(\delta_k^{(k+1)} \right)^{s-1} \left(\left(X_e^{(k+1)} \right)^m \right) = 0 \text{ pour } s > 1 \\ &\Rightarrow X_j^{(k)} = X_j^{(k+1)} + \lambda' \left(X_e^{(k+1)} \right)^m \left(X_k^{(k+1)} \right)^{-1} \text{ avec } \lambda' \in \mathbb{K}^*. \end{aligned}$$

- If $X_k^{k+1} \in P^{(k+1)}$, then consider the homomorphism $g : A^{(k)} \rightarrow \frac{A^{(k+1)}}{(X_k^{(k+1)})}$ which satisfies $g(X_i^{(k)}) = \overline{X_i^{(k+1)}}$ ($:= X_i^{(k+1)} + (X_k^{(k+1)})$) for $i \in \llbracket 1, N \rrbracket$ (see Section 4.2). By definition of ϕ_k ([Cau03a, Notation 4.3.1.]), one has $P^{(k)} = g^{-1} \left(\frac{P^{(k+1)}}{(X_k^{(k+1)})} \right)$. So

$$X_j^{(k)} \in P^{(k)} \Rightarrow g(X_j^{(k)}) = \overline{X_j^{(k+1)}} \in \frac{P^{(k+1)}}{(X_k^{(k+1)})} \Rightarrow X_j^{(k+1)} \in P^{(k+1)}$$

- By 1., one has $X_e^{(e+1)} = \dots = X_e^{(k)} = X_e^{(k+1)}$ and $(X_e^{(e+1)} \in P^{(e+1)}) \Rightarrow \dots \Rightarrow (X_e^{(k)} \in P^{(k)}) \Rightarrow (X_e^{(k+1)} \in P^{(k+1)})$. Set, as in [Cau03a, Theorem 3.2.1], $S_k := \{ \left(X_k^{(k+1)} \right)^n \mid n \in \mathbb{N} \}$ so that $P^{(k+1)} = A^{(k+1)} \cap (P^{(k)} S_k^{-1})$ by definition of φ_k [Cau03a, Notation 4.3.1.]. Then one has :

$$X_j^{(k+1)} = X_j^{(k)} - \lambda' \left(X_e^{(k+1)} \right)^m \left(X_k^{(k+1)} \right)^{-1} = X_j^{(k)} - \lambda' \left(X_e^{(k)} \right)^m \left(X_k^{(k+1)} \right)^{-1} \in P^{(k)} S_k^{-1}.$$

As $X_j^{(k+1)}$ is also in $A^{(k+1)}$, one has $X_j^{(k+1)} \in P^{(k+1)}$, as claimed.

□

We use [Cau03a, Proposition 5.2.1] to determine the shape of Cauchon diagrams. Let us rewrite this proposition in our notation:

Proposition 5.1.3.

Let Δ be a Cauchon diagram and let $P \in \text{Spec}(A)$. The ideal P belongs to $\text{Spec}_\Delta(A)$ if and only if it satisfies the following criteria :

$$(\forall l \in \llbracket 1, N \rrbracket) \quad (X_l^{(l+1)} \in P^{(l+1)} \Leftrightarrow \beta_l \in \Delta)$$

We can now prove the following proposition.

Proposition 5.1.4.

Let Δ be a Cauchon diagram and $\beta_l \in \Delta$ ($1 \leq l \leq N$). Assume there is an integer $k \in \llbracket 1, l-1 \rrbracket$ such that $X_{\beta_l} X_{\beta_k} - q^{-(\beta_l, \beta_k)} X_{\beta_k} X_{\beta_l} = c X_{\beta_{i_1}} \dots X_{\beta_{i_s}}$ with $c \in \mathbb{K}^*$, $s \geq 1$ and $k < i_1 \leq \dots \leq i_s < l$. Then one of the β_{i_r} ($1 \leq r \leq s$) belongs to Δ .

Proof : Let $P \in \text{Spec}_\Delta(A)$. By Lemma 4.2.1, one has:

$$X_l^{(l+1)} X_k^{(l+1)} - q^{-(\beta_l, \beta_k)} X_k^{(l+1)} X_l^{(l+1)} = c X_{\beta_{i_1}}^{(l+1)} \dots X_{\beta_{i_s}}^{(l+1)} := M.$$

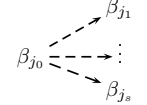
By Proposition 5.1.3, one has $X_l^{(l+1)} \in P^{(l+1)}$ so that $M \in P^{(l+1)}$. As $P^{(l+1)}$ is a prime ideal of $A^{(l+1)}$, we know by [BG02, II.6.9] that $P^{(l+1)}$ is completely prime, so that there exists $r \in \llbracket 1, s \rrbracket$ such that $X_{\beta_{i_r}}^{(l+1)} \in P^{(l+1)}$. By Lemma 5.1.1, we deduce that $X_{i_r}^{(i_r+1)} \in P^{(i_r+1)}$ and, by Proposition 5.1.3, we obtain $\beta_{i_r} \in \Delta$.

□

Convention.

We say that a diagram Δ satisfies the implication

1. $\beta_{j_0} \rightarrow \beta_{j_1}$ if $(\beta_{j_0} \in \Delta) \Rightarrow (\beta_{j_1} \in \Delta)$.

2.  if $(\beta_{j_0} \in \Delta) \Rightarrow (\beta_{j_1} \in \Delta) \text{ or } \dots \text{ or } (\beta_{j_1} \in \Delta)$.

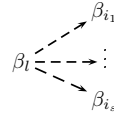
Proposition 5.1.4 can be rewritten as follows:

Proposition 5.1.5.

Let Δ be a Cauchon diagram and $\beta_l \in \Delta$ ($1 \leq l \leq N$). Assume that there exists an integer $k \in \llbracket 1, l-1 \rrbracket$ such that $X_{\beta_l} X_{\beta_k} - q^{-(\beta_l, \beta_k)} X_{\beta_k} X_{\beta_l} = c X_{\beta_{i_1}}^{m_1} \dots X_{\beta_{i_s}}^{m_s}$ with $c \in \mathbb{K}^*$, $s \geq 1$, $k < i_1 < \dots < i_s < l$ and $m_1, \dots, m_s \in \mathbb{N}^*$.

1. If $s = 1$, then the solid arrow $\beta_l \rightarrow \beta_{i_1}$ is an implication.

2. If $s \geq 2$, then the system



of dashed arrows is an implication.

In the three following propositions, denotes by Δ a Cauchon diagram.

Proposition 5.1.6.

Let $1 \leq l \leq n$ and $\beta \in C_l$. If there exists $i \in \llbracket 1, l-1 \rrbracket$ such that $\beta + \alpha_i = m\beta'$ with $m \in \mathbb{N}^*$ and $\beta' \in \Phi^+$, then $\beta \rightarrow \beta'$ is an implication.

Proof : We know (see Proposition 3.2.5 when Φ is of type G_2 , Corollary 3.2.7 when Φ is not of type G_2) that we have in this case a commutation relation of the type $E_\beta E_{\alpha_i} - q^{(\beta, \alpha_i)} E_{\alpha_i} E_\beta = kE_{\beta'}^m$ with $k \neq 0$ (where E_γ are defined in Section 3.2).

Then, it follows from Proposition 3.4.8 that $X_\beta X_{\alpha_i} - q^{-(\beta, \alpha_i)} X_{\alpha_i} X_\beta = k'X_{\beta'}^m$ with $k' \neq 0$. So we deduce from proposition 5.1.5 that $\beta \rightarrow \beta'$ is an implication. \square

Proposition 5.1.7.

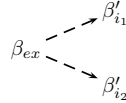
Let C_l ($1 \leq l \leq n$) be an exceptional column. If $\beta \in C_l$ is in the box following the box of the exceptional root β_{ex} , then $\beta \rightarrow \beta_{ex}$ is an implication.

Proof : Suppose first that Φ is of type G_2 . With the notation of Proposition 3.2.5, one has $l = 2$, $\beta_{ex} = \beta_4$, $\beta = \beta_5$ and one has a commutation formula of the type $E_{\beta_5} E_{\beta_3} - q^{(\beta_3, \beta_5)} E_{\beta_3} E_{\beta_5} = kE_{\beta_4}^m$ with $k \in \mathbb{K}^*$. It implies, by Proposition 5.1.5 that $\beta = \beta_5 \rightarrow \beta_{ex} = \beta_4$ is an implication.

Suppose now that Φ is not of type G_2 . We know (see Proposition 2.2.13) that $h'(\beta_{ex}) = t + \frac{1}{2}$ ($t \in \mathbb{N}^*$), so that $h'(\beta) = h(\beta) = t$. We also know (see Proposition 2.2.4) that if $D = \text{Vect}(\beta_{ex})$, one has $\beta' = s_D(\beta) = \beta_{ex} - \beta \in C_l$, so that $h'(\beta') = h(\beta') = h(\beta_{ex}) - h(\beta) = t + 1$. As a result, $P = \text{Vect}(\beta, \beta')$ is an admissible plane of type (1.1) or (1.2). So, by Proposition 3.2.6, we have a commutation relation of the type $E_\beta E_{\beta'} - q^{(\beta, \beta')} E_{\beta'} E_\beta = kE_{\beta_{ex}}$ with $k \neq 0$. As in Proposition 5.1.6, this implies that $\beta \rightarrow \beta_{ex}$ is an implication. \square

Proposition 5.1.8.

Let C_l ($1 \leq l \leq n$) be an exceptional column and β_{ex} be its exceptional root. Assume that there exists $i \in \llbracket 1, l \rrbracket$ such that $\beta_{ex} + \alpha_i = \beta'_{i_1} + \beta'_{i_2}$ with $\beta'_{i_1} \neq \beta'_{i_2}$ in the box which precedes β_{ex} . Then the system



is an implication.

Proof : As, by hypothesis, $\beta'_{i_1} \neq \beta'_{i_2}$ are in the box preceding the box of β_{ex} , the root system is not of type G_2 (see Proposition 3.2.5).

As in the proof of Proposition 5.1.6, it is enough to prove that:

$$[E_{\beta_{ex}}, E_{\alpha_i}]_q := E_{\beta_{ex}} E_{\alpha_i} - q^{(\beta_{ex}, \alpha_i)} E_{\alpha_i} E_{\beta_{ex}} = \lambda E_{\beta'_{i_1}} E_{\beta'_{i_2}} \text{ avec } \lambda \in \mathbb{K}^*$$

Recall from Proposition 2.2.4 that $\beta_{ex} \perp \alpha_i$, so that:

$$(\alpha_i, \beta'_{i_1} + \beta'_{i_2}) = (\alpha_i, \beta_{ex} + \alpha_i) = \|\alpha_i\|^2 \Rightarrow (\alpha_i, \beta'_{i_1}) > 0 \text{ or } (\alpha_i, \beta'_{i_2}) > 0.$$

We can assume, without loss of generality, that $(\alpha_i, \beta'_{i_2}) > 0$, so that (Corollary 3.2.7) $[E_{\beta'_{i_2}}, E_{\alpha_i}]_q = 0$.

As in the proof of the previous proposition, one has:

- $h'(\beta_{ex}) = t + \frac{1}{2}$ ($t \in \mathbb{N}^*$) and $h'(\beta'_{i_1}) = h'(\beta'_{i_2}) = t + 1$,
- $\beta_{i_1} = s_D(\beta'_{i_1})$ and $\beta_{i_2} = s_D(\beta'_{i_2})$ belong to C_l and satisfy $h'(\beta_{i_1}) = h'(\beta_{i_2}) = t$,
- $E_{\beta_{i_2}} E_{\beta'_{i_2}} - q^{(\beta_{i_2}, \beta'_{i_2})} E_{\beta'_{i_2}} E_{\beta_{i_2}} = k E_{\beta_{ex}}$ with $k \neq 0$. (*)

By definition of β_{i_2} , one has $\beta_{ex} = \beta_{i_2} + \beta'_{i_2}$, so that

$$\beta'_{i_1} + \beta'_{i_2} = \beta_{ex} + \alpha_i = \beta_{i_2} + \beta'_{i_2} + \alpha_i \Rightarrow \beta'_{i_1} = \beta_{i_2} + \alpha_i.$$

Thus, by Corollary 3.2.7, we have $[E_{\beta_{i_2}}, E_{\alpha_i}]_q := h E_{\beta'_{i_1}}$ ($h \neq 0$).

We know that $\mathcal{U}_q^+(\mathfrak{g})$ is $\mathbb{Z}\Phi$ -graded. So there is a (unique) automorphism σ of $\mathcal{U}_q^+(\mathfrak{g})$ such that for all $u \in \mathcal{U}_q^+(\mathfrak{g})$, homogeneous in degree β , $\sigma(u) = q^{(\beta, \alpha_i)} u$.

Denote by δ the interior right-sided σ -derivation associated to E_{α_i} , so that

$$\delta(u) = u E_{\alpha_i} - E_{\alpha_i} \sigma(u) \quad (\forall u \in \mathcal{U}_q^+(\mathfrak{g}))$$

If $\beta \in C_l$, one has $\delta(E_\beta) = E_\beta E_{\alpha_i} - q^{(\beta, \alpha_i)} E_{\alpha_i} E_\beta = [E_\beta, E_{\alpha_i}]_q$ and, this implies: $\delta(E_{\beta'_{i_2}}) = 0$ and $\delta(E_{\beta_{i_2}}) = h E_{\beta'_{i_1}}$. We can show with (*) that :

$$\begin{aligned} k[E_{\beta_{ex}}, E_{\alpha_i}]_q &= k\delta(\beta_{ex}) = \delta(E_{\beta_{i_2}} E_{\beta'_{i_2}}) - q^{(\beta_{i_2}, \beta'_{i_2})} \delta(E_{\beta'_{i_2}} E_{\beta_{i_2}}) \\ &= E_{\beta_{i_2}} \delta(E_{\beta'_{i_2}}) + \delta(E_{\beta_{i_2}}) \sigma(E_{\beta'_{i_2}}) - q^{(\beta_{i_2}, \beta'_{i_2})} (E_{\beta'_{i_2}} \delta(E_{\beta_{i_2}}) + \delta(E_{\beta'_{i_2}}) \sigma(E_{\beta_{i_2}})) \\ &= h[q^{(\beta'_{i_2}, \alpha_i)} E_{\beta'_{i_1}} E_{\beta'_{i_2}} - q^{(\beta_{i_2}, \beta'_{i_2})} E_{\beta'_{i_2}} E_{\beta'_{i_1}}] \end{aligned}$$

As β'_{i_2} and β'_{i_1} are in the same box, we know (Corollary 3.4.7) that $E_{\beta'_{i_1}} E_{\beta'_{i_2}} = E_{\beta'_{i_2}} E_{\beta'_{i_1}}$, so that:

$$k[E_{\beta_{ex}}, E_{\alpha_i}]_q = h(q^{(\beta'_{i_2}, \alpha_i)} - q^{(\beta_{i_2}, \beta'_{i_2})}) E_{\beta'_{i_1}} E_{\beta'_{i_2}}$$

Since $\beta_{i_2} + \beta'_{i_2} = \beta_{ex}$, $P = \text{Vect}(\beta_{i_2}, \beta'_{i_2})$ is an admissible plane of type (1.1) or (1.2) (see Remark 2.2.15) with $\{\beta_{i_2}, \beta'_{i_2}\} = \{\beta, \beta'\}$, so that $(\beta_{i_2}, \beta'_{i_2}) \leq 0$. As we have assumed that $(\alpha_i, \beta'_{i_2}) > 0$, this implies that:

$$[E_{\beta_{ex}}, E_{\alpha_i}]_q := E_{\beta_{ex}} E_{\alpha_i} - q^{(\beta_{ex}, \alpha_i)} E_{\alpha_i} E_{\beta_{ex}} = \lambda E_{\beta'_{i_1}} E_{\beta'_{i_2}} \text{ with } \lambda \neq 0.$$

□

5.2 Implications from an admissible plane

We define the notion of implications coming from an admissible plane P , and we verify that all Cauchon diagrams satisfy all implications from admissible planes. Let us begin by showing some precise results on the exceptional root and near boxes behaviour. First, let us recall some notation introduced in Sections 2 and 3.

Notation.

- C_1, \dots, C_n denote the columns of Φ^+ (relative to the chosen Lusztig order).
- In the following, we consider a diagram Δ , that is, Δ a subset of Φ^+ .

- For any integer $j \in \llbracket 1, n \rrbracket$, we set $\Delta_j := \Delta \cap C_j = \{\beta_{u_1}, \dots, \beta_{u_l}\} \subset C_j = \{\beta_k, \dots, \beta_r\}$. If the column C_j is exceptional, β_{ex} denotes the exceptional root and $B_{ex} := \{\beta_{ex}\}$ is its box. Then B_1 denote the box of C_j which precedes B_{ex} and B'_1 the one which follows B_{ex} in the Lusztig order ; so that $s_D(B_1) = B'_1$.

In Propositions 5.1.6, 5.1.7 and 5.1.8, we proved the existence of implications thanks to admissible planes. We formalise this fact in the following definition of "implications coming from an admissible plane" :

Definition 5.2.1.

Let $\beta \in C_j$ with $h'(\beta) = l$ and, P be an admissible plane.

1. If $\Phi_P^+ = \{\beta, \beta + \alpha_i, \alpha_i\}$ with $i < j$ type (2.1), then the implication coming from P is $\beta \rightarrow \beta + \alpha_i$.
 2. $\Phi_P^+ = \{\beta, \beta + \alpha_i, \beta + 2\alpha_i, \alpha_i\}$ with $i < j$ type (2.3), then the implications coming from P are $\beta \rightarrow \beta + \alpha_i$ and $\beta + \alpha_i \rightarrow \beta + 2\alpha_i$.
 3. $\Phi_P^+ = \{\beta, \beta + \beta', \beta\}$ with $i < j, \beta' \in C_j$ and $h(\beta') = h(\beta) + 1$ type (1.1), then the implication coming from P is $\beta \rightarrow \beta + \beta'$.
 4. $\Phi_P^+ = \{\alpha_i, \alpha_i + \beta, \alpha_i + 2\beta, \beta\}$ with $i < j$, $h'(\alpha_i + 2\beta) = \frac{2l+1}{2}$ and $h(\beta) = l$ type (1.2) or type (2.2), , then the implications coming from P are $\beta \rightarrow \alpha_i + \beta$, $\beta \rightarrow \alpha_i + 2\beta$ and $\alpha_i + 2\beta \rightarrow \alpha_i + \beta$.
 5. $\Phi_P^+ = \{\beta, \alpha_i\}$ with $i < j$, $\alpha_i \perp \beta$ and there are β_1 and β_2 in C_j such that $\beta + \alpha_i = \beta_1 + \beta_2$ type (2.4), then the implications coming from P are
-
- $\beta_{ex} \xrightarrow{\quad} \beta_1$
 $\beta_{ex} \xrightarrow{\quad} \beta_2$
6. $\Phi_P^+ = \Phi^+ = \{\beta_1, \dots, \beta_6\}$ is the positive part of a roots system of type G_2 (see Proposition 3.2.5), then the implications coming from P are $\beta_6 \rightarrow \beta_5$, $\beta_5 \rightarrow \beta_4$, $\beta_5 \rightarrow \beta_3$, $\beta_4 \rightarrow \beta_3$, $\beta_3 \rightarrow \beta_2$.

Lemma 5.2.2.

Let $\beta \in C_j$.

1. If β belongs to a box which follows $\{\beta_{ex}\}$, then $\beta \rightarrow \beta_{ex}$ is an implication from an admissible plane.
2. If there is $i < j$ such that $\gamma = \beta + \alpha_i \in \Phi^+$ then $\beta \rightarrow \gamma$ is an implication from an admissible plane.

Proof : The results holds in the case where Φ is of type G_2 . From now on, we assume that Φ is not of type G_2 .

1. Let $P = \langle \beta, \beta_{ex} \rangle$. It is an admissible plane of type 3 or 4 in the previous definition and in each case, $\beta \rightarrow \beta_{ex}$ is an implication coming from P .
2. Let $P = \langle \beta, \alpha_i \rangle$. It is an admissible plane of type 1,2 or 4 in the previous definition and in each case, $\beta \rightarrow \gamma$ is an implication coming from P .

□

Proposition 5.2.3.

Let Δ be a Cauchon diagram. Then Δ satisfies all the implication coming from admissible planes containing elements of Δ .

Proof : Let $\beta \in \Delta$ and P be an admissible plane containing β . Recall (see Definition 5.2.1) that $\Phi_P^+ = \Phi^+ \cap P$.

1. If $\Phi_P^+ = \{\beta, \beta + \alpha_i, \alpha_i\}$ with $i < j$, then it follows from Proposition 5.1.6 that Δ satisfies the implication $\beta \rightarrow \beta + \alpha_i$.
2. If $\Phi_P^+ = \{\beta, \beta + \alpha_i, \beta + 2\alpha_i, \alpha_i\}$ with $i < j$, then applying Proposition 5.1.6 to β and $\beta + \alpha_i$, we get that Δ satisfies the implications $\beta \rightarrow \beta + \alpha_i$ and $\beta + \alpha_i \rightarrow \beta + 2\alpha_i$.
3. If $\Phi_P^+ = \{\beta, \beta + \beta', \beta\}$ with $i < j, \beta' \in C_j$ and $h(\beta') = h(\beta) + 1$ then it follows from proposition 5.1.7 that Δ satisfies the implication $\beta \rightarrow \beta + \beta'$.
4. If $\Phi_P^+ = \{\alpha_i, \alpha_i + \beta, \alpha_i + 2\beta, \beta\}$ with $i < j$ and $h'(\alpha_i + 2\beta) = \frac{2l+1}{2}$, then it follows from Propositions 5.1.6, 5.1.7 and 5.1.8 that Δ satisfies the implications $\beta \rightarrow \alpha_i + \beta$, $\beta \rightarrow \alpha_i + 2\beta$ and $\alpha_i + 2\beta \rightarrow \alpha_i + \beta$.

5. If $\Phi_P^+ = \{\beta, \alpha_i\}$ with $i < j$, $\alpha_i \perp \beta$ and there exist β_1 and β_2 in C_j such that $\beta + \alpha_i = \beta_1 + \beta_2$, then it follows from proposition 5.1.8 that Δ satisfies the implication
-

6. If $\Phi_P^+ = \Phi^+$ is of type G_2 , Proposition 5.1.6 implies that Δ satisfies the implications $\beta_6 \rightarrow \beta_5, \beta_5 \rightarrow \beta_3, \beta_4 \rightarrow \beta_3, \beta_3 \rightarrow \beta_2$. Moreover Proposition 5.1.7 implies that Δ satisfies the implication $\beta_5 \rightarrow \beta_4$.

□

5.3 The converse

The goal of this section is to prove the converse of Proposition 5.2.3, that is:

Theorem 5.3.1.

If Δ is a diagram which satisfies all the implications coming from admissible planes, then Δ is a Cauchon diagram.

Let $\beta \in \Phi^+$ be a positive root of the column C_j . We denote by B_0 the box which contains β , by B_1 the box which precedes B_0 in the column C_j (if it exists) and by B_2 the box which precedes B_1 in C_j (if it exists).

Set $\Phi_\beta^+ = \{\alpha_i \mid i < j\} \cup \{\gamma < \beta \mid \gamma \text{ is in the box of } \beta\} \cup B_1 \cup (B_2 \text{ if } B_1 = \{\beta_{ex}\})$. If $\gamma \in \Phi^+$, then there exists $k \in \llbracket 1, N \rrbracket$ such that $\gamma = \beta_k$ and recall (see section 4.1) that $X_\gamma = X_k$.

Set $D_\beta := \mathbb{K} < X_\gamma \mid \gamma < \beta >$

Lemma 5.3.2.

$$D_\beta = \mathbb{K} < X_\gamma \mid \gamma \in \Phi_\beta^+ >$$

Proof : Set $D'_\beta := \mathbb{K} < X_\gamma \mid \gamma \in \Phi_\beta^+ > \subset D_\beta$. Let us start by showing that, for $i < j$, we have $\{X_\gamma, \gamma \in C_i\} \subset D'_\beta$. If Φ is of type G_2 , $\{X_\gamma, \gamma \in C_i\}$ is the empty set or it only contains $X_{\alpha_1} \in D'_\beta$. If Φ is not of type G_2 , then we prove this result by induction on $h(\gamma)$.

If $h(\gamma) = 1$, then $\gamma = \alpha_i$ and $X_\gamma \in D'_\beta$ by definition of Φ_β^+ .

If $h(\gamma) > 1$ and γ ordinary, then by Proposition 2.2.12, there exists $l < i$ such that $\gamma' = \gamma - \alpha_l \in \Phi^+$, so that, by Corollary 3.2.7 and Proposition 3.4.8, one has $X_\gamma \in \mathbb{K} < X_{\gamma'}, X_{\alpha_l} > \subset D'_\beta$ (by induction hypothesis).

If $h(\gamma) > 1$ and γ exceptional, then we know (see Proposition 2.2.4) that in this case, there are two ordinary roots of C_i , denoted η_1 and η_2 , such that $\eta_1 + \eta_2 = \gamma$ and $h(\eta_2) = h(\eta_1) + 1$. This implies by Corollary 3.2.7 and Proposition 3.4.8 that $X_\gamma \in \mathbb{K} < X_{\eta_1}, X_{\eta_2} > \subset D'_\beta$ (X_{η_1} and X_{η_2} are in D'_β because η_1 and η_2 are exceptional).

It just remains to show that $\{X_\gamma \mid \gamma \in C_j, \gamma < \beta\} \subset D'_\beta$.

If $h(\gamma) = h(\beta)$ with $\gamma < \beta$, then $\gamma \in \Phi_\beta^+$. So $X_\gamma \in D'_\beta$.

One uses again an induction to show that for each ordinary box B of C_j such that $B < B_0$ (i.e. all roots β of B are strictly less than all roots of B_0), one has $\{X_\gamma \mid \gamma \in B\} \subset D'_\beta$.

- **Assume that B_1 ordinary.**

The result is true for the box B_1 since $B_1 \subset \Phi_\beta^+$.

Let B be an ordinary root of C_j such that $h(B) > h(B_1)$ and $\gamma \in B$. By Proposition 2.2.12, there is $\alpha_l \in \Pi$ ($l < j$) such that $\gamma - \alpha_l \in \Phi^+$. Then $\gamma' := \gamma - \alpha_l$ is in an ordinary box B' of C_j such that $h(B) = h(B') + 1 > h(B') \geq h(B_1) > h(B_0)$ and one has $X_{\gamma'} \in D'_\beta$ by induction hypothesis.

If Φ is not of type G_2 , then we deduce from Corollary 3.2.7 and Proposition 3.4.8 that $[X_{\gamma'}, X_{\alpha_l}]_q = kX_\gamma$ with $k \in \mathbb{K}^\star$. As $X_{\alpha_l} \in D'_\beta$, this implies that $X_\gamma \in D'_\beta$.

If Φ is of type G_2 , then we deduce from Propositions 3.2.5 and 3.4.8 that $[X_{\gamma'}, X_{\alpha_l}]_q = kX_\gamma$ with $k \in \mathbb{K}^\star$. As $X_{\alpha_l} \in D'_\beta$, this implies that $X_\gamma \in D'_\beta$.

- **Assume that B_1 exceptional.**

The result is true for B_2 since, in this case, $B_2 \subset \Phi_\beta^+$.

This is the same proof as above with B_1 replaced by B_2 .

It just remains to prove that if $B = \{\beta_{ex}\}$ is an exceptional box of C_j such that $B < B_0$, then one has $X_{\beta_{ex}} \in D'_\beta$. If $B = B_1$, then one has $B \subset \Phi_\beta^+$, and the result is proved.
Assume that $B < B_1$. As above, one has $\beta_{ex} = \eta_1 + \eta_2$ with η_1 and η_2 two exceptional roots of C_j such that $h(\eta_2) = h(\eta_1) + 1$. The boxes of η_1 and η_2 are ordinary, on each side of B , so less than or equal to B_1 , so strictly less than B_0 . As the result holds for ordinary boxes, $X_{\eta_1} \in D'_\beta$ and $X_{\eta_2} \in D'_\beta$.
If Φ is not of type G_2 , then we deduce (as above) from Corollary 3.2.7 and Proposition 3.4.8 that $X_{\beta_{ex}} \in D'_\beta$.
If Φ is of type G_2 , we deduce (as above) from Propositions 3.2.5 and 3.4.8 that $X_{\beta_{ex}} \in D'_\beta$.
So we can conclude that $D_\beta = D'_\beta$. □

Let us recall that $A = \mathcal{U}_q^+(\mathfrak{g}) = \mathbb{K} < X_{\beta_i} \mid i \in [\![1, N]\!] > := \mathbb{K} < X_i \mid i \in [\![1, N]\!] >$. Let β_r and β_{r+1} ($1 \leq r \leq N-1$) be two consecutive roots of Φ^+ ($\beta_r < \beta_{r+1}$). Recall that $A^{(r+1)} = \mathbb{K} < X_i^{(r+1)} >$ and $A^{(r)} = \mathbb{K} < X_i^{(r)} >$ ($1 < r < N$) are the algebras deduced from A by the deleting derivation algorithm of Section 4.

Lemma 5.3.3.

Let $\beta_r \in \Phi^+$ be a positive root of the column C_j and $D_{\beta_r}^{(r+1)} := \mathbb{K} < X_\gamma^{(r+1)} \mid \gamma < \beta_r >$. Then

$$D_{\beta_r}^{(r+1)} = \mathbb{K} < X_\gamma^{(r+1)} \mid \gamma \in \Phi_{\beta_r}^+ > .$$

Proof : By Lemma 4.2.1, the commutation relations between the $X_\gamma^{(r+1)}$ with $\gamma \leq \beta_r$ are the same as the commutation relations between the X_γ with $\gamma \leq \beta_r$. So the proof is the same as the proof of lemma 5.3.2 but with X_γ replaced by $X_\gamma^{(r+1)}$. □

Denote, as in section 4, $\varphi : \text{Spec } A \hookrightarrow \text{Spec } (\overline{A})$ ($\overline{A} = A^{(2)}$) the canonical injection, that is, the composition of canonical injections $\varphi_r : \text{Spec } (A^{(r+1)}) \hookrightarrow \text{Spec } (A^{(r)})$ for $r \in [\![2, N]\!]$. Recall that a subset Δ of Φ^+ is a Cauchon diagram if and only if $(\exists P \in \text{Spec}(A))(\varphi(P) = \langle T_\gamma \mid \gamma \in \Delta \rangle)$.

Proof of Theorem 5.3.1 : Let $\Delta \subset \Phi^+$ a diagram satisfying the implications coming from the admissible planes. Set $Q := \langle T_\gamma \mid \gamma \in \Delta \rangle$. By [Cau03a, Section 5.5.], this is an $H^{(2)}$ -prime ideal, so completely prime, of $A^{(2)} = \overline{A}$ and, if $\beta \in \Phi^+ \setminus \Delta$, then T_β is regular modulo Q . So, $Q \cap \Phi^+ = \{T_\gamma \mid \gamma \in \Delta\}$.

Let us show by induction, that for each $r \in [\![2, N+1]\!]$, there exists $P^{(r)} \in \text{Spec } (A^{(r)})$ such that $Q = \varphi_2 \circ \dots \circ \varphi_{r-1}(P^{(r)})$. If $r = 2$, then in this case, one has $\varphi_2 \circ \dots \circ \varphi_{r-1} = Id_{\text{Spec}(\overline{A})}$ and $P^{(2)} = Q$.

Consider an integer $r \in [\![2, N]\!]$, assume that there exists $P^{(r)} \in \text{Spec}(A^{(r)})$ such that $\varphi_2 \circ \dots \circ \varphi_{r-1}(P^{(r)}) = Q$ and let us show there is $P^{(r+1)} \in \text{Spec}(A^{(r+1)})$ such that $\varphi_r(P^{(r+1)}) = P^{(r)}$ (So that $\varphi_2 \circ \dots \circ \varphi_r(P^{(r+1)}) = Q$).

- If $X_r^{(r)} \notin P^{(r)}$, then this follows from Proposition 4.3.4.
- Assume now that $X_r^{(r)} \in P^{(r)}$. From the second point of Proposition 4.3.4, it is enough to show that

$$\Theta^{(r)} \left(\delta_r^{(r+1)}(X_i^{(r+1)}) \right) \in P^{(r)} \quad \text{pour } 1 \leq i \leq r-1.$$

Observation. It is enough to prove that $\Theta^{(r)}(\delta_r^{(r+1)}(X_i^{(r+1)})) \in P^{(r)}$ for $i \in [\![1, r-1]\!]$ such that $\beta_i \in \Phi_{\beta_r}^+$.

Proof of the observation : Let $i \in [\![1, r-1]\!]$. It follows from Corollary 5.3.3 that:

$$X_i^{(r+1)} = \sum_{j_1, \dots, j_s \in \Gamma} m_{i,r+1} X_{j_1}^{(r+1)} \dots X_{j_s}^{(r+1)} \quad \text{où } \Gamma := \{j \in [\![1, r-1]\!] \mid \beta_j \in \Phi_{\beta_r}^+\}$$

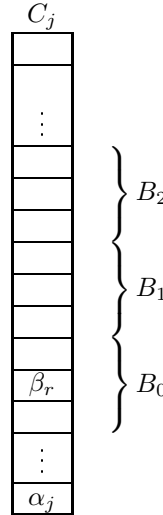
Thus

$$\begin{aligned}
\delta_r^{(r+1)}(X_i^{(r+1)}) &= \sum m_{i,r+1} \delta_r^{(r+1)}(X_{j_1}^{(r+1)} \dots X_{j_s}^{(r+1)}) \\
&= \sum m_{i,r+1} \left[\delta_r^{(r+1)}(X_{j_1}^{(r+1)}) X_{j_2}^{(r+1)} \dots X_{j_s}^{(r+1)} + \sigma_r^{(r+1)}(X_{j_1}^{(r+1)}) \delta_r^{(r+1)}(X_{j_2}^{(r+1)}) \dots X_{j_s}^{(r+1)} \right. \\
&\quad \left. + \dots + \sigma_r^{(r+1)}(X_{j_1}^{(r+1)} \dots X_{j_{s-1}}^{(r+1)}) \delta_r^{(r+1)}(X_{j_s}^{(r+1)}) \right] \\
&= \sum m_{i,r+1} \left[\delta_r^{(r+1)}(X_{j_1}^{(r+1)}) X_{j_2}^{(r+1)} \dots X_{j_s}^{(r+1)} + \lambda_{r,j_1} X_{j_1}^{(r+1)} \delta_r^{(r+1)}(X_{j_2}^{(r+1)}) \dots X_{j_s}^{(r+1)} \right. \\
&\quad \left. + \dots + \lambda_{r,j_1} \dots \lambda_{r,j_{s-1}} X_{j_1}^{(r+1)} \dots X_{j_{s-1}}^{(r+1)} \delta_r^{(r+1)}(X_{j_s}^{(r+1)}) \right]
\end{aligned}$$

Then

$$\begin{aligned}
\Theta^{(r)} \left(\delta_r^{(r+1)}(X_i^{(r+1)}) \right) &= \sum m_{j_1, \dots, j_s} \left[\Theta^{(r)} \left(\delta_r^{(r+1)}(X_{j_1}^{(r+1)}) \right) X_{j_2}^{(r)} \dots X_{j_s}^{(r)} \right. \\
&\quad \left. + \lambda_{r,j_1} X_{j_1}^{(r)} \Theta^{(r)} \left(\delta_r^{(r+1)}(X_{j_2}^{(r+1)}) \right) \dots X_{j_s}^{(r)} + \dots \right. \\
&\quad \left. + \lambda_{r,j_1} \dots \lambda_{r,j_{s-1}} X_{j_1}^{(r)} \dots X_{j_{s-1}}^{(r)} \Theta^{(r)} \left(\delta_r^{(r+1)}(X_{j_s}^{(r+1)}) \right) \right].
\end{aligned}$$

As each $\Theta^{(r)} \left(\delta_r^{(r+1)}(X_{j_l}^{(r+1)}) \right) \in P^{(r)}$ by hypothesis, one has $\Theta^{(r)} \left(\delta_r^{(r+1)}(X_i^{(r+1)}) \right) \in P^{(r)}$. □



Back to the proof of the Theorem 5.3.1 :

For each $s \in \llbracket 2, r-1 \rrbracket$, set $P^{(s)} = \varphi_s \circ \dots \varphi_{r-1}(P^{(r)})$.

Observation. $\beta_r \in \Delta$.

Indeed, as $X_r^{(r)} \in P^{(r)}$, Lemma 5.1.1 implies successively that $X_r^{(r-1)} \in P^{(r-1)}$, ..., $X_r^{(2)} \in P^{(2)} = Q$. Hence $T_{\beta_r} = X_r^{(2)} \in Q$ and so $\beta_r \in \Delta$.

Recall that, if $\beta_r \in C_j$, then $\Phi_{\beta_r}^+ = \{\alpha_i \mid i < j\} \cup \{\gamma < \beta_r \mid \gamma \in B_0\} \cup B_1 \cup (B_2 \text{ si } B_1 = \{\beta_{ex}\})$ (B_0 is the box containing β_r , B_1 is the box preceding B_0 if C_j if exists and B_2 is the box preceding B_1 in C_j if exists).

Let $i \in \llbracket 1, r-1 \rrbracket$ such that $\beta_i \in \Phi_{\beta_r}^+$.

- If $\beta_i \in B_0 \cup B_1$, then the Theorem 3.4.3 implies that $\delta_r^{(r+1)}(X_i^{(r+1)}) = 0$. Hence $\Theta^{(r)} \left(\delta_r^{(r+1)}(X_i^{(r+1)}) \right) = 0 \in P^{(r)}$.
- Let us assume that $B_1 = \{\beta_{ex}\}$ with $\beta_{ex} = \beta_e$ ($e < r$), and that $\beta_i \in B_2$. By Theorem 3.4.3, $\delta_r^{(r+1)}(X_i^{(r+1)}) = P_{r,i}^{(r+1)}$ is homogeneous of weight $\beta_r + \beta_i$ and the variables $X_l^{(r+1)}$ which appear in $P_{r,i}^{(r+1)}$ are such that $\beta_l \in B_1 = \{\beta_e\}$. So $P_{r,i}^{(r+1)}$ is equal to zero or is of the form λX_e^m with $\lambda \in \mathbb{K}^*$ and $m\beta_{ex} = \beta_r + \beta_i$, so that (by comparing the coefficient on α_j) one has $m = 1$.

If $P_{r,i}^{(r+1)} = 0$, then one has $\Theta^{(r)} \left(\delta_r^{(r+1)}(X_i^{(r+1)}) \right) = 0 \in P^{(r)}$.

Otherwise, assume that $P_{r,i}^{(r+1)} = \lambda X_e^m$. As Δ satisfies the implications from admissible planes, Lemma 5.2.2 implies that Δ satisfies the implication $\beta_r \rightarrow \beta_{ex}$ and, as $\beta_r \in \Delta$, one has $\beta_{ex} \in \Delta$.

Then $X_e^{(2)} \in Q = P^{(2)}$ and by Lemma 5.1.1, $X_e^{(e+1)} \in P^{(e+1)}$. As β_e and β_r are in consecutive boxes by construction, Lemma 5.1.2 shows that

$$X_e^{(e+1)} \in P^{(e+1)} \Rightarrow X_e^{(r)} \in P^{(r)}.$$

So, we deduce that $\Theta^{(r)} \left(\delta_r^{(r+1)}(X_i^{(r+1)}) \right) = \Theta^{(r)}(\lambda X_e^{(r+1)}) = \lambda X_e^{(r)} \in P^{(r)}$.

- Consider now the case where $\beta_i = \alpha_k$ with $k < j$.

If $\delta_r^{(r+1)}(X_i^{(r+1)}) = 0$, then one has $\Theta^{(r)} \left(\delta_r^{(r+1)}(X_i^{(r+1)}) \right) = 0 \in P^{(r)}$.

Assume that $\delta_r^{(r+1)}(X_i^{(r+1)}) \neq 0$. From Theorem 3.4.3, we get that

$$\delta_r^{(r+1)}(X_i^{(r+1)}) = \sum_{i < j_1 \leq \dots \leq j_s < r} c_{j_1, \dots, j_s} X_{j_1}^{(r+1)} \dots X_{j_s}^{(r+1)} \quad (c_{j_1, \dots, j_s} \in \mathbb{K})$$

$$c_{j_1, \dots, j_s} \in \mathbb{K}^* \Rightarrow (\beta_{j_1} + \dots + \beta_{j_s} = \beta_r + \alpha_k \text{ et } \beta_{j_1}, \dots, \beta_{j_s} \notin B_0)$$

This implies that

$$\Theta^{(r)} \left(\delta_r^{(r+1)}(X_i^{(r+1)}) \right) = \sum_{i < j_1 \leq \dots \leq j_s < r} c_{j_1, \dots, j_s} X_{j_1}^{(r)} \dots X_{j_s}^{(r)}$$

and that is enough to show that, if $c_{j_1, \dots, j_s} \in \mathbb{K}^*$, then one has $X_{j_1}^{(r)} \dots X_{j_s}^{(r)} \in P^{(r)}$.

So, take (j_1, \dots, j_s) such that $i < j_1 \leq \dots \leq j_s < r$ and let us assume that $c_{j_1, \dots, j_s} \neq 0$. Considering the coefficient of α_j in the following equality

$$\beta_{j_1} + \dots + \beta_{j_s} = \beta_r + \alpha_k, \tag{15}$$

we deduce that $\beta_{j_s} \in C_j$. As $\beta_{j_s} \notin B_0$ and $j_s < r$, the box B_1 exists.

The proof splits into three cases.

- B_0 and B_1 are ordinary. As $j_s < r$ and $\beta_{j_s} \notin B_0$, one has $h(\beta_r) < h(\beta_{j_s})$. By (15), $h(\beta_{j_s}) \leq h(\beta_r + \alpha_k) = h(\beta_r) + 1$. As a result, $s = 1$ and $\beta_{j_s} \in B_1$. That is why, on has (Lemma 5.2.2) the implication $\beta_r \rightarrow \beta_{j_s}$. Since $\beta_r \in \Delta$, one has $\beta_{j_s} \in \Delta$ and, as above, $X_{j_s}^{(j_s+1)} \in P^{(j_s+1)}$, so that $X_{j_s}^{(r)} \in P^{(r)}$. Hence the considered monomial whose coefficient $c_{j_1, \dots, j_s} \neq 0$ is in $P^{(r)}$.

- B_0 is ordinary and B_1 is exceptional so that B_2 exists. As in the previous case, one checks that $s = 1$ and $\beta_{j_s} \in B_2$. So from Lemma 5.2.2, there exists an implication $\beta_r \rightarrow \beta_{j_s}$. Also, From lemma 5.2.2, one has the implication $\beta_r \rightarrow \beta_e$. Since $\beta_r \in \Delta$, one has $\beta_e, \beta_{j_s} \in \Delta$, so that $X_e^{(e+1)} \in P^{(e+1)}$ and $X_{j_s}^{(j_s+1)} \in P^{(j_s+1)}$. By the second point of Lemma 5.1.2, one deduces that $X_{j_s}^{(r)} \in P^{(r)}$. Thus the considered monomial is in $P^{(r)}$.

- B_0 is exceptional. Since $\beta_{j_s} \notin B_0$, β_{j_s} is ordinary in C_j . By the equality (15), one has $s \geq 2$ and $\beta_{j_{s-1}}$ is also ordinary in C_j . Set $h(\beta_r) := 2l+1$ ($l \geq 1$). We knows that $h(\beta_{j_{s-1}}) \geq l+1$, $h(\beta_{j_s}) \geq l+1$ and $h(\beta_r + \alpha_k) = 2l+2$. This implies that $s = 2$ and $\beta_{j_{s-1}}, \beta_{j_s} \in B_1$. The equality (15) can be then written as $\beta_r + \alpha_k = \beta_{j_{s-1}} + \beta_{j_s}$.

- Assume $\beta_{j_{s-1}} \neq \beta_{j_s}$, so that $\beta_{j_{s-1}}$ and β_{j_s} are in the same box B_1 , so they are orthogonal. As a result, Φ is not of the type G_2 (in the G_2 case, the boxes contain only one element). Set $P := \langle \beta_{j_s}, \beta_{j_{s-1}} \rangle$ the plane spanned by β_{j_s} , $\beta_{j_{s-1}}$, and assume $\Phi_P^+ \neq \{\beta_{j_{s-1}}, \beta_{j_s}\}$. So, since Φ_P is not of type G_2 , Φ_P is of type A_2 or B_2 . As $\beta_{j_{s-1}}$ and β_{j_s} are orthogonal, Φ_P is of type B_2 and there exists $\beta \in \Phi^+$ such that $\beta_r + \alpha_k = \beta_{j_{s-1}} + \beta_{j_s} = m\beta$ with $m = 1$ or 2 .

If $m = 1$, then β and β_r are two distinct exceptional roots of C_j , which is impossible.

Hence $m = 2$ and so $\beta_r + \alpha_k = \beta_{j_{s-1}} + \beta_{j_s} = 2\beta$. This implies that $h(\beta) = l+1$, so that β is an element of B_1 too, different from $\beta_{j_{s-1}}$ and β_{j_s} . As a result, $\beta, \beta_{j_{s-1}}, \beta_{j_s}$ are pairwise orthogonal, which is a contradiction with the equality $\beta_{j_{s-1}} + \beta_{j_s} = 2\beta$.



 So one has $\Phi_P^+ = \{\beta_{j_{s-1}}, \beta_{j_s}\}$ and so we have the implication $\beta_r \rightarrow \beta_{j_s}$. Hence one of the two roots β_{j_s} , $\beta_{j_{s-1}}$ is in Δ . If, for example, $\beta_{j_s} \in \Delta$, one has, as in the first case, $X_{j_s}^{(j_s+1)} \in P^{(j_s+1)}$ and $X_{j_s}^{(r)} \in P^{(r)}$. The considered monomial is in $P^{(r)}$ as claimed.

- If $\beta_{j_{s-1}} = \beta_{j_s}$, then the equality (15) becomes $\beta_r + \alpha_k = 2\beta_{j_s}$. Set $\beta = s_D(\beta_{j_s}) = \beta_r - \beta_{j_s} \in \Phi^+$ and subtract β_{j_s} to each part of the previous equality, to obtain $\beta + \alpha_k = \beta_{j_s}$. Denote by P the plane spanned by β_r and β_{j_s} .

Assume that Φ is of type G_2 . Then one has $\beta_r = \beta_4$, $\alpha_k = \beta_1$ and $\beta_{j_s} = \beta_3$. By Definition 5.2.1, we have the implication $\beta_r \rightarrow \beta_{j_s}$.

Assume that Φ is not of type G_2 . The equality $\beta_r + \alpha_k = 2\beta_{j_s}$ implies that Φ_P is of type B_2 , so that $\Phi_P^+ = \{\alpha_k, \alpha_k + \beta = \beta_{j_s}, \alpha_k + 2\beta = \beta_r, \beta\}$ with $h(\beta) = h(\beta_r) - h(\beta_{j_s}) = 2l + 1 - (l + 1) = l$. So P is an admissible plane of type 4 in the sense of Definition 5.2.1. So we have again the implication $\beta_r \rightarrow \beta_{j_s}$. Thus, in all cases, one has $\beta_{j_s} \in \Delta$. So we have, as in the first case, $X_{j_s}^{(j_s+1)} \in P^{(j_s+1)}$ and $X_{j_s}^{(r)} \in P^{(r)}$. The considered monomial is again in $P^{(r)}$, as desired.

□

6 Cauchon diagrams for a particular decomposition of w_0 .

In this section, we give an explicit description of Cauchon diagrams for a chosen decomposition of w_0 in each type of simple Lie algebra of finite dimension.

6.1 Infinite series

6.1.1 Type A_n , $n \geq 1$

Convention.

The numbering of simple roots in the Dynkin diagram is as below :

$$\alpha_1 - \alpha_2 - \cdots - \alpha_{n-1} - \alpha_n.$$

We know (see for example [Lit98, Section 5]) that $s_{\alpha_1} \circ (s_{\alpha_2} \circ s_{\alpha_1}) \cdots \circ (s_{\alpha_n} \circ s_{\alpha_{n-1}} \circ \cdots \circ s_{\alpha_1})$ is a reduced decomposition of w_0 which induces the following order on positive roots. (We have arranged the roots in columns.)

C_1	C_2		C_n
$\beta_1 = \alpha_1$	$\beta_2 = \alpha_1 + \alpha_2$	\cdots	$\beta_{N-n+1} = \alpha_1 + \cdots + \alpha_{n-1} + \alpha_n$
	$\beta_3 = \alpha_2$	\cdots	\vdots
	\ddots		\vdots
			$\beta_N = \alpha_n$

This is a Lusztig order and none of the columns C_1, \dots, C_n is exceptional. Note that $|C_l| = l$.

Lemma 6.1.1.

If $1 \leq l \leq n$ and if β_j, β_{j+1} are two consecutive roots of C_l , then $\beta_{j+1} \rightarrow \beta_j$ is an implication.

Proof : If β_j and β_{j+1} are two consecutive roots of C_l , then there is a simple root α_i ($1 \leq i < l \leq n$) such that $\beta_j = \beta_{j+1} + \alpha_i$. From proposition 5.1.6, $\beta \rightarrow \beta + \alpha_i$ is an implication.

□

It implies :

Corollary 6.1.2.

If $C_l = \{\beta_s, \beta_{s+1}, \dots, \beta_r = \alpha_l\}$ is the column l with $1 \leq l \leq n$, then the implications coming from admissible planes are :

$$\beta_r \rightarrow \beta_{r-1} \rightarrow \dots \rightarrow \beta_{s+1} \rightarrow \beta_s$$

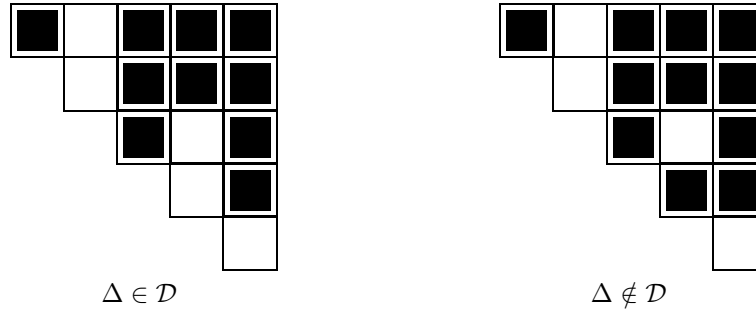
Convention.

- If $C_l = \{\beta_s, \beta_{s+1}, \dots, \beta_r = \alpha_l\}$ is the column l with $1 \leq l \leq n$, the truncated columns contained in C_l are subset of the form $\{\beta_s, \beta_{s+1}, \dots, \beta_t\}$, with $t \in \llbracket s, r \rrbracket$.
- Denote by \mathcal{D} the set of Cauchon diagrams, they satisfy the implications of Corollary 6.1.2.

Theorem 6.1.3.

\mathcal{D} is the set of all diagrams Δ which are unions of truncated columns.

From now on, in order to represent a diagram Δ , we fill the tabular used to describe the positive roots with black squares. The black squares represent the roots that belongs to the diagram. For example, the left-hand diagram below is $\Delta = \{\beta_1, \beta_4, \beta_5, \beta_6, \beta_7, \beta_8, \beta_{11}, \beta_{12}, \beta_{13}, \beta_{14}\}$.



Remark 6.1.4. The set of Cauchon diagrams \mathcal{D} has the same cardinality as the Weyl group W .

Proof : As \mathcal{D} is the set of all diagrams Δ which are unions of truncated columns, one has $|\mathcal{D}| = (n+1)! = |W|$. □

6.1.2 Type B_n , $n \geq 2$

Convention.

The numbering of simple roots in the Dynkin diagram is as below :

$$\alpha_1 \Leftarrow \alpha_2 - \cdots - \alpha_{n-1} - \alpha_n$$

We know (see for example [Lit98, Section 6]) that

$$s_{\alpha_1} \circ (s_{\alpha_2} \circ s_{\alpha_1} \circ s_{\alpha_2}) \cdots \circ (s_{\alpha_n} \circ s_{\alpha_{n-1}} \circ \cdots \circ s_{\alpha_2} \circ s_{\alpha_1} \circ s_{\alpha_2} \circ \cdots \circ s_{\alpha_n})$$

is a reduced decomposition of w_0 which induces the following order on positive roots.

		$\beta_{(n-1)^2+1} = 2\alpha_1 + \cdots + 2\alpha_{n-1} + \alpha_n$
		\vdots
$\beta_2 = 2\alpha_1 + \alpha_2$		$\beta_{N-n} = 2\alpha_1 + \alpha_2 + \cdots + \alpha_{n-1} + \alpha_n$
$\beta_1 = \alpha_1$	$\beta_3 = \alpha_1 + \alpha_2$	$\beta_{N-n+1} = \alpha_1 + \cdots + \alpha_{n-1} + \alpha_n$
	$\beta_4 = \alpha_2$	$\beta_{N-n+2} = \alpha_2 + \cdots + \alpha_{n-1} + \alpha_n$
		\vdots
		$\beta_N = \alpha_n$

This is a Lusztig order and none of the columns C_1, \dots, C_n is exceptional.

Lemma 6.1.5.

If $1 \leq l \leq n$ and if β_j, β_{j+1} are two consecutive roots of C_l , then $\beta_{j+1} \rightarrow \beta_j$ is an implication.

Proof : If β_j and β_{j+1} are two consecutive roots of C_l , then there is a simple root α_i ($1 \leq i < l \leq n$) such that $\beta_j = \beta_{j+1} + \alpha_i$. From Proposition 5.1.6, $\beta \rightarrow \beta + \alpha_i$ is an implication. □

It implies :

Corollary 6.1.6.

If $C_l = \{\beta_s, \beta_{s+1}, \dots, \beta_r = \alpha_l\}$ is the column l with $1 \leq l \leq n$, then the implications coming from admissible planes are :

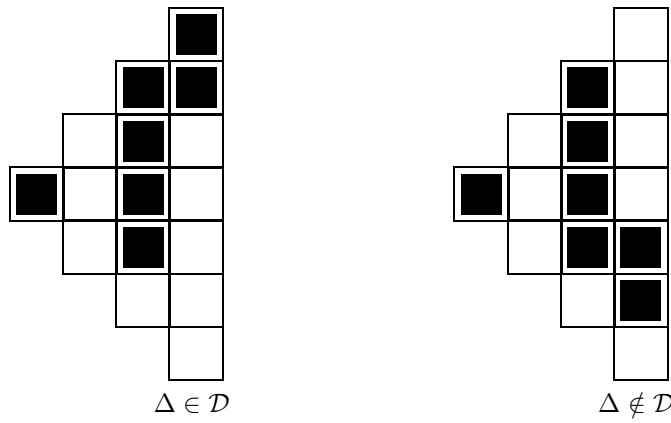
$$\beta_r \rightarrow \beta_{r-1} \rightarrow \dots \rightarrow \beta_{s+1} \rightarrow \beta_s$$

Convention.

- If $C_l = \{\beta_s, \beta_{s+1}, \dots, \beta_r = \alpha_l\}$ is the column l with $1 \leq l \leq n$, the truncated columns contained in C_l are subset of the form $\{\beta_s, \beta_{s+1}, \dots, \beta_t\}$, with $t \in \llbracket s, r \rrbracket$.
- Denote by \mathcal{D} the set of Cauchon diagrams, they satisfy the implications of Corollary 6.1.2.

Theorem 6.1.7.

\mathcal{D} is the set of all diagrams Δ which are unions of truncated columns.



Remark 6.1.8. The set of Cauchon diagrams \mathcal{D} has the same cardinality as the Weyl group W .

Proof : As \mathcal{D} is the set of all diagrams Δ which are unions of truncated columns, one has $|\mathcal{D}| = 2^{n+1}(n+1)! = |W|$. \square

6.1.3 Type C_n , $n \geq 3$

Convention.

The numbering of simple roots in the Dynkin diagram is as below :

$$\alpha_1 \Rightarrow \alpha_2 - \cdots - \alpha_{n-1} - \alpha_n$$

We know (see for example [Lit98, Section 6]) that

$$s_{\alpha_1} \circ (s_{\alpha_2} \circ s_{\alpha_1} \circ s_{\alpha_2}) \cdots \circ (s_{\alpha_n} \circ s_{\alpha_{n-1}} \circ \cdots \circ s_{\alpha_2} \circ s_{\alpha_1} \circ s_{\alpha_2} \circ \cdots \circ s_{\alpha_n})$$

is a reduced decomposition of w_0 which induces the following order on positive roots.

		$\beta_{(n-1)^2+1} = \alpha_1 + 2\alpha_2 + \cdots + 2\alpha_{n-1} + \alpha_n$
		\vdots
$\beta_2 = \alpha_1 + \alpha_2$		$\beta_{N-n} = \alpha_1 + \alpha_2 + \cdots + \alpha_{n-1} + \alpha_n$
$\beta_1 = \alpha_1$	$\beta_3 = \alpha_1 + 2\alpha_2$	$\beta_{N-n+1} = \alpha_1 + 2\alpha_2 + \cdots + 2\alpha_{n-1} + 2\alpha_n$
	$\beta_4 = \alpha_2$	$\beta_{N-n+2} = \alpha_2 + \cdots + \alpha_{n-1} + \alpha_n$
		\vdots
		$\beta_N = \alpha_n$

This is a Lusztig order and all the columns C_2, \dots, C_n are exceptional, the first one C_1 is ordinary.

Lemma 6.1.9.

If $1 \leq l \leq n$ and if β_j, β_{j+1} are two consecutive roots of C_l , then $\beta_{j+1} \rightarrow \beta_j$ is an implication.

Proof : Each column contains an odd number of elements, denoted by $C_l = \{\beta_{u_1}, \dots, \beta_{u_{2k+1}}\}$, $\beta_{u_{k+1}}$ is an exceptional root and all boxes contain a single root.

- Let $j \in \llbracket 1, k-1 \rrbracket \cup \llbracket k+1, 2k+1 \rrbracket$, β_{u_j} and $\beta_{u_{j+1}}$ be two consecutive roots of C_l . Then there is a simple root α_{i_j} ($1 \leq i_j < l \leq n$) such that $\beta_{u_j} = \beta_{u_{j+1}} + \alpha_{i_j}$. From Proposition 5.1.6, $\beta_{u_{j+1}} \rightarrow \beta_{u_j}$ is an implication.
- $\beta_{u_{k+2}}$ is in the box following the exceptional root, from Proposition 5.1.7, $\beta_{u_{k+2}} \rightarrow \beta_{u_{k+1}}$ is an implication.
- As $\beta_{u_{k+1}} + \alpha_1 = 2\beta_{u_{k+1}}$ so from Proposition 5.1.8, $\beta_{u_{k+1}} \rightarrow \beta_{u_k}$ is an implication.

\square

It implies :

Corollary 6.1.10.

If $C_l = \{\beta_s, \beta_{s+1}, \dots, \beta_r = \alpha_l\}$ is in the column l with $1 \leq l \leq n$, the implications coming from admissible planes are :

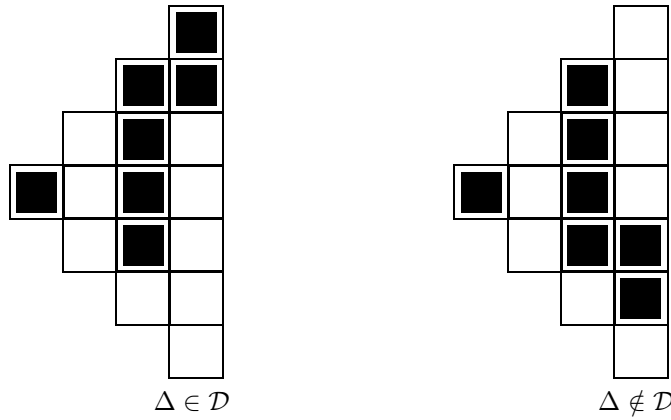
$$\beta_r \rightarrow \beta_{r-1} \rightarrow \dots \rightarrow \beta_{s+1} \rightarrow \beta_s$$

Convention.

- If $C_l = \{\beta_s, \beta_{s+1}, \dots, \beta_r = \alpha_l\}$ is the column l with $1 \leq l \leq n$, truncated columns contained in C_l are subset of the following shape $\{\beta_s, \beta_{s+1}, \dots, \beta_t\}$, with $t \in [s, r]$.
- Denote by \mathcal{D} the set of Cauchon diagrams, they satisfy the implications of Corollary 6.1.10.

Theorem 6.1.11.

\mathcal{D} is the set of all diagrams Δ which are unions of truncated columns.



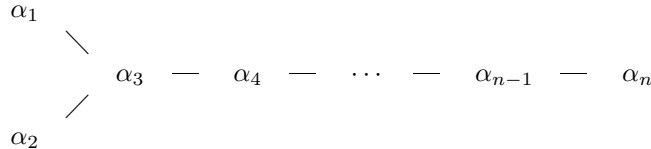
Remark 6.1.12. The set of Cauchon diagrams \mathcal{D} has the same cardinality as the Weyl group W .

Proof : As \mathcal{D} is the set of all diagrams Δ which are unions of truncated columns, one has $|\mathcal{D}| = 2^{n+1}(n+1)! = |W|$. \square

6.1.4 Type D_n , $n \geq 4$

Convention.

The numbering of simple roots in the Dynkin diagram is as below :



We know (see for example [Lit98, Section 6]) that :

$$s_{\alpha_1} \circ s_{\alpha_2} \circ (s_{\alpha_3} \circ s_{\alpha_1} \circ s_{\alpha_2} \circ s_{\alpha_3}) \cdots \circ (s_{\alpha_n} \circ s_{\alpha_{n-1}} \circ \cdots \circ s_{\alpha_3} \circ s_{\alpha_1} \circ s_{\alpha_2} \circ s_{\alpha_3} \circ \cdots \circ s_{\alpha_n})$$

is a reduced decomposition of w_0 which induces the following order on positive roots.

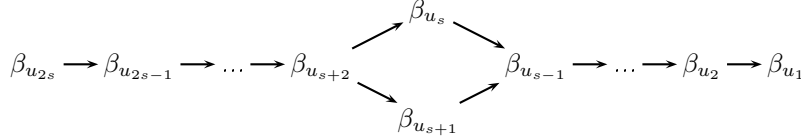
		$\beta_{N-2n+1} = \alpha_1 + \alpha_2 + 2\alpha_3 + \cdots + 2\alpha_{n-1} + \alpha_n$
		\vdots
$\beta_3 = \alpha_1 + \alpha_2 + \alpha_3$		$\beta_{N-n-1} = \alpha_1 + \alpha_2 + \alpha_3 + \cdots + \alpha_{n-1} + \alpha_n$
$\beta_1 = \alpha_1$	$\beta_4 = \alpha_2 + \alpha_3$	$\beta_{N-n} = \alpha_1 \text{ (or } \alpha_2) + \alpha_3 + \cdots + \alpha_{n-1} + \alpha_n$
$\beta_2 = \alpha_2$	$\beta_5 = \alpha_1 + \alpha_3$	$\beta_{N-n+1} = \alpha_2 \text{ (or } \alpha_1) + \alpha_3 + \cdots + \alpha_{n-1} + \alpha_n$
	$\beta_6 = \alpha_3$	$\beta_{N-n+2} = \alpha_3 + \cdots + \alpha_{n-1} + \alpha_n$
		\vdots
		$\beta_N = \alpha_n$

The two first columns has been putted together to have a better view of roots.

This is a Lusztig order and all the columns are ordinary.

Lemma 6.1.13.

Let $C_l = \{\beta_{u_1}, \dots, \beta_{u_s}, \beta_{u_{s+1}}, \dots, \beta_{u_{2s}}\}$ (with $s = l - 1$, $l \geq 3$), one has the implications :



Proof : Observe first that the box $B = \{\beta_{u_s}, \beta_{u_{s+1}}\}$ is the only one which contains more than one element.

- For $j \in \llbracket 1, s-2 \rrbracket$, one has $\beta_{u_{j+1}} + \alpha_{s-j} = \beta_{u_j}$ and $\beta_{u_{2s-j+1}} + \alpha_{s-j+1} = \beta_{u_{2s-j}}$. Thus by Proposition 5.1.6, one has the implications $\beta_{u_{j+1}} \rightarrow \beta_{u_j}$ et $\beta_{u_{2s-j+1}} \rightarrow \beta_{u_{2s-j}}$.
- One has $\beta_{u_{s+2}} + \alpha_1 \in B$ and $\beta_{u_{s+2}} + \alpha_2 \in B$ that is why from Proposition 5.1.6, we obtain the implications $\beta_{u_{s+2}} \rightarrow \beta_{u_{s+1}}$ and $\beta_{u_{s+2}} \rightarrow \beta_{u_s}$.
- One has $\beta_{u_{s-1}} - \alpha_1 \in B$ and $\beta_{u_{s-1}} - \alpha_2 \in B$ that is why from Proposition 5.1.6, we obtain the implications $\beta_{u_{s+1}} \rightarrow \beta_{u_{s-1}}$ and $\beta_{u_s} \rightarrow \beta_{u_{s-1}}$.

□

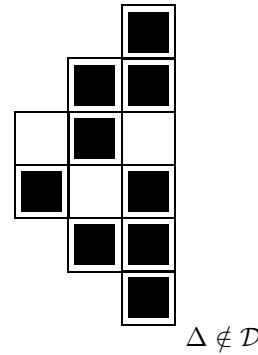
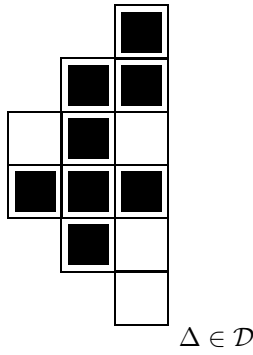
Convention.

- If $C_l = \{\beta_s, \beta_{s+1}, \dots, \beta_r = \alpha_l\}$ is the column l with $1 \leq l \leq n$, the truncated columns with a hole in position β_m ($s \leq m \leq r$) contained C_l are subset of the shape $\{\beta_s, \beta_{s+1}, \dots, \beta_{m-1}, \beta_{m+1}, \beta_t\}$, $t \in \llbracket s, r \rrbracket$.
- \mathcal{D} is the set of Cauchon diagrams, they satisfy implications from Lemma 6.1.13 pour $1 \leq l \leq n$.

Theorem 6.1.14.

\mathcal{D} is the set of truncated columns and truncated columns with a hole in the line of α_1 when this truncated column doesn't contains roots above the line of α_2 .

Thus :



Remark 6.1.15. The set of Cauchon diagrams \mathcal{D} has the same cardinality as the Weyl group W .

Proof : As \mathcal{D} is the set of truncated columns with or without a hole in a fixed position, we can compute its cardinality :

$$|\mathcal{D}| = 4 \times 6 \times 8 \times \dots \times 2n = 2^{n-1}n! = |W|.$$

□

6.2 Exceptional cases

6.2.1 Type G_2

Convention.

The numbering of simple roots in the Dynkin diagram is as below :

$$\alpha_1 \Leftarrow \alpha_2$$

We know that $s_{\alpha_1} \circ s_{\alpha_2} \circ s_{\alpha_1} \circ s_{\alpha_2} \circ s_{\alpha_1} \circ s_{\alpha_2}$ is a reduced decomposition of w_0 which induces the following order on positive roots.

	$\beta_2 = 3\alpha_1 + \alpha_2$
	$\beta_3 = 2\alpha_1 + \alpha_2$
$\beta_1 = \alpha_1$	$\beta_4 = 3\alpha_1 + 2\alpha_2$
	$\beta_5 = \alpha_1 + \alpha_2$
	$\beta_6 = \alpha_2$

Lemma 6.2.1.

One has the following implications : $\beta_6 \longrightarrow \beta_5 \longrightarrow \beta_4 \longrightarrow \beta_3 \longrightarrow \beta_2$

Proof : To prove this implications, we apply Propositions 5.1.6, 5.1.7 and 5.1.8 with the following equalities (β_4 is an exceptional root):

$$\beta_6 + \alpha_1 = \beta_5, h'(\beta_5) + 1 = \beta_4, \beta_4 + \alpha_1 = 2\beta_3, \beta_3 + \alpha_1 = \beta_2.$$

□

Convention.

\mathcal{D} is the set of Cauchon diagrams, they satisfy implications from lemma 6.2.1 .

Remark 6.2.2. The set of Cauchon diagrams \mathcal{D} has the same cardinality as the Weyl group W .

Proof :

$$|\mathcal{D}| = 2 \times 6 = 12 = |W|.$$

□

6.2.2 Type F_4

Convention.

The numbering of simple roots in the Dynkin diagram is as below :

$$\alpha_1 — \alpha_2 \Rightarrow \alpha_3 — \alpha_4$$

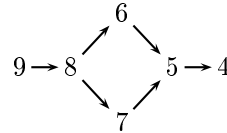
We choose the following reduced decomposition of w_0 :

$$w_0 = s_4 s_3 s_4 s_2 s_3 s_4 s_2 s_3 s_2 s_1 s_2 s_3 s_4 s_2 s_3 s_1 s_2 s_1 s_3 s_4 s_2 s_3 s_2 s_1$$

This decomposition induces the following order on positive roots :

	$\beta_{10}(1, 3, 4, 2)$		10
	$\beta_{11}(1, 2, 4, 2)$		9
	$\beta_{12}(1, 2, 3, 2)$		8
	$\beta_{13}(1, 2, 3, 1)$		7
	$\beta_4(0, 1, 2, 2)$	$\beta_{14}(1, 2, 2, 2)$	5
	$\beta_5(0, 1, 2, 1)$	$\beta_{15}(1, 2, 2, 1)$	6
	$\beta_2(0, 0, 1, 1)$	$\beta_6(0, 1, 1, 1)$	2
$\beta_1(0, 0, 0, 1)$	$\beta_3(0, 0, 1, 0)$	$\beta_7(0, 1, 2, 0)$	3
		$\beta_{17}(2, 3, 4, 2)$	11/2
		$\beta_8(0, 1, 1, 0)$	2
		$\beta_{18}(1, 2, 2, 0)$	5
		$\beta_9(0, 1, 0, 0)$	1
		$\beta_{20}(1, 1, 1, 1)$	4
		$\beta_{21}(1, 1, 2, 0)$	4
		$\beta_{22}(1, 1, 1, 0)$	3
		$\beta_{23}(1, 1, 0, 0)$	2
		$\beta_{24}(1, 0, 0, 0)$	1

One checks that each column is ordinary or exceptional and then computes $h'(\beta_i)$ for all roots to verify that the order is a Lusztig one. We already know the form of diagrams for the two first columns. Thanks to commutation relations and Proposition 5.1.6, we obtain the following implications for penultimate column :



So there are 8 possibilities to construct a diagrams satisfying the implications.

From Propositions 5.1.6, 5.1.7 and 5.1.8, one obtains the following implications for the last column:

Diagrams beginning with case : Counting diagrams :

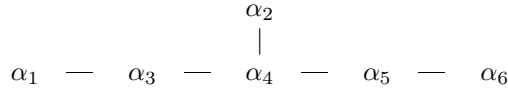
none	1	24
10	1	23
11	1	22
12	1	20
13	1	19
14	2	18
15	1	17
16	3	16
17	2	15
18	2	14
19	2	12
20	2	11
21	2	
22	1	
23	1	
24	1	
TOTAL	24	10

So we count : $2 \times 3 \times 8 \times 24 = 2^7 \times 3^2$ diagrams which is the cardinality of Weyl group.

6.2.3 Type E_6

Convention.

The numbering of simple roots in the Dynkin diagram is as below :



To describe the chosen reduced decomposition of w_0 , we remark that the roots α_1 to α_5 span a roots system of D_5 . Denote by τ , the longest Weyl word used for D_5 then the decomposition

$$\tau s_6 s_5 s_4 s_2 s_3 s_1 s_4 s_3 s_5 s_4 s_6 s_2 s_5 s_4 s_3 s_1$$

is a reduced decomposition of w_0 which induces the following order on positive roots :

$\beta_{21} = (1, 2, 2, 3, 2, 1)$				
$\beta_{22} = (1, 1, 2, 3, 2, 1)$				
$\beta_{23} = (1, 1, 2, 2, 2, 1)$				
$\beta_{24} = (1, 1, 2, 2, 1, 1)$				
$\beta_{13} = \alpha_1 + \alpha_2 + 2\alpha_3 + 2\alpha_4 + \alpha_5$	$\beta_{25} = (1, 1, 1, 2, 2, 1)$			
$\beta_7 = \alpha_2 + \alpha_3 + 2\alpha_4 + \alpha_5$	$\beta_{14} = \alpha_1 + \alpha_2 + \alpha_3 + 2\alpha_4 + \alpha_5$	$\beta_{26} = (0, 1, 1, 2, 2, 1)$		
$\beta_3 = \alpha_2 + \alpha_4 + \alpha_5$	$\beta_8 = \alpha_2 + \alpha_3 + \alpha_4 + \alpha_5$	$\beta_{15} = \alpha_1 + \alpha_2 + \alpha_3 + \alpha_4 + \alpha_5$	$\beta_{27} = (1, 1, 1, 2, 1, 1)$	
$\beta_1 = \alpha_2$	$\beta_4 = \alpha_4 + \alpha_5$	$\beta_{16} = \alpha_1 + \alpha_3 + \alpha_4 + \alpha_5$	$\beta_{28} = (0, 1, 1, 2, 1, 1)$	
$\beta_2 = \alpha_5$	$\beta_5 = \alpha_2 + \alpha_4$	$\beta_{17} = \alpha_1 + \alpha_2 + \alpha_3 + \alpha_4$	$\beta_{29} = (1, 1, 1, 1, 1, 1)$	
$\beta_6 = \alpha_4$	$\beta_{11} = \alpha_3 + \alpha_4$	$\beta_{18} = \alpha_1 + \alpha_3 + \alpha_4$	$\beta_{30} = (0, 1, 1, 1, 1, 1)$	
	$\beta_{12} = \alpha_3$	$\beta_{19} = \alpha_1 + \alpha_3$	$\beta_{31} = (1, 0, 1, 1, 1, 1)$	
		$\beta_{20} = \alpha_1$	$\beta_{32} = (0, 1, 0, 1, 1, 1)$	
			$\beta_{33} = (0, 0, 1, 1, 1, 1)$	
			$\beta_{34} = (0, 0, 0, 1, 1, 1)$	
			$\beta_{35} = (0, 0, 0, 0, 1, 1)$	
			$\beta_{36} = (0, 0, 0, 0, 0, 1)$	

One obtains the following implications thanks to Proposition 5.1.6, one counts the diagrams satisfying the implications :

Diagrams beginning by :	Counting the diagrams :
none	1
21	1
22	1
23	1
24	1
25	2
26	2
27	2
28	1
29	3
30	1
31	4
32	2
33	2
34	1
35	1
36	1
TOTAL	$27 = 3^3$

For the first five columns, we have a system of type D_5 , so $4 \times 6 \times 8 \times 10 = 2^7 \times 3 \times 5$ diagrams.

By adding the last one, one obtains $2^7 \times 3^4 \times 5$ diagrams which equal the cardinality of the Weyl group. So the set of Cauchon diagrams \mathcal{D} has the same cardinality as the Weyl group W .

6.2.4 Type E_7

Convention.

The numbering of simple roots in the Dynkin diagram is as below :

$$\alpha_1 - \alpha_3 - \alpha_4 - \alpha_5 - \alpha_6 - \alpha_7$$

α_2
|

As the roots α_1 to α_6 span a roots system of type E_6 , denote by σ the longest Weyl word used for the type E_6 . The decomposition

$$\sigma s_7 s_6 s_5 s_4 s_2 s_3 s_1 s_4 s_3 s_5 s_4 s_6 s_2 s_5 s_7 s_4 s_6 s_3 s_5 s_1 s_4 s_2 s_3 s_4 s_5 s_6 s_7$$

is a reduced decomposition of w_0 which induces the following order on positive roots. To stock all the informations in a tabular, we replace vectors by their coordinates on the basis $\alpha_1, \dots, \alpha_7$ omitting useless coordinates.

							$\alpha_1, \alpha_2, \alpha_3, \alpha_4, \alpha_5, \alpha_6, \alpha_7$
							$\beta_{37}(2, 2, 3, 4, 3, 2, 1)$
							$\beta_{38}(1, 2, 3, 4, 3, 2, 1)$
							$\beta_{39}(1, 2, 2, 4, 3, 2, 1)$
							$\beta_{40}(1, 2, 2, 3, 3, 2, 1)$
							$\beta_{41}(1, 1, 2, 3, 3, 2, 1)$
							$\beta_{42}(1, 2, 2, 3, 2, 2, 1)$
							$\beta_{21}(1, 2, 2, 3, 2, 1)$
							$\beta_{43}(1, 2, 2, 3, 2, 1, 1)$
							$\beta_{22}(1, 1, 2, 3, 2, 1)$
							$\beta_{44}(1, 1, 2, 3, 2, 2, 1)$
							$\beta_{23}(1, 1, 2, 2, 2, 1)$
							$\beta_{45}(1, 1, 2, 3, 2, 1, 1)$
							$\beta_{24}(1, 1, 2, 2, 1, 1)$
							$\beta_{46}(1, 1, 2, 2, 2, 2, 1)$
							$\beta_{13}(1, 1, 2, 2, 1)$
							$\beta_{25}(1, 1, 1, 2, 2, 1)$
							$\beta_{47}(1, 1, 2, 2, 2, 1, 1)$
							$\beta_{27}(1, 1, 1, 2, 1, 1)$
							$\beta_{48}(1, 1, 2, 2, 1, 1, 1)$
							$\beta_{28}(0, 1, 1, 2, 1, 1)$
							$\beta_{50}(1, 1, 1, 2, 2, 1, 1)$
							$\beta_{29}(1, 1, 1, 1, 1, 1)$
							$\beta_{51}(0, 1, 1, 2, 2, 2, 1)$
							$\beta_{30}(0, 1, 1, 1, 1, 1)$
							$\beta_{52}(1, 1, 1, 2, 1, 1, 1)$
							$\beta_{53}(0, 1, 1, 2, 2, 1, 1)$
							$\beta_{32}(0, 1, 0, 1, 1, 1)$
							$\beta_{54}(1, 1, 1, 1, 1, 1, 1)$
							$\beta_{33}(0, 0, 1, 1, 1, 1)$
							$\beta_{55}(0, 1, 1, 2, 1, 1, 1)$
							$\beta_{34}(0, 0, 0, 1, 1, 1)$
							$\beta_{56}(1, 0, 1, 1, 1, 1, 1)$
							$\beta_{35}(0, 0, 0, 0, 1, 1)$
							$\beta_{57}(0, 1, 1, 1, 1, 1, 1)$
							$\beta_{36}(0, 0, 0, 0, 0, 1)$
							$\beta_{58}(0, 1, 0, 1, 1, 1, 1)$
							$\beta_{59}(0, 0, 1, 1, 1, 1, 1)$
							$\beta_{60}(0, 0, 0, 1, 1, 1, 1)$
							$\beta_{61}(0, 0, 0, 0, 1, 1, 1)$
							$\beta_{62}(0, 0, 0, 0, 0, 1, 1)$
							$\beta_{63}(0, 0, 0, 0, 0, 0, 1)$

We already know the form of diagrams for the first six columns. We use the same methods as in type E_6 (Proposition 5.1.6) to find the implications in the last columns of type E_7 . One obtains :

Diagrams beginning :	Counting the diagrams
none	1
37	1
38	1
39	1
40	1
41	1
42	2
43	2
44	2
45	1
46	3
47	1
48	4
49	2
50	2
51	6
52	2
53	4
54	3
55	2
56	4
57	2
58	3
59	2
60	1
61	1
62	1
63	1
TOTAL	$56 = 2^3 \times 7$

Cauchon diagrams for the first six columns come from the type E_6 , that is to say $2^7 \times 3^4 \times 5$ diagrams. With the last column, one has $2^{10} \times 3^4 \times 5 \times 7$ diagrams which equals the cardinality of the Weyl group. We have again $|\mathcal{D}| = |W|$.

6.2.5 Type E_8

Convention.

The numbering of simple roots in the Dynkin diagram is as below :

$$\begin{array}{ccccccccccccc} & & & & \alpha_2 & & & & & & & & & \\ & & & & | & & & & & & & & & \\ \alpha_1 & - & \alpha_3 & - & \alpha_4 & - & \alpha_5 & - & \alpha_6 & - & \alpha_7 & - & \alpha_8 & \end{array}$$

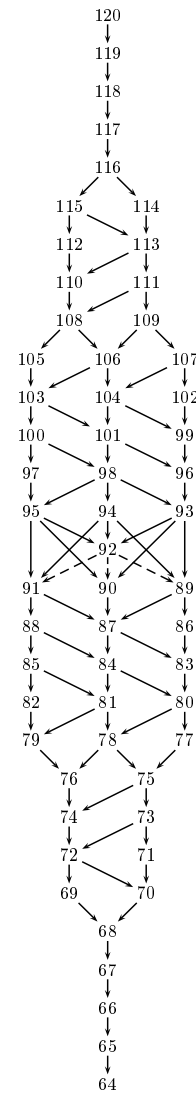
As the roots α_1 to α_7 span a roots system of type E_7 , denote by σ_7 , the longest Weyl word used for type E_7 . The decomposition

$$\begin{aligned} & \sigma_7 s_8 s_7 s_6 s_5 s_4 s_2 s_3 s_1 s_4 s_3 s_5 s_4 s_6 s_2 s_5 s_7 s_4 s_6 s_8 s_3 s_5 s_7 s_1 s_4 s_6 s_3 s_2 s_5 s_4 s_5 s_2 s_3 s_6 s_1 s_4 s_7 s_3 s_5 s_8 s_4 s_6 s_2 s_5 s_7 s_4 \\ & s_6 s_3 s_5 s_1 s_4 s_2 s_3 s_4 s_5 s_6 s_7 s_8. \end{aligned}$$

is a reduced decomposition of w_0 which induces the following order on positive roots. (Only the last column is given). In the second column of this tabular, we compute $h'(\beta_i)$:

β_i	$h'(\beta_i)$
$\beta_{64}(2, 3, 4, 6, 5, 4, 3, 1)$	28
$\beta_{65}(2, 3, 4, 6, 5, 4, 2, 1)$	27
$\beta_{66}(2, 3, 4, 6, 5, 3, 2, 1)$	26
$\beta_{67}(2, 3, 4, 6, 4, 3, 2, 1)$	25
$\beta_{68}(2, 3, 4, 5, 4, 3, 2, 1)$	24
$\beta_{69}(2, 2, 4, 5, 4, 3, 2, 1)$	23
$\beta_{70}(2, 3, 3, 5, 4, 3, 2, 1)$	23
$\beta_{71}(1, 3, 3, 5, 4, 3, 2, 1)$	22
$\beta_{72}(2, 2, 3, 5, 4, 3, 2, 1)$	22
$\beta_{73}(1, 2, 3, 5, 4, 3, 2, 1)$	21
$\beta_{74}(2, 2, 3, 4, 4, 3, 2, 1)$	21
$\beta_{75}(1, 2, 3, 4, 4, 3, 2, 1)$	20
$\beta_{76}(2, 2, 3, 4, 3, 3, 2, 1)$	20
$\beta_{77}(1, 2, 2, 4, 4, 3, 2, 1)$	19
$\beta_{78}(1, 2, 3, 4, 3, 3, 2, 1)$	19
$\beta_{79}(2, 2, 3, 4, 3, 2, 2, 1)$	19
$\beta_{80}(1, 2, 2, 4, 3, 3, 2, 1)$	18
$\beta_{81}(1, 2, 3, 4, 3, 2, 2, 1)$	18
$\beta_{82}(2, 2, 3, 4, 3, 2, 1, 1)$	18
$\beta_{83}(1, 2, 2, 3, 3, 3, 2, 1)$	17
$\beta_{84}(1, 2, 2, 4, 3, 2, 2, 1)$	17
$\beta_{85}(1, 2, 3, 4, 3, 2, 1, 1)$	17
$\beta_{86}(1, 1, 2, 3, 3, 3, 2, 1)$	16
$\beta_{87}(1, 2, 2, 3, 3, 2, 2, 1)$	16
$\beta_{88}(1, 2, 2, 4, 3, 2, 1, 1)$	16
$\beta_{89}(1, 1, 2, 3, 3, 2, 2, 1)$	15
$\beta_{90}(1, 2, 2, 3, 2, 2, 2, 1)$	15
$\beta_{91}(1, 2, 2, 3, 3, 2, 1, 1)$	15
$\beta_{92}(2, 3, 4, 6, 5, 4, 3, 2)$	29/2

β_i	$h'(\beta_i)$
$\beta_{93}(1, 1, 2, 3, 2, 2, 2, 1)$	14
$\beta_{94}(1, 1, 2, 3, 3, 2, 1, 1)$	14
$\beta_{95}(1, 2, 2, 3, 2, 2, 1, 1)$	14
$\beta_{96}(1, 1, 2, 2, 2, 2, 2, 1)$	13
$\beta_{97}(1, 2, 2, 3, 2, 1, 1, 1)$	13
$\beta_{98}(1, 1, 2, 3, 2, 2, 1, 1)$	13
$\beta_{99}(1, 1, 1, 2, 2, 2, 2, 1)$	12
$\beta_{100}(1, 1, 2, 3, 2, 1, 1, 1)$	12
$\beta_{101}(1, 1, 2, 2, 2, 2, 1, 1)$	12
$\beta_{102}(0, 1, 1, 2, 2, 2, 2, 1)$	11
$\beta_{103}(1, 1, 2, 2, 2, 1, 1, 1)$	11
$\beta_{104}(1, 1, 1, 2, 2, 2, 1, 1)$	11
$\beta_{105}(1, 1, 2, 2, 1, 1, 1, 1)$	10
$\beta_{106}(1, 1, 1, 2, 2, 1, 1, 1)$	10
$\beta_{107}(0, 1, 1, 2, 2, 2, 1, 1)$	10
$\beta_{108}(1, 1, 1, 2, 1, 1, 1, 1)$	9
$\beta_{109}(0, 1, 1, 2, 2, 1, 1, 1)$	9
$\beta_{110}(1, 1, 1, 1, 1, 1, 1, 1)$	8
$\beta_{111}(0, 1, 1, 2, 1, 1, 1, 1)$	8
$\beta_{112}(1, 0, 1, 1, 1, 1, 1, 1)$	7
$\beta_{113}(0, 1, 1, 1, 1, 1, 1, 1)$	7
$\beta_{114}(0, 1, 0, 1, 1, 1, 1, 1)$	6
$\beta_{115}(0, 0, 1, 1, 1, 1, 1, 1)$	6
$\beta_{116}(0, 0, 0, 1, 1, 1, 1, 1)$	5
$\beta_{117}(0, 0, 0, 0, 1, 1, 1, 1)$	4
$\beta_{118}(0, 0, 0, 0, 0, 1, 1, 1)$	3
$\beta_{119}(0, 0, 0, 0, 0, 0, 1, 1)$	2
$\beta_{120}(0, 0, 0, 0, 0, 0, 0, 1)$	1



We already know the shape of diagrams from the first seven columns. Thanks to Propositions 5.1.6, 5.1.7 and 5.1.8, one obtains the implications for the last column.

In particular, we obtain implications such as $(\mathbf{i} \Rightarrow \mathbf{j} \text{ or } \mathbf{k})$:

$$(92 \Rightarrow 91 \text{ or } 90) \text{ and } (92 \Rightarrow 90 \text{ or } 89) \text{ and } (92 \Rightarrow 91 \text{ or } 89).$$

Those implications appear with dashed arrows in the diagram :

With the previous implications, we can count the diagrams.

Diagrams beginning :	Counting diagrams	Diagrams beginning :	Counting diagrams
none	1	93	5
64	1	94	3
65	1	95	6
66	1	96	8
67	1	97	8
68	1	98	4
69	1	99	12
70	2	100	3
71	2	101	6
72	2	102	16
73	1	103	3
74	3	104	8
75	1	105	5
76	4	106	4
77	2	107	7
78	2	108	3
79	7	109	3
80	2	110	4
81	3	111	2
82	11	112	5
83	5	113	2
84	4	114	2
85	6	115	2
86	9	116	1
87	6	117	1
88	5	118	1
89	4	119	1
90	12	120	1
91	6		
92	8	TOTAL	$240 = 2^4 \times 3 \times 5$

For the first seven columns, one have a system of type E_7 , so $2^{10} \times 3^4 \times 5$ diagrams.

By adding the last column, we count $2^{10} \times 3^4 \times 5 \times 7$ diagrams which equals the cardinality of the Weyl group. We have as in the other cases $|\mathcal{D}| = |W|$.

Contents

1	Introduction	1
2	Root systems	2
2.1	Classical results on root systems	2
2.2	Lusztig order	4
3	The quantized enveloping algebra $\mathcal{U}_q(\mathfrak{g})$	10
3.1	Recalls on $\mathcal{U}_q(\mathfrak{g})$	10
3.2	Lusztig's construction	11
3.3	Jantzen's construction	13
3.4	Commutation relations between X_γ in admissible planes	14
3.4.1	Construction of a third generating system	14
3.4.2	Relations between E_β and X'_β	14
3.4.3	Link with Jantzen's construction	16
4	Deleting derivations in $\mathcal{U}_q^+(\mathfrak{g})$	17
4.1	$\mathcal{U}_q^+(\mathfrak{g})$ is a CGL extension	17
4.2	The deleting derivation algorithm	18
4.3	Prime spectrum and diagrams	20
5	Cauchon diagrams in $\mathcal{U}_q^+(\mathfrak{g})$	21
5.1	Implications in a diagram	21
5.2	Implications from an admissible plane	25
5.3	The converse	27
6	Cauchon diagrams for a particular decomposition of w_0.	31
6.1	Infinite series	31
6.1.1	Type A_n , $n \geq 1$	31
6.1.2	Type B_n , $n \geq 2$	32
6.1.3	Type C_n , $n \geq 3$	33
6.1.4	Type D_n , $n \geq 4$	34
6.2	Exceptional cases	35
6.2.1	Type G_2	35
6.2.2	Type F_4	36
6.2.3	Type E_6	37
6.2.4	Type E_7	38
6.2.5	Type E_8	40

References

- [AD08] N. Andruskiewitsch and F. Dumas. On the automorphisms of $u_q^+(\mathfrak{g})$. In *Quantum groups.*, volume 12 of *Zürich: European Mathematical Society. IRMA Lectures in Mathematics and Theoretical Physics*, pages 108–133. Enriquez, Benjamin, 2008.
- [BG02] K. A. Brown and K. R. Goodearl. *Lectures on algebraic quantum groups*. Advanced Courses in Mathematics. CRM Barcelona. Birkhäuser Verlag, Basel, 2002.
- [Bou68] N. Bourbaki. *Éléments de mathématique. Fasc. XXXIV. Groupes et algèbres de Lie. Chapitre IV: Groupes de Coxeter et systèmes de Tits. Chapitre V: Groupes engendrés par des réflexions. Chapitre VI: systèmes de racines*. Actualités Scientifiques et Industrielles, No. 1337. Hermann, Paris, 1968.
- [Cau03a] G. Cauchon. Effacement des dérivations et spectres premiers des algèbres quantiques. *J. Algebra*, 260(2):476–518, 2003.
- [Cau03b] G. Cauchon. Spectre premier de $O_q(M_n(k))$: image canonique et séparation normale. *J. Algebra*, 260(2):519–569, 2003.
- [CM08] G. Cauchon and A. Mériaux. Admissible diagrams and combinatoric properties of weyl groups. *preprint*, 2008.
- [DCKP95] C. De Concini, V. G. Kac, and C. Procesi. Some quantum analogues of solvable Lie groups. In *Geometry and analysis (Bombay, 1992)*, pages 41–65. Tata Inst. Fund. Res., Bombay, 1995.
- [GL00] K. R. Goodearl and E. S. Letzter. The Dixmier-Moeglin equivalence in quantum coordinate rings and quantized Weyl algebras. *Trans. Amer. Math. Soc.*, 352(3):1381–1403, 2000.
- [Gor00] M. Gorelik. The prime and the primitive spectra of a quantum Bruhat cell translate. *J. Algebra*, 227(1):211–253, 2000.
- [Hum78] J. E. Humphreys. *Introduction to Lie algebras and representation theory*, volume 9 of *Graduate Texts in Mathematics*. Springer-Verlag, New York, 1978. Second printing, revised.
- [Jan96] J. C. Jantzen. *Lectures on quantum groups*, volume 6 of *Graduate Studies in Mathematics*. American Mathematical Society, Providence, RI, 1996.
- [Lau07a] S. Launois. On the automorphism groups of q-enveloping algebras of nilpotent lie algebras. *ED.CIM*, 28:125, 2007.
- [Lau07b] S. Launois. Primitive ideals and automorphism group of $U_q^+(B_2)$. *J. Algebra Appl.*, 6(1):21–47, 2007.
- [Lit98] P. Littelmann. Cones, crystals, and patterns. *Transform. Groups*, 3(2):145–179, 1998.
- [LLR06] S. Launois, T. H. Lenagan, and L. Rigal. Quantum unique factorisation domains. *J. London Math. Soc.* (2), 74(2):321–340, 2006.
- [LS91] S. Levendorskiĭ and Y. Soibelman. Algebras of functions on compact quantum groups, Schubert cells and quantum tori. *Comm. Math. Phys.*, 139(1):141–170, 1991.
- [Lus90] G. Lusztig. Quantum groups at roots of 1. *Geom. Dedicata*, 35(1-3):89–113, 1990.
- [MR04] R. J. Marsh and K. Rietsch. Parametrizations of flag varieties. *Represent. Theory*, 8:212–242 (electronic), 2004.
- [Mér08] A. Mériaux. Les diagrammes de cauchon pour $\mathcal{U}_q^+(\mathfrak{g})$. 2008. <http://arxiv.org/abs/0807.1012>.
- [Pap94] P. Papi. A characterization of a special ordering in a root system. *Proc. Amer. Math. Soc.*, 120(3):661–665, 1994.

Les diagrammes de Cauchon pour $\mathcal{U}_q^+(\mathfrak{g})$

Antoine M\'eriaux

*Laboratoire d'\'equations aux d\'eriv\'ees partielles et physique math\'ematique,
U.F.R. Sciences, B.P. 1039, 51687 Reims Cedex 2, France.*

Abstract

In this paper, we give an algorithmic description of Cauchon's diagrams in nilpotent quantum algebras $\mathcal{U}_q^+(\mathfrak{g})$ when the chosen reduced decomposition of the longest element w_0 of the Weyl group W corresponds to a good ordering of the positive part Φ^+ in the sense of G. Lusztig ([Lus90c]), where Φ denotes the root system. This algorithmic description is based on conditions, each one being defined by each Lusztig's admissible plane ([Lus90c]). Moreover, we give examples for explicit reduced decomposition of w_0 in each possible type of the finite dimensional complex simple Lie algebra \mathfrak{g} . We check that the number of Cauchon diagrams is always equal to the cardinal of W . In a future paper, we will prove that the Cauchon diagrams correspond canonically to the positive subexpressions of w_0 . So the results of this paper also give an algorithmic description of those positive subexpressions when the reduced decomposition of w_0 satisfies the previous conditions.

1 Introduction

Soit \mathfrak{g} une alg\`ebre de Lie complexe simple de dimension finie, \mathbb{K} un corps commutatif et q un \'el\'ement de \mathbb{K}^* , q non racine de l'unit\'e.

On utilise les conventions de Jantzen ([Jan96]) pour la d\'efinition du groupe quantique $\mathcal{U}_q(\mathfrak{g})$ et, moyennant le choix d'une d\'ecomposition r\'eduite de l'\'el\'ement de plus grande longueur w_0 du groupe de Weyl W , pour la construction d'un syst\`eme g\'en\'erateur $(X_\beta, \beta \in \Phi^+)$ de la partie positive $\mathcal{U}_q^+(\mathfrak{g})$ (cf paragraphe 3). L'action naturelle du tore sur $\mathcal{U}_q^+(\mathfrak{g})$ induit une stratification de $\text{Spec}(\mathcal{U}_q^+(\mathfrak{g}))$ qui peut \^etre d\'ecrite au moyen de l'algorithme d'effacement des d\'erivations (cf paragraphe 4.2), les strates \^etant en bijection naturelle avec les diagrammes de Cauchon, la g\'eom\'etrie d'une strate \^etant compl\`etement d\'ecrite par le diagramme qui lui est associ\'e. Il est donc naturel de chercher \^a d\'ecrire ces diagrammes. Cette description est \'etroitement li\'ee aux formules de redressement de Levendorskii et Soibelman [LS91] entre les X_β sur lesquelles nous revenons en d\'etail dans le paragraphe 3.

Ces formules ne sont pas connues de mani\`ere explicite, de sorte que la description de ces diagrammes semble inaccessible dans le cas g\'eneral. Nous nous limitons donc dans ce papier au cas d'une d\'ecomposition r\'eduite de w_0 associ\'ee \^a un bon ordre sur l'ensemble Φ^+ des racines positives, au sens de G. Lusztig [Lus90c] (cf paragraphe 2). Dans cette situation, nous disposons des formules de redressement entre deux variables $X_\beta, X_{\beta'}$ lorsque β et β' engendrent un plan admissible au sens de G. Lusztig (cf paragraphe 3.4). Cela nous permet de construire une famille de conditions n\'ecessaires appel\'ees *contraintes* pour qu'un diagramme Δ soit un diagramme de Cauchon (cf paragraphe 5.1). Dans le paragraphe 5.2, nous d\'emontrons que ces conditions sont en fait n\'ecessaires et suffisantes (cf th\'eor\`eme 5.3.1).

Dans le paragraphe 6, nous utilisons ce théorème pour donner une description explicite de ces contraintes et de ces diagrammes pour un choix particulier de la décomposition réduite de w_0 , pour tous les types possibles du système de racines associé à \mathfrak{g} . On constate que dans tous les cas, le nombre de diagrammes est égal au cardinal $|W|$ du groupe de Weyl. Comme les strates ne dépendent pas du choix de la décomposition réduite de w_0 , cela entraîne que le nombre de strates est toujours égal à $|W|$. Si on fait l'hypothèse supplémentaire que q transcendant, ce résultat a aussi été démontré en utilisant d'autres méthodes par M. Gorelik (cf [Gor00] et [AD08]).

Par ailleurs, dans un prochain article, nous démontrerons que les diagrammes de Cauchon Δ fournissent les sous-expressions positives \mathbf{w}^Δ de w_0 au sens de R. Marsh et K. Rietsch ([MR04]). En particulier, si w_0 a une écriture réduite $w_0 = s_{\alpha_1} \circ \dots \circ s_{\alpha_N}$ et si, pour chaque diagramme $\Delta = \{\beta_{i_1} < \dots < \beta_{i_t}\}$ on note $w^\Delta = s_{\alpha_{i_1}} \circ \dots \circ s_{\alpha_{i_t}}$, on a :

- Si Δ est un diagramme de Cauchon, l'écriture de w^Δ ci-dessus est réduite.
- L'application $\Delta \rightarrow w^\Delta$ est une bijection de l'ensemble \mathcal{D} des diagrammes de Cauchon sur W .

2 Systèmes de racines : rappels et compléments

2.1 Résultats classiques sur les systèmes de racines

Soit \mathfrak{g} une algèbre de Lie simple complexe. Nous commençons par introduire les notations utilisées pour les systèmes de racines ; nous suivrons celles de [Jan96, chap4].

Notations.

- On note Φ un système de racines et $E = \text{Vect}(\Phi)$ ($\dim E = n$). Quand on fixe une base $\Pi := \{\alpha_1, \dots, \alpha_n\}$ de Φ , il existe une décomposition $\Phi = \Phi^+ \sqcup \Phi^-$, où Φ^+ (resp. Φ^-) désigne, comme d'habitude, l'ensemble des racines positives (resp. négatives).
- On note W le groupe de Weyl associé au système de racines Φ , il est engendré par les réflexions s_{α_i} ($= s_i$), $1 \leq i \leq n$. L'élément de plus grande longueur de W est noté w_0 .

Définition 2.1.1.

Un système de racines Φ est réductible si $\Phi = \Phi_1 \sqcup \Phi_2$ où Φ_1 et Φ_2 sont deux systèmes de racines orthogonaux. Sinon Φ est dit irréductible.

Rappelons qu'il y a une correspondance bijective entre les systèmes de racines irréductibles et les algèbres de Lie simples complexes de dimension finie. On dira que \mathfrak{g} est d'un type donné si le système de racines associé \mathfrak{g} est de ce type. Les définitions et résultats qui suivent proviennent de [Lus90c].

Définition 2.1.2.

Soient $\Pi = \{\alpha_1, \alpha_2, \dots, \alpha_n\}$ une base de Φ et j un entier de $\llbracket 1, n \rrbracket$.

1. La colonne j est l'ensemble $C_j := \{\beta \in \Phi^+ \mid \beta = k_1\alpha_1 + \dots + k_j\alpha_j, k_i \in \mathbb{N}, k_j \neq 0\}$;
2. On dit qu'une racine $\beta = k_1\alpha_1 + \dots + k_j\alpha_j \in C_j$ est ordinaire si $k_j = 1$; elle est dite exceptionnelle si $k_j = 2$;
3. Une colonne C_j est appelée ordinaire si toute racine β de C_j est ordinaire ; cette colonne est dite exceptionnelle si toute racine β de C_j est ordinaire sauf une seule racine note β_{ex} qui est exceptionnelle.

Définition 2.1.3.

Le numérotation $\Pi = \{\alpha_1, \alpha_2, \dots, \alpha_n\}$ est bonne si toute colonne C_j est ordinaire ou exceptionnelle.

Exemple 2.1.4 (Le cas G_2). Le système de racines de type G_2 est de rang 2, il a 2 racines simples α_1 et α_2 avec $\|\alpha_2\| = \sqrt{3}\|\alpha_1\|$. $\Pi = \{\alpha_1, \alpha_2\}$ est une base de ce système de racine. La numérotation $\Pi = \{\alpha_1, \alpha_2\}$ est bonne car $C_1 = \{\alpha_1\}$ est ordinaire et $C_2 = \{\alpha_2, \alpha_1 + \alpha_2, 2\alpha_1 + \alpha_2, 3\alpha_1 + \alpha_2, 3\alpha_1 + 2\alpha_2\}$ est exceptionnelle.

Par contre, la numérotation $\Pi = \{\alpha_2, \alpha_1\}$ n'est pas bonne. En effet, pour cette numérotation, $C_1 = \{\alpha_2\}$ est ordinaire mais $C_2 = \{\alpha_1, \alpha_2 + \alpha_1, \alpha_2 + 2\alpha_1, \alpha_2 + 3\alpha_1, 2\alpha_2 + 3\alpha_1\}$ n'est ni ordinaire ni exceptionnelle.

Proposition 2.1.5.

Soit \mathfrak{g} une algèbre de Lie simple de dimension finie. Les numérotations ci-dessous du système des racines simples Π sont des exemples de bonnes numérotations.

- Si \mathfrak{g} est de type A_n , de diagramme de Dynkin : $\alpha_1 - \alpha_2 - \cdots - \alpha_{n-1} - \alpha_n$,

$$\Pi = \{\alpha_1, \alpha_2, \dots, \alpha_{n-1}, \alpha_n\}.$$

- Si \mathfrak{g} est de type B_n , de diagramme de Dynkin : $\alpha_1 \Leftarrow \alpha_2 - \cdots - \alpha_{n-1} - \alpha_n$,

$$\Pi = \{\alpha_1, \alpha_2, \dots, \alpha_{n-1}, \alpha_n\}.$$

- Si \mathfrak{g} est de type C_n , de diagramme de Dynkin : $\alpha_1 \Rightarrow \alpha_2 - \cdots - \alpha_{n-1} - \alpha_n$,

$$\Pi = \{\alpha_1, \alpha_2, \dots, \alpha_{n-1}, \alpha_n\}.$$

- Si \mathfrak{g} est de type D_n , de diagramme de Dynkin :
-

$$\Pi = \{\alpha_1, \alpha_2, \dots, \alpha_{n-1}, \alpha_n\}.$$

- Si \mathfrak{g} est de type G_2 , de diagramme de Dynkin : $\alpha_1 \Leftarrow \alpha_2$,

$$\Pi = \{\alpha_1, \alpha_2\}.$$

- Si \mathfrak{g} est de type F_4 , de diagramme de Dynkin : $\alpha_1 - \alpha_2 \Rightarrow \alpha_3 - \alpha_4$,

$$\Pi = \{\alpha_4, \alpha_3, \alpha_2, \alpha_1\}.$$

- Si \mathfrak{g} est de type E_6 , de diagramme de Dynkin :
-

$$\Pi = \{\alpha_2, \alpha_5, \alpha_4, \alpha_3, \alpha_1, \alpha_6\}.$$

- Si \mathfrak{g} est de type E_7 , de diagramme de Dynkin :
-

$$\Pi = \{\alpha_2, \alpha_5, \alpha_4, \alpha_3, \alpha_1, \alpha_6, \alpha_7\}.$$

- Si \mathfrak{g} est de type E_8 , de diagramme de Dynkin :
-

$$\Pi = \{\alpha_2, \alpha_5, \alpha_4, \alpha_3, \alpha_1, \alpha_6, \alpha_7, \alpha_8\}.$$

Les colonnes correspondant à ces numérotations seront données explicitement dans la partie 3 et on constatera que chaque colonne est bien, soit ordinaire soit exceptionnelle. **Dans tout ce qui suit, la numérotation choisie sur Π sera toujours bonne et partir de la section 6, on prendra explicitement l'ordre décrit dans la proposition ci-dessus.**

2.2 Ordre de Lusztig

Notations.

- Pour $\beta = k_1\alpha_1 + \dots + k_j\alpha_j \in C_j$, on appelle hauteur de β l'entier $h(\beta) := k_1 + \dots + k_j$ et on appellera hauteur de Lusztig de β , le nombre rationnel $h'(\beta) := \frac{1}{k_j}h(\beta)$. [Lus90c, section 4.3]
- Si $t \in h'(C_j)$, l'ensemble $B^{j,t} := \{\beta \in C_j | h'(\beta) = t\}$ est appelé la boîte de hauteur t dans la colonne C_j .

Remarque 2.2.1.

$$C_j = \bigsqcup_{t \in \mathbb{N}^*} B^{j,t}.$$

Définition 2.2.2 (Ordre de Lusztig sur Φ^+).

On définit un ordre partiel sur Φ^+ comme suit :

Soient β_1 et β_2 deux racines de Φ^+ ,

- Si $\beta_1 \in C_{j_1}$ et $\beta_2 \in C_{j_2}$ avec $j_1 < j_2$, alors $\beta_1 < \beta_2$.
- Si β_1 et β_2 sont dans la même colonne C_j et si $h'(\beta_2) < h'(\beta_1)$, alors $\beta_1 < \beta_2$.

On peut raffiner l'ordre partiel précédent en un ordre total en choisissant un ordre arbitraire à l'intérieur des boîtes. Comme il y a plusieurs façons d'ordonner chaque boîte on dira que l'ordre obtenu est "un" ordre de Lusztig.

Observation. • α_j est la plus grande racine de C_j pour l'ordre ci-dessus.

- Les racines positives d'une même boîte sont consécutives pour un tel ordre : $B^{j,t} = \{\beta_p, \beta_{p+1}, \dots, \beta_{p+l}\}$.

Proposition 2.2.3.

Soient C_j une colonne exceptionnelle et β_{ex} sa racine exceptionnelle.

1. $\beta_{ex} \perp (C_1 \sqcup \dots \sqcup C_{j-1})$
2. Si $D = \langle \beta_{ex} \rangle$ et si s_D est la symétrie orthogonale par rapport D , on a :
 - $s_D(C_j) = C_j$ et $\forall \beta \in C_j \setminus \{\beta_{ex}\}$ on a $\beta + s_D(\beta) = \beta_{ex}$.
 - Pour toute boîte $B^{j,t}$ différente de la boîte contenant β_{ex} , s_D transforme $B^{j,t}$ en $B^{j,h(\beta_{ex})-t}$.

Démonstration :

1. Soit $\beta \in C_1 \cup \dots \cup C_{j-1}$. Si β n'est pas orthogonale β_{ex} , alors $s_\beta(\beta_{ex}) = \beta_{ex} + k\beta$ ($k \in \mathbb{Z} \setminus \{0\}$) est une racine de C_j dont le coefficient en α_j est égal à 2. Ceci contredit l'unicité de la racine exceptionnelle.
2. Observons que $s_D = -s_{\beta_{ex}}$, de sorte que $s_D(\Phi) = \Phi$.
 - Soit β une racine non exceptionnelle de C_j . On peut écrire

$$\beta = a_1\alpha_1 + \dots + a_{j-1}\alpha_{j-1} + \frac{1}{2}\beta_{ex} \quad (a_i \in \mathbb{Q}).$$

Il résulte de 1. que $s_D(\beta) = -a_1\alpha_1 - \dots - a_{j-1}\alpha_{j-1} + \frac{1}{2}\beta_{ex} = \beta_{ex} - \beta$. Ceci est une racine d'après l'observation ci-dessus. Elle est dans C_j puisque β est dans $C_j \setminus \{\beta_{ex}\}$.

- Par le point précédent, s_D transforme deux éléments de $B^{j,t}$ en deux racines de même hauteur. On en déduit (au moyen de l'involutivité de s_D) que $s_D(B^{j,t})$ est une boîte $B^{j,s}$. La formule $t + s = h(\beta_{ex})$ résulte immédiatement du premier point.

□

Définition 2.2.4.

Le support d'une racine $\beta = a_1\alpha_1 + \dots + a_j\alpha_j \in C_j$ est l'ensemble $\text{Supp}(\beta) := \{\alpha_i \in \Pi | a_i \neq 0\}$. En particulier, pour $\beta \in C_j$, on a $\text{Supp}(\beta) \subset \{1, \dots, j\}$.

On va à présent démontrer la

Proposition 2.2.5.

Supposons qu'il existe une colonne exceptionnelle C_j ($1 < j \leq n$) et notons β_{ex} sa racine exceptionnelle. Alors $h'(\beta_{ex}) \notin \mathbb{N}$ de sorte que β_{ex} est seule dans sa boîte.

Démonstration : On note $\Pi_j = \{\alpha_1, \dots, \alpha_j\}$ et $\Phi_j = \Phi \cap \text{Vect}(\Pi_j)$. On vérifie facilement que Φ_j est un système de racines de base Π_j et que $\Phi_j^+ = \Phi^+ \cap \text{Vect}(\Pi_j)$.

Considérons d'abord le cas où Φ_j est irréductible. On a alors

Observation 1. Si β est une racine de Φ_j^+ de hauteur maximale alors $\beta \in C_j$.

On suppose $\beta \in C_i$ avec $i < j$. Dans le diagramme de Dynkin de Φ_j qui est connexe (Φ_j est irréductible), on peut construire un chemin de α_i à α_j . On note ce chemin $P = (\alpha_{i_1}, \dots, \alpha_{i_t})$, où $i_1 = i$ et $i_t = j$. On sait que $\alpha_{i_l} \in \text{Supp}(\beta)$ et que $\alpha_{i_{l+1}} \notin \text{Supp}(\beta)$. Ainsi il existe un plus petit indice l tel que $\alpha_{i_l} \in \text{Supp}(\beta)$ et $\alpha_{i_{l+1}} \notin \text{Supp}(\beta)$. Ainsi, pour tout $\alpha \in \text{Supp}(\beta)$ on a $\langle \alpha, \alpha_{i_{l+1}} \rangle \leq 0$ et, puisque α_{i_l} et $\alpha_{i_{l+1}}$ sont deux éléments consécutifs de P , $\langle \alpha_{i_l}, \alpha_{i_{l+1}} \rangle < 0$. De l, $\langle \beta, \alpha_{i_{l+1}} \rangle < 0$ donc $\beta + \alpha_{i_{l+1}} \in \Phi_j^+$ ce qui contredit la maximalité de la hauteur β .

Observation 2. β_{ex} est la racine de hauteur maximale dans Φ_j .

Soit β une racine de hauteur maximale dans Φ_j . Supposons $\beta \neq \beta_{ex}$. Par l'observation précédente, $\beta \in C_j$ et, par la proposition 2.2.3, $\beta_{ex} = \beta + s_D(\beta)$ est une somme de deux racines positives donc de hauteur plus grande que β . Donc β est nécessairement égale β_{ex} .

L'existence d'une racine exceptionnelle entraîne que Φ_j n'est pas de type A_j . Par suite Φ_j est de type $B_j, C_j, D_j, E_6, E_7, E_8, F_4$ ou G_2 et, en se référant aux planches de [Bou68], on voit que la hauteur de la racine de plus grande hauteur est toujours impair. Par l'observation 2. β_{ex} est de hauteur impair, et donc $h'(\beta_{ex}) \notin \mathbb{N}$.

Supposons à présent Φ_j réductible. Notons Γ_j le diagramme dont les sommets sont $\alpha_1, \dots, \alpha_j$, et dont les arêtes sont celles qui proviennent du diagramme de Dynkin de Φ et notons Π' la composante connexe de α_j dans Γ_j ;

$$\Pi' := \{\alpha_i \in \Pi_j \mid \text{il existe un chemin dans } \Gamma_j \text{ reliant } \alpha_i \text{ et } \alpha_j\}.$$

Notons $\Phi' = \Phi \cap \text{Vect}(\Pi')$. C'est un système de racines de base Π' et $\Phi'^+ = \Phi^+ \cap \text{Vect}(\Pi')$.

Observation 3. $C_j \subset \Phi'^+$.

Sinon, il existe des racines dans $C_j \setminus \Phi'^+$. Si β est une telle racine, son support contient des racines simples qui sont dans $\Pi_j \setminus \Pi'$. Comme le support de β contient aussi $\alpha_j \in \Pi'$, on peut écrire $\beta = u + v$ avec $u = \alpha_{i_1} + \dots + \alpha_{i_l}$ support dans $\Pi_j \setminus \Pi'$ et $v = \alpha_{i_{l+1}} + \dots + \alpha_{i_p}$ support dans Π' . Choisissons β de manière que l'entier l ainsi défini soit minimal.

- Si $l = 1$, $\beta = \alpha_{i_1} + v$. Comme $\alpha_{i_1} \notin \Pi'$, il n'existe aucune liaison entre α_{i_1} et les éléments du support de v . Donc $s_{i_1}(\beta) = -\alpha_{i_1} + v \in \Phi$, ce qui est impossible puisque les coordonnées dans Π de cette racine ne sont pas toutes de même signe.
- Donc $l \geq 2$. Comme $\langle u, u \rangle > 0$, il existe une racine simple du support de u , par exemple α_{i_l} , vérifiant $\langle u, \alpha_{i_l} \rangle > 0$. Comme ci-dessus, on a :

$$\langle v, \alpha_{i_l} \rangle = 0 \Rightarrow \langle \beta, \alpha_{i_l} \rangle > 0 \Rightarrow \beta' = \beta - \alpha_{i_l} \in C_j \setminus \Phi'^+,$$

ce qui contredit la minimalité de l .

On a donc bien $C_j \subset \Phi'^+$.

Ainsi C_j est une colonne exceptionnelle de Φ' qui est irréductible par construction. L'étude ci-dessus montre que sa racine exceptionnelle β_{ex} vérifie $h'(\beta_{ex}) \notin \mathbb{N}$.

□

On peut maintenant montrer la

Proposition 2.2.6.

"<" est un ordre convexe sur Φ^+

Démonstration : Soient $\beta_1 < \beta_2$ deux racines positives telles que $\beta_1 + \beta_2 \in \Phi^+$.

- Si les deux racines β_1 et β_2 ne sont pas dans la même colonne, alors $\beta_1 + \beta_2$ est dans la même colonne que β_2 . Dans ce cas, ni β_2 , ni $\beta_1 + \beta_2$ ne sont exceptionnelles et on a :

$$h'(\beta_1 + \beta_2) = h(\beta_1 + \beta_2) = h(\beta_1) + h'(\beta_2) > h'(\beta_2).$$

On en déduit que $\beta_1 < \beta_1 + \beta_2 < \beta_2$.

- Si les deux racines sont dans la même colonne, alors $\beta_1 + \beta_2$ est une racine exceptionnelle. D'après la proposition 2.2.3, on a $h'(\beta_1 + \beta_2) = \frac{h'(\beta_1) + h'(\beta_2)}{2}$. La proposition 2.2.5 exclut le cas $h'(\beta_1 + \beta_2) = h'(\beta_1) = h'(\beta_2)$ car la racine exceptionnelle est seule dans sa boîte. On a donc $h'(\beta_1) > h'(\beta_1 + \beta_2) > h'(\beta_2)$ ce qui implique $\beta_1 < \beta_1 + \beta_2 < \beta_2$.

□

Si on considère une décomposition réduite de $w_0 = s_{i_1} \circ s_{i_2} \circ \dots \circ s_{i_N}$ (l'élément de plus grande longueur du groupe de Weyl), on sait (cf, par exemple, [BG02, I.5.1]) que $\beta_j := s_{i_1} \circ s_{i_2} \circ \dots \circ s_{i_{j-1}}(\alpha_{i_j})$ décrit Φ^+ lorsque j décrit $\llbracket 1, N \rrbracket$. Pour chaque entier $j \in \llbracket 1, N \rrbracket$, on dit que α_{i_j} est la racine simple associée à la racine positive β_j .

On ordonne alors Φ^+ en posant $\beta_i \prec \beta_j$ lorsque $i < j$. On dit que "≺" est l'ordre associé à la décomposition réduite de $w_0 = s_{i_1} \circ s_{i_2} \circ \dots \circ s_{i_N}$.

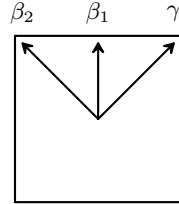
Dans [Pap94, Théorème et remarque page 662], il est démontré que cet ordre est convexe et que l'on définit, de cette manière, une correspondance biunivoque entre les décompositions réduites de w_0 et les ordres convexes sur Φ^+ .
Ainsi, l'ordre " $<$ " de Lusztig tant convexe, il existe une unique décomposition réduite de $w_0 = s_{i'_1} \circ s_{i'_2} \circ \dots \circ s_{i'_N}$ dont l'ordre associé est " $<$ ". Dans ce texte, on choisira systématiquement cette décomposition pour w_0 .

La prochaine proposition provient de [Lus90c, section 4.3] et précise comment sont disposées les racines à l'intérieur des boîtes.

Proposition 2.2.7.

A l'intérieur de chaque boîte ne contenant pas la racine exceptionnelle, les racines sont orthogonales 2 à 2. De plus, les racines simples associées aux racines d'une boîte donnée sont orthogonales 2 à 2.

Démonstration : Le cas d'un système de type G_2 se déduit simplement de l'étude de l'exemple 2.1.4. On suppose donc que \mathfrak{g} est une algèbre de Lie simple de dimension finie et de type différent de G_2 . Soient β_1 et β_2 deux racines consécutives d'une boîte B de la colonne C_j . On note α_{i_1} et α_{i_2} les racines simples respectivement associées β_1 et β_2 . Supposons que α_{i_1} n'est pas orthogonale α_{i_2} , de sorte que $\lambda = -\langle \alpha_{i_1}^\vee, \alpha_{i_2} \rangle = 1$ ou 2 . On peut donc écrire $\beta_2 = w \circ s_{i_1}(\alpha_{i_2}) = w(\lambda\alpha_{i_1} + \alpha_{i_2}) = \lambda\beta_1 + w(\alpha_{i_2})$. Comme $w(\alpha_{i_2}) \in \Phi$, on a nécessairement $\lambda = 2$, sinon $h(w(\alpha_{i_2})) = h(\beta_2) - h(\beta_1) = 0$, ce qui est absurde. Mais alors $\gamma = -w(\alpha_{i_2}) = 2\beta_1 - \beta_2 \in C_j$ et $h(\gamma) = 2h(\beta_1) - h(\beta_2) = h(\beta_1)$. β_1 et β_2 sont deux racines positives distinctes donc non colinéaires. La trace Φ' de Φ sur le plan $\text{Vect}(\beta_1, \beta_2)$ est donc un système de racines de rang 2 contenant β_1 , β_2 , γ et leurs opposées. L'égalité $2\beta_1 = \gamma + \beta_2$ permet d'affirmer que Φ' est de type B_2 et qu'on est dans la situation ci-dessous :



Il en résulte que $\gamma - \beta_1 \in \Phi$, avec $h(\gamma - \beta_1) = h(\gamma) - h(\beta_1) = 0$. Ce qui est impossible. On a donc $\alpha_{i_1} \perp \alpha_{i_2}$. On en déduit que $\langle \beta_1, \beta_2 \rangle = \langle w(\alpha_{i_1}), w(s_{i_1}(\alpha_{i_2})) \rangle = \langle \alpha_{i_1}, s_{i_1}(\alpha_{i_2}) \rangle = \langle \alpha_{i_1}, \alpha_{i_2} \rangle = 0$.

□

Convention.

Pour $j \in \llbracket 1, n \rrbracket$, on note δ_j la première racine de C_j . On rappelle que α_j est la dernière racine de C_j .

Proposition 2.2.8.

δ_j et α_j sont seules dans leur boîtes.

Démonstration : La racine α_j est seule dans sa boîte car c'est la seule racine de C_j de hauteur égale à 1.

Pour démontrer que δ_j est seule dans sa boîte, on va se servir du

Lemme 2.2.9.

Soit $1 \leq l \leq N$ et $1 \leq m \leq n$. On pose $\Pi_m := \{\alpha_1, \dots, \alpha_m\}$. Si $\beta_l = s_{i_1} \dots s_{i_{l-1}}(\alpha_{i_l})$ est dans la colonne C_m , alors $\alpha_{i_l} \in \Pi_m$ pour $j \in \llbracket 1, l \rrbracket$.

Démonstration : On raisonne par récurrence sur l .

Si $l = 1$: $\beta_1 = \alpha_1 \in \Pi_1$.

Si $l \geq 2$, β_{l-1} est dans la colonne C_m ou C_{m-1} . Par l'hypothèse de récurrence, on en déduit que $\alpha_{i_t} \in \Pi_m$ (ou $\alpha_{i_t} \in \Pi_{m-1} \subset \Pi_m$) pour $t \in \llbracket 1, l-1 \rrbracket$. On observe que $\beta_l = s_{i_1} \dots s_{i_{l-1}}(\alpha_{i_l}) = \alpha_{i_l} + n_{l-1}\alpha_{i_{l-1}} + \dots + n_1\alpha_{i_1}$ où chaque n_t est dans \mathbb{Z} . Comme $\beta_l \in C_m$, nécessairement $\alpha_{i_l} \in \Pi_m$.

□

Retour à la démonstration de la proposition :

Il existe un entier $1 \leq l \leq N$ tel que $\delta_j = \beta_l = s_{i_1} \circ s_{i_2} \circ \dots \circ s_{i_{l-1}}(\alpha_{i_l})$. comme ci-dessus, $\beta_l = \alpha_{i_l} + n_{l-1}\alpha_{i_{l-1}} + \dots + n_1\alpha_{i_1}$ ($n_t \in \mathbb{Z}$) avec, puisque $\beta_{l-1} \in C_{j-1}$, $\alpha_{i_1}, \dots, \alpha_{i_{l-1}}$ dans Π_{j-1} . Comme $\beta_l \in C_j$, on en déduit que $\alpha_{i_l} = \alpha_j$.

Si $\delta_j (= \beta_l)$ n'est pas seule dans sa boîte, alors β_{l+1} est aussi dans cette boîte et on a (proposition 2.2.7) $\alpha_{i_l} \perp \alpha_{i_{l+1}}$.

Par le lemme précédent, on en déduit que $\alpha_{i_l+1} \in \Pi_j \setminus \{\alpha_j\} = \Pi_{j-1}$ et $\beta_{l+1} = s_{i_1} \circ s_{i_2} \circ \dots \circ s_{i_{l-1}} \circ s_{i_l}(\alpha_{i_l+1}) = s_{i_1} \circ s_{i_2} \circ \dots \circ s_{i_{l-1}}(\alpha_{i_l+1}) = \alpha_{i_l+1} + n'_{l-1}\alpha_{i_{l-1}} + \dots + n'_1\alpha_{i_1}$ ($n'_t \in \mathbb{Z}$), ce qui contredit l'hypothèse $\beta_{l+1} \in C_j$. \square

Rappelons le résultat classique suivant (cf par exemple, [Hum78, lemme 9.4]).

Lemme 2.2.10.

Soient β et δ deux racines distinctes de Φ^+ telles que $\langle \beta, \delta \rangle \neq 0$

- Si $\langle \beta, \delta \rangle > 0$, alors $\beta - \delta \in \Phi$.
- Si $\langle \beta, \delta \rangle < 0$, alors $\beta + \delta \in \Phi$.

Proposition 2.2.11.

Soit β une racine ordinaire de la colonne C_j . Notons (comme dans la démonstration de la proposition 2.2.5) Γ_j le diagramme dont les sommets sont $\alpha_1, \dots, \alpha_j$, et dont les arêtes sont celles qui proviennent du diagramme de Dynkin de Φ . On note Ω_j la composante connexe de α_j dans Γ_j .

1. Si $\beta \neq \alpha_j$, alors il existe $\epsilon \in \{\alpha_1, \dots, \alpha_{j-1}\}$ telle que $\beta - \epsilon \in C_j$.
2. $\text{Supp } \beta \subset \Omega_j$.
3. Si $\beta \neq \delta_j$, alors il existe $\epsilon \in \{\alpha_1, \dots, \alpha_{j-1}\}$ telle que $\beta + \epsilon \in C_j$.

Démonstration : On vérifie que cette proposition est vraie dans le cas G_2 à l'aide de la description des colonnes donnée dans l'exemple 2.1.4. On suppose maintenant que le système de racines considéré n'est pas de type G_2 .

Dans cette démonstration, on note $\Pi_j = \{\alpha_1, \dots, \alpha_j\}$.

1. S'il existe $\epsilon \in \Pi_j \setminus \{\alpha_j\}$ tel que $\langle \beta, \epsilon \rangle > 0$, on conclut avec le lemme 2.2.10. On suppose donc que $\forall \epsilon \in \Pi_j \setminus \{\alpha_j\}$, $\langle \beta, \epsilon \rangle \leq 0$.

Comme $\langle \beta, \beta \rangle > 0$ alors, $\langle \beta, \alpha_j \rangle > 0$ et $\beta - \alpha_j = \gamma_1 \in \Phi^+$ avec $\alpha_j \notin \text{Supp}(\gamma_1)$. On peut donc écrire $\beta = \beta_1 + \gamma_1$ avec $\beta_1 = \alpha_j \in C_j$ et, puisque β est ordinaire, $\alpha_j \notin \text{Supp}(\gamma_1)$. Puisque $\beta \neq \alpha_j$, on a $h(\beta) \geq 2$ et on se propose de montrer par récurrence que, pour chaque entier $i \in \llbracket 1, h(\beta) - 1 \rrbracket$, on a $\beta = \beta_i + \gamma_i$ avec $\beta_i \in C_j$, $\gamma_i \in \Phi^+$ et $h(\beta_i) = i$.

- Comme $h(\beta_1) = h(\alpha_j) = 1$, on a le résultat au rang $i = 1$.
- Supposons le résultat démontré au rang i avec $1 \leq i < h(\beta) - 1$ et observons que, puisque β est ordinaire, $\gamma_i \notin C_j$ de sorte que $\text{Supp}(\gamma_i) \subset \Pi_{j-1}$. Comme $\langle \gamma_i, \gamma_i \rangle > 0$, il existe $\epsilon \in \Pi_{j-1}$ telle que $\langle \gamma_i, \epsilon \rangle > 0$. Comme $i < h(\beta) - 1$, on a $h(\gamma_i) > 1 \Rightarrow \gamma_i \neq \epsilon \Rightarrow \gamma_{i+1} := \gamma_i - \epsilon \in \Phi^+$ (lemme 2.2.10). Alors $\langle \beta, \epsilon \rangle = \langle \beta_i, \epsilon \rangle + \langle \gamma_i, \epsilon \rangle$ et, puisque $\langle \beta, \epsilon \rangle \leq 0$, on a $\langle \beta_i, \epsilon \rangle < 0$. Ceci entraîne que (lemme 2.2.10) $\beta_{i+1} := \beta_i + \epsilon \in C_j$. Ainsi, $\beta = \beta_{i+1} + \gamma_{i+1}$ avec $\beta_{i+1} \in C_j$ et $h(\beta_{i+1}) = h(\beta_i) + 1$.

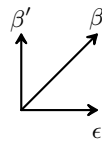
On a donc bien le résultat annoncé et, pour $i = h(\beta) - 1$, on a $h(\gamma_i) = 1$. Donc, puisque β est ordinaire, $\epsilon := \gamma_i \in \Pi_{j-1}$ et $\beta - \epsilon = \beta_i \in C_j$.

2. On raisonne par récurrence sur $h(\beta)$.

Si $h(\beta) = 1$, on a $\beta = \alpha_j \in \Omega_j$.

Si $h(\beta) > 1$, il résulte de 1. qu'il existe $\epsilon \in \Pi_{j-1}$ telle que $\beta' := \beta - \epsilon \in C_j$. β' est alors ordinaire et de hauteur $h(\beta') = h(\beta) - 1$ de sorte que, par l'hypothèse de récurrence, $\text{Supp } \beta' \subset \Omega_j$. Il reste donc à montrer que $\epsilon \in \Omega_j$.

Si $\epsilon \notin \Omega_j$, alors $\epsilon \perp \alpha$ pour tout $\alpha \in \text{Supp } \beta'$. Il en résulte que $\epsilon \perp \beta'$. Considérons le plan $P = \langle \beta, \epsilon \rangle$ et observons que $\Phi_P = \Phi \cap P$ est un système de racines de rang 2. Comme $\Phi \neq G_2$, on a $\Phi_P \neq G_2$ et, nécessairement, Φ_P est de type B_2 . On a donc la configuration suivante :



Il en résulte que $\beta' - \epsilon$ est une racine. Comme $\text{Supp } \beta' \subset \Omega_j$, on a $\epsilon \notin \text{Supp } \beta'$ ce qui est contradictoire avec le fait que $\beta' - \epsilon$ soit une racine. On a donc bien $\epsilon \in \Omega_j$ et par suite, $\text{Supp } \beta \subset \Omega_j$.

3. Soit β une racine de C_j différente de δ_j . S'il existe $\epsilon \in \Pi_{j-1}$ telle que $\langle \beta, \epsilon \rangle < 0$ alors on conclut par le lemme 2.2.10. Supposons que $\langle \beta, \epsilon \rangle \geq 0$ pour tout $\epsilon \in \Pi_{j-1}$. Si $\langle \beta, \alpha_j \rangle < 0$, alors C_j est exceptionnelle et $\beta + \alpha_j = \beta_{ex}$. Il résulte de la proposition 2.2.3 que s_D échange α_j et δ_j , de sorte que, $\beta_{ex} = \alpha_j + \delta_j$. On en déduit que $\beta = \delta_j$ ce qui est contraire à l'hypothèse. On a donc $\langle \beta, \alpha_j \rangle \geq 0$ et, par suite, $\langle \beta, \epsilon \rangle \geq 0$ pour tout $\epsilon \in \Pi_j$.

Observation 1. $\text{Supp}(\delta_j) = \Omega_j$.

preuve :

Par 2. on a $\text{Supp}(\delta_j) \subset \Omega_j$. Supposons cette inclusion stricte et considérons $\alpha \in \Omega_j \setminus \text{Supp}(\delta_j)$. Comme Ω_j est connexe, il existe $\alpha'_1, \alpha'_2, \dots, \alpha'_s$ dans Ω_j , avec $s \geq 2$, $\alpha'_1 = \alpha, \alpha'_s \in \text{Supp}(\delta_j)$ et, pour $1 \leq i < s$, $\langle \alpha'_i, \alpha'_{i+1} \rangle < 0$.

Soit k le plus grand entier tel que $\alpha'_k \notin \text{Supp}(\delta_j)$. On a $k < s$ et $\alpha'_{k+1} \in \text{Supp}(\delta_j)$. Comme δ_j est alors une combinaison linéaire à coefficients entiers positifs de racines simples différentes de α'_k et, comme le produit scalaire de deux racines simples distinctes est négatif ou nul, on a :

$$\langle \alpha'_k, \delta_j \rangle \leq \langle \alpha'_k, \alpha'_{k+1} \rangle < 0.$$

On en déduit par le lemme 2.2.10 que $\delta_j + \alpha'_k \in C_j \setminus \{\beta_{ex}\}$, ce qui contredit le fait que δ_j est la première racine de C_j .

Observation 2. $\langle \beta, \delta_j \rangle > 0$

preuve :

Comme $\langle \beta, \beta \rangle > 0$, il existe $\alpha \in \text{Supp}(\beta)$ telle que $\langle \beta, \alpha \rangle > 0$. Par le point 2. et l'observation 1, on a $\alpha \in \text{Supp}(\delta_j)$. Comme (voir ci-dessus) $\langle \beta, \epsilon \rangle \geq 0$ pour tout $\epsilon \in \Pi_j$, on a $\langle \beta, \epsilon \rangle \geq 0$ pour tout $\epsilon \in \text{Supp}(\delta_j) = \Omega_j \subset \Pi_j \Rightarrow \langle \beta, \delta_j \rangle \geq \langle \beta, \alpha \rangle > 0$.

Par l'observation 2 et le lemme 2.2.10 $\gamma_1 := \delta_j - \beta \in \Phi^+$ et, puisque β et δ_j sont des racines ordinaires de C_j , $\text{Supp}(\gamma_1) \subset \Pi_{j-1}$.

On se propose de démontrer, par récurrence descendante, que, pour chaque entier $i \in \llbracket 1, h(\delta_j - \beta) \rrbracket$, il existe $\rho_i \in \Phi^+$ avec $\text{Supp}(\rho_i) \subset \Pi_{j-1}$, $h(\rho_i) = i$ et $\beta + \rho_i \in C_j$.

- Pour $i = h(\delta_j - \beta)$, on a le résultat avec $\rho_i = \gamma_1$.
- Supposons démontrée l'existence de ρ_i avec $2 \leq i \leq h(\delta_j - \beta)$, de sorte $\eta_i = \beta + \rho_i \in C_j$. Comme $\langle \rho_i, \rho_i \rangle > 0$, il existe $\epsilon \in \text{Supp}(\rho_i) \subset \Pi_{j-1}$ telle que $\langle \rho_i, \epsilon \rangle > 0$. Comme on a (voir ci-dessus), $\langle \beta, \epsilon \rangle \geq 0$, on en déduit que $\langle \eta_i, \epsilon \rangle > 0$. Donc (lemme 2.2.10) $\eta_{i-1} := \eta_i - \epsilon \in C_j$ et $\rho_{i-1} := \rho_i - \epsilon \in \Phi^+$. On a alors clairement $\text{Supp}(\rho_{i-1}) \subset \Pi_{j-1}$, $h(\rho_{i-1}) = i-1$ et $\beta + \rho_{i-1} = \eta_{i-1} \in C_j$. On a donc bien le résultat annoncé et, pour $i = 1$, $\epsilon := \rho_1 \in \Pi_{j-1}$ et $\beta + \epsilon \in C_j$.

□

Proposition 2.2.12.

Soit un entier $j \in \llbracket 1, n \rrbracket$.

1. Si C_j est ordinaire, alors $h'(C_j)$ est un intervalle de \mathbb{N}^* de la forme $\llbracket 1, t \rrbracket$;
2. Si C_j est exceptionnelle, alors $h'(C_j \setminus \{\beta_{ex}\})$ est un intervalle de la forme $\llbracket 1, 2t \rrbracket$ ($t \in \mathbb{N}$).
On a $h'(\beta_{ex}) = t + \frac{1}{2}$.

Démonstration : Le fait que $h'(C_j)$ dans le cas ordinaire (resp. $h'(C_j \setminus \{\beta_{ex}\})$ dans le cas exceptionnel) soit un intervalle de \mathbb{N} résulte de la proposition 2.2.11. Il contient $1 = h(\alpha_j)$, ce qui démontre le premier point.

Supposons C_j exceptionnelle. On note B_1, \dots, B_t les boîtes contenant les racines inférieures à β_{ex} dans l'ordre de Lusztig. Pour toutes ces boîtes, on a $h'(B_i) > h'(\beta_{ex})$. Mais la relation $h(B_i) + h(B'_i) = h(\beta_{ex})$, pour l'image B'_i de B_i par s_D , implique $h'(B_i) > h'(\beta_{ex}) > h'(B'_i)$. On a donc exactement t boîtes apparaissant après β_{ex} et l'intervalle $h'(C_j \setminus \{\beta_{ex}\})$ est bien de la forme $\llbracket 1, 2t \rrbracket$ ($t \in \mathbb{N}$).

De plus $h(\beta_{ex}) = h(\alpha_n + s_D(\alpha_n)) = 1 + 2t$ et finalement $h'(\beta_{ex}) = t + \frac{1}{2}$.

□

On définit ci-dessous les plans admissibles introduit par G. Lusztig dans [Lus90c, section 6.1].

Définition 2.2.13.

On appelle plan admissible $P := \langle \beta, \beta' \rangle$ tout plan engendré par deux racines positives β et β' telles que :

ou bien β appartient à une colonne exceptionnelle C_j et $\beta' = s_D(\beta)$ est telle que $|h'(\beta') - h'(\beta)| = 1$ (dans ce cas on a $\beta + \beta' = \beta_{ex}$ et $h'(\beta_{ex}) = t \pm \frac{1}{2}$).

ou bien β est une racine non exceptionnelle qui appartient à une colonne quelconque C_j et $\beta' = \alpha_i$ avec $i < j$.
On note $\Phi_P := \Phi \cap P$ et $\Phi_P^+ := \Phi^+ \cap P$.

Remarque 2.2.14.

Si $\Phi_P = G_2$ alors $\Phi = G_2$ (à cause de la longueur des racines).

Si $\Phi \neq G_2$ alors la première condition donne lieu deux types de plans admissibles pour lesquels Φ_P^+ est donné par :

Type (1.1)	Type (1.2)
A_2	B_2
$\beta > \beta_{ex} > \beta'$	$\beta > \beta_{ex} > \beta' > \alpha_i$

La seconde condition donne lieu quatre types de plans admissibles pour lesquels Φ_P^+ est donné par :

Type (2.1)	Type (2.2)	Type (2.3)	Type (2.4)
A_2	B_2 avec α_i longue	B_2 avec α_i courte	$A_1 \times A_1$
$\beta_1 > \beta_2 > \alpha_i$	$\beta > \beta_{ex} > \beta' > \alpha_i$	$\beta_1 > \beta_2 > \beta_3 > \alpha_i$	$\beta > \alpha_i$

On remarque que les types (1.2) et (2.2) sont les mêmes.

3 L'algèbre enveloppante quantique $\mathcal{U}_q(\mathfrak{g})$

Soit \mathbb{K} un corps de caractéristique différente de 2 et 3, et q un élément de \mathbb{K}^* qui n'est pas une racine de l'unité. Tout d'abord, on va rappeler les définitions de $\mathcal{U}_q(\mathfrak{g})$ et $\mathcal{U}_q^+(\mathfrak{g})$ en utilisant les notations de [Jan96, chap4]. On rappellera ensuite la construction des bases de Poincaré-Birkhoff-Witt de $\mathcal{U}_q(\mathfrak{g})$ au moyen des automorphismes de Lusztig. Cependant, il y a plusieurs façons de définir ces automorphismes dits "de Lusztig", on va ici décrire trois méthodes différentes. Celle de Lusztig provient de [Lus90c, section 3], celle de Jantzen, qui est la même que De Concini, Kac et Procesi, est développée dans [Jan96, section 8.14] et [DCKP95, section 2.1] et enfin une troisième qui permet de faire le lien entre les deux précédentes. Nous allons expliciter chaque méthode puis voir quelles sont les liens entre les bases de Poincaré-Birkhoff-Witt construites dans chacun des cas.

3.1 Rappels sur $\mathcal{U}_q(\mathfrak{g})$

Notations (q-entiers et q-coefficients binomiaux).

on note pour $\alpha \in \Pi$, a et n entiers naturels avec $a \geq n \geq 0$:

$$[n]_q = \frac{q^n - q^{-n}}{q - q^{-1}}, \quad [n]_q! = [n]_q[n-1]_q \dots [2]_q[1]_q, \quad \left[\begin{array}{c} a \\ n \end{array} \right]_q = \frac{[a]_q!}{[n]_q![a-n]_q!}, \quad \text{et } q_\alpha = q^{\frac{\langle \alpha, \alpha \rangle}{2}}.$$

Définition 3.1.1 ($\mathcal{U}_q(\mathfrak{g})$ et $\mathcal{U}_q^+(\mathfrak{g})$).

- L'algèbre enveloppante quantique $\mathcal{U}_q(\mathfrak{g})$ est la \mathbb{K} -algèbre engendrée par les générateurs E_α , F_α , K_α et K_α^{-1} pour tout α dans Π , soumis aux relations suivantes : ($\forall \alpha, \beta \in \Pi$)

$$K_\alpha K_\alpha^{-1} = 1 = K_\alpha^{-1} K_\alpha \quad (1)$$

$$K_\alpha E_\beta K_\alpha^{-1} = q^{(\alpha, \beta)} E_\beta \quad (2)$$

$$K_\alpha F_\beta K_\alpha^{-1} = q^{-(\alpha, \beta)} F_\beta \quad (3)$$

$$E_\alpha F_\beta - F_\beta E_\alpha = \delta_{\alpha\beta} \frac{K_\alpha - K_\alpha^{-1}}{q_\alpha - q_\alpha^{-1}} \quad (4)$$

et aussi pour $\alpha \neq \beta$:

$$\sum_{s=0}^{1-a_{\alpha\beta}} (-1)^s \left[\begin{array}{c} 1-a_{\alpha\beta} \\ i \end{array} \right]_{q_\alpha} E_\alpha^{1-a_{\alpha\beta}-s} E_\beta E_\alpha^s = 0 \quad (5)$$

$$\sum_{s=0}^{1-a_{\alpha\beta}} (-1)^s \left[\begin{array}{c} 1-a_{\alpha\beta} \\ i \end{array} \right]_{q_\alpha} F_\alpha^{1-a_{\alpha\beta}-s} F_\beta F_\alpha^s = 0 \quad (6)$$

où $a_{\alpha\beta} = 2(\alpha, \beta)/(\alpha, \alpha)$ pour toutes racines simples $\alpha, \beta \in \Pi$.

- On note $\mathcal{U}_q^+(\mathfrak{g})$ la sous-algèbre de $\mathcal{U}_q(\mathfrak{g})$ engendrée par les seuls E_α avec $\alpha \in \Pi$.

Rappelons deux résultats importants démontrés par exemple dans [BG02, section I.6].

Théorème 3.1.2.

1. $\mathcal{U}_q^+(\mathfrak{g})$ est noethérien.
2. $\mathcal{U}_q^+(\mathfrak{g})$ est gradué par $\mathbb{Z}\Phi$. ($wt(E_\alpha) = \alpha$, $wt(F_\alpha) = -\alpha$ et $wt(K_\alpha^{\pm 1}) = 0$)

3.2 La construction de Lusztig

C'est à cette construction que les autres auteurs font référence malgré les modifications qu'ils effectuent dans leurs textes.

Définition 3.2.1 (Automorphismes de Lusztig).

Pour tout $i \in \llbracket 1, n \rrbracket$ il existe un unique automorphisme T_{α_i} de l'algèbre $\mathcal{U}_q(\mathfrak{g})$ tel que :

$$T_{\alpha_i} E_{\alpha_i} = -F_{\alpha_i} K_{\alpha_i}, \quad T_{\alpha_i} F_{\alpha_i} = -K_{\alpha_i}^{-1} E_{\alpha_i}, \quad T_{\alpha_i} K_{\alpha_j} = K_{\alpha_j} K_{\alpha_i}^{-a_{ij}} \quad (j \in \llbracket 1, n \rrbracket)$$

et pour $j \neq i$:

$$T_{\alpha_i} E_{\alpha_j} = \sum_{r+s=-a_{ij}} (-1)^r q^{-d_{is}} E_{\alpha_i}^{(r)} E_{\alpha_j} E_{\alpha_i}^{(s)}$$

$$T_{\alpha_i} F_{\alpha_j} = \sum_{r+s=-a_{ij}} (-1)^r q^{d_{is}} F_{\alpha_i}^{(s)} F_{\alpha_j} F_{\alpha_i}^{(r)}$$

où $E_{\alpha_i}^{(n)} := \frac{E_{\alpha_i}^n}{[n]_{d_i}!}$.

On utilise ensuite un ordre de Lusztig, les colonnes et les boîtes définies dans la partie 2. Le résultat suivant est énoncé par G. Lusztig dans [Lus90c, section 4.3] :

Proposition 3.2.2.

Il existe une unique fonction $\Phi^+ \rightarrow \llbracket 1, n \rrbracket$, $(\beta \mapsto i_\beta)$ telle que les propriétés suivantes sont vérifiées :

1. $s_{i_{\beta_1}}$ et $s_{i_{\beta_2}}$ commutent dans W si β_1 et β_2 sont dans la même boîte. Ainsi pour une boîte B , le produit des s_{i_β} pour $\beta \in B$ est un élément bien défini $s(B)$ de W , indépendant de l'ordre de ses facteurs.
2. $i_{\alpha_j} = j$ pour $j \in \llbracket 1, n \rrbracket$.
3. Si $\beta \in C_j$ et si B_1, \dots, B_k sont les boîtes de C_j dont les éléments sont strictement plus grands que β pour l'ordre de Lusztig alors $s(B_1)s(B_2)\dots s(B_k)(\alpha_{i_\beta}) = \beta$.

On pose alors $w_\beta := s(B_1)s(B_2)\dots s(B_k)$.

On construit à présent T_{w_β} l'aide du théorème suivant ([Lus90c, théorème 3.2])

Théorème 3.2.3.

Soit $w \in W$ et $s_{i_1}\dots s_{i_p}$ une décomposition réduite de w . Alors l'automorphisme $T_w := T_{\alpha_{i_1}}\dots T_{\alpha_{i_p}}$ ne dépend pas de la décomposition réduite choisie, il dépend uniquement de l'élément $w \in W$. Ainsi les T_{α_i} définissent un morphisme du groupe de tresse de W dans le groupe des automorphismes de $\mathcal{U}_q^+(\mathfrak{g})$.

Définition 3.2.4.

Pour toute racine positive β , on définit $E_\beta := T_{w_\beta}(E_{i_\beta}) \in \Phi^+$. Ces éléments forment une base de PBW de $\mathcal{U}_q^+(\mathfrak{g})$ ([Lus90c, proposition 4.2])

Pour obtenir des relations de commutation dans ce contexte, on utilise les plans admissibles.

Notations.

Si $\beta > \beta'$, on note $[E_\beta, E_{\beta'}]_q = E_\beta E_{\beta'} - q^{(\beta, \beta')} E_{\beta'} E_\beta$. Dans la suite, Φ_P désigne la trace du système de racines Φ sur un plan donné P .

Relations de commutation entre les E_γ dans les plans admissibles :

Si $\Phi_P = G_2$ alors $\Phi = G_2$ (à cause de la longueur des racines) et les relations de commutation entre les générateurs de Lusztig sont connues ([Lus90c, Section 5.2]). Elles permettent d'énoncer :

Proposition 3.2.5.

Supposons $\Phi = G_2$, notons α_1 la racine simple courte et α_2 la racine simple longue. On obtient ainsi la bonne numérotation de l'ensemble des racines simples (cf exemple 2.1.4). w_0 a pour décomposition réduite $s_1 s_2 s_1 s_2 s_1 s_2$ ($s_i = s_{\alpha_i}$) et, les racines étant écrites dans l'ordre convexe associée, on a

$$\Phi^+ = \{\beta_1 = \alpha_1, \beta_2 = 3\alpha_1 + \alpha_2, \beta_3 = 2\alpha_1 + \alpha_2, \beta_4 = 3\alpha_1 + 2\alpha_2, \beta_5 = \alpha_1 + \alpha_2, \beta_6 = \alpha_2\}.$$

La première colonne C_1 est réduite à $\{\beta_1\}$, la seconde colonne $C_2 = \{\beta_2, \beta_3, \beta_4, \beta_5, \beta_6\}$ est exceptionnelle ($\beta_{ex} = \beta_4$). On a alors :

- $[E_{\beta_3}, E_{\beta_1}]_q = \lambda E_{\beta_2}$ avec $\lambda \neq 0$,
- $[E_{\beta_4}, E_{\beta_1}]_q = \lambda E_{\beta_3}^2$ avec $\lambda \neq 0$,
- $[E_{\beta_5}, E_{\beta_1}]_q = \lambda E_{\beta_3}$ avec $\lambda \neq 0$,
- $[E_{\beta_6}, E_{\beta_1}]_q = \lambda E_{\beta_5}$ avec $\lambda \neq 0$,
- $[E_{\beta_3}, E_{\beta_1}]_q = \lambda E_{\beta_2}$ avec $\lambda \neq 0$,
- $[E_{\beta_5}, E_{\beta_3}]_q = \lambda E_{\beta_4}$ avec $\lambda \neq 0$.

Si $\Phi \neq G_2$, les relations de commutation entre les générateurs de Lusztig correspondant aux racines d'un plan admissible sont partiellement connues ([Lus90c, Section 5.2]). Elles permettent d'énoncer :

Proposition 3.2.6 ($\Phi \neq G_2$).

- Si $P = \langle \beta, \beta' \rangle$ est un plan admissible de type (1.1) avec $h'(\beta') = h'(\beta) + 1$, alors $\Phi_P^+ = \{\beta, \beta_{ex} = \beta + \beta', \beta'\}$ et :
 - $[E_\beta, E_{\beta'}]_q = \lambda E_{\beta_{ex}}$ avec $\lambda \neq 0$,
 - $[E_\beta, E_{\beta_{ex}}]_q = [E_{\beta_{ex}}, E_{\beta'}]_q = 0$.
- Si $P = \langle \beta, \beta' \rangle$ est un plan admissible de type (1.2) avec $h'(\beta') = h'(\beta) + 1$, alors $\Phi_P^+ = \{\beta, \beta_{ex} = \beta + \beta', \beta', \alpha_i\}$ et on a les relations :
 - $[E_\beta, E_{\beta'}]_q = \lambda E_{\beta_{ex}}$ avec $\lambda \neq 0$,
 - $[E_{\beta_{ex}}, E_{\alpha_i}]_q = \lambda' E_{\beta'}^2$ avec $\lambda' \neq 0$,
 - $[E_\beta, E_{\alpha_i}]_q = \lambda'' E_{\beta'}$ avec $\lambda'' \neq 0$,
 - $[E_\beta, E_{\beta_{ex}}]_q = [E_{\beta_{ex}}, E_{\beta'}]_q = [E_{\beta'}, E_{\alpha_i}]_q = 0$.
- Si $P = \langle \beta, \alpha_i \rangle$ est un plan admissible de type (2.1), alors $\Phi_P^+ = \{\beta_1, \beta_2 = \beta_1 + \alpha_i, \alpha_i\}$ ($\beta = \beta_1$ ou β_2) et :
 - $[E_{\beta_1}, E_{\alpha_i}]_q = \lambda E_{\beta_2}$ avec $\lambda \neq 0$,
 - $[E_{\beta_1}, E_{\beta_2}]_q = [E_{\beta_2}, E_{\alpha_i}]_q = 0$.
- Si $P = \langle \beta, \alpha_i \rangle$ est un plan admissible de type (2.2), alors on a les mêmes relations que dans le type (1.2).
- Si $P = \text{Vect}(\beta, \alpha_i)$ est un plan admissible de type (2.3), alors $\Phi_P^+ = \{\beta_1, \beta_2 = \beta_1 + \alpha_i, \beta_3 = \beta_1 + 2\alpha_i, \alpha_i\}$ ($\beta = \beta_1, \beta_2$ ou β_3) et on a les relations :
 - $[E_{\beta_2}, E_{\alpha_i}]_q = \lambda E_{\beta_3}$ avec $\lambda \neq 0$,

- $[E_{\beta_1}, E_{\beta_3}]_q = \lambda' E_{\beta_2}^2$ avec $\lambda' \neq 0$,
- $[E_{\beta_1}, E_{\alpha_i}]_q = \lambda'' E_{\beta_2}$ avec $\lambda'' \neq 0$,
- $[E_{\beta_1}, E_{\beta_2}]_q = [E_{\beta_2}, E_{\beta_3}]_q = [E_{\beta_3}, E_{\alpha_i}]_q = 0$
- Si $P = \langle \beta, \alpha_i \rangle$ est un plan admissible de type (2.4), alors $\Phi_P^+ = \{\beta, \alpha_i\}$ avec $\beta \perp \alpha_i$ et, si β n'est pas exceptionnelle, alors $[E_\beta, E_{\alpha_i}]_q = 0$.

Corollaire 3.2.7 ($\Phi \neq G_2$).

Soient i, l deux entiers tels que $1 \leq i < l \leq n$ et $\eta \in C_l$

1. Si $(\eta, \alpha_i) > 0$, alors $[E_\eta, E_{\alpha_i}]_q = 0$.
2. Si $\eta + \alpha_i = m\gamma$ avec $\gamma \in \Phi^+$ et $m \in \mathbb{N}^*$, alors $[E_\eta, E_{\alpha_i}]_q = \lambda E_\gamma^m$, avec $\lambda \in \mathbb{K}^*$.
3. Si $\eta = \eta_1 + \eta_2$ avec η_1 et η_2 dans C_l telles que $h(\eta_1) + 1 = h(\eta_2)$ alors $[E_{\eta_1}, E_{\eta_2}]_q = \lambda E_\eta$, avec $\lambda \in \mathbb{K}^*$.

Démonstration : $P = \text{Vect}(\eta, \alpha_i)$ est un plan admissible de type (2.1), (2.2), (2.3) ou (2.4) par définition.

1. P n'est pas de type (2.4) puisque $(\eta, \alpha_i) \neq 0$. Il nous reste donc à envisager les cas suivants :
 - P est de type (2.1). On voit alors (en utilisant les notations 2.2.14) que, $\eta = \beta_2$. D'où le résultat par la proposition 3.2.6.
 - P est de type (2.2). On voit alors que $\eta = \beta'$. D'où le résultat par la proposition 3.2.6.
 - P est de type (2.3). On voit alors que $\eta = \beta_3$. D'où le résultat par la proposition 3.2.6.
2. Puisque $m \neq 0$, on a $\gamma \in P \cap \Phi^+ = \Phi_p^+$ de sorte que P n'est pas non plus de type (2.4). Il nous reste donc à envisager les cas suivants :
 - P est de type (2.1). On voit alors que $m = 1$, $\eta = \beta_1$ et $\gamma = \beta_2$. D'où le résultat par la proposition 3.2.6.
 - P est de type (2.2). On voit alors que l'on a deux possibilités :
 - $m = 1$, $\eta = \beta$ et $\gamma = \beta'$.
 - $m = 2$, $\eta = \beta_{ex}$ et $\gamma = \beta'$.
 D'où le résultat par la proposition 3.2.6.
 - P est de type (2.3). On voit alors qu'on a $m = 1$, $\eta = \beta_1$ (resp. $\eta = \beta_2$) et $\gamma = \beta_2$ (resp. $\gamma = \beta_3$). D'où le résultat par la proposition 3.2.6.
3. Considérons le plan $P := \langle \eta_1, \eta_2 \rangle$. Il est admissible (cf définition 2.2.13) Φ_P^+ est égal à $\{\eta_1, \eta, \eta_2\}$ (type 1.1) ou $\{\eta_1, \eta, \eta_2, \alpha_i\}$ avec $i < l$ (type 1.2). Il résulte alors de la proposition précédente que $[E_{\eta_1}, E_{\eta_2}]_q = \lambda E_\eta$, avec $\lambda \in \mathbb{K}^*$.

□

3.3 La construction de Jantzen

Cette construction est utilisée dans [Jan96, section 8.14], on utilise les mêmes automorphismes $T_\alpha, \alpha \in \Pi$ mais d'une manière différente pour construire les éléments de la base de PBW.

Pour une décomposition donnée de $w_0 = s_{i_1} \dots s_{i_N}$, on sait que pour tout $\beta \in \Phi^+$, il existe $i_\beta \in \llbracket 1, N \rrbracket$ tel que $\beta = s_{i_1} \dots s_{i_{\beta}-1}(\alpha_{i_\beta})$.

Définition 3.3.1.

Soit $\beta \in \Phi^+$, on pose $w'_\beta := s_{i_1} \dots s_{i_\beta-1}$ et on définit $X_\beta := T_{w'_\beta}(E_{\alpha_{i_\beta}})$, $Y_\beta := T_{w'_\beta}(F_{\alpha_{i_\beta}})$.

En utilisant les résultats [Jan96, théorème 4.21] et [Jan96, théorème section 8.24], il vient :

Théorème 3.3.2.

- Si $\alpha \in \Pi$, on a $X_\alpha = E_\alpha$ pour $\alpha \in \Pi$ ([Jan96, Proposition 8.20]).
- Les monômes $X_{\beta_1}^{k_1} \dots X_{\beta_N}^{k_N}$ ($k_i \in \mathbb{N}$) forment une base de PBW de $\mathcal{U}_q^+(\mathfrak{g})$.
- Les monômes $X_{\beta_1}^{k_1} \dots X_{\beta_N}^{k_N} K_{\alpha_1}^{m_1} \dots K_{\alpha_n}^{m_n} Y_{\beta_1}^{l_1} \dots Y_{\beta_N}^{l_N}$ (resp. $K_{\alpha_1}^{m_1} \dots K_{\alpha_n}^{m_n} Y_{\beta_1}^{l_1} \dots Y_{\beta_N}^{l_N} X_{\beta_1}^{k_1} \dots X_{\beta_N}^{k_N}$, resp. $Y_{\beta_1}^{l_1} \dots Y_{\beta_N}^{l_N} K_{\alpha_1}^{m_1} \dots K_{\alpha_n}^{m_n} X_{\beta_1}^{k_1} \dots X_{\beta_N}^{k_N}$), ($k_i, l_i \in \mathbb{N}, m_i \in \mathbb{Z}$) forment une base de $\mathcal{U}_q(\mathfrak{g})$.

La proposition ci-dessous a été démontré par Levendorskiĭ et Soibelman [LS91, Proposition 5.5.2] dans un cadre légèrement différent. On trouve d'autres formulations dans la littérature dont certaines comportent des inexactitudes. Pour cette raison, nous allons la redémontrer dans le cadre de ce travail. Les idées utilisées dans cette démonstration proviennent essentiellement de [LS91, Proposition 5.5.2].

Il reste à calculer la valeur de a . On compose chaque membre par $T_{w_i}^{-1}$:

$$T_{w_i}^{-1}(X_{\beta_j})T_{w_i}^{-1}(X_{\beta_i}) - aT_{w_i}^{-1}(X_{\beta_i})T_{w_i}^{-1}(X_{\beta_j}) = \sum_{\beta_i < \gamma_1 < \dots < \gamma_p \leq \beta_j} c_{\bar{\mathbf{k}}, \bar{\gamma}} T_{w_i}^{-1}(X_{\gamma_1}^{k_1}) \dots T_{w_i}^{-1}(X_{\gamma_p}^{k_p}) \quad (7)$$

et on note $X := T_{w_i}^{-1}(X_{\beta_j})$. C'est un élément de $\mathcal{U}_q^+(\mathfrak{g})$ par la proposition 3.3.6. De même, le second membre X' est un élément de $\mathcal{U}_q^+(\mathfrak{g})$ et puisque $T_{w_i}^{-1}(X_{\beta_i}) := T_{\alpha_i}^{-1}(E_{\alpha_i}) = -K_{\alpha_i}^{-1}F_{\alpha_i}$, on a :

$$-XK_{\alpha_i}^{-1}F_{\alpha_i} + aK_{\alpha_i}^{-1}F_{\alpha_i}X = X'$$

Par le lemme 3.3.7, X est homogène de poids $w_i^{-1}(\beta_j)$, de sorte que

$$-XK_{\alpha_i}^{-1}F_{\alpha_i} = -q^{(\alpha_i, w_i^{-1}(\beta_j))}K_{\alpha_i}^{-1}XF_{\alpha_i}$$

Compte tenu des relations de commutation entre les F_α et les E_α (cf définition 3.1.1), on a :

$$XF_{\alpha_i} = F_{\alpha_i}X + K_1X_1 + X_2, \text{ avec } K_1 \in \mathcal{U}_q^0(\mathfrak{g}), X_1 \text{ et } X_2 \in \mathcal{U}_q^+(\mathfrak{g})$$

Comme $F_{\alpha_i} = Y_{\alpha_i}$, l'égalité (7) s'écrit :

$$-q^{(\alpha_i, w_i^{-1}(\beta_j))}K_{\alpha_i}^{-1}Y_{\alpha_i}X + -q^{(\alpha_i, w_i^{-1}(\beta_j))}K_{\alpha_i}^{-1}K_1X_1 + -q^{(\alpha_i, w_i^{-1}(\beta_j))}K_{\alpha_i}^{-1}X_2 + aK_{\alpha_i}^{-1}Y_{\alpha_i}X = X',$$

de sorte que

$$-q^{(\alpha_i, w_i^{-1}(\beta_j))}K_{\alpha_i}^{-1}Y_{\alpha_i}X + aK_{\alpha_i}^{-1}Y_{\alpha_i}X = q^{(\alpha_i, w_i^{-1}(\beta_j))}K_{\alpha_i}^{-1}K_1X_1 + q^{(\alpha_i, w_i^{-1}(\beta_j))}K_{\alpha_i}^{-1}X_2 + X'$$

Comme X, X', X_1 et X_2 sont dans $\mathcal{U}_q^+(\mathfrak{g})$, il résulte du théorème 3.3.2 que les deux membres de cette égalité sont nuls, de sorte que $a = q^{(\alpha_i, w_i^{-1}(\beta_j))} = q^{(w_i^{-1}(\beta_i), w_i^{-1}(\beta_j))} = q^{(\beta_i, \beta_j)}$. Ceci démontre le point (5). \square

3.4 Relations de commutation entre les X_γ dans les plans admissibles

Le but de cette partie est de démontrer que les X_γ vérifient des relations de commutation analogues aux relations de commutation entre les E_γ rappelées dans le paragraphe 3.2.

3.4.1 Construction d'un troisième système de générateurs

Conventions.

- Soit i un entier de $\llbracket 1, n \rrbracket$. τ désignant l'automorphisme de $\mathcal{U}_q(\mathfrak{g})$ défini au lemme 3.3.4, notons $T'_{\alpha_i} = \tau \circ T_{\alpha_i} \circ \tau$. Ceci est un automorphisme de $\mathcal{U}_q(\mathfrak{g})$ qui vérifie immédiatement les relations suivantes :

$$T'_{\alpha_i}E_{\alpha_i} = -K_{\alpha_i}^{-1}F_{\alpha_i}, \quad T'_{\alpha_i}F_{\alpha_i} = -E_{\alpha_i}K_{\alpha_i}, \quad T'_{\alpha_i}K_{\alpha_j} = K_{\alpha_j}K_{\alpha_i}^{-a_{ij}} \quad (j \in \llbracket 1, n \rrbracket)$$

et pour $j \neq i$:

$$\begin{aligned} T'_{\alpha_i}E_{\alpha_j} &= \sum_{r+s=-a_{ij}} (-1)^r q^{d_{is}} E_{\alpha_i}^{(s)} E_{\alpha_j} E_{\alpha_i}^{(r)} \\ T'_{\alpha_i}F_{\alpha_j} &= \sum_{r+s=-a_{ij}} (-1)^r q^{-d_{is}} F_{\alpha_i}^{(r)} F_{\alpha_j} F_{\alpha_i}^{(s)} \end{aligned}$$

- De même, si $w_p \in W$ a pour décomposition réduite $w_p = s_{i_1} \dots s_{i_p}$, on pose $T'_{w_p} := \tau \circ T_{w_p} \circ \tau$ et on observe que l'on a encore $T'_{w_p} = T'_{\alpha_{i_1}} \dots T'_{\alpha_{i_p}}$.
- Si $\beta \in \Phi^+$, on pose $w_\beta := s_{i_1} \dots s_{i_{\beta}-1}$ et on définit $X'_\beta := T'_{w_\beta}(E_{\alpha_{i_\beta}})$ et $Y'_\beta := T'_{w_\beta}(F_{\alpha_{i_\beta}})$. On a immédiatement $X'_\alpha = E_\alpha$ et par analogie $Y'_\alpha = F_\alpha$ pour $\alpha \in \Pi$.

Le théorème de Levendorskiĭ et Soibelman prend alors la forme suivante :

Proposition 3.4.1.

Avec les notations précédentes, si i et j sont deux entiers tels que $1 \leq i < j \leq N$

$$X'_{\beta_i}X'_{\beta_j} - q^{-(\beta_i, \beta_j)}X'_{\beta_j}X'_{\beta_i} = \sum_{\beta_i < \gamma_1 < \dots < \gamma_p < \beta_j, p \geq 1, k_i \in \mathbb{N}} c_{\bar{\mathbf{k}}, \bar{\gamma}} X'^{k_1}_{\gamma_1} \dots X'^{k_p}_{\gamma_p}$$

avec $c_{\bar{\mathbf{k}}, \bar{\gamma}} \in \mathbb{K}$ et $c_{\bar{\mathbf{k}}, \bar{\gamma}} \neq 0 \Rightarrow \text{wt}(X'^{k_1}_{\gamma_1} \dots X'^{k_p}_{\gamma_p}) := k_1 \times \gamma_1 + \dots + k_p \times \gamma_p = \beta_i + \beta_j$

Démonstration : Commençons par exprimer X_β en fonction de X'_β ($\beta \in \Phi^+$) :

$$X_\beta = T_{w'_\beta}(E_{\alpha_{i_\beta}}) = \tau \circ T'_{w'_\beta} \circ \tau(E_{\alpha_{i_\beta}}) = \tau(X'_\beta).$$

Ainsi, compte tenu du théorème de Levendorskiĭ et Soibelman (théorème 3.3.3), on a :

$$\begin{aligned} X'_{\beta_i} X'_{\beta_j} - q^{-(\beta_i, \beta_j)} X'_{\beta_j} X'_{\beta_i} &= \tau(X_{\beta_j} X_{\beta_i} - q^{-(\beta_i, \beta_j)} X_{\beta_i} X_{\beta_j}) \\ &= -q^{-(\beta_i, \beta_j)} \tau(X_{\beta_i} X_{\beta_j} - q^{(\beta_i, \beta_j)} X_{\beta_j} X_{\beta_i}) \\ &= -q^{-(\beta_i, \beta_j)} \tau\left(\sum_{\beta_i < \gamma_1 < \dots < \gamma_p < \beta_j, p \geq 1, k_i \in \mathbb{N}} c_{\bar{\mathbf{k}}, \bar{\gamma}} X_{\gamma_1}^{k_1} \dots X_{\gamma_p}^{k_p}\right) \\ &= \sum_{\beta_i < \gamma_1 < \dots < \gamma_p < \beta_j, p \geq 1, k_i \in \mathbb{N}} c'_{\bar{\mathbf{k}}, \bar{\gamma}} \tau(X_{\gamma_p})^{k_p} \dots \tau(X_{\gamma_1})^{k_1} \\ &= \sum_{\beta_i < \gamma_1 < \dots < \gamma_p < \beta_j, p \geq 1, k_i \in \mathbb{N}} c'_{\bar{\mathbf{k}}, \bar{\gamma}} X_{\gamma_p}^{k_p} \dots X_{\gamma_1}^{k_1} \end{aligned}$$

Pour ré-ordonner, les monômes du second membre on utilise alors le lemme ci-dessous.

□

Lemme 3.4.2.

On suppose que, pour tout $1 < i < j < N$, on ait une relation de la forme $X'_{\beta_i} X'_{\beta_j} - q^{-(\beta_i, \beta_j)} X'_{\beta_j} X'_{\beta_i} = P_{ij}$, où $P_{ij} \in \mathbb{K}\langle X'_{\beta_{i+1}}, \dots, X'_{\beta_{j-1}} \rangle$. Alors pour tout $1 < k < l < N$, tout polynôme M en les $X'_{\beta_k}, \dots, X'_{\beta_l}$ peut s'écrire comme une combinaison linéaire de monômes ordonnés en les $X'_{\beta_k}, \dots, X'_{\beta_l}$.

Démonstration : Il suffit de démontrer le résultat lorsque M est un monôme de $\mathbb{K}\langle X'_{\beta_k}, \dots, X'_{\beta_l} \rangle$. On raisonne par récurrence sur $m := l - k$, le nombre de variables apparaissant dans l'écriture de M .

– $m = 1$: Le résultat est évident.

- $m-1 \Rightarrow m$: On raisonne par récurrence sur le nombre t d'occurrences de X'_{β_k} dans M .
- Si $t = 1$: On écrit $M = M_1 X'_{\beta_k} M_2$ avec M_1 et M_2 deux monômes en $X'_{\beta_{k+1}}, \dots, X'_{\beta_l}$. On raisonne alors par récurrence sur $p = dM_1$.
 - $p = 0$: $M = X'_{\beta_k} M_2$ avec $M_2 \in \mathbb{K}\langle X'_{\beta_{k+1}}, \dots, X'_{\beta_l} \rangle$. En appliquant l'hypothèse de récurrence sur le nombre de variables M_2 , on obtient le résultat voulu.
 - $p-1 \Rightarrow p$: On a alors $M_1 = M'_1 X'_{\beta_s}$ avec $s \in [k+1, l]$ et $M'_1 \in \mathbb{K}\langle X'_{\beta_{k+1}}, \dots, X'_{\beta_l} \rangle$, de degré $p-1$. Ainsi, en utilisant la relation de commutation entre X'_{β_k} et X'_{β_s} donne par hypothèse on a :

$$M = M'_1 X'_{\beta_s} X'_{\beta_k} M_2 = q^{(\beta_k, \beta_s)} M'_1 X'_{\beta_k} X'_{\beta_s} M_2 + M'_1 P_{ks} M_2, \quad P_{ks} \in \mathbb{K}\langle X'_{\beta_{k+1}}, \dots, X'_{\beta_{s-1}} \rangle.$$

Par l'hypothèse de récurrence sur le degré de M_1 , le monôme $M'_1 X'_{\beta_k} X'_{\beta_s} M_2$ est une combinaison linéaire de monômes ordonnés en $X'_{\beta_k}, \dots, X'_{\beta_l}$. Par l'hypothèse de récurrence sur le nombre de variable, chaque monôme de $M'_1 P_{ks} M_2$ est une combinaison linéaire de monômes ordonnés en $X'_{\beta_{k+1}}, \dots, X'_{\beta_l}$. Duo le résultat.

- $t-1 \Rightarrow t$: Si la première occurrence de X'_{β_k} est en première position dans l'écriture de $M = X'_{\beta_k} M_1 X'_{\beta_k} \dots M_t X'_{\beta_k} M_{t+1}$, le monôme $M_1 X'_{\beta_k} \dots M_t X'_{\beta_k} M_{t+1}$ est une combinaison linéaire de monômes ordonnés en $X'_{\beta_k}, \dots, X'_{\beta_l}$ d'où le résultat.
- Sinon, on a $M = M_1 X'_{\beta_k} \dots M_n X'_{\beta_k} M_{n+1}$ et, par l'hypothèse de récurrence applique $M_1 X'_{\beta_k} \dots M_n$ on a $M = \sum_i X'^{a_i}_{\beta_k} M'_i X'_{\beta_k} M_{n+1}$, avec $a_i \in \mathbb{N}$ et M'_i monômes (ordonnés) en $X'_{\beta_{k+1}}, \dots, X'_{\beta_l}$.

Chaque monôme $M'_i X'_{\beta_k} M_{n+1}$ présente une seule occurrence de X'_{β_k} . C'est donc (voir le cas $t = 1$) une combinaison linéaire de monômes ordonnés en $X'_{\beta_{k+1}}, \dots, X'_{\beta_l}$. D'où le résultat.

□

3.4.2 Relations entre les E_β et les X'_β .

Comme dans les paragraphes précédents, Φ^+ est muni d'un ordre de Lusztig associé une décomposition réduite $w_0 = s_{i_1} \dots s_{i_N}$. Dans ce cas, on peut préciser comme suit la version du théorème de Levendorskiĭ et Soibelman (proposition 3.4.1).

Théorème 3.4.3.

Si i et j sont deux entiers tels que $1 \leq i < j \leq N$, on a :

$$X'_{\beta_i} X'_{\beta_j} - q^{-(\beta_i, \beta_j)} X'_{\beta_j} X'_{\beta_i} = \sum_{\beta_i < \gamma_1 < \dots < \gamma_p < \beta_j} C_{\bar{\mathbf{k}}, \bar{\gamma}} X'^{k_1}_{\gamma_1} \dots X'^{k_p}_{\gamma_p}.$$

Les monômes du second membres apparaissant avec un coefficient $C_{\bar{\mathbf{k}}, \bar{\gamma}}$ non nul vérifient :

- $\text{wt}(X'^{k_1}_{\gamma_1} \dots X'^{k_p}_{\gamma_p}) = \beta_i + \beta_j$;
- γ_1 n'est pas dans la même boîte que β_i ;
- γ_p n'est pas dans la même boîte que β_j .

La preuve de ce théorème repose essentiellement sur le résultat suivant :

Lemme 3.4.4.

Soit $B = \{\beta_p, \dots, \beta_{p+l}\}$ une boîte et soit $\alpha_{i_p}, \dots, \alpha_{i_{p+l}}$ les racines simples correspondantes. Alors $\forall k \in \llbracket 0, l \rrbracket$,

$$T'_{\alpha_{i_p}} \dots T'_{\alpha_{i_{p+k-1}}} (E_{\alpha_{i_{p+k}}}) = E_{\alpha_{i_{p+k}}} = T'_{\alpha_{i_p}} \dots T'_{i_{\alpha_{p+k-1}}} T'_{i_{\alpha_{p+k+1}}} \dots T'_{\alpha_{i_{p+l}}} (E_{\alpha_{i_{p+k}}})$$

Démonstration : On sait que si α_1 et α_2 sont deux racines simples orthogonales, on a $T_{\alpha_1}(E_{\alpha_2}) = E_{\alpha_2} = \tau(E_{\alpha_2})$ de sorte que $T'_{\alpha_1}(E_{\alpha_2}) = E_{\alpha_2}$. Comme $\alpha_{i_p}, \dots, \alpha_{i_{p+l}}$ sont 2 à 2 orthogonales (la proposition 2.2.7), on a immédiatement les formules ci-dessus. \square

Démonstration du théorème 3.4.3 : Le premier point résulte de la proposition 3.4.1. Si dans la décomposition de w_0 , on change l'ordre des réflexions associées des racines simples correspondant à une même boîte B , on trouve une nouvelle décomposition réduite de w_0 . Les racines positives de B sont permutes de la même manière et les autres sont inchangés. Par le lemme ci-dessus, les X'_β , $\beta \in B$, sont aussi permutes de la même manière mais non modifiées, et les X'_γ , $\gamma \notin B$, sont inchangés. Sans perte de généralité, on peut donc supposer que β_i est maximale dans sa boîte et que β_j est minimale dans la sienne. Il en résulte que si $\beta_i < \gamma_1 < \dots < \gamma_p < \beta_j$ alors γ_1 n'est pas dans la même boîte que β_i et γ_p n'est pas dans la même boîte que β_j . \square

Remarque 3.4.5.

La preuve du théorème précédent est aussi valable pour les éléments X_β , $\beta \in \Phi_+$ de sorte qu'on appliquera aussi le théorème 3.4.3 à ces éléments.

On peut à présent démontrer :

Théorème 3.4.6.

$$\forall \beta \in \Phi^+, \exists \lambda_\beta \in \mathbb{K} \setminus \{0\} \text{ tel que } X'_\beta = \lambda_\beta E_\beta$$

Démonstration : Soit β et β' deux racines positives telles que $\beta > \beta'$. On note (par analogie avec $[E_\beta, E_{\beta'}]_q$) $[X'_\beta, X'_{\beta'}]_q = X'_\beta X'_{\beta'} - q^{(\beta, \beta')} X'_{\beta'} X'_\beta$.

Traitons d'abord le cas $\Phi = G_2$ et reprenons les conventions de la proposition 3.2.5. On sait (3.4.1. conventions) que, puisque β_1 et β_6 sont simples, on a $X'_{\beta_1} = E_{\beta_1}$ et $X'_{\beta_6} = E_{\beta_6}$.

On a donc

$$[X'_{\beta_6}, X'_{\beta_1}]_q = [E_{\beta_6}, E_{\beta_1}]_q = \lambda E_{\beta_5} \text{ avec } \lambda \in \mathbb{K}^*.$$

Par le théorème 3.4.3, on a aussi $[X'_{\beta_6}, X'_{\beta_1}]_q = \mu X'_{\beta_5}$ avec $\mu \in \mathbb{K}$ et, par suite, $X'_{\beta_5} = \lambda_{\beta_5} E_{\beta_5}$ avec $\lambda_{\beta_5} \in \mathbb{K}^*$.

De là, $[X'_{\beta_5}, X'_{\beta_1}]_q = \lambda_{\beta_5} [E_{\beta_5}, E_{\beta_1}]_q = \nu E_{\beta_3}$ avec $\nu \in \mathbb{K}^*$. On en déduit comme ci-dessus que $X'_{\beta_3} = \lambda_{\beta_3} E_{\beta_3}$ avec $\lambda_{\beta_3} \in \mathbb{K}^*$.

De la même manière, en considérant $[X'_{\beta_3}, X'_{\beta_1}]_q = \lambda_{\beta_3} [E_{\beta_3}, E_{\beta_1}]_q$, on montre que $X'_{\beta_2} = \lambda_{\beta_2} E_{\beta_2}$ avec $\lambda_{\beta_2} \in \mathbb{K}^*$.

Enfin, on a $[X'_{\beta_5}, X'_{\beta_3}]_q = \lambda_{\beta_5} \lambda_{\beta_3} [E_{\beta_5}, E_{\beta_3}]_q = \nu E_{\beta_4}$ avec $\nu \in \mathbb{K}^*$, d'où on déduit que $X'_{\beta_4} = \lambda_{\beta_4} E_{\beta_4}$ avec $\lambda_{\beta_4} \in \mathbb{K}^*$.

Supposons maintenant $\Phi \neq G_2$, considérons une colonne C_t ($t \in \llbracket 1, n \rrbracket$) et démontrons le théorème pour toutes les racines de C_t .

On étudie d'abord le cas des racines non exceptionnelles.

Soit donc $\beta \in C_t$, β non exceptionnelle. Raisonnons par récurrence sur $h(\beta)$.

Initialisation : Si $h(\beta) = 1$, alors $\beta = \alpha_t$ et d'après les conventions de $X'_{\alpha_t} = E_{\alpha_t}$.

Héritéité : Supposons $h(\beta) > 1$ et le résultat vrai pour chaque $\delta \in C_t$, δ non exceptionnelle telle que $h(\delta) < h(\beta)$. Par la proposition 2.2.11, il existe une racine simple α_i ($i < t$) telle que $\beta - \alpha_i = \gamma \in C_t$. De plus, γ n'est pas exceptionnelle car, sinon $\beta = \gamma + \alpha_i$ le serait. $P := \langle \alpha_i, \beta \rangle$ est alors un plan admissible de type (2.1), (2.2) ou (2.3) et on a $[E_\gamma, E_{\alpha_i}]_q = cE_\beta$ ($c \in \mathbb{K} \setminus \{0\}$) (cf. paragraphe 3.2 page 11).

Comme $h(\gamma) = h(\beta) - 1 < h(\beta)$, on a $X'_\gamma = \lambda_\gamma E_\gamma$ ($\lambda_\gamma \in \mathbb{K} \setminus \{0\}$), et comme $E_{\alpha_i} = X'_{\alpha_i}$, on a :

$$[X'_\gamma, X'_{\alpha_i}]_q = \lambda_\gamma [E_\gamma, E_{\alpha_i}]_q = \lambda_\gamma cE_\beta.$$

Par le théorème 3.4.3, E_β est une combinaison linéaire de monômes $X'_{\delta_1} \dots X'_{\delta_s}$ avec $\alpha_i < \delta_1 \leq \dots \leq \delta_s < \gamma$, δ_s n'appartient pas à la boîte de γ , δ_1 n'appartient pas à la boîte de α_i et

$$\delta_1 + \dots + \delta_s = \alpha_i + \gamma = \beta \quad (\star).$$

Pour chacun de ces monômes, $\delta_s \in C_t$ et δ_s n'est pas exceptionnelle (puisque $\beta \in C_t$ et β n'est pas exceptionnelle). Comme $\delta_s < \gamma$ et δ_s n'appartient pas à la boîte de γ , on a $h(\delta_s) > h(\gamma) \Rightarrow h(\delta_s) \geq h(\beta) \Rightarrow (s = 1 \text{ et } \delta_1 = \beta) \Rightarrow E_\beta = aX'_\beta$ avec $a \in \mathbb{K} \setminus \{0\}$, d'où le résultat.

Supposons à présent que β est la racine exceptionnelle de C_t (cf figure ci-contre). Soit γ l'élément de C_t qui précède β dans l'ordre de Lusztig et soit $\delta = s_D(\gamma)$, de sorte que $\delta + \gamma = \beta$. Par le proposition 2.2.12, on a $h'(\beta) = m + \frac{1}{2}$ avec $m \in \mathbb{N}^*$ et $h'(C_t) = \llbracket 1, 2m \rrbracket$. Si B est la boîte de C_t qui précède β , on a donc $h'(B) = h(B) = t + 1$. Comme la boîte de β est réduite un élément, on a $\gamma \in B$, donc $h(\gamma) = m + 1$ et, par suite, $h(\delta) = m$. $P = Vect(\gamma, \delta)$ est alors un plan admissible de type (1.1) ou (1.2), et $[E_\delta, E_\gamma]_q = cE_\beta$ ($c \neq 0$) (cf. paragraphe 3.2).

Comme γ et δ sont non exceptionnelles, on sait déjà (voir ci dessus) que $X'_\gamma = \lambda_\gamma E_\gamma$ et $X'_\delta = \lambda_\delta E_\delta$ ($\lambda_\gamma \neq 0, \lambda_\delta \neq 0$). Ainsi, on a :

$$[X'_\delta, X'_\gamma]_q = \lambda_\delta \lambda_\gamma [E_\delta, E_\gamma]_q = \lambda_\delta \lambda_\gamma cE_\beta \quad (\lambda_\gamma \neq 0, \lambda_\delta \neq 0).$$

	β_k
:	
	γ
	β
	δ
:	
	β_N

$C_t :$

Comme ci-dessus, E_β est une combinaison linéaire de monômes $X'_{\delta_1} \dots X'_{\delta_s}$ avec $\gamma < \delta_1 \leq \dots \leq \delta_s < \beta$, δ_s n'appartient pas à la boîte de β et δ_1 n'appartient pas à la boîte de γ . Comme β est la seule racine de C_t vérifiant $\gamma < \beta < \delta$, β n'appartient pas à la boîte de δ et β n'appartient pas à la boîte de γ , on en déduit que $s = 1$ et $\delta_1 = \beta$. Donc $E_\beta = aX'_\beta$ avec $a \in \mathbb{K} \setminus \{0\}$.

□

Des théorèmes 3.4.3 et 3.4.6, on en déduit :

Corollaire 3.4.7.

Si i et j sont deux entiers tels que $1 \leq i < j \leq N$, on a :

$$E_{\beta_i} E_{\beta_j} - q^{-(\beta_i, \beta_j)} E_{\beta_j} E_{\beta_i} = \sum_{\beta_i < \gamma_1 < \dots < \gamma_p < \beta_j, p \geq 1, k_i \in \mathbb{N}} C'_{\overline{\mathbf{k}}, \overline{\gamma}} E_{\gamma_1}^{k_1} \dots E_{\gamma_p}^{k_p}.$$

Les monômes du second membres apparaissant avec un coefficient $C'_{\overline{\mathbf{k}}, \overline{\gamma}}$ non nul vérifient :

- $wt(X'^{k_1}_{\gamma_1} \dots X'^{k_p}_{\gamma_p}) = \beta_i + \beta_j$;
- γ_1 n'est pas dans la même boîte que β_i ;
- γ_p n'est pas dans la même boîte que β_j .

3.4.3 Lien avec la construction de Jantzen

Proposition 3.4.8.

Soient $\beta_1 < \beta_2$ deux racines positives.

1. Si $E_{\beta_1} E_{\beta_2} - q^{-(\beta_1, \beta_2)} E_{\beta_2} E_{\beta_1} = kE_\gamma^m$ ($k \neq 0, m \geq 1$ et $\gamma \in \Phi^+$), alors

$$X_{\beta_1} X_{\beta_2} - q^{+(\beta_1, \beta_2)} X_{\beta_2} X_{\beta_1} = k' X_\gamma^m \quad (k' \neq 0).$$

2. Si $E_{\beta_1} E_{\beta_2} - q^{-(\beta_1, \beta_2)} E_{\beta_2} E_{\beta_1} = kE_\gamma E_\delta$ ($k \neq 0, \gamma, \delta \in \Phi^+, \gamma$ et δ appartenant une même boîte), alors $X_{\beta_1} X_{\beta_2} - q^{+(\beta_1, \beta_2)} X_{\beta_2} X_{\beta_1} = k' X_\gamma X_\delta$ ($k' \neq 0$).

Démonstration : Soit $\beta \in \Phi^+$. Rappelons (Section 3.4.1) que $X_\beta := T_{w'_\beta}(E_{\alpha_{i_\beta}})$, $X'_\beta := T'_{w'_\beta}(E_{\alpha_{i_\beta}})$, et que $T_{w'_\beta} = \tau \circ T'_{w'_\beta} \circ \tau$. On a donc $X_\beta = \tau \circ T'_{w'_\beta} \circ \tau(E_{\alpha_{i_\beta}}) = \tau(X'_\beta)$. Rappelons également (Théorème 3.4.6) que $X'_\beta = \lambda_\beta E_\beta$ avec $\lambda_\beta \in \mathbb{K}^*$.

Soient $\beta_1 < \beta_2$ deux racines positives.

1. Si $E_{\beta_1}E_{\beta_2} - q^{-(\beta_1, \beta_2)}E_{\beta_2}E_{\beta_1} = kE_{\gamma}^m$ ($k \neq 0, \gamma \in \Phi^+$), alors :

$$\begin{aligned}
X_{\beta_1}X_{\beta_2} - q^{+(\beta_1, \beta_2)}X_{\beta_2}X_{\beta_1} &= \tau(X'_{\beta_1})\tau(X'_{\beta_2}) - q^{+(\beta_1, \beta_2)}\tau(X_{\beta_2})\tau(X_{\beta_1}) \\
&= \tau(X'_{\beta_2}X'_{\beta_1} - q^{+(\beta_1, \beta_2)}X'_{\beta_1}X'_{\beta_2}) \\
&= -q^{+(\beta_1, \beta_2)}\tau(X'_{\beta_1}X'_{\beta_2} - q^{-(\beta_1, \beta_2)}X'_{\beta_2}X'_{\beta_1}) \\
&= -q^{+(\beta_1, \beta_2)}\lambda_{\beta_1}\lambda_{\beta_2}\tau(E_{\beta_1}E_{\beta_2} - q^{-(\beta_1, \beta_2)}E_{\beta_2}E_{\beta_1}) \\
&= -q^{+(\beta_1, \beta_2)}\lambda_{\beta_1}\lambda_{\beta_2}\tau(kE_{\gamma}^m) \\
&= \frac{-q^{+(\beta_1, \beta_2)}\lambda_{\beta_1}\lambda_{\beta_2}k}{\lambda_{\gamma}}\tau((X'_{\gamma})^m) \\
&= k'X_{\gamma}^m \text{ avec } k' \in \mathbb{K}^*
\end{aligned}$$

2. Si $E_{\beta_1}E_{\beta_2} - q^{-(\beta_1, \beta_2)}E_{\beta_2}E_{\beta_1} = kE_{\gamma}E_{\delta}$ ($k \neq 0, \gamma, \delta \in \Phi^+, \gamma$ et δ appartenant une même boîte) alors, en effectuant le même calcul qu'en 1., on trouve :

$$X_{\beta_1}X_{\beta_2} - q^{(\beta_1, \beta_2)}X_{\beta_2}X_{\beta_1} = k'\tau(X'_{\gamma}X'_{\delta}) = k'X_{\delta}X_{\gamma} \quad (k' \neq 0)$$

Comme γ et δ sont dans la même boîte, on sait (proposition 2.2.7) que $(\delta, \gamma) = 0$, de sorte que, par le théorème 3.3.3, $X_{\gamma}X_{\delta} = X_{\gamma}X_{\delta}$. Ce qui termine la démonstration.

□

4 Effacement des dérivation dans $\mathcal{U}_q^+(\mathfrak{g})$

4.1 Notations et rappels

Dans cette partie, on note $A := \mathcal{U}_q^+(\mathfrak{g})$, $X_i := X_{\beta_i}$ pour $1 \leq i \leq N$, et $\lambda_{i,j} := q^{-(\beta_j, \beta_i)}$ pour $1 \leq i, j \leq N$. On a vu (théorème 3.3.3) que, si $1 \leq i < j \leq N$, on a :

$$X_jX_i - \lambda_{j,i}X_iX_j = P_{j,i} \quad (8)$$

avec

$$P_{j,i} = \sum_{\bar{k}=(k_{i+1}, \dots, k_{j-1})} c_{\bar{k}}X_{i+1}^{k_{i+1}} \dots X_{j-1}^{k_{j-1}} \quad (c_{\bar{k}} \in \mathbb{K}). \quad (9)$$

De plus, compte tenu de la Φ -graduation de $\mathcal{U}_q^+(\mathfrak{g})$, on a

$$c_{\bar{k}} \neq 0 \Rightarrow \lambda_{l,i+1}^{k_{i+1}} \dots \lambda_{l,j-1}^{k_{j-1}} = \lambda_{l,j}\lambda_{l,i} \text{ pour } 1 \leq l \leq N \quad (10)$$

Ainsi, A vérifie les égalités (1) et l'hypothèse 6.1.1 de [Cau03a, Section 6 page 503-504].

Compte tenu du théorème 3.3.2, les monômes ordonnés en les X_i forment une base de A de sorte l'on a ([Cau03a, Proposition 6.1.1]) :

Proposition 4.1.1.

1. A est une extension de Ore itérée que l'on peut écrire :

$$A = \mathbb{K}[X_1][X_2; \sigma_2, \delta_2] \dots [X_N; \sigma_N, \delta_N]$$

2. Si $1 \leq m \leq N$, il existe un (unique) automorphisme h_m de l'algèbre A qui vérifie $h_m(X_i) = \lambda_{m,i}X_i$ pour $1 \leq i \leq N$.

De plus, ([Cau03a, Proposition 6.1.2])

Proposition 4.1.2.

1. A vérifie les conventions de la Section 3.1 de [Cau03a], à savoir :

- Pour tout $j \in \llbracket 2, N \rrbracket$, σ_j est un automorphisme \mathbb{K} -linéaire et δ_j est σ_j -dérivation (à gauche) \mathbb{K} -linéaire et localement nilpotente.
- Pour tout $j \in \llbracket 2, N \rrbracket$, on a $\sigma_j \circ \delta_j = q_j \delta_j \circ \sigma_j$ avec $q_j = \lambda_{j,j} = q^{-\|\beta_j\|^2}$, et pour tout $i \in \llbracket 1, j-1 \rrbracket$, $\sigma_j(X_i) = \lambda_{j,i} X_i$.
- Aucun des q_j ($2 \leq j \leq N$) n'est une racine de l'unité.

2. A vérifie l'hypothèse 4.1.2 de [Cau03a], à savoir :

Le sous-groupe H du groupe des automorphismes de A engendré par les h_l vérifie

- Pour tout h dans H , les indéterminées X_1, \dots, X_N sont des h -vecteurs propres.

- L'ensemble $\{\lambda \in K^* | (\exists h \in H)(h(X_1) = \lambda X_1)\}$ est infini.

- Si $m \in \llbracket 2, N \rrbracket$, il existe $h_m \in H$ tel que $h_m(X_i) = \lambda_{m,i} X_i$ si $1 \leq i < m$ et $h_m(X_m) = q_m X_m$.

Ceci nous permet d'utiliser la théorie de l'effacement des dérivations ([Cau03a]) que nous décrivons dans le paragraphe suivant.

4.2 L'algorithme d'effacement

Compte tenu des propositions 4.1.1 et 4.1.2, A est une algèbre intègre et noethérienne. Notons F son corps des fractions. On définit récursivement les familles $X^{(l)} = (X_i^{(l)})_{1 \leq i \leq N}$ d'éléments de $F^* := F \setminus \{0\}$, et les algèbres $A^{(l)} := \mathbb{K} < X_1^{(l)}, \dots, X_N^{(l)} >$ lorsque l décroît de $N+1$ à 2 comme dans [Cau03a, Section 3.2]. On a donc, pour chaque $l \in \llbracket 2, N+1 \rrbracket$:

Lemme 4.2.1.

Si $1 \leq i < j \leq N$, on a :

$$X_j^{(l)} X_i^{(l)} - \lambda_{j,i} X_i^{(l)} X_j^{(l)} = P_{j,i}^{(l)} \quad (11)$$

avec

$$P_{j,i}^{(l)} = \begin{cases} 0 & \text{si } j \geq l \\ \sum_{\bar{k}=(k_{i+1}, \dots, k_{j-1})} c_{\bar{k}} (X_{i+1}^{(l)})^{k_{i+1}} \dots (X_{j-1}^{(l)})^{k_{j-1}} & \text{si } j < l, \end{cases} \quad (12)$$

où les $c_{\bar{k}}$ sont les mêmes que ceux de la formule (9), de sorte que l'on dispose encore de l'implication (10).

Démonstration : Cela résulte immédiatement de [Cau03a, Théorème 3.2.1]. □

Lemme 4.2.2.

Les monômes ordonnés en $X_1^{(l)}, \dots, X_N^{(l)}$ forment une base de $A^{(l)}$ comme \mathbb{K} espace vectoriel.

Démonstration : Cela résulte également de [Cau03a, Théorème 3.2.1]. □

Des lemmes 4.2.1 et 4.2.2 ci-dessus et de [Cau03a, Proposition 6.1.1], on déduit :

Lemme 4.2.3.

1. $A^{(l)}$ est une extension de Ore itérée que l'on peut écrire :

$$A^{(l)} = \mathbb{K}[X_1^{(l)}][X_2^{(l)}; \sigma_2^{(l)}, \delta_2^{(l)}] \dots [X_N^{(l)}; \sigma_N^{(l)}, \delta_N^{(l)}]$$

où les $\sigma_j^{(l)}$ sont des automorphismes \mathbb{K} -linéaires et les $\delta_j^{(l)}$ sont des $\sigma_j^{(l)}$ -dérivations (à gauche) \mathbb{K} -linéaires tels que, pour $1 \leq i < j \leq N$, $\sigma_j^{(l)}(X_i^{(l)}) = \lambda_{j,i} X_i^{(l)}$ et $\delta_j^{(l)}(X_i^{(l)}) = P_{j,i}^{(l)}$.

2. $A^{(l)}$ est la \mathbb{K} algèbre engendrée par les indéterminées $X_1^{(l)}, \dots, X_N^{(l)}$ soumises aux relations (11).

Rappelons que les automorphismes h_m ($1 \leq m \leq N$) de l'algèbre A définis dans la proposition 4.1.1 se prolongent (de manière unique) en des automorphismes, encore notés h_m , du corps F .

Lemme 4.2.4.

Si $1 \leq m, i \leq N$, on a $h_m(X_i^{(l)}) = \lambda_{m,i} X_i^{(l)}$ de sorte que h_m induit (par restriction) un automorphisme de l'algèbre $A^{(l)}$, noté $h_m^{(l)}$.

Démonstration : Comme A vérifie l'hypothèse 4.1.2. de [Cau03a] (Proposition 4.1.2) et comme $h_m(X_i) = \lambda_{m,i} X_i$, le lemme résulte de [Cau03a, Lemme 4.2.1]. □

Convention.

On notera $H^{(l)}$ le sous-groupe engendré par les $h_m^{(l)}$ ($1 \leq m \leq N$) du groupe des automorphismes de $A^{(l)}$.

Par [Cau03a, Proposition 6.1.2], on a :

Lemme 4.2.5.

L'extension de Ore itérée $A^{(l)} = \mathbb{K}[X_1^{(l)}][X_2^{(l)}; \sigma_2^{(l)}, \delta_2^{(l)}] \dots [X_N^{(l)}; \sigma_N^{(l)}, \delta_N^{(l)}]$ vérifie les conventions de la section 3.1 de [Cau03a] avec, comme ci-dessus, $\lambda_{i,j} = q^{-(\beta_i, \beta_j)}$ et $q_i = \lambda_{i,i} = q^{-\|\beta_i\|^2}$ pour $1 \leq i, j \leq N$. Elle vérifie également l'hypothèse 4.1.2 de [Cau03a] en remplaçant H par $H^{(l)}$.

Corollaire 4.2.6.

Si J est un idéal $H^{(l)}$ -premier de $A^{(l)}$ au sens de [BG02, II.1.9], alors J est complètement premier.

Démonstration : On a :

- $A^{(l)} = \mathbb{K}[X_1^{(l)}][X_2^{(l)}; \sigma_2^{(l)}, \delta_2^{(l)}] \dots [X_N^{(l)}; \sigma_N^{(l)}, \delta_N^{(l)}]$ est une extension de Ore itérée (lemme 4.2.3).
- $X_1^{(l)}, X_2^{(l)}, \dots, X_N^{(l)}$ sont des $H^{(l)}$ -vecteurs propres (lemme 4.2.4).
- Si $1 \leq i < j \leq N$, on a $h_i^{(l)}(X_j^{(l)}) = \lambda_{j,i} X_i^{(l)} = \sigma_j^{(l)}(X_i^{(l)})$ et $h_j^{(l)}(X_j^{(l)}) = q_j X_j^{(l)}$ avec $q_j = \lambda_{j,j} \in \mathbb{K}^*$ non racine de l'unité (lemmes 4.2.3 et 4.2.4).

On en déduit, par [BG02, Theorem II.5.12], que J est complètement premier. \square

Il résulte de la construction de l'algorithme d'effacement ([Cau03a, Section 3.2]) que l'on a :

Lemme 4.2.7.

1. $X_i^{(N+1)} = X_i$ pour tout $i \in \llbracket 1, N \rrbracket$
2. Si $2 \leq l \leq N$ et si $i \in \llbracket 1, N \rrbracket$, on a

$$X_i^{(l)} = \begin{cases} X_i^{(l+1)} & \text{si } i \geq l \\ \sum_{n=0}^{+\infty} \left[\frac{(1-q_l)^{-n}}{[n]! q_l} \left(\delta_l^{(l+1)} \right)^n \circ \left(\sigma_l^{(l+1)} \right)^{-n} \left(X_i^{(l+1)} \right) \right] \left(X_l^{(l+1)} \right)^{-n} & \text{si } i < l \end{cases} \quad (13)$$

Lemme 4.2.8.

Soit J un idéal (bilatère) $H^{(l)}$ -invariant de $A^{(l)}$. Considérons un entier $j \in \llbracket 2, N \rrbracket$ et notons

$B = \mathbb{K}[X_1^{(l)}][X_2^{(l)}; \sigma_2^{(l)}, \delta_2^{(l)}] \dots [X_{j-1}^{(l)}; \sigma_{j-1}^{(l)}, \delta_{j-1}^{(l)}]$ la sous-algèbre de $A^{(l)}$ engendrée par $X_1^{(l)}, \dots, X_{j-1}^{(l)}$. Alors $\sigma_j^{(l)}(B \cap J) = B \cap J$ et $\delta_j^{(l)}(B \cap J) \subset B \cap J$.

Démonstration : Par les lemmes 4.2.3 et 4.2.4, on a pour $1 \leq i < j$,

$$\sigma_j^{(l)}(X_i^{(l)}) = \lambda_{j,i} X_i^{(l)} = h_j^{(l)}(X_i^{(l)}) \quad (14)$$

Il en résulte que, pour tout $b \in B$, on a $\sigma_j^{(l)}(b) = h_j^{(l)}(b)$. Comme J est $H^{(l)}$ -invariant, et comme B est $\sigma_j^{(l)}$ -invariant, on en déduit que, pour tout $b \in B \cap J$, on a $\sigma_j^{(l)}(b) \in B \cap J$. Ainsi, $\sigma_j^{(l)}(B \cap J) \subset B \cap J$. De l'égalité 14, on déduit :

$$\left(\sigma_j^{(l)} \right)^{-1}(X_i^{(l)}) = \lambda_{j,i}^{-1} X_i^{(l)} = \left(h_j^{(l)} \right)^{-1}(X_i^{(l)}) \quad (15)$$

Comme ci-dessus, il en résulte que $\left(\sigma_j^{(l)} \right)^{-1}(B \cap J) \subset B \cap J$, de sorte que

$$\sigma_j^{(l)}(B \cap J) = B \cap J.$$

Si $b \in B \cap J$, on a alors $\delta_j^{(l)}(b) = X_j^{(l)} b - \sigma_j^{(l)}(b) X_j^{(l)} \in B \cap J$. \square

Si $l \in \llbracket 2, N \rrbracket$, il résulte de (13) que $X_l^{(l)} = X_l^{(l+1)}$. Ceci est donc un élément non nul commun aux algèbres $A^{(l)}$ et $A^{(l+1)}$ (on rappelle que tous les $X_i^{(l)}$ sont non nuls). Ainsi, l'ensemble $S_l := \{ (X_l^{(l)})^n \mid n \in \mathbb{N} \}$ est un système multiplicatif d'éléments réguliers de $A^{(l)}$ et aussi de $A^{(l+1)}$. De [Cau03a, Théorème 3.2.1], on déduit alors :

Lemme 4.2.9.

Soit $l \in \llbracket 2, N \rrbracket$. S_l vérifie la condition de Ore (des deux côtés) dans $A^{(l)}$ et aussi dans $A^{(l+1)}$. De plus, on a :

$$A^{(l)} S_l^{-1} = A^{(l+1)} S_l^{-1}$$

4.3 Le spectre premier et les diagrammes

Rappelons que l'on a posé, par convention, $X_i = X_{\beta_i}$ pour $1 \leq i \leq N$. Notons $\overline{A} := A^{(2)} = \mathbb{K} < T_{\beta_1}, \dots, T_{\beta_N} >$ avec $T_{\beta_i} = X_i^{(2)}$ pour tout i . Par les lemmes 4.2.1 et 4.2.3, \overline{A} est l'espace affine quantique engendré par les indéterminés T_{β_i} ($1 \leq i \leq N$) soumises aux relations $T_{\beta_j}T_{\beta_i} = \lambda_{j,i}T_{\beta_i}T_{\beta_j}$ pour $1 \leq i < j \leq N$. Considérons un entier $l \in \llbracket 2, N \rrbracket$ et un idéal premier $P \in \text{Spec}(A^{(l+1)})$.

- Supposons $X_l^{(l+1)} \notin P$.
Par [Cau03a, Lemme 4.2.2 et 4.3.1], $S_l \cap P = \emptyset$ et $Q = A^{(l)} \cap PS_l^{-1} \in \text{Spec}(A^{(l)})$.
- Supposons $X_l^{(l+1)} \in P$.
Par [Cau03a, Lemme 4.3.2], il existe un (unique) homomorphisme d'algèbres surjectif

$$g : A^{(l)} \rightarrow \frac{A^{(l+1)}}{(X_l^{(l+1)})}$$

qui vérifie, pour tout i , $g(X_i^{(l)}) = \overline{X_i^{(l+1)}} (= X_i^{(l+1)} + (X_l^{(l+1)}))$, de sorte que $Q = g^{-1}(\frac{P}{(X_l^{(l+1)})}) \in \text{Spec}(A^{(l)})$.

On définit ainsi une application $\phi_l : \text{Spec}(A^{(l+1)}) \rightarrow \text{Spec}(A^{(l)}) : P \mapsto Q$ puis, par composition, une application $\phi = \phi_2 \circ \dots \circ \phi_N : \text{Spec}(A) \rightarrow \text{Spec}(\overline{A})$. Par [Cau03a, Proposition 4.3.1], on a :

Lemme 4.3.1.

Chaque ϕ_l ($2 \leq l \leq N$) est injective, de sorte que ϕ est injective.

Définition 4.3.2.

1. On appelle diagramme toute partie Δ de l'ensemble Φ^+ des racines positives, et on note :

$$\text{Spec}_\Delta(\overline{A}) := \{Q \in \text{Spec}(\overline{A}) \mid Q \cap \{T_{\beta_1}, \dots, T_{\beta_N}\} = \{T_\beta \mid \beta \in \Delta\}\}.$$

2. Le diagramme Δ est un diagramme de Cauchon s'il existe $P \in \text{Spec}(A)$ tel que $\phi(P) \in \text{Spec}_\Delta(\overline{A})$, c'est à dire, si $\phi(P) \cap \{T_{\beta_1}, \dots, T_{\beta_N}\} = \{T_\beta \mid \beta \in \Delta\}$, et on note :

$$\text{Spec}_\Delta(A) = \{P \in \text{Spec}(A) \mid \phi(P) \in \text{Spec}_\Delta(\overline{A})\}.$$

On a alors, par [Cau03a, Théorèmes 5.1.1, 5.5.1 et 5.5.2] :

Proposition 4.3.3.

1. Si Δ est un diagramme de Cauchon, on a $\phi(\text{Spec}_\Delta(A)) = \text{Spec}_\Delta(\overline{A})$ et ϕ induit un homéomorphisme bi-croissant de $\text{Spec}_\Delta(A)$ sur $\text{Spec}_\Delta(\overline{A})$.
2. La famille $\text{Spec}_\Delta(A)$ (avec Δ diagramme de Cauchon) coïncide avec la H-stratification de Goodearl-Letzter de $\text{Spec}(A)$ ([BG02]).

Dans la suite, on va chercher à décrire plus précisément les diagrammes de Cauchon, pour cela on aura besoin du critère de la proposition suivante :

Proposition 4.3.4.

Soit $P^{(m)}$ un idéal premier H -invariant de $A^{(m)}$.

$P^{(m)} \in \text{Im}(\phi_m)$ si et seulement si l'une des conditions suivantes est satisfaite

1. $X_m^{(m)} \notin P^{(m)}$.
2. $X_m^{(m)} \in P^{(m)}$ et $\Theta^{(m)}(\delta_m^{(m+1)}(X_i^{(m+1)})) \in P^{(m)}$ pour $1 \leq i \leq m-1$.
(où $\delta_m^{(m+1)}(X_i^{(m+1)}) = P_{m,i}^{(m+1)}(X_{i+1}^{(m+1)}, \dots, X_{m-1}^{(m+1)})$ (lemme 4.2.1) et où $\Theta^{(m)} : k < X_1^{(m+1)}, \dots, X_{m-1}^{(m+1)} > \rightarrow k < X_1^{(m)}, \dots, X_{m-1}^{(m)} >$ est l'homomorphisme qui transforme chaque $X_l^{(m+1)}$ en $X_l^{(m)}$)

Démonstration : Supposons que $P^{(m)} \in \text{Im}(\phi_m)$, de sorte que $P^{(m)} = \phi_m(P^{(m+1)})$ avec $P^{(m+1)} \in \text{Spec}(A^{(m+1)})$, et on suppose que la condition 1. n'est pas vérifiée. Ceci implique que $P^{(m)} = \ker(g)$ où $g : A^{(m)} \rightarrow A^{(m+1)}/P^{(m+1)}$ est l'homomorphisme qui transforme chaque $X_i^{(m)}$ en $x_i^{(m+1)} = X_i^{(m+1)} + P^{(m+1)}$.

On considère $1 \leq i \leq m-1$.

Rappelons que $\delta_m^{(m+1)}(X_i^{(m+1)}) = P_{m,i}^{(m+1)}(X_{i+1}^{(m+1)}, \dots, X_{m-1}^{(m+1)})$ et que $\Theta^{(m)} : k < X_1^{(m+1)}, \dots, X_{m-1}^{(m+1)} > \rightarrow k <$

$X_1^{(m)}, \dots, X_{m-1}^{(m)}$ est l'homomorphisme qui transforme chaque $X_l^{(m+1)}$ en $X_l^{(m)}$. Comme $X_m^{(m)} \in P^{(m)}$, on a $X_m^{(m+1)} \in P^{(m+1)}$ ([Cau03a], proposition 4.3.1.) et donc, $\delta_m^{(m+1)}(X_i^{(m+1)}) \in P^{(m+1)}$. A présent, on a $g(\Theta^{(m)}(\delta_m^{(m+1)}(X_i^{(m+1)}))) = g(\Theta^{(m)}(P_{m,i}^{(m+1)}(X_{i+1}^{(m+1)}, \dots, X_{m-1}^{(m+1)}))) = g(P_{m,i}^{(m+1)}(X_{i+1}^{(m)}, \dots, X_{m-1}^{(m)})) = P_{m,i}^{(m+1)}(x_{i+1}^{(m+1)}, \dots, x_{m-1}^{(m)})$ $= P_{m,i}^{(m+1)}(X_{i+1}^{(m+1)}, \dots, X_{m-1}^{(m+1)}) + P^{(m+1)} = 0$.
On en déduit que $\Theta^{(m)}(\delta_m^{(m+1)}(X_i^{(m+1)})) = \ker(g) = P^{(m)}$.

Si la condition 1. est vérifiée, alors $P^{(m)} \in \text{Im}(\phi_m)$ par ([Cau03a], lemma 4.3.1.).

Supposons que la condition 2. est vérifiée. Alors si $1 \leq i \leq m-1$, on a, comme précédemment, $P_{m,i}^{(m+1)}(X_{i+1}^{(m)}, \dots, X_{m-1}^{(m)}) = \Theta^{(m)}(\delta_m^{(m+1)}(X_i^{(m+1)})) \in P^{(m)}$. Donc, dans $Q^{(m)} = A^{(m)}/P^{(m)}$, on a $P_{m,i}^{(m+1)}(x_{i+1}^{(m)}, \dots, x_{m-1}^{(m)}) = 0$. Comme $P_{m,i}^{(m)} = 0$ (à cette étape, $X_m^{(m)}$ est normalisant), on peut écrire $x_m^{(m)}x_i^{(m)} - \lambda_{m,i}x_i^{(m)}x_m^{(m)} = P_{m,i}^{(m)}(x_{i+1}^{(m)}, \dots, x_{m-1}^{(m)}) = 0 = P_{m,i}^{(m+1)}(x_{i+1}^{(m)}, \dots, x_{m-1}^{(m)})$.

Si $1 \leq i \leq j-1$ avec $j \neq m$, on a (d'après le lemme 4.2.1)

$$x_j^{(m)}x_i^{(m)} - \lambda_{j,i}x_i^{(m)}x_j^{(m)} = P_{j,i}^{(m)}(x_{i+1}^{(m)}, \dots, x_{j-1}^{(m)}) = P_{j,i}^{(m+1)}(x_{i+1}^{(m)}, \dots, x_{j-1}^{(m)}).$$

Donc, par la propriété universelle des algèbres définies par générateurs et relations, il existe un (unique) homomorphisme $\epsilon: A^{(m+1)} \rightarrow Q^{(m)}$ qui transforme chaque $X_l^{(m+1)}$ en $x_l^{(m)}$. Cet homomorphisme est surjectif, et son noyau $\ker(\epsilon) = P^{(m+1)}$ est un idéal premier de $A^{(m+1)}$. On observe que, comme $X_m^{(m)} \in P^{(m)}$, on a $X_m^{(m+1)} \in P^{(m+1)}$, et que ϵ induit un isomorphisme

$$\bar{\epsilon}: A^{(m+1)}/P^{(m+1)} \rightarrow Q^{(m)} = A^{(m)}/P^{(m)}$$

qui transforme chaque $x_l^{(m+1)}$ en $x_l^{(m)}$. Rappelons que $f_m: A^{(m)} \rightarrow A^{(m)}/P^{(m)}$ désigne la projection canonique.

Ainsi, $g = (\bar{\epsilon})^{-1} \circ f_m: A^{(m)} \rightarrow A^{(m+1)}/P^{(m+1)}$ est l'homomorphisme qui transforme chaque $X_l^{(m)}$ en $x_l^{(m+1)}$. Comme $\ker(g) = \ker(f_m) = P^{(m)}$, on en déduit que $P^{(m)} = \phi_m(P^{(m+1)})$.

□

5 Diagrammes de Cauchon dans $\mathcal{U}_q^+(\mathfrak{g})$

Dans [Cau03b], G. Cauchon utilise un moyen combinatoire pour décrire les diagrammes "admissibles" (appelés ici "diagrammes de Cauchon") pour $O_q(M_n(k))$. A l'aide de la théorie des plans admissibles de Lusztig (voir section 3.2) et des résultats démontrés dans la section 3.3, nous décrivons ces diagrammes pour $\mathcal{U}_q^+(\mathfrak{g})$ (avec \mathfrak{g} algèbre de Lie simple complexe de dimension finie). Le but de cette partie est de démontrer le résultat suivant :

Un diagramme Δ vérifie toutes les contraintes provenant des plans admissibles (notion à définir) si et seulement si Δ est un diagramme de Cauchon (au sens de la définition 4.3.2).

5.1 Contraintes dans un diagramme

Lemme 5.1.1.

Soit $j \in \llbracket 1, N \rrbracket$. Soient $l \in \llbracket 2, N \rrbracket$, $P^{(l+1)}$ un idéal premier de $A^{(l+1)}$ et $P^{(l)} = \varphi_l(P^{(l+1)})$.

1. Si $X_j^{(l+1)} \in P^{(l+1)}$ alors $X_j^{(l)} \in P^{(l)}$.

2. Si $X_j^{(l+1)} = X_j^{(l)}$ (donc, en particulier, si $j \geq l$), on a $X_j^{(l+1)} \in P^{(l+1)} \Leftrightarrow X_j^{(l)} \in P^{(l)}$.

Démonstration : Le 2. se démontre comme [Cau03a, lemme 4.3.4]. Montrons donc le 1. lorsque $j < l$.

1^{er} cas : Si le pivot $\varpi := X_l^{(l+1)} \in P^{(l+1)}$, rappelons (cf. Section 4.2) qu'il existe un homomorphisme d'algèbres surjectif

$$g: A^{(l)} \rightarrow \frac{A^{(l+1)}}{(X_l^{(l+1)})}$$

qui vérifie $g(X_i^{(l)}) = \overline{X_i^{(l+1)}} (= X_i^{(l+1)} + (X_l^{(l+1)}))$ pour tout $i \in \llbracket 1, N \rrbracket$. Comme $X_j^{(l+1)} \in P^{(l+1)}$, on a $g(X_j^{(l)}) \in \frac{P^{(l+1)}}{(X_l^{(l+1)})}$ de sorte que $X_j^{(l)} \in g^{-1}\left(\frac{P^{(l+1)}}{(X_l^{(l+1)})}\right) := P^{(l)}$.

2nd cas : Supposons que le pivot $\varpi := X_l^{(l+1)} \notin P^{(l+1)}$ et notons $S_l := \{\varpi^n | n \in \mathbb{N}\}$. Rappelons (cf Section 4.2) que l'on a alors $P^{(l)} = A^{(l)} \cap (P^{(l+1)} S_l^{-1})$.

Notons $J := \bigcap_{h \in H^{(l+1)}} h(P^{(l+1)})$ et observons que J est un idéal bilatère $H^{(l+1)}$ -invariant par construction. Comme

$A^{(l+1)}$ vérifie l'hypothèse 4.1.2 de [Cau03a] (Lemme 4.2.5), $X_j^{(l+1)}$ est un $H^{(l+1)}$ -vecteur propre. De là, puisque $X_j^{(l+1)}$ appartient à $P^{(l+1)}$, il appartient aussi à J .

Par le lemme 4.2.8, on en déduit que $(\delta_l^{(l+1)})^n \circ (\sigma_l^{(l+1)})^{-n} (X_j^{(l+1)}) \in J \subset P^{(l+1)}$ pour tout $n \in \mathbb{N}$. Il en résulte que :

$$X_j^{(l)} = \sum_{n=0}^{+\infty} \left[\frac{(1-q_l)^{-n}}{[n]!_{q_l}} (\delta_l^{(l+1)})^n \circ (\sigma_l^{(l+1)})^{-n} (X_j^{(l+1)}) \right] (X_l^{(l+1)})^{-n} \in P^{(l+1)} S_l^{-1}.$$

Ainsi, $X_j^{(l)} \in A^{(l)} \cap (P^{(l+1)} S_l^{-1}) = P^{(l)}$.

□

Lemme 5.1.2.

Soient $l \in [\![2, N]\!]$, $P^{(l+1)}$ un idéal premier de $A^{(l+1)}$. Considérons un entier j avec $2 \leq j < l$ et notons $P^{(j)} = \varphi_j \circ \dots \circ \varphi_l(P^{(l+1)})$.

1. Supposons que β_j est dans la boîte de β_l ou dans la boîte précédente. Alors

- $X_j^{(j+1)} = X_j^{(j+2)} = \dots = X_j^{(l+1)}$,
- $X_j^{(j+1)} \in P^{(j+1)} \Rightarrow X_j^{(j+2)} \in P^{(j+2)} \Rightarrow \dots \Rightarrow X_j^{(l+1)} \in P^{(l+1)}$.

2. Supposons que les boîtes B et B' de β_j et β_l (respectivement) soient séparées par une boîte B'' réduite à un élément β_e tel que $X_e^{(e+1)} \in P^{(e+1)}$. Alors $X_j^{(j+1)} \in P^{(j+1)} \Rightarrow X_j^{(l+1)} \in P^{(l+1)}$.

Démonstration :

1. Soit $k \in [\![j+1, l]\!]$ de sorte que β_k est, soit dans la boîte de β_j , soit dans celle de β_l . Comme ces boîtes sont consécutives, on a $X_k X_j = q^{-<\beta_k, \beta_j>} X_j X_k$, de sorte que par le lemme 4.2.1, $X_k^{(k+1)} X_j^{(k+1)} = q^{-<\beta_k, \beta_j>} X_j^{(k+1)} X_k^{(k+1)}$. On a donc $\delta_k^{(k+1)}(X_j^{(k+1)}) = 0$ et, par [Cau03a, Section 3.2], on a :

$$X_j^{(k)} = \sum_{s=0}^{+\infty} \lambda_s (\delta_k^{(k+1)})^s \circ (\sigma_k^{(k+1)})^{-s} (X_j^{(k+1)}) (X_k^{(k+1)})^{-s} = \sum_{s=0}^{+\infty} \lambda'_s (\delta_k^{(k+1)})^s (X_j^{(k+1)}) (X_k^{(k+1)})^{-s} = X_j^{(k+1)}$$

($\lambda_s, \lambda'_s \in \mathbb{K}$).

Ceci montre le premier point. Le second point résulte du lemme 5.1.1.

2. B et B'' étant consécutives, il résulte du point 1. que $X_j^{(j+1)} = \dots = X_j^{(e+1)}$ et que $X_j^{(j+1)} \in P^{(j+1)} \Rightarrow \dots \Rightarrow X_j^{(e+1)} \in P^{(e+1)}$. Pour terminer montrons, par récurrence sur k , que :

$$X_j^{(k)} \in P^{(k)} \Rightarrow X_j^{(k+1)} \in P^{(k+1)} \text{ pour } e+1 \leq k \leq l$$

On écrit comme dans le 1. :

$$X_j^{(k)} = X_j^{(k+1)} + \sum_{s=1}^{+\infty} \lambda_s (\delta_k^{(k+1)})^s \circ (\sigma_k^{(k+1)})^{-s} (X_j^{(k+1)}) (X_k^{(k+1)})^{-s} \quad (\lambda_s \in \mathbb{K})$$

- Si $\delta_k^{(k+1)}(X_j^{(k+1)}) = 0$, alors on a $X_j^{(k)} = X_j^{(k+1)}$ et on conclut par le lemme 5.1.1.
- Sinon, on a $\delta_k^{(k+1)}(X_j^{(k+1)}) = \lambda (X_e^{(k+1)})^m$ ($m \in \mathbb{N}^*, \lambda \in \mathbb{K}^*$) par le lemme 4.2.1 et, puisque B' et B'' sont adjacentes,

$$\begin{aligned} \delta_k^{(k+1)}(X_e^{(k+1)}) = 0 &\Rightarrow (\delta_k^{(k+1)})^s (X_j^{(k+1)}) = \lambda (\delta_k^{(k+1)})^{s-1} ((X_e^{(k+1)})^m) = 0 \text{ pour } s > 1 \\ &\Rightarrow X_j^{(k)} = X_j^{(k+1)} + \lambda' (X_e^{(k+1)})^m (X_k^{(k+1)})^{-1} \text{ avec } \lambda' \in \mathbb{K}^*. \end{aligned}$$

- Si $X_k^{k+1} \in P^{(k+1)}$, on considère l'homomorphisme $g : A^{(k)} \rightarrow \frac{A^{(k+1)}}{(X_k^{(k+1)})}$ qui vérifie $g(X_i^{(k)}) = \overline{X_i^{(k+1)}}$ pour $i \in \llbracket 1, N \rrbracket$ (cf Section 4.2). Par définition de ϕ_k ([Cau03a, Notation 4.3.1.]), on a $P^{(k)} = g^{-1}\left(\frac{P^{(k+1)}}{(X_k^{(k+1)})}\right)$. Donc

$$X_j^{(k)} \in P^{(k)} \Rightarrow g(X_j^{(k)}) = \overline{X_j^{(k+1)}} \in \frac{P^{(k+1)}}{(X_k^{(k+1)})} \Rightarrow X_j^{(k+1)} \in P^{(k+1)}$$

- Par le 1., on a $X_e^{(e+1)} = \dots = X_e^{(k)} = X_e^{(k+1)}$ et $X_e^{(e+1)} \in P^{(e+1)} \Rightarrow \dots \Rightarrow X_e^{(k)} \in P^{(k)} \Rightarrow X_e^{(k+1)} \in P^{(k+1)}$. Posons, comme dans [Cau03a, Théorème 3.2.1], $S_k := \left\{ \left(X_k^{(k+1)} \right)^n \mid n \in \mathbb{N} \right\}$ de sorte que $P^{(k+1)} = A^{(k+1)} \cap (P^{(k)} S_k^{-1})$ par définition de φ_k [Cau03a, Notation 4.3.1.]. On a alors :

$$X_j^{(k+1)} = X_j^{(k)} - \lambda' \left(X_e^{(k+1)} \right)^m \left(X_k^{(k+1)} \right)^{-1} = X_j^{(k)} - \lambda' \left(X_e^{(k)} \right)^m \left(X_k^{(k+1)} \right)^{-1} \in P^{(k)} S_k^{-1}.$$

Comme $X_j^{(k+1)}$ est aussi dans $A^{(k+1)}$, on a bien $X_j^{(k+1)} \in P^{(k+1)}$.

□

Pour trouver la forme des diagrammes de Cauchon, on va se servir de [Cau03a, proposition 5.2.1]. En tenant compte des notations utilisées ici, cette proposition s'écrit :

Proposition 5.1.3.

Soit Δ un diagramme de Cauchon et soit $P \in \text{Spec}(A)$. Pour que P appartienne à $\text{Spec}_\Delta(A)$ il faut et il suffit qu'il vérifie le critère ci-dessous :

$$(\forall l \in \llbracket 1, N \rrbracket) \quad (X_l^{(l+1)} \in P^{(l+1)} \Leftrightarrow \beta_l \in \Delta)$$

Ceci permet de démontrer la proposition suivante :

Proposition 5.1.4.

Soient Δ un diagramme de Cauchon et $\beta_l \in \Delta$ ($1 \leq l \leq N$). Supposons qu'il existe un entier $k \in \llbracket 1, l-1 \rrbracket$ vérifiant $X_{\beta_l} X_{\beta_k} - q^{-(\beta_l, \beta_k)} X_{\beta_k} X_{\beta_l} = c X_{\beta_{i_1}} \dots X_{\beta_{i_s}}$ avec $c \in \mathbb{K}^*$, $s \geq 1$ et $k < i_1 \leq \dots \leq i_s < l$. Alors l'un des β_{i_r} ($1 \leq r \leq s$) appartient à Δ .

Démonstration : Soit $P \in \text{Spec}_\Delta(A)$. Par le lemme 4.2.1, on a :

$$X_l^{(l+1)} X_k^{(l+1)} - q^{-(\beta_l, \beta_k)} X_k^{(l+1)} X_l^{(l+1)} = c X_{\beta_{i_1}}^{(l+1)} \dots X_{\beta_{i_s}}^{(l+1)} := M.$$

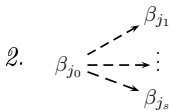
Par la proposition 5.1.3, on a $X_l^{(l+1)} \in P^{(l+1)}$ de sorte que $M \in P^{(l+1)}$. Comme $P^{(l+1)}$ est un idéal premier de $A^{(l+1)}$, on sait ([BG02, II.6.9]) que $P^{(l+1)}$ est complètement premier de sorte qu'il existe $r \in \llbracket 1, s \rrbracket$ tel que $X_{\beta_{i_r}}^{(l+1)} \in P^{(l+1)}$. Par le lemme 5.1.1, on en déduit $X_{i_r}^{(i_r+1)} \in P^{(i_r+1)}$ et, par la proposition 5.1.3, $\beta_{i_r} \in \Delta$.

□

Conventions.

On dit qu'un diagramme Δ vérifie la contrainte

1. $\beta_{j_0} \rightarrow \beta_{j_1}$ si $\beta_{j_0} \in \Delta \Rightarrow \beta_{j_1} \in \Delta$.

2.  si $\beta_{j_0} \in \Delta \Rightarrow (\beta_{j_1} \in \Delta \text{ ou } \dots \text{ ou } \beta_{j_1} \in \Delta)$.

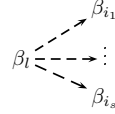
La proposition 5.1.4 peut donc se réécrire :

Proposition 5.1.5.

Soient Δ un diagramme de Cauchon et $\beta_l \in \Delta$ ($1 \leq l \leq N$). Supposons qu'il existe un entier $k \in \llbracket 1, l-1 \rrbracket$ vérifiant $X_{\beta_l} X_{\beta_k} - q^{-(\beta_l, \beta_k)} X_{\beta_k} X_{\beta_l} = c X_{\beta_{i_1}}^{m_1} \dots X_{\beta_{i_s}}^{m_s}$ avec $c \in \mathbb{K}^*$, $s \geq 1$, $k < i_1 < \dots < i_s < l$ et $m_1, \dots, m_s \in \mathbb{N}^*$. Alors

1. Si $s = 1$, la flèche pleine $\beta_l \rightarrow \beta_{i_1}$ est une contrainte

2. Si $s \geq 2$, le système



est une contrainte.

Dans les trois propriété qui suivent, on considère Δ un diagramme de Cauchon.

Proposition 5.1.6.

Soient $1 \leq l \leq n$ et $\beta \in C_l$. Si il existe $i \in [1, l-1]$ tel que $\beta + \alpha_i = m\beta'$ avec $m \in \mathbb{N}^*$ et $\beta' \in \Phi^+$, alors $\beta \rightarrow \beta'$ est une contrainte.

Démonstration : On sait (proposition 3.2.5 lorsque $\Phi = G_2$, corollaire 3.2.7 lorsque $\Phi \neq G_2$) que l'on dispose alors d'une formule de redressement de la forme $E_\beta E_{\alpha_i} - q^{(\beta, \alpha_i)} E_{\alpha_i} E_\beta = kE_{\beta'}^m$ avec $k \neq 0$ (où les E_γ sont les générateurs de Lusztig de $\mathcal{U}_q^+(\mathfrak{g})$).

Il résulte alors de la proposition 3.4.8 que $X_\beta X_{\alpha_i} - q^{-(\beta, \alpha_i)} X_{\alpha_i} X_\beta = k'X_{\beta'}^m$ avec $k' \neq 0$ puis, de la proposition 5.1.5, que $\beta \rightarrow \beta'$ est une contrainte. \square

Proposition 5.1.7.

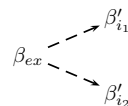
Soit C_l ($1 \leq l \leq n$) une colonne exceptionnelle. Si $\beta \in C_l$ est dans la boîte qui suit celle de la racine exceptionnelle β_{ex} , alors $\beta \rightarrow \beta_{ex}$ est une contrainte.

Démonstration : Supposons d'abord que Φ est de type G_2 . Avec les notations de la proposition 3.2.5, on a donc $l = 2$, $\beta_{ex} = \beta_4$, $\beta = \beta_5$ et on dispose d'une formule de redressement de la forme $E_{\beta_5} E_{\beta_3} - q^{(\beta_3, \beta_5)} E_{\beta_3} E_{\beta_5} = kE_{\beta_4}$ avec $k \in \mathbb{K}^*$. On en déduit, par la proposition 5.1.5 que $\beta = \beta_5 \rightarrow \beta_{ex} = \beta_4$ est une contrainte.

Supposons maintenant $\Phi \neq G_2$. On sait (proposition 2.2.12) que $h'(\beta_{ex}) = t + \frac{1}{2}$ ($t \in \mathbb{N}^*$), de sorte que $h'(\beta) = h(\beta) = t$. On sait également (proposition 2.2.3) que si $D = \text{Vect}(\beta_{ex})$, on a $\beta' = s_D(\beta) = \beta_{ex} - \beta \in C_l$, de sorte que $h'(\beta') = h(\beta') = h(\beta_{ex}) - h(\beta) = t + 1$. Il en résulte (définition 2.2.13 et remarque 2.2.14) que $P = \text{Vect}(\beta, \beta')$ est un plan admissible de type (1.1) ou (1.2). Par la proposition 3.2.6 on dispose alors d'une formule de redressement de la forme $E_\beta E_{\beta'} - q^{(\beta, \beta')} E_{\beta'} E_\beta = kE_{\beta_{ex}}$ avec $k \in \mathbb{K}^*$. On en déduit, par la proposition 5.1.5, que $\beta \rightarrow \beta_{ex}$ est une contrainte. \square

Proposition 5.1.8.

Soit C_l ($1 \leq l \leq n$) une colonne exceptionnelle et β_{ex} sa racine exceptionnelle. Supposons qu'il existe $i \in [1, l]$ tel que $\beta_{ex} + \alpha_i = \beta'_{i_1} + \beta'_{i_2}$ avec $\beta'_{i_1} \neq \beta'_{i_2}$ dans la boîte qui précède celle de β_{ex} . Alors le système



est une contrainte.

Démonstration : Comme, par hypothèse, $\beta'_{i_1} \neq \beta'_{i_2}$ sont dans la boîte qui précède celle de β_{ex} , le système de racines n'est pas de type G_2 (cf proposition 3.2.5).

Comme dans la preuve proposition 5.1.6, il suffit de montrer que :

$$[E_{\beta_{ex}}, E_{\alpha_i}]_q := E_{\beta_{ex}} E_{\alpha_i} - q^{(\beta_{ex}, \alpha_i)} E_{\alpha_i} E_{\beta_{ex}} = \lambda E_{\beta'_{i_1}} E_{\beta'_{i_2}} \text{ avec } \lambda \in \mathbb{K}^*$$

Rappelons (proposition 2.2.3) que $\beta_{ex} \perp \alpha_i$, de sorte que :

$$(\alpha_i, \beta'_{i_1} + \beta'_{i_2}) = (\alpha_i, \beta_{ex} + \alpha_i) = ||\alpha_i||^2 \Rightarrow (\alpha_i, \beta'_{i_1}) > 0 \text{ ou } (\alpha_i, \beta'_{i_2}) > 0.$$

On peut donc supposer, sans perte de généralité, que $(\alpha_i, \beta'_{i_2}) > 0$, de sorte que (corollaire 3.2.7) $[E_{\beta'_{i_2}}, E_{\alpha_i}]_q = 0$.

Comme dans la preuve de la proposition précédente, on a :

- $h'(\beta_{ex}) = t + \frac{1}{2}$ ($t \in \mathbb{N}^*$) et $h'(\beta'_{i_1}) = h'(\beta'_{i_2}) = t + 1$,
- $\beta_{i_1} = s_D(\beta'_{i_1})$ et $\beta_{i_2} = s_D(\beta'_{i_2})$ sont alors dans C_l et vérifient $h'(\beta_{i_1}) = h'(\beta_{i_2}) = t$,
- $E_{\beta_{i_2}} E_{\beta'_{i_2}} - q^{(\beta_{i_2}, \beta'_{i_2})} E_{\beta'_{i_2}} E_{\beta_{i_2}} = kE_{\beta_{ex}}$ avec $k \neq 0$. (\star)

Par définition de β_{i_2} , on a $\beta_{ex} = \beta_{i_2} + \beta'_{i_2}$, de sorte que

$$\beta'_{i_1} + \beta'_{i_2} = \beta_{ex} + \alpha_i = \beta_{i_2} + \beta'_{i_2} + \alpha_i \Rightarrow \beta'_{i_1} = \beta_{i_2} + \alpha_i.$$

Par le corollaire 3.2.7, on a donc $[E_{\beta_{i_2}}, E_{\alpha_i}]_q := hE_{\beta'_{i_1}}$ ($h \neq 0$).

On sait que $\mathcal{U}_q^+(\mathfrak{g})$ est $\mathbb{Z}\Phi$ -graduée. Il existe donc un (unique) automorphisme σ de $\mathcal{U}_q^+(\mathfrak{g})$ qui vérifie pour tout $Q \in \mathcal{U}_q^+(\mathfrak{g})$, homogène de degré β , $\sigma(Q) = q^{(\beta, \alpha_i)} Q$.

Notons δ la σ -dérivation intérieure à droite associée à E_{α_i} , de sorte que

$$\delta(Q) = QE_{\alpha_i} - E_{\alpha_i}\sigma(Q) \quad (\forall Q \in \mathcal{U}_q^+(\mathfrak{g}))$$

Si $\beta \in C_l$, on a $\delta(E_\beta) = E_\beta E_{\alpha_i} - q^{(\beta, \alpha_i)} E_{\alpha_i} E_\beta = [E_\beta, E_{\alpha_i}]_q$ et, de là : $\delta(E_{\beta'_{i_2}}) = 0$ et $\delta(E_{\beta_{i_2}}) = hE_{\beta'_{i_1}}$. On déduit alors de (\star) que

$$\begin{aligned} k[E_{\beta_{ex}}, E_{\alpha_i}]_q &= k\delta(E_{\beta_{ex}}) = \delta(E_{\beta_{i_2}} E_{\beta'_{i_2}}) - q^{(\beta_{i_2}, \beta'_{i_2})} \delta(E_{\beta'_{i_2}} E_{\beta_{i_2}}) \\ &= E_{\beta_{i_2}} \delta(E_{\beta'_{i_2}}) + \delta(E_{\beta_{i_2}}) \sigma(E_{\beta'_{i_2}}) - q^{(\beta_{i_2}, \beta'_{i_2})} (E_{\beta'_{i_2}} \delta(E_{\beta_{i_2}}) + \delta(E_{\beta_{i_2}}) \sigma(E_{\beta_{i_2}})) \\ &= h[q^{(\beta'_{i_2}, \alpha_i)} E_{\beta'_{i_1}} E_{\beta'_{i_2}} - q^{(\beta_{i_2}, \beta'_{i_2})} E_{\beta'_{i_2}} E_{\beta'_{i_1}}] \end{aligned}$$

Comme β'_{i_2} et β'_{i_1} sont dans une même boîte, on sait (corollaire 3.4.7) que $E_{\beta'_{i_1}} E_{\beta'_{i_2}} = E_{\beta'_{i_2}} E_{\beta'_{i_1}}$, de sorte que :

$$k[E_{\beta_{ex}}, E_{\alpha_i}]_q = h(q^{(\beta'_{i_2}, \alpha_i)} - q^{(\beta_{i_2}, \beta'_{i_2})}) E_{\beta'_{i_1}} E_{\beta'_{i_2}}$$

Puisque $\beta_{i_2} + \beta'_{i_2} = \beta_{ex}$, $P = \text{Vect}(\beta_{i_2}, \beta'_{i_2})$ est un plan admissible de type (1.1) ou (1.2) (remarque 2.2.14) avec $\{\beta_{i_2}, \beta'_{i_2}\} = \{\beta, \beta'\}$, de sorte que $(\beta_{i_2}, \beta'_{i_2}) \leq 0$. Comme on a supposé $(\alpha_i, \beta'_{i_2}) > 0$, on a $(\beta_{i_2}, \beta'_{i_2}) \neq (\alpha_i, \beta'_{i_2})$ de sorte que le coefficient ci-dessus de $E_{\beta'_{i_1}} E_{\beta'_{i_2}}$ est non nul. De là :

$$[E_{\beta_{ex}}, E_{\alpha_i}]_q = \lambda E_{\beta'_{i_1}} E_{\beta'_{i_2}} \text{ avec } \lambda \neq 0.$$

□

5.2 Contraintes provenant d'un plan admissible

On définit ici la notion de contrainte provenant d'un plan admissible P et on va vérifier que les diagrammes de Cauchon vérifient toute les contraintes provenant des plans admissibles. Rappelons d'abord les notations utilisées.

Notations.

- On note C_1, \dots, C_n les sous ensembles de Φ^+ représentant les colonnes.
- Dans la suite, on considère un diagramme Δ , c'est à dire une partie de Φ^+
- On considère un entier $j \in \llbracket 1, n \rrbracket$, on note $\Delta_j := \Delta \cap C_j = \{\beta_{u_1}, \dots, \beta_{u_l}\} \subset C_j = \{\beta_k, \dots, \beta_r\}$. On note ensuite, lorsqu'elles existent, β_{ex} la racine exceptionnelle et $B_{ex} := \{\beta_{ex}\}$ la boîte qui la contient. S'il en est ainsi, on note B_1 la boîte de C_j qui précède B_{ex} et, B'_1 celle qui suit B_{ex} ; de sorte que $s_D(B_1) = B'_1$.

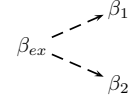
Dans les propositions 5.1.6, 5.1.7 et 5.1.8, on a établi l'existence de contraintes en utilisant des plans admissibles. On va formaliser ce fait dans la définition de "contrainte provenant d'un plan admissible" suivante :

Définition 5.2.1.

Soit β une racine de la colonne C_j telle que $h'(\beta) = l$ et P un plan admissible (cf G. Lusztig [Lus90c] et [Lus90a]) de l'un des types suivants avec $\Phi_P^+ = \Phi^+ \cap P$:

1. $\Phi_P^+ = \{\beta, \beta + \alpha_i, \alpha_i\}$ avec $i < j$. type (2.1)
2. $\Phi_P^+ = \{\beta, \beta + \alpha_i, \beta + 2\alpha_i, \alpha_i\}$ avec $i < j$. type (2.3)
3. $\Phi_P^+ = \{\beta, \beta + \beta' = \beta_{ex}, \beta'\}$, $\beta' \in C_j$ et $h(\beta') = h(\beta) + 1$. type (1.1)
4. $\Phi_P^+ = \{\alpha_i, \alpha_i + \beta, \alpha_i + 2\beta = \beta_{ex}, \beta\}$ avec $i < j$, $h'(\alpha_i + 2\beta) = \frac{2l+1}{2}$ et $h(\beta) = l$. type (1.2) ou type (2.2)
5. $\Phi_P^+ = \{\beta = \beta_{ex}, \alpha_i\}$ avec $i < j$, $\alpha_i \perp \beta$ et il existe β_1 et β_2 dans C_j telles que $\beta + \alpha_i = \beta_1 + \beta_2$. type (2.4)
6. $\Phi_P^+ = \Phi^+ = \{\beta_1, \dots, \beta_6\}$ est la partie positive d'un système de racines de type G_2 (notations de la proposition 3.2.5).

Dans chacun des cas ci-dessus, on appelle contrainte(s) provenant de P , la ou les contraintes suivantes :

1. $\beta \rightarrow \beta + \alpha_i$.
2. $\beta \rightarrow \beta + \alpha_i$ et $\beta + \alpha_i \rightarrow \beta + 2\alpha_i$.
3. $\beta \rightarrow \beta + \beta'$.
4. $\beta \rightarrow \alpha_i + \beta$, $\beta \rightarrow \alpha_i + 2\beta$ et $\alpha_i + 2\beta \rightarrow \alpha_i + \beta$.
5. 
6. $\beta_6 \rightarrow \beta_5, \beta_5 \rightarrow \beta_4, \beta_5 \rightarrow \beta_3, \beta_4 \rightarrow \beta_3, \beta_3 \rightarrow \beta_2$.

Lemme 5.2.2.

Soit $\beta \in C_j$.

1. Si β appartient à la boîte qui suit $\{\beta_{ex}\}$, alors $\beta \rightarrow \beta_{ex}$ est une contrainte provenant d'un plan admissible.
2. S'il existe $i < j$ tel que $\gamma = \beta + \alpha_i \in \Phi^+$ alors $\beta \rightarrow \gamma$ est une contrainte provenant d'un plan admissible.

Démonstration : Le résultat est vrai dans le cas où Φ est de type G_2 . Dans la suite de la démonstration on considère donc un système de racines qui n'est pas de type G_2 .

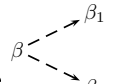
1. Soit $P = \langle \beta, \beta_{ex} \rangle$. C'est un plan admissible de type 3 ou 4 dans la définition précédente et dans chaque cas de figure, $\beta \rightarrow \beta_{ex}$ est une contrainte provenant de P.
2. Soit $P = \langle \beta, \alpha_i \rangle$. C'est un plan admissible de type 1,2 ou 4 dans la définition précédente et dans tous les cas $\beta \rightarrow \gamma$ est une contrainte provenant de P.

□

Proposition 5.2.3.

Soit Δ un diagramme de Cauchon. Δ vérifie toutes les contraintes (au sens de la section 4.1.1) provenant des plans admissibles.

Démonstration : Soit $\beta \in \Delta$ et soit P un plan admissible contenant β . Notons, comme dans la définition 5.2.1, $\Phi_P^+ = \Phi^+ \cap P$.

1. Si $\Phi_P^+ = \{\beta, \beta + \alpha_i, \alpha_i\}$ avec $i < j$, alors, d'après la proposition 5.1.6, Δ vérifie la contrainte $\beta \rightarrow \beta + \alpha_i$.
2. Si $\Phi_P^+ = \{\beta, \beta + \alpha_i, \beta + 2\alpha_i, \alpha_i\}$ avec $i < j$, alors, d'après la proposition 5.1.6 appliquée à β et $\beta + \alpha_i$, Δ vérifie les contraintes $\beta \rightarrow \beta + \alpha_i$ et $\beta + \alpha_i \rightarrow \beta + 2\alpha_i$.
3. Si $\Phi_P^+ = \{\beta, \beta + \beta' = \beta_{ex}, \beta'\}$ avec $i < j$, $\beta' \in C_j$ et $h(\beta') = h(\beta) + 1$, alors, d'après la proposition 5.1.7, Δ vérifie la contrainte $\beta \rightarrow \beta + \beta'$.
4. Si $\Phi_P^+ = \{\alpha_i, \alpha_i + \beta, \alpha_i + 2\beta = \beta_{ex}, \beta\}$ avec $i < j$ et $h'(\alpha_i + 2\beta) = \frac{2l+1}{2}$, alors, d'après les propositions 5.1.6, 5.1.7 et 5.1.8, Δ vérifie respectivement les contraintes $\beta \rightarrow \alpha_i + \beta$, $\beta \rightarrow \alpha_i + 2\beta$ et $\alpha_i + 2\beta \rightarrow \alpha_i + \beta$.
5. Si $\Phi_P^+ = \{\beta = \beta_{ex}, \alpha_i\}$ avec $i < j$, $\alpha_i \perp \beta$ et s'il existe β_1 et β_2 dans C_j tels que $\beta + \alpha_i = \beta_1 + \beta_2$, alors, d'après la proposition 5.1.8, Δ vérifie la contrainte .
6. Si $\Phi_P^+ = \Phi^+$ est de type G_2 , la proposition 5.1.6 implique que Δ vérifie les contraintes $\beta_6 \rightarrow \beta_5, \beta_5 \rightarrow \beta_3, \beta_4 \rightarrow \beta_3, \beta_3 \rightarrow \beta_2$. La proposition 5.1.7 implique quant à elle que Δ vérifie la contrainte $\beta_5 \rightarrow \beta_4$.

□

5.3 La réciproque

Le but de cette partie est de démontrer la réciproque du résultat démontré dans la partie précédente, c'est à dire :

Théorème 5.3.1.

Si Δ est un diagramme qui vérifie toutes les contraintes provenant des plans admissibles, alors Δ est un diagramme de Cauchon.

Soit $\beta \in \Phi^+$, une racine positive de la colonne C_j avec $1 < j < n$. On note B_0 la boîte de β , B_1 la boîte qui précède B_0 (si elle existe) et B_2 celle qui précède B_1 (si elle existe) dans la colonne C_j .

On pose $\Phi_\beta^+ = \{\alpha_i \mid i < j\} \cup \{\gamma < \beta \mid \gamma \in B_0\} \cup B_1 \cup (B_2 \text{ si } B_1 = \{\beta_{ex}\})$. Si $\gamma \in \Phi^+$, il existe $k \in \llbracket 1, N \rrbracket$ tel que $\gamma = \beta_k$ et on rappelle (cf section 4.1) que $X_\gamma = X_k$.

On pose enfin $D_\beta = \mathbb{K} < X_\gamma \mid \gamma < \beta >$.

Lemme 5.3.2.

$$D_\beta = \mathbb{K} < X_\gamma \mid \gamma \in \Phi_\beta^+ >$$

Démonstration : On pose $D'_\beta = \mathbb{K} < X_\gamma \mid \gamma \in \Phi_\beta^+ > \subset D_\beta$. Commençons par montrer que pour $i < j$, $\{X_\gamma, \gamma \in C_i\} \subset D'_\beta$. Si Φ est de type G_2 , $\{X_\gamma, \gamma \in C_i\}$ est soit vide, soit réduit à $X_{\alpha_1} \in D'_\beta$. Pour $\Phi \neq G_2$, on démontre ce résultat par récurrence sur $h(\gamma)$.

Si $h(\gamma) = 1$: alors $\gamma = \alpha_i$ et $X_\gamma \in D'_\beta$ par définition de Φ_β^+ .

Si $h(\gamma) > 1$ et γ non exceptionnelle : Par la proposition 2.2.11, il existe $l < i$ tel que $\gamma' = \gamma - \alpha_l \in \Phi^+$, de sorte que, par le corollaire 3.2.7 et la proposition 3.4.8, on a $X_\gamma \in \mathbb{K} < X_{\gamma'}, X_{\alpha_l} > \subset D'_\beta$ (hypothèse de récurrence).

Si $h(\gamma) > 1$ et γ exceptionnelle : On sait (proposition 2.2.3) que dans ce cas, il existe deux racines non exceptionnelles de C_i , η_1 et η_2 , telles que $\eta_1 + \eta_2 = \gamma$ et $h(\eta_2) = h(\eta_1) + 1$. On en déduit par le corollaire 3.2.7 et la proposition 3.4.8 que $X_\gamma \in \mathbb{K} < X_{\eta_1}, X_{\eta_2} > \subset D'_\beta$ (X_{η_1} et X_{η_2} sont dans D'_β car η_1 et η_2 sont non exceptionnelles).

Reste à montrer que $\{X_\gamma \mid \gamma \in C_j, \gamma < \beta\} \subset D'_\beta$.

Si $h(\gamma) = h(\beta)$ avec $\gamma < \beta$, alors $\gamma \in \Phi_\beta^+$. Donc $X_\gamma \in D'_\beta$.

On raisonne à nouveau par récurrence (sur $h(B)$) pour montrer que pour toute boîte non exceptionnelle B de C_j telle que $B < B_0$ (i.e. toute racine β de B est inférieure strictement à toutes les racines de B_0), on a $\{X_\gamma \mid \gamma \in B\} \subset D'_\beta$.

- **Supposons B_1 non exceptionnelle.**

Initialisation : Le résultat est vrai pour la boîte B_1 puisque $B_1 \subset \Phi_\beta^+$.

Hérédité : Soient B une boîte non exceptionnelle de C_j telle que $h(B) > h(B_1)$ et $\gamma \in B$. Par la proposition 2.2.11, il existe $\alpha_l \in \Pi$ ($l < j$) tel que $\gamma - \alpha_l \in \Phi^+$. $\gamma' := \gamma - \alpha_l$ est dans une boîte B' non exceptionnelle de C_j telle que $h(B) = h(B') + 1 > h(B') \geq h(B_1) > h(B_0)$ et on a $X_{\gamma'} \in D'_\beta$ par l'hypothèse de récurrence.

Si $\Phi \neq G_2$, on déduit du corollaire 3.2.7 et de la proposition 3.4.8 que $[X_{\gamma'}, X_{\alpha_l}]_q = kX_\gamma$ avec $k \in \mathbb{K}^\star$. Comme $X_{\alpha_l} \in D'_\beta$, on en déduit que $X_\gamma \in D'_\beta$.

Si $\Phi = G_2$, on déduit des propositions 3.2.5 et 3.4.8 que $[X_{\gamma'}, X_{\alpha_l}]_q = kX_\gamma$ avec $k \in \mathbb{K}^\star$. Comme $X_{\alpha_l} \in D'_\beta$, on en déduit que $X_\gamma \in D'_\beta$.

- **Supposons B_1 exceptionnelle.**

Initialisation : Le résultat est vrai pour la boîte B_2 puisque, dans ce cas, $B_2 \subset \Phi_\beta^+$.

Hérédité : On fait le même raisonnement que ci-dessus en remplaçant B_1 par B_2 .

Reste à montrer que si $B = \{\beta_{ex}\}$ est une boîte exceptionnelle de C_j telle que $B < B_0$, on a $X_{\beta_{ex}} \in D'_\beta$.

Si $B = B_1$, on a $B \subset \Phi_\beta^+$, d'où le résultat.

Supposons donc $B < B_1$. Comme ci-dessus, on a $\beta_{ex} = \eta_1 + \eta_2$ avec η_1 et η_2 deux racines non exceptionnelles de C_j telles que $h(\eta_2) = h(\eta_1) + 1$. Les boîtes de η_1 et η_2 sont non exceptionnelles, de part et d'autre de B , donc inférieures ou égales à B_1 , donc inférieures strictement à B_0 . Le résultat étant vrai pour les boîtes non exceptionnelles, $X_{\eta_1} \in D'_\beta$ et $X_{\eta_2} \in D'_\beta$.

Si $\Phi \neq G_2$, on déduit (comme ci-dessus) du corollaire 3.2.7 et de la proposition 3.4.8 que $X_{\beta_{ex}} \in D'_\beta$.

Si $\Phi = G_2$, on déduit (comme ci-dessus) des propositions 3.2.5 et 3.4.8 que $X_{\beta_{ex}} \in D'_\beta$.

On a donc bien $D_\beta = D'_\beta$. □

On rappelle que $A = \mathcal{U}_q^+(\mathfrak{g}) = \mathbb{K} < X_{\beta_i} \mid i \in \llbracket 1, N \rrbracket > := \mathbb{K} < X_i \mid i \in \llbracket 1, N \rrbracket >$. Soient β_r et β_{r+1} ($1 \leq r \leq N-1$) deux racines consécutives de Φ^+ ($\beta_r < \beta_{r+1}$). On rappelle que $A^{(r+1)} = \mathbb{K} < X_i^{(r+1)} >$ et $A^{(r)} = \mathbb{K} < X_i^{(r)} >$ ($1 < r < N$) désignent les algèbres déduites de A par l'algorithme d'effacement des dérivations de la section 4.

Lemme 5.3.3.

Soit $\beta_r \in \Phi^+$, une racine positive de la colonne C_j et $D_{\beta_r}^{(r+1)} = \mathbb{K} < X_\gamma^{(r+1)} \mid \gamma < \beta_r >$. Alors

$$D_{\beta_r}^{(r+1)} = \mathbb{K} < X_\gamma^{(r+1)} \mid \gamma \in \Phi_{\beta_r}^+ >$$

Démonstration : Par le lemme 4.2.1, les formules de redressement entre les $X_\gamma^{(r+1)}$ lorsque $\gamma \leq \beta_r$ sont les mêmes que les formules de redressement entre les X_γ avec $\gamma \leq \beta_r$. Il suffit donc de réécrire la démonstration du lemme 5.3.2, en remplaçant chaque X_γ par $X_\gamma^{(r+1)}$. \square

Notons, comme dans le paragraphe 4, $\varphi : \text{Spec } A \hookrightarrow \text{Spec } (\overline{A})(\overline{A} = A^{(2)})$ l'injection canonique, c'est à dire la composée des injections canoniques $\varphi_r : \text{Spec } (A^{(r+1)}) \hookrightarrow \text{Spec } (A^{(r)})$ pour $r \in \llbracket 2, N \rrbracket$, et rappelons qu'un sous-ensemble Δ de Φ^+ est un diagramme de Cauchon si et seulement si $(\exists P \in \text{Spec}(A))(\varphi(P) = \langle T_\gamma | \gamma \in \Delta \rangle)$.

Démonstration du théorème 5.3.1 : Soit $\Delta \subset \Phi^+$ un diagramme vérifiant les contraintes provenant des plans admissibles. Posons $Q := \langle T_\gamma | \gamma \in \Delta \rangle$. Par [Cau03a, Section 5.5.], c'est un idéal $H^{(2)}$ -premier, donc complètement premier, de $A^{(2)} = \overline{A}$ et si $\beta \in \Phi^+ \setminus \Delta$, T_β est régulier modulo Q. Par suite, $Q \cap \Phi^+ = \{T_\gamma | \gamma \in \Delta\}$.

Montrons par récurrence, que pour chaque $r \in \llbracket 2, N+1 \rrbracket$, il existe $P^{(r)} \in \text{Spec } (A^{(r)})$ tel que $Q = \varphi_2 \circ \dots \circ \varphi_{r-1}(P^{(r)})$.

Initialisation : Si $r = 2$, dans ce cas, on a $\varphi_2 \circ \dots \circ \varphi_{r-1} = Id_{\text{Spec}(\overline{A})}$ et $P^{(2)} = Q$ convient.

Considérons un entier $r \in \llbracket 2, N \rrbracket$, supposons qu'il existe $P^{(r)} \in \text{Spec}(A^{(r)})$ tel que $\varphi_2 \circ \dots \circ \varphi_{r-1}(P^{(r)}) = Q$ et montrons qu'il existe $P^{(r+1)} \in \text{Spec}(A^{(r+1)})$ tel que $\varphi_r(P^{(r+1)}) = P^{(r)}$. Il en résultera que $\varphi_2 \circ \dots \circ \varphi_r(P^{(r+1)}) = Q$.

- Si $X_r^{(r)} \notin P^{(r)}$, cela résulte du premier point de la proposition 4.3.4.
- Supposons donc que $X_r^{(r)} \in P^{(r)}$. D'après le second point de la proposition 4.3.4, tout revient à montrer que

$$\Theta^{(r)} \left(\delta_r^{(r+1)}(X_i^{(r+1)}) \right) \in P^{(r)} \quad \text{pour } 1 \leq i \leq r-1.$$

Observation. Il suffit de démontrer que $\Theta^{(r)} \left(\delta_r^{(r+1)}(X_i^{(r+1)}) \right) \in P^{(r)}$ pour chaque $i \in \llbracket 1, r-1 \rrbracket$ tel que $\beta_i \in \Phi_{\beta_r}^+$.

Démonstration de l'observation : Soit $i \in \llbracket 1, r-1 \rrbracket$. D'après le lemme 5.3.3, on a :

$$X_i^{(r+1)} = \sum_{j_1, \dots, j_s \in \Gamma} m_{j_1, \dots, j_s} X_{j_1}^{(r+1)} \dots X_{j_s}^{(r+1)} \quad \text{où } \Gamma := \{j \in \llbracket 1, r-1 \rrbracket | \beta_j \in \Phi_{\beta_r}^+\} \text{ et } m_{j_1, \dots, j_s} \in \mathbb{K}.$$

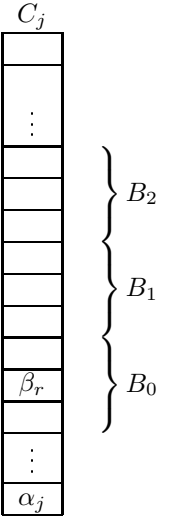
On a alors :

$$\begin{aligned} \delta_r^{(r+1)}(X_i^{(r+1)}) &= \sum m_{j_1, \dots, j_s} \delta_r^{(r+1)}(X_{j_1}^{(r+1)} \dots X_{j_s}^{(r+1)}) \\ &= \sum m_{j_1, \dots, j_s} \left[\delta_r^{(r+1)}(X_{j_1}^{(r+1)}) X_{j_2}^{(r+1)} \dots X_{j_s}^{(r+1)} + \sigma_r^{(r+1)}(X_{j_1}^{(r+1)}) \delta_r^{(r+1)}(X_{j_2}^{(r+1)}) \dots X_{j_s}^{(r+1)} + \dots + \sigma_r^{(r+1)}(X_{j_1}^{(r+1)} \dots X_{j_{s-1}}^{(r+1)}) \delta_r^{(r+1)}(X_{j_s}^{(r+1)}) \right] \\ &= \sum m_{j_1, \dots, j_s} \left[\delta_r^{(r+1)}(X_{j_1}^{(r+1)}) X_{j_2}^{(r+1)} \dots X_{j_s}^{(r+1)} + \lambda_{r,j_1} X_{j_1}^{(r+1)} \delta_r^{(r+1)}(X_{j_2}^{(r+1)}) \dots X_{j_s}^{(r+1)} + \dots + \lambda_{r,j_1} \dots \lambda_{r,j_{s-1}} X_{j_1}^{(r+1)} \dots X_{j_{s-1}}^{(r+1)} \delta_r^{(r+1)}(X_{j_s}^{(r+1)}) \right]. \end{aligned}$$

Par suite

$$\begin{aligned} \Theta^{(r)} \left(\delta_r^{(r+1)}(X_i^{(r+1)}) \right) &= \sum m_{j_1, \dots, j_s} \left[\Theta^{(r)} \left(\delta_r^{(r+1)}(X_{j_1}^{(r+1)}) \right) X_{j_2}^{(r)} \dots X_{j_s}^{(r)} \right. \\ &\quad \left. + \lambda_{r,j_1} X_{j_1}^{(r)} \Theta^{(r)} \left(\delta_r^{(r+1)}(X_{j_2}^{(r+1)}) \right) \dots X_{j_s}^{(r)} + \dots \right. \\ &\quad \left. + \lambda_{r,j_1} \dots \lambda_{r,j_{s-1}} X_{j_1}^{(r)} \dots X_{j_{s-1}}^{(r)} \Theta^{(r)} \left(\delta_r^{(r+1)}(X_{j_s}^{(r+1)}) \right) \right]. \end{aligned}$$

Comme chaque $\Theta^{(r)} \left(\delta_r^{(r+1)}(X_{j_l}^{(r+1)}) \right) \in P^{(r)}$ par hypothèse, on a bien $\Theta^{(r)} \left(\delta_r^{(r+1)}(X_i^{(r+1)}) \right) \in P^{(r)}$. \square



Retour à la démonstration du théorème 5.3.1 :

Pour chaque $s \in \llbracket 2, r-1 \rrbracket$, on notera $P^{(s)} = \varphi_s \circ \dots \circ \varphi_{r-1}(P^{(r)})$.

Observation. $\beta_r \in \Delta$.

En effet, comme $X_r^{(r)} \in P^{(r)}$, on déduit du lemme 5.1.1 que l'on a, successivement $X_r^{(r-1)} \in P^{(r-1)}$, ..., $X_r^{(2)} \in P^{(2)} = Q$. Comme $Q \cap \{T_\beta | \beta \in \Phi^+\} = \{T_\gamma | \gamma \in \Delta\}$, on a $T_{\beta_r} (= X_r^{(2)}) \in Q \Rightarrow \beta_r \in \Delta$.

On rappelle que, si $\beta_r \in C_j$, $\Phi_{\beta_r}^+ = \{\alpha_i \mid i < j\} \cup \{\gamma < \beta_r \mid \gamma \in B_0\} \cup B_1 \cup (B_2 \text{ si } B_1 = \{\beta_{ex}\})$ (B_0 est la boîte qui contient β_r , B_1 est la boîte qui précède B_0 dans C_j quand elle existe et B_2 la boîte qui précède B_1 dans C_j lorsqu'elle existe).

Soit $i \in \llbracket 1, r-1 \rrbracket$ tel que $\beta_i \in \Phi_{\beta_r}^+$.

- Si $\beta_i \in B_0 \cup B_1$, il résulte du théorème 3.4.3 (et de la remarque qui suit) que $\delta_r^{(r+1)}(X_i^{(r+1)}) = 0$. Par suite $\Theta^{(r)}(\delta_r^{(r+1)}(X_i^{(r+1)})) = 0 \in P^{(r)}$.

- Supposons que $B_1 = \{\beta_{ex}\}$ avec $\beta_{ex} = \beta_e$ ($e < r$), et que $\beta_i \in B_2$.

D'après le théorème 3.4.3, $\delta_r^{(r+1)}(X_i^{(r+1)}) = P_{r,i}^{(r+1)}$ est homogène de poids $\beta_r + \beta_i$ et les variables $X_l^{(r+1)}$ apparaissant dans $P_{r,i}^{(r+1)}$ sont telles que $\beta_l \in B_1 = \{\beta_e\}$. Par suite $P_{r,i}^{(r+1)}$ est nul ou de la forme λX_e^m avec $\lambda \in \mathbb{K}^\star$ et $m\beta_{ex} = \beta_r + \beta_i$, de sorte que (en identifiant les coefficients de α_j) on a $m = 1$.

Si $P_{r,i}^{(r+1)} = 0$, on a $\Theta^{(r)}(\delta_r^{(r+1)}(X_i^{(r+1)})) = 0 \in P^{(r)}$.

Sinon, supposons $P_{r,i}^{(r+1)} = \lambda X_e^m$. Comme Δ vérifie les contraintes provenant des plans admissibles, il résulte du lemme 5.2.2 que Δ vérifie la contrainte $\beta_r \rightarrow \beta_{ex}$ et, puisque $\beta_r \in \Delta$, on a $\beta_{ex} \in \Delta$.

On a donc $X_e^{(2)} \in Q = P^{(2)}$ et par le lemme 5.1.1, $X_e^{(e+1)} \in P^{(e+1)}$. Comme β_e et β_r sont dans des boîtes adjacentes par construction, on déduit du lemme 5.1.2 que

$$X_e^{(e+1)} \in P^{(e+1)} \Rightarrow X_e^{(r)} \in P^{(r)}.$$

Par suite, $\Theta^{(r)}(\delta_r^{(r+1)}(X_i^{(r+1)})) = \Theta^{(r)}(\lambda X_e^{(r+1)}) = \lambda X_e^{(r)} \in P^{(r)}$.

- Considérons à présent le cas $\beta_i = \alpha_k$ avec $k < j$.

Si $\delta_r^{(r+1)}(X_i^{(r+1)}) = 0$, on a $\Theta^{(r)}(\delta_r^{(r+1)}(X_i^{(r+1)})) = 0 \in P^{(r)}$.

Supposons $\delta_r^{(r+1)}(X_i^{(r+1)}) \neq 0$. D'après le théorème 3.4.3, on a

$$\delta_r^{(r+1)}(X_i^{(r+1)}) = \sum_{i < j_1 \leq \dots \leq j_s < r} c_{j_1, \dots, j_s} X_{j_1}^{(r+1)} \dots X_{j_s}^{(r+1)} \quad (c_{j_1, \dots, j_s} \in \mathbb{K})$$

$$c_{j_1, \dots, j_s} \in \mathbb{K}^\star \Rightarrow (\beta_{j_1} + \dots + \beta_{j_s} = \beta_r + \alpha_k \text{ et } \beta_{j_1}, \dots, \beta_{j_s} \notin B_0)$$

On a alors

$$\Theta^{(r)}(\delta_r^{(r+1)}(X_i^{(r+1)})) = \sum_{i < j_1 \leq \dots \leq j_s < r} c_{j_1, \dots, j_s} X_{j_1}^{(r)} \dots X_{j_s}^{(r)}$$

et tout revient à démontrer que, si $c_{j_1, \dots, j_s} \in \mathbb{K}^\star$, on a $X_{j_1}^{(r)} \dots X_{j_s}^{(r)} \in P^{(r)}$.

Supposons donc $c_{j_1, \dots, j_s} \neq 0$. En considérant le coefficient de α_j dans l'égalité

$$\beta_{j_1} + \dots + \beta_{j_s} = \beta_r + \alpha_k \tag{16}$$

on voit que $\beta_{j_s} \in C_j$. Comme $\beta_{j_s} \notin B_0$ et $j_s < r$, la boîte B_1 existe.

Distinguons plusieurs cas.

- B_0 et B_1 sont ordinaires. Comme $j_s < r$ et $\beta_{j_s} \notin B_0$, on a $h(\beta_r) < h(\beta_{j_s})$. Par (16), on a aussi $h(\beta_{j_s}) \leq h(\beta_r + \alpha_k) = h(\beta_r) + 1$. Il en résulte que $s = 1$ et que $\beta_{j_s} \in B_1$. On dispose alors (lemme 5.2.2) de la contrainte $\beta_r \rightarrow \beta_{j_s}$. Comme

$\beta_r \in \Delta$, on a $\beta_{j_s} \in \Delta$ et, comme ci-dessus, $X_{j_s}^{(j_s+1)} \in P^{(j_s+1)}$ puis, de là, $X_{j_s}^{(r)} \in P^{(r)}$. Le monôme considéré est donc bien dans $P^{(r)}$.

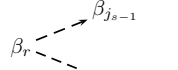
- B_0 est ordinaire et B_1 est exceptionnelle de sorte que B_2 existe. Comme dans le cas précédent, on vérifie que $s = 1$ et que $\beta_{j_s} \in B_2$. On dispose donc encore (lemme 5.2.2) de la contrainte $\beta_r \rightarrow \beta_{j_s}$. On dispose aussi (lemme 5.2.2) de la contrainte $\beta_r \rightarrow \beta_e$. Comme $\beta_r \in \Delta$, on a $\beta_e, \beta_{j_s} \in \Delta$, de sorte que $X_e^{(e+1)} \in P^{(e+1)}$ et $X_{j_s}^{(j_s+1)} \in P^{(j_s+1)}$. Par le second point du lemme 5.1.2, on en déduit que $X_{j_s}^{(r)} \in P^{(r)}$. Le monôme considéré est donc bien dans $P^{(r)}$.

- B_0 est exceptionnelle. Puisque $\beta_{j_s} \notin B_0$, β_{j_s} est ordinaire dans C_j . Par l'égalité (16), on a $s \geq 2$ et $\beta_{j_{s-1}}$ ordinaire dans C_j . Si on note $h(\beta_r) = 2l + 1$ ($l \geq 1$), on sait que $h(\beta_{j_{s-1}}) \geq l + 1$, $h(\beta_{j_s}) \geq l + 1$ et $h(\beta_r + \alpha_k) = 2l + 2$. On en déduit que $s = 2$ et que $\beta_{j_{s-1}}, \beta_{j_s} \in B_1$. L'égalité (16) s'écrit alors $\beta_r + \alpha_k = \beta_{j_{s-1}} + \beta_{j_s}$.

••• Supposons $\beta_{j_{s-1}} \neq \beta_{j_s}$, de sorte que $\beta_{j_{s-1}}$ et β_{j_s} étant dans la même boîte B_1 , elles sont orthogonales. Il en résulte que Φ n'est pas de type G_2 (dans le cas G_2 , les boîtes sont réduites à un élément). Notons $P = \langle \beta_{j_s}, \beta_{j_{s-1}} \rangle$ le plan engendré par $\beta_{j_s}, \beta_{j_{s-1}}$, et supposons $\Phi_P^+ \neq \{\beta_{j_{s-1}}, \beta_{j_s}\}$. Alors, puisque $\Phi_P \neq G_2$, Φ_P est de type A_2 ou B_2 . Comme $\beta_{j_{s-1}}$ et β_{j_s} sont orthogonales, Φ_P est de type B_2 et il existe $\beta \in \Phi^+$ telle que $\beta_r + \alpha_k = \beta_{j_{s-1}} + \beta_{j_s} = m\beta$ avec $m = 1$ ou 2 .

Si $m = 1$, alors β et β_r sont deux racines exceptionnelles distinctes de C_j , ce qui est impossible.

Supposons $m = 2$. On a alors $\beta_r + \alpha_k = \beta_{j_{s-1}} + \beta_{j_s} = 2\beta$. On en déduit que $h(\beta) = l + 1$, de sorte que β est aussi un élément de B_1 différent de $\beta_{j_{s-1}}$ et β_{j_s} . Il en résulte que $\beta, \beta_{j_{s-1}}, \beta_{j_s}$ sont deux à deux orthogonales, ce qui est contradictoire avec l'égalité $\beta_{j_{s-1}} + \beta_{j_s} = 2\beta$.



On a donc $\Phi_P^+ = \{\beta_{j_{s-1}}, \beta_{j_s}\}$ et il résulte de la définition 5.2.1 que l'on dispose de la contrainte $\beta_{j_{s-1}} \rightarrow \beta_{j_s}$. L'une des deux racines β_{j_s} ou $\beta_{j_{s-1}}$ est alors dans Δ . Si, par exemple, $\beta_{j_s} \in \Delta$, on a successivement, comme dans le premier cas, $X_{j_s}^{(j_s+1)} \in P^{(j_s+1)}$ et $X_{j_s}^{(r)} \in P^{(r)}$. Le monôme considéré est donc bien dans $P^{(r)}$.

- Si $\beta_{j_{s-1}} = \beta_{j_s}$ alors l'égalité (16) s'écrit alors $\beta_r + \alpha_k = 2\beta_{j_s}$. Si on pose $\beta = s_D(\beta_{j_s}) = \beta_r - \beta_{j_s} \in \Phi^+$ et si on retranche β_{j_s} à chaque membre de l'égalité précédente, on obtient $\beta + \alpha_k = \beta_{j_s}$. Notons $P = \langle \beta_r, \beta_{j_s} \rangle$ le plan engendré par β_r et β_{j_s} .

Supposons Φ de type G_2 . Alors on a $\beta_r = \beta_4$, $\alpha_k = \beta_1$ et $\beta_{j_s} = \beta_3$. Par la définition 5.2.1, on dispose donc de la contrainte $\beta_r \rightarrow \beta_{j_s}$.

Supposons que Φ n'est pas de type G_2 . Il résulte de l'égalité $\beta_r + \alpha_k = 2\beta_{j_s}$ que Φ_P est de type B_2 , de sorte que $\Phi_P^+ = \{\alpha_k, \alpha_k + \beta = \beta_{j_s}, \alpha_k + 2\beta = \beta_r, \beta\}$ avec $h(\beta) = h(\beta_r) - h(\beta_{j_s}) = 2l + 1 - (l + 1) = l$. P est donc un plan admissible de type 4 au sens de la définition 5.2.1. On dispose donc à nouveau de la contrainte $\beta_r \rightarrow \beta_{j_s}$.

Ainsi, dans tous les cas, on a $\beta_{j_s} \in \Delta$. On a donc successivement, comme dans le premier cas, $X_{j_s}^{(j_s+1)} \in P^{(j_s+1)}$ et $X_{j_s}^{(r)} \in P^{(r)}$. Le monôme considéré est donc bien dans $P^{(r)}$, ce qui termine la démonstration.

□

6 Forme des diagrammes pour une décomposition de w_0 particulière.

Dans ce paragraphe, on donne une description explicite des diagrammes de Cauchon pour une décomposition particulière de w_0 dans chaque type d'algèbre de Lie simple de dimension finie.

6.1 Le cas des familles infinies

6.1.1 Le cas A_n , $n \geq 1$

Conventions.

On numérote les racines simples de manière que le diagramme de Dynkin soit :

$$\alpha_1 - \alpha_2 - \cdots - \alpha_{n-1} - \alpha_n.$$

On sait (voir par exemple [Lit98, Section 5]) que l'écriture $w_0 = s_{\alpha_1} \circ (s_{\alpha_2} \circ s_{\alpha_1}) \cdots \circ (s_{\alpha_n} \circ s_{\alpha_{n-1}} \circ \cdots \circ s_{\alpha_1})$ est une décomposition réduite qui induit l'ordre ci-dessous sur les racines positives.

C_1	C_2	\dots	C_n
$\beta_1 = \alpha_1$	$\beta_2 = \alpha_1 + \alpha_2$	\dots	$\beta_{N-n+1} = \alpha_1 + \dots + \alpha_{n-1} + \alpha_n$
	$\beta_3 = \alpha_2$	\dots	\vdots
		\ddots	\vdots
			$\beta_N = \alpha_n$

On constate que ceci est un ordre de Lusztig et qu'aucune des colonnes C_1, \dots, C_n n'est exceptionnelle.

Lemme 6.1.1.

Si $1 \leq l \leq n$ et si β_j, β_{j+1} sont deux racines consécutives de C_l alors $\beta_{j+1} \rightarrow \beta_j$ est une contrainte.

Démonstration : Si β_j et β_{j+1} sont deux racines consécutives de C_l alors il existe une racine simple α_i ($1 \leq i < l \leq n$) telle que $\beta_j = \beta_{j+1} + \alpha_i$. D'après la proposition 5.1.6, $\beta \rightarrow \beta + \alpha_i$ est une contrainte. \square

On en déduit :

Corollaire 6.1.2.

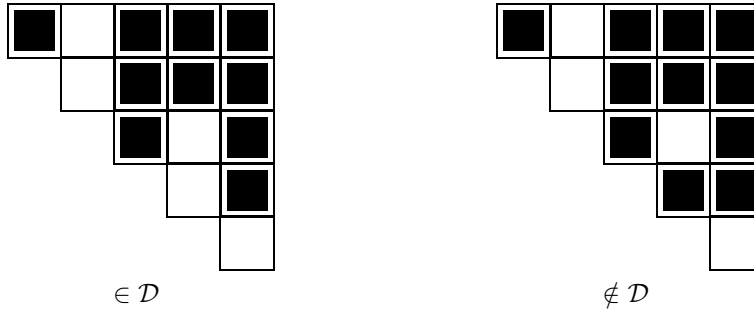
Si $C_l = \{\beta_s, \beta_{s+1}, \dots, \beta_r = \alpha_l\}$ est la colonne l avec $1 \leq l \leq n$, les contraintes provenant des plans admissibles sont :

$$\beta_r \rightarrow \beta_{r-1} \rightarrow \dots \rightarrow \beta_{s+1} \rightarrow \beta_s$$

Conventions.

- Si $C_l = \{\beta_s, \beta_{s+1}, \dots, \beta_r = \alpha_l\}$ est la colonne l avec $1 \leq l \leq n$, les colonnes tronquées contenues dans C_l sont les parties de la forme $\{\beta_s, \beta_{s+1}, \dots, \beta_t\}$, $t \in [s, r]$.
- On note \mathcal{D} l'ensemble de tous les diagrammes qui vérifient les contraintes du corollaire 6.1.2 pour $1 \leq l \leq n$.

On remarque que \mathcal{D} est l'ensemble de tous les diagrammes Δ qui sont des réunions de colonnes tronquées (voir figure ci-dessous).



Remarque 6.1.3.

L'ensemble des diagrammes de Cauchon noté \mathcal{D} a même cardinal que le groupe de Weyl W .

Démonstration : Comme \mathcal{D} est l'ensemble des diagrammes Δ qui sont des réunions de colonnes tronquées, on a $|\mathcal{D}| = (n+1)! = |W|$. \square

6.1.2 Le cas B_n , $n \geq 2$

Conventions.

On numérote les racines simples de manière que le diagramme de Dynkin soit :

$$\alpha_1 \Leftarrow \alpha_2 - \dots - \alpha_{n-1} - \alpha_n$$

On sait (voir par exemple [Lit98, Section 6]) que l'écriture

$$w_0 = s_{\alpha_1} \circ (s_{\alpha_2} \circ s_{\alpha_1} \circ s_{\alpha_2}) \dots \circ (s_{\alpha_n} \circ s_{\alpha_{n-1}} \circ \dots \circ s_{\alpha_2} \circ s_{\alpha_1} \circ s_{\alpha_2} \circ \dots \circ s_{\alpha_n})$$

est une décomposition réduite qui induit l'ordre ci-dessous sur les racines positives.

		$\beta_{(n-1)^2+1} = 2\alpha_1 + \cdots + 2\alpha_{n-1} + \alpha_n$
		⋮
	$\beta_2 = 2\alpha_1 + \alpha_2$	$\beta_{N-n} = 2\alpha_1 + \alpha_2 + \cdots + \alpha_{n-1} + \alpha_n$
$\beta_1 = \alpha_1$	$\beta_3 = \alpha_1 + \alpha_2$	$\beta_{N-n+1} = \alpha_1 + \cdots + \alpha_{n-1} + \alpha_n$
	$\beta_4 = \alpha_2$	$\beta_{N-n+2} = \alpha_2 + \cdots + \alpha_{n-1} + \alpha_n$
		⋮
		$\beta_N = \alpha_n$

On constate que ceci est un ordre de Lusztig et qu'aucune des colonnes n'est exceptionnelle.

Lemme 6.1.4.

Si $1 \leq l \leq n$ et si β_j, β_{j+1} sont deux racines consécutives de C_l alors $\beta_{j+1} \rightarrow \beta_j$ est une contrainte.

Démonstration : Si β_j et β_{j+1} sont deux racines consécutives de C_l alors il existe une racine simple α_i ($1 \leq i < l \leq n$) telle que $\beta_j = \beta_{j+1} + \alpha_i$. D'après la proposition 5.1.6, $\beta \rightarrow \beta + \alpha_i$ est une contrainte. \square

On en déduit :

Corollaire 6.1.5.

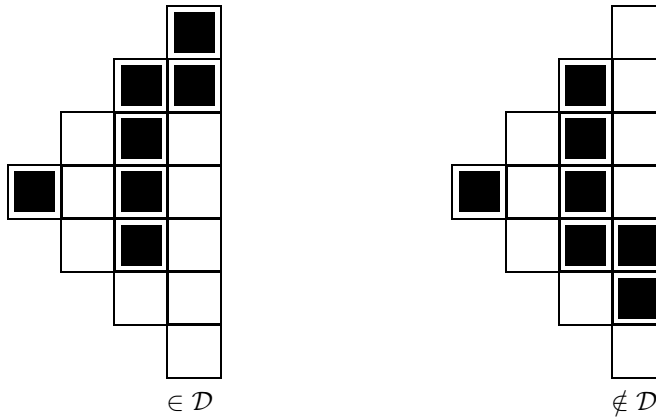
Si $C_l = \{\beta_s, \beta_{s+1}, \dots, \beta_r = \alpha_l\}$ est la colonne l avec $1 \leq l \leq n$, les contraintes provenant des plans admissibles sont :

$$\beta_r \rightarrow \beta_{r-1} \rightarrow \dots \rightarrow \beta_{s+1} \rightarrow \beta_s$$

Conventions.

- Si $C_l = \{\beta_s, \beta_{s+1}, \dots, \beta_r = \alpha_l\}$ est la colonne l avec $1 \leq l \leq n$, les colonnes tronquées contenues dans C_l sont les parties de la forme $\{\beta_s, \beta_{s+1}, \dots, \beta_t\}$, $t \in [s, r]$.
- On note \mathcal{D} l'ensemble de tous les diagrammes qui vérifient les contraintes du corollaire 6.1.5 pour $1 \leq l \leq n$.

On remarque que \mathcal{D} est l'ensemble de tous les diagrammes Δ qui sont des réunions de colonnes tronquées (voir figure ci-dessous).



Remarque 6.1.6.

L'ensemble des diagrammes de Cauchon noté \mathcal{D} a même cardinal que le groupe de Weyl W .

Démonstration : Comme \mathcal{D} est l'ensemble des diagrammes Δ qui sont des réunions de colonnes tronquées, on a $|\mathcal{D}| = 2^{n+1}(n+1)! = |W|$. \square

6.1.3 C_n , $n \geq 3$

Conventions.

On numérote les racines simples de manière que le diagramme de Dynkin soit :

$$\alpha_1 \Rightarrow \alpha_2 - \cdots - \alpha_{n-1} - \alpha_n$$

On sait (voir par exemple [Lit98, Section 6]) que l'écriture

$$w_0 = s_{\alpha_1} \circ (s_{\alpha_2} \circ s_{\alpha_1} \circ s_{\alpha_2}) \cdots \circ (s_{\alpha_n} \circ s_{\alpha_{n-1}} \circ \cdots \circ s_{\alpha_2} \circ s_{\alpha_1} \circ s_{\alpha_2} \circ \cdots \circ s_{\alpha_n})$$

est une décomposition réduite qui induit l'ordre ci-dessous sur les racines positives.

		$\beta_{(n-1)^2+1} = \alpha_1 + 2\alpha_2 + \cdots + 2\alpha_{n-1} + \alpha_n$
		\vdots
$\beta_2 = \alpha_1 + \alpha_2$		$\beta_{N-n} = \alpha_1 + \alpha_2 + \cdots + \alpha_{n-1} + \alpha_n$
$\beta_1 = \alpha_1$	$\beta_3 = \alpha_1 + 2\alpha_2$	$\beta_{N-n+1} = \alpha_1 + 2\alpha_2 + \cdots + 2\alpha_{n-1} + 2\alpha_n$
$\beta_4 = \alpha_2$		$\beta_{N-n+2} = \alpha_2 + \cdots + \alpha_{n-1} + \alpha_n$
		\vdots
		$\beta_N = \alpha_n$

On constate que ceci est un ordre de Lusztig et que toutes les colonnes exceptée la première sont exceptionnelles.

Lemme 6.1.7.

Si $1 \leq l \leq n$ et si β_j, β_{j+1} sont deux racines consécutives de C_l alors $\beta_{j+1} \rightarrow \beta_j$ est une contrainte.

Démonstration : Chaque colonne comporte un nombre impair d'éléments, notons $C_l = \{\beta_{u_1}, \dots, \beta_{u_{2k+1}}\}$, $\beta_{u_{k+1}}$ est une racine exceptionnelle et toutes les boîtes comportent une unique racine.

- Soient $j \in \llbracket 1, k-1 \rrbracket \cup \llbracket k+1, 2k+1 \rrbracket$, β_{u_j} et $\beta_{u_{j+1}}$ deux racines consécutives de C_l . alors il existe une racine simple α_{i_j} ($1 \leq i_j < l \leq n$) telle que $\beta_{u_j} = \beta_{u_{j+1}} + \alpha_{i_j}$. D'après la proposition 5.1.6, $\beta_{u_{j+1}} \rightarrow \beta_{u_j}$ est une contrainte.
- $\beta_{u_{k+2}}$ est dans la boîte qui suit la racine exceptionnelle, d'après la proposition 5.1.7, $\beta_{u_{k+2}} \rightarrow \beta_{u_{k+1}}$ est une contrainte.
- Comme $\beta_{u_{k+1}} + \beta_1 = 2\beta_{u_{k-1}}$ alors d'après la proposition 5.1.8, $\beta_{u_{k+1}} \rightarrow \beta_{u_k}$ est une contrainte.

□

On en déduit :

Corollaire 6.1.8.

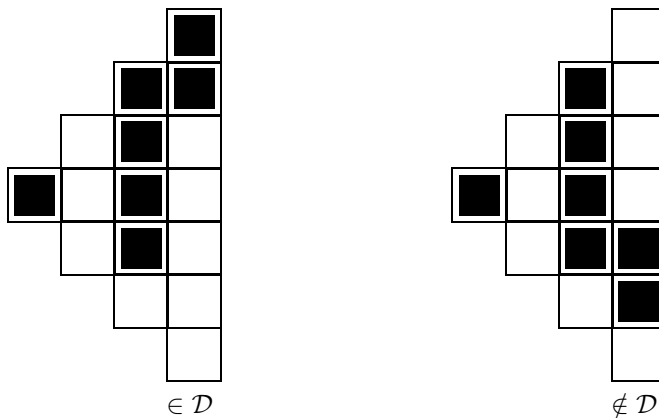
Si $C_l = \{\beta_s, \beta_{s+1}, \dots, \beta_r = \alpha_l\}$ est la colonne l avec $1 \leq l \leq n$, les contraintes provenant des plans admissibles sont :

$$\beta_r \rightarrow \beta_{r-1} \rightarrow \dots \rightarrow \beta_{s+1} \rightarrow \beta_s$$

Conventions.

- Si $C_l = \{\beta_s, \beta_{s+1}, \dots, \beta_r = \alpha_l\}$ est la colonne l avec $1 \leq l \leq n$, les colonnes tronquées contenues dans C_l sont les parties de la forme $\{\beta_s, \beta_{s+1}, \dots, \beta_t\}$, $t \in \llbracket s, r \rrbracket$.
- On note \mathcal{D} l'ensemble de tous les diagrammes qui vérifient les contraintes du corollaire 6.1.8 pour $1 \leq l \leq n$.

On remarque que \mathcal{D} est l'ensemble de tous les diagrammes Δ qui sont des réunions de colonnes tronquées (voir figure ci-dessous).



Remarque 6.1.9.

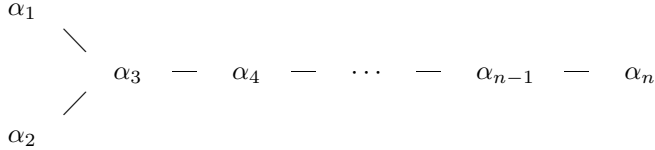
L'ensemble des diagrammes de Cauchon noté \mathcal{D} a même cardinal que le groupe de Weyl W .

Démonstration : Comme \mathcal{D} est l'ensemble des diagrammes Δ qui sont des réunions de colonnes tronquées, on a $|\mathcal{D}| = 2^{n+1}(n+1)! = |W|$. □

6.1.4 D_n , $n \geq 4$

Conventions.

On numérote les racines simples de manière que le diagramme de Dynkin soit :



On sait (voir par exemple [Lit98, Section 6]) que l'écriture :

$$w_0 = s_{\alpha_1} \circ s_{\alpha_2} \circ (s_{\alpha_3} \circ s_{\alpha_1} \circ s_{\alpha_2} \circ s_{\alpha_3}) \cdots \circ (s_{\alpha_n} \circ s_{\alpha_{n-1}} \circ \cdots \circ s_{\alpha_3} \circ s_{\alpha_1} \circ s_{\alpha_2} \circ s_{\alpha_3} \circ \cdots \circ s_{\alpha_n})$$

est une décomposition réduite qui induit l'ordre ci-dessous sur les racines positives.

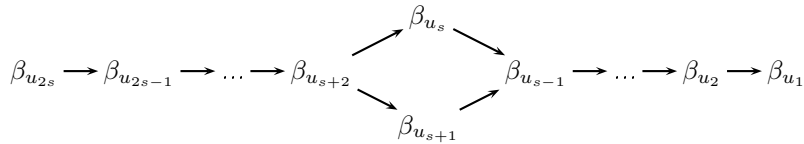
		$\beta_{N-2n+1} = \alpha_1 + \alpha_2 + 2\alpha_3 \cdots + 2\alpha_{n-1} + \alpha_n$
		⋮
$\beta_3 = \alpha_1 + \alpha_2 + \alpha_3$	$\beta_{N-n-1} = \alpha_1 + \alpha_2 + \alpha_3 \cdots + \alpha_{n-1} + \alpha_n$	
$\beta_1 = \alpha_1$	$\beta_4 = \alpha_2 + \alpha_3$	$\beta_{N-n} = \alpha_1 \text{ (ou } \alpha_2\text{)} + \alpha_3 \cdots + \alpha_{n-1} + \alpha_n$
$\beta_2 = \alpha_2$	$\beta_5 = \alpha_1 + \alpha_3$	$\beta_{N-n+1} = \alpha_2 \text{ (ou } \alpha_1\text{)} + \alpha_3 \cdots + \alpha_{n-1} + \alpha_n$
		$\beta_6 = \alpha_3$
		$\beta_{N-n+2} = \alpha_3 \cdots + \alpha_{n-1} + \alpha_n$
		⋮
		$\beta_N = \alpha_n$

On a réunit ici les colonnes 1 et 2 pour une meilleure lisibilité de l'ordre sur les racines.

On constate que ceci est un ordre de Lusztig et qu'aucune des colonnes n'est exceptionnelle.

Lemme 6.1.10.

Soit une colonne $C_l = \{\beta_{u_1}, \dots, \beta_{u_s}, \beta_{u_{s+1}}, \dots, \beta_{u_{2s}}\}$ (avec $s = l-1$, $l \geq 3$), on a les contraintes :



Démonstration : Observons tout d'abord que seule la boîte $B = \{\beta_{u_s}, \beta_{u_{s+1}}\}$ comporte plus d'un élément.

- Pour $j \in \llbracket 1, s-2 \rrbracket$, on a $\beta_{u_{j+1}} + \alpha_{s-j} = \beta_{u_j}$ et $\beta_{u_{2s-j+1}} + \alpha_{s-j+1} = \beta_{u_{2s-j}}$. Ainsi, par la proposition 5.1.6, on a les contraintes $\beta_{u_{j+1}} \rightarrow \beta_{u_j}$ et $\beta_{u_{2s-j+1}} \rightarrow \beta_{u_{2s-j}}$.
- On a $\beta_{u_{s+2}} + \alpha_1 \in B$ et $\beta_{u_{s+2}} + \alpha_2 \in B$ de sorte que par la proposition 5.1.6, on a les contraintes $\beta_{u_{s+2}} \rightarrow \beta_{u_{s+1}}$ et $\beta_{u_{s+2}} \rightarrow \beta_{u_s}$.
- On a $\beta_{u_{s-1}} - \alpha_1 \in B$ et $\beta_{u_{s-1}} - \alpha_2 \in B$ de sorte que par la proposition 5.1.6, on a les contraintes $\beta_{u_{s+1}} \rightarrow \beta_{u_{s-1}}$ et $\beta_{u_s} \rightarrow \beta_{u_{s-1}}$.

□

Conventions.

- Si $C_l = \{\beta_s, \beta_{s+1}, \dots, \beta_r = \alpha_l\}$ est la colonne l avec $1 \leq l \leq n$, les colonnes tronquées privées de l'élément β_m ($s \leq m \leq r$) contenues dans C_l sont les parties de la forme $\{\beta_s, \beta_{s+1}, \dots, \beta_{m-1}, \beta_{m+1}, \beta_t\}$, $t \in \llbracket s, r \rrbracket$.
- On note \mathcal{D} l'ensemble de tous les diagrammes qui vérifient les contraintes du lemme 6.1.10 pour $1 \leq l \leq n$.

On en déduit que \mathcal{D} est l'ensemble des réunions de colonnes tronquées avec la possibilité d'avoir des colonnes tronquées avec un "trou" sur la ligne correspondant à α_1 lorsque la colonne tronquée ne dépasse pas la ligne correspondant à α_2 . Ainsi :



Remarque 6.1.11.

L'ensemble des diagrammes de Cauchon noté \mathcal{D} a même cardinal que le groupe de Weyl W .

Démonstration : Comme \mathcal{D} est l'ensemble des diagrammes Δ qui sont des réunions de colonnes tronquées qui possèdent éventuellement un trou, on a

$$|\mathcal{D}| = 4 \times 6 \times 8 \times \dots \times 2n = 2^{n-1} n! = |W|.$$

□

6.2 Les cas exceptionnels

6.2.1 G_2

Conventions.

On numérote les racines simples de manière que le diagramme de Dynkin soit :

$$\alpha_1 \leqslant \alpha_2$$

On sait que l'écriture $w_0 = s_{\alpha_1} \circ s_{\alpha_2} \circ s_{\alpha_1} \circ s_{\alpha_2} \circ s_{\alpha_1} \circ s_{\alpha_2}$ est une décomposition réduite de w_0 qui induit l'ordre suivant sur les racines positives.

	$\beta_2 = 3\alpha_1 + \alpha_2$
	$\beta_3 = 2\alpha_1 + \alpha_2$
$\beta_1 = \alpha_1$	$\beta_4 = 3\alpha_1 + 2\alpha_2$
	$\beta_5 = \alpha_1 + \alpha_2$
	$\beta_6 = \alpha_2$

Lemme 6.2.1.

On a les contraintes : $\beta_6 \longrightarrow \beta_5 \longrightarrow \beta_4 \longrightarrow \beta_3 \longrightarrow \beta_2$

Démonstration : Pour trouver ces contraintes, on applique les propositions 5.1.6, 5.1.7 et 5.1.8 car on a les égalités suivantes (β_4 est une racine exceptionnelle) :

$$\beta_6 + \alpha_1 = \beta_5, \quad h'(\beta_5) + 1 = \beta_4, \quad \beta_4 + \alpha_1 = 2\beta_3, \quad \beta_3 + \alpha_1 = \beta_2.$$

□

Convention.

On note \mathcal{D} l'ensemble de tous les diagrammes qui vérifient les contraintes du lemme 6.2.1 .

Remarque 6.2.2.

L'ensemble des diagrammes de Cauchon noté \mathcal{D} a même cardinal que le groupe de Weyl W .

Démonstration : Comme \mathcal{D} est l'ensemble des diagrammes Δ qui sont des réunions de colonnes tronquées

$$|\mathcal{D}| = 2 \times 6 = 12 = |W|.$$

□

6.2.2 F_4

Conventions.

On numérote les racines simple de sorte que le diagramme de Dynkin soit :

$$\alpha_1 - \alpha_2 \Rightarrow \alpha_3 - \alpha_4$$

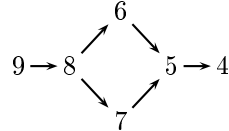
On choisit la décomposition réduite de l'élément de plus grande longueur du groupe de Weyl suivante :

$$w_0 = s_4 s_3 s_4 s_2 s_3 s_4 s_2 s_3 s_2 s_1 s_2 s_3 s_4 s_2 s_3 s_1 s_2 s_1 s_3 s_4 s_2 s_3 s_2 s_1$$

Cette décomposition induit l'ordre convexe suivant sur les racines positives :

	$\beta_{10}(1, 3, 4, 2)$		10
	$\beta_{11}(1, 2, 4, 2)$		9
	$\beta_{12}(1, 2, 3, 2)$		8
	$\beta_{13}(1, 2, 3, 1)$		7
	$\beta_4(0, 1, 2, 2)$	$\beta_{14}(1, 2, 2, 2)$	5
	$\beta_5(0, 1, 2, 1)$	$\beta_{15}(1, 2, 2, 1)$	6
$\beta_2(0, 0, 1, 1)$	$\beta_6(0, 1, 1, 1)$	$\beta_{16}(1, 1, 2, 2)$	2
$\beta_1(0, 0, 0, 1)$	$\beta_7(0, 1, 2, 0)$	$\beta_{17}(2, 3, 4, 2)$	3
	$\beta_8(0, 1, 1, 0)$	$\beta_{18}(1, 2, 2, 0)$	11/2
	$\beta_9(0, 1, 0, 0)$	$\beta_{19}(1, 1, 2, 1)$	2
		$\beta_{20}(1, 1, 1, 1)$	5
		$\beta_{21}(1, 1, 2, 0)$	1
		$\beta_{22}(1, 1, 1, 0)$	4
		$\beta_{23}(1, 1, 0, 0)$	4
		$\beta_{24}(1, 0, 0, 0)$	3
			2
			1

On vérifie que chaque colonne est ordinaire ou exceptionnelle puis on refait le même tableau en calculant $h'(\beta_i)$ pour tout i pour vérifier que l'ordre choisi correspond bien à celui de Lusztig. On connaît déjà la forme des diagrammes sur les 2 premières colonnes. Grâce aux relations de commutations et à la proposition 5.1.6, on a les contraintes suivantes pour l'avant dernière colonne :



Il y a donc 8 possibilités de remplir cette colonne en suivant les contraintes.

Au moyen des propositions 5.1.6, 5.1.7 et 5.1.8, on obtient les contraintes suivantes pour la dernière colonne :

Diagrammes commençant par la case : Nombre de diagrammes

Pas de case	Nombre de diagrammes	
10	1	24
11	1	23
12	1	22
13	1	20
14	2	21
15	1	19
16	3	18
17	2	17
18	2	16
19	2	15
20	2	14
21	2	13
22	1	12
23	1	11
24	1	10
TOTAL	24	

On dénombre donc : $2 \times 3 \times 8 \times 24 = 2^7 \times 3^2$ diagrammes soit le cardinal du groupe de Weyl.

6.2.3 E_6

Conventions.

On numérote les racines simple de sorte que le diagramme de Dynkin soit :

$$\begin{array}{ccccccc} & & \alpha_2 & & & & \\ & & | & & & & \\ \alpha_1 & - & \alpha_3 & - & \alpha_4 & - & \alpha_5 & - & \alpha_6 \end{array}$$

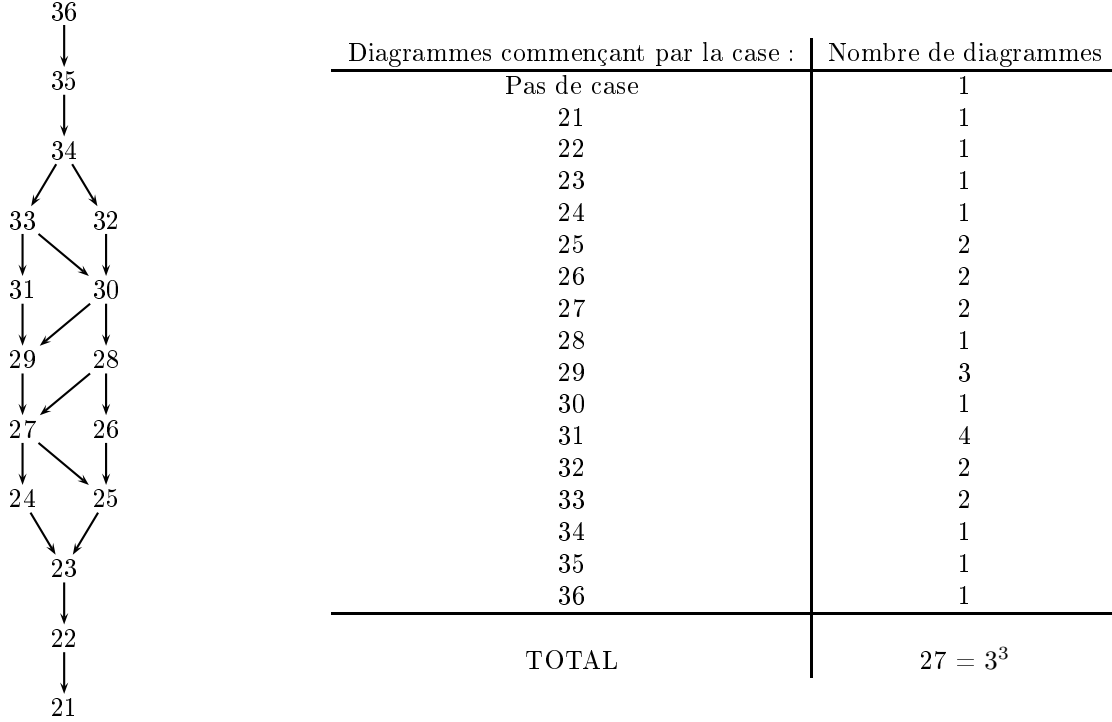
Pour décrire w_0 , on va remarquer que les racines α_1 à α_5 forment un système de racines de type D_5 . Si on appelle τ , l'élément de plus grande longueur utilisé précédemment pour le type D_5 alors la décomposition

$$w_0 = \tau s_6 s_5 s_4 s_2 s_3 s_1 s_4 s_3 s_5 s_4 s_6 s_2 s_5 s_4 s_3 s_1$$

induit l'ordre convexe suivant sur les racines positives :

$\beta_{21} = (1, 2, 2, 3, 2, 1)$
$\beta_{22} = (1, 1, 2, 3, 2, 1)$
$\beta_{23} = (1, 1, 2, 2, 2, 1)$
$\beta_{24} = (1, 1, 2, 2, 1, 1)$
$\beta_{25} = (1, 1, 1, 2, 2, 1)$
$\beta_{26} = (0, 1, 1, 2, 2, 1)$
$\beta_{27} = (1, 1, 1, 2, 1, 1)$
$\beta_{28} = (0, 1, 1, 2, 1, 1)$
$\beta_{29} = (1, 1, 1, 1, 1, 1)$
$\beta_{30} = (0, 1, 1, 1, 1, 1)$
$\beta_{31} = (1, 0, 1, 1, 1, 1)$
$\beta_{32} = (0, 1, 0, 1, 1, 1)$
$\beta_{33} = (0, 0, 1, 1, 1, 1)$
$\beta_{34} = (0, 0, 0, 1, 1, 1)$
$\beta_{35} = (0, 0, 0, 0, 1, 1)$
$\beta_{36} = (0, 0, 0, 0, 0, 1)$

On obtient les contraintes ci-dessous au moyen de la proposition 5.1.6, on dénombre alors les diagrammes qui vérifient ces contraintes :

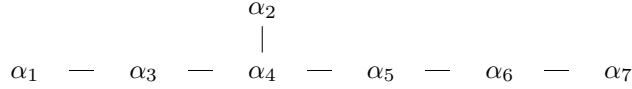


Pour les 5 premières colonnes, on retrouve un système de type D_5 , soit $4 \times 6 \times 8 \times 10 = 2^7 \times 3 \times 5$ diagrammes. En ajoutant la dernière colonne, on obtient $2^7 \times 3^4 \times 5$ diagrammes soit le cardinal du groupe de Weyl associé. On vérifie donc encore que le cardinal de \mathcal{D} (ensemble des diagrammes de Cauchon) est le même que celui de W .

6.2.4 E_7

Conventions.

On numérote les racines simple de sorte que le diagramme de Dynkin soit :



Comme les racines α_1 à α_6 forment un système de racines de type E_6 , on appelle σ , l'élément de plus grande longueur utilisé précédemment pour le type E_6 . La décomposition

$$w_0 = \sigma s_7 s_6 s_5 s_4 s_2 s_3 s_1 s_4 s_3 s_5 s_4 s_6 s_2 s_5 s_7 s_4 s_6 s_3 s_5 s_1 s_4 s_2 s_3 s_4 s_5 s_6 s_7$$

induit alors l'ordre convexe suivant sur les racines positives. Pour pouvoir stocker toutes les informations dans un tableau, on va remplacer les vecteurs par leurs coordonnées sur la base $\alpha_1, \dots, \alpha_7$ en ne mettant pas les coordonnées inutiles.

						$\alpha_1, \alpha_2, \alpha_3, \alpha_4, \alpha_5, \alpha_6, \alpha_7$
						$\beta_{37}(2, 2, 3, 4, 3, 2, 1)$
						$\beta_{38}(1, 2, 3, 4, 3, 2, 1)$
						$\beta_{39}(1, 2, 2, 4, 3, 2, 1)$
						$\beta_{40}(1, 2, 2, 3, 3, 2, 1)$
						$\beta_{41}(1, 1, 2, 3, 3, 2, 1)$
			$\alpha_1, \alpha_2, \alpha_3, \alpha_4, \alpha_5, \alpha_6$			$\beta_{42}(1, 2, 2, 3, 2, 2, 1)$
			$\beta_{21}(1, 2, 2, 3, 2, 1)$			$\beta_{43}(1, 2, 2, 3, 2, 1, 1)$
			$\beta_{22}(1, 1, 2, 3, 2, 1)$			$\beta_{44}(1, 1, 2, 3, 2, 2, 1)$
			$\beta_{23}(1, 1, 2, 2, 2, 1)$			$\beta_{45}(1, 1, 2, 3, 2, 1, 1)$
			$\beta_{24}(1, 1, 2, 2, 1, 1)$			$\beta_{46}(1, 1, 2, 2, 2, 2, 1)$
		$\alpha_2, \alpha_3, \alpha_4, \alpha_5$	$\beta_{13}(1, 1, 2, 2, 1)$	$\beta_{25}(1, 1, 1, 2, 2, 1)$		$\beta_{47}(1, 1, 2, 2, 2, 1, 1)$
	$\alpha_2, \alpha_4, \alpha_5$	$\beta_7(1, 1, 2, 1)$	$\beta_{14}(1, 1, 1, 2, 1)$	$\beta_{26}(0, 1, 1, 2, 2, 1)$		$\beta_{48}(1, 1, 1, 2, 2, 2, 1)$
α_2, α_5	$\beta_3(1, 1, 1)$	$\beta_8(1, 1, 1, 1)$	$\beta_{15}(1, 1, 1, 1, 1)$	$\beta_{27}(1, 1, 1, 2, 1, 1)$		$\beta_{49}(1, 1, 2, 2, 1, 1, 1)$
$\beta_1(1, 0)$	$\beta_4(0, 1, 1)$	$\beta_9(1, 1, 1, 0)$	$\beta_{16}(0, 1, 1, 1, 1)$	$\beta_{28}(0, 1, 1, 2, 1, 1)$		$\beta_{50}(1, 1, 1, 2, 2, 1, 1)$
$\beta_2(0, 1)$	$\beta_5(1, 1, 0)$	$\beta_{10}(0, 1, 1, 1)$	$\beta_{17}(1, 1, 1, 1, 0)$	$\beta_{29}(1, 1, 1, 1, 1, 1)$		$\beta_{51}(0, 1, 1, 2, 2, 2, 1)$
	$\beta_6(0, 1, 0)$	$\beta_{11}(0, 1, 1, 0)$	$\beta_{18}(1, 0, 1, 1, 0)$	$\beta_{30}(0, 1, 1, 1, 1, 1)$		$\beta_{52}(1, 1, 1, 2, 1, 1, 1)$
		$\beta_{12}(0, 1, 0, 0)$	$\beta_{19}(1, 0, 1, 0, 0)$	$\beta_{31}(1, 0, 1, 1, 1, 1)$		$\beta_{53}(0, 1, 1, 2, 2, 1, 1)$
			$\beta_{20}(1, 0, 0, 0, 0)$	$\beta_{32}(0, 1, 0, 1, 1, 1)$		$\beta_{54}(1, 1, 1, 1, 1, 1, 1)$
				$\beta_{33}(0, 0, 1, 1, 1, 1)$		$\beta_{55}(0, 1, 1, 2, 1, 1, 1)$
				$\beta_{34}(0, 0, 0, 1, 1, 1)$		$\beta_{56}(1, 0, 1, 1, 1, 1, 1)$
				$\beta_{35}(0, 0, 0, 0, 1, 1)$		$\beta_{57}(0, 1, 1, 1, 1, 1, 1)$
				$\beta_{36}(0, 0, 0, 0, 0, 1)$		$\beta_{58}(0, 1, 0, 1, 1, 1, 1)$
						$\beta_{59}(0, 0, 1, 1, 1, 1, 1)$
						$\beta_{60}(0, 0, 0, 1, 1, 1, 1)$
						$\beta_{61}(0, 0, 0, 0, 1, 1, 1)$
						$\beta_{62}(0, 0, 0, 0, 0, 1, 1)$
						$\beta_{63}(0, 0, 0, 0, 0, 0, 1)$

On connaît déjà la forme des diagrammes sur les 6 premières colonnes. On utilise la même méthode que pour E_6 (proposition 5.1.6) pour trouver les contraintes dans la dernière colonne de E_7 . On obtient :

Diagrammes commençant par la case :	Nombre de diagrammes
Pas de case	1
37	1
38	1
39	1
40	1
41	1
42	2
43	2
44	2
45	1
46	3
47	1
48	4
49	2
50	2
51	6
52	2
53	4
54	3
55	2
56	4
57	2
58	2
59	2
60	1
61	1
62	1
63	1
TOTAL	$56 = 2^3 \times 7$

Les diagrammes de Cauchon pour les 6 premières colonnes proviennent du cas E_6 , soit $2^7 \times 3^4 \times 5$ diagrammes. En ajoutant la dernière colonne, on a $2^{10} \times 3^4 \times 5 \times 7$ diagrammes soit le cardinal du groupe de Weyl associé. On a encore $|\mathcal{D}| = |W|$.

6.2.5 E_8

Conventions.

On numérote les racines simples de sorte que le diagramme de Dynkin soit :

$$\alpha_1 - \alpha_3 - \alpha_4 - \alpha_5 - \alpha_6 - \alpha_7 - \alpha_8$$

α_2
|

Comme les racines α_1 à α_7 forment un système de racines de type E_7 , on note σ_7 , l'élément de plus grande longueur utilisé précédemment pour le type E_7 . On vérifie que la décomposition réduite suivante

$$w_0 = \sigma_7 s_8 s_7 s_6 s_5 s_4 s_2 s_3 s_1 s_4 s_3 s_5 s_4 s_6 s_2 s_5 s_7 s_4 s_8 s_3 s_5 s_7 s_1 s_4 s_6 s_3 s_2 s_5 s_4 s_5 s_2 s_3 s_6 s_1 s_4 s_7 s_3 s_5 s_8 s_4 s_6 s_2 s_5 s_7 s_4 s_6 s_3 s_5 s_1 s_4 s_2 s_3 s_4 s_5 s_6 s_7 s_8.$$

induit l'ordre convexe suivant sur les racines positives (on ne fait apparaître ici que la dernière colonne). Dans la deuxième colonne on calcul $h'(\beta_i)$:

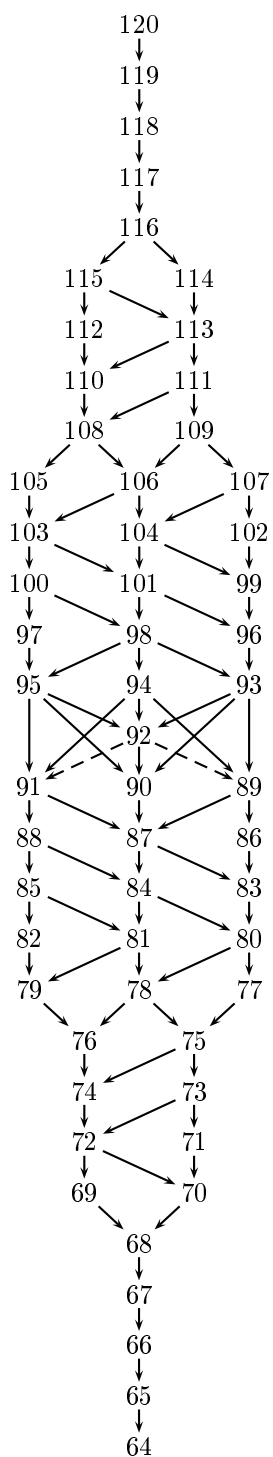
β_i	$h'(\beta_i)$	β_i	$h'(\beta_i)$
$\beta_{64}(2, 3, 4, 6, 5, 4, 3, 1)$	28	$\beta_{93}(1, 1, 2, 3, 2, 2, 2, 1)$	14
$\beta_{65}(2, 3, 4, 6, 5, 4, 2, 1)$	27	$\beta_{94}(1, 1, 2, 3, 3, 2, 1, 1)$	14
$\beta_{66}(2, 3, 4, 6, 5, 3, 2, 1)$	26	$\beta_{95}(1, 2, 2, 3, 2, 2, 1, 1)$	14
$\beta_{67}(2, 3, 4, 6, 4, 3, 2, 1)$	25	$\beta_{96}(1, 1, 2, 2, 2, 2, 2, 1)$	13
$\beta_{68}(2, 3, 4, 5, 4, 3, 2, 1)$	24	$\beta_{97}(1, 2, 2, 3, 2, 1, 1, 1)$	13
$\beta_{69}(2, 2, 4, 5, 4, 3, 2, 1)$	23	$\beta_{98}(1, 1, 2, 3, 2, 2, 1, 1)$	13
$\beta_{70}(2, 3, 3, 5, 4, 3, 2, 1)$	23	$\beta_{99}(1, 1, 1, 2, 2, 2, 2, 1)$	12
$\beta_{71}(1, 3, 3, 5, 4, 3, 2, 1)$	22	$\beta_{100}(1, 1, 2, 3, 2, 1, 1, 1)$	12
$\beta_{72}(2, 2, 3, 5, 4, 3, 2, 1)$	22	$\beta_{101}(1, 1, 2, 2, 2, 2, 1, 1)$	12
$\beta_{73}(1, 2, 3, 5, 4, 3, 2, 1)$	21	$\beta_{102}(0, 1, 1, 2, 2, 2, 2, 1)$	11
$\beta_{74}(2, 2, 3, 4, 4, 3, 2, 1)$	21	$\beta_{103}(1, 1, 2, 2, 2, 1, 1, 1)$	11
$\beta_{75}(1, 2, 3, 4, 4, 3, 2, 1)$	20	$\beta_{104}(1, 1, 1, 2, 2, 2, 1, 1)$	11
$\beta_{76}(2, 2, 3, 4, 3, 3, 2, 1)$	20	$\beta_{105}(1, 1, 2, 2, 1, 1, 1, 1)$	10
$\beta_{77}(1, 2, 2, 4, 4, 3, 2, 1)$	19	$\beta_{106}(1, 1, 1, 2, 2, 1, 1, 1)$	10
$\beta_{78}(1, 2, 3, 4, 3, 3, 2, 1)$	19	$\beta_{107}(0, 1, 1, 2, 2, 2, 1, 1)$	10
$\beta_{79}(2, 2, 3, 4, 3, 2, 2, 1)$	19	$\beta_{108}(1, 1, 1, 2, 1, 1, 1, 1)$	9
$\beta_{80}(1, 2, 2, 4, 3, 3, 2, 1)$	18	$\beta_{109}(0, 1, 1, 2, 2, 1, 1, 1)$	9
$\beta_{81}(1, 2, 3, 4, 3, 2, 2, 1)$	18	$\beta_{110}(1, 1, 1, 1, 1, 1, 1, 1)$	8
$\beta_{82}(2, 2, 3, 4, 3, 2, 1, 1)$	18	$\beta_{111}(0, 1, 1, 2, 1, 1, 1, 1)$	8
$\beta_{83}(1, 2, 2, 3, 3, 3, 2, 1)$	17	$\beta_{112}(1, 0, 1, 1, 1, 1, 1, 1)$	7
$\beta_{84}(1, 2, 2, 4, 3, 2, 2, 1)$	17	$\beta_{113}(0, 1, 1, 1, 1, 1, 1, 1)$	7
$\beta_{85}(1, 2, 3, 4, 3, 2, 1, 1)$	17	$\beta_{114}(0, 1, 0, 1, 1, 1, 1, 1)$	6
$\beta_{86}(1, 1, 2, 3, 3, 3, 2, 1)$	16	$\beta_{115}(0, 0, 1, 1, 1, 1, 1, 1)$	6
$\beta_{87}(1, 2, 2, 3, 3, 2, 2, 1)$	16	$\beta_{116}(0, 0, 0, 1, 1, 1, 1, 1)$	5
$\beta_{88}(1, 2, 2, 4, 3, 2, 1, 1)$	16	$\beta_{117}(0, 0, 0, 0, 1, 1, 1, 1)$	4
$\beta_{89}(1, 1, 2, 3, 3, 2, 2, 1)$	15	$\beta_{118}(0, 0, 0, 0, 0, 1, 1, 1)$	3
$\beta_{90}(1, 2, 2, 3, 2, 2, 2, 1)$	15	$\beta_{119}(0, 0, 0, 0, 0, 0, 1, 1)$	2
$\beta_{91}(1, 2, 2, 3, 3, 2, 1, 1)$	15	$\beta_{120}(0, 0, 0, 0, 0, 0, 0, 1)$	1
$\beta_{92}(2, 3, 4, 6, 5, 4, 3, 2)$	29/2		

On connaît déjà la forme des diagrammes sur les 7 premières colonnes. Au moyen des propositions 5.1.6, 5.1.7 et 5.1.8, on obtient les contraintes pour la dernière colonne.

En particulier, on va avoir des contraintes du type ($\mathbf{i} \Rightarrow \mathbf{j}$ ou \mathbf{k}) :

$$(92 \Rightarrow 91 \text{ ou } 90) \text{ et } (92 \Rightarrow 90 \text{ ou } 89) \text{ et } (92 \Rightarrow 91 \text{ ou } 89).$$

On note ces contraintes par des pointillés dans le graphe ci-dessous :



On utilise alors les contraintes ci-dessus pour trouver le nombre de diagrammes possibles.

Diagrammes commençant par la case :	Nombre de diagrammes	Diagrammes commençant par la case :	Nombre de diagrammes
Pas de case	1	93	5
64	1	94	3
65	1	95	6
66	1	96	8
67	1	97	8
68	1	98	4
69	1	99	12
70	2	100	3
71	2	101	6
72	2	102	16
73	1	103	3
74	3	104	8
75	1	105	5
76	4	106	4
77	2	107	7
78	2	108	3
79	7	109	3
80	2	110	4
81	3	111	2
82	11	112	5
83	5	113	2
84	4	114	2
85	6	115	2
86	9	116	1
87	6	117	1
88	5	118	1
89	4	119	1
90	12	120	1
91	6	TOTAL	
92	8		$240 = 2^4 \times 3 \times 5$

Pour les 7 premières colonnes, on retrouve un système de type E_7 , soit $2^{10} \times 3^4 \times 5$ diagrammes.

En ajoutant la dernière colonne, on dénombre $2^{10} \times 3^4 \times 5 \times 7$ diagrammes, soit le cardinal du groupe de Weyl associé.
On a, comme dans les autres cas, $|\mathcal{D}| = |W|$.

Table des matières

1	Introduction	1
2	Systèmes de racines : rappels et compléments	2
2.1	Résultats classiques sur les systèmes de racines	2
2.2	Ordre de Lusztig	3
3	L'algèbre enveloppante quantique $\mathcal{U}_q(\mathfrak{g})$	9
3.1	Rappels sur $\mathcal{U}_q(\mathfrak{g})$	9
3.2	La construction de Lusztig	10
3.3	La construction de Jantzen	12
3.4	Relations de commutation entre les X_γ dans les plans admissibles	15
3.4.1	Construction d'un troisième système de générateurs	15
3.4.2	Relations entre les E_β et les X'_β	16
3.4.3	Lien avec la construction de Jantzen	18
4	Effacement des dérivation dans $\mathcal{U}_q^+(\mathfrak{g})$	19
4.1	Notations et rappels	19
4.2	L'algorithme d'effacement	20
4.3	Le spectre premier et les diagrammes	22
5	Diagrammes de Cauchon dans $\mathcal{U}_q^+(\mathfrak{g})$	23
5.1	Contraintes dans un diagramme	23
5.2	Contraintes provenant d'un plan admissible	27
5.3	La réciproque	28
6	Forme des diagrammes pour une décomposition de w_0 particulière.	32
6.1	Le cas des familles infinies	32
6.1.1	Le cas A_n , $n \geq 1$	32
6.1.2	Le cas B_n , $n \geq 2$	33
6.1.3	C_n , $n \geq 3$	34
6.1.4	D_n , $n \geq 4$	36
6.2	Les cas exceptionnels	37
6.2.1	G_2	37
6.2.2	F_4	38
6.2.3	E_6	39
6.2.4	E_7	40
6.2.5	E_8	41

Références

- [AD08] N. Andruskiewitsch and F. Dumas. On the automorphisms of $U_q^+(\mathfrak{g})$. In *Quantum groups.*, volume 12 of *Zürich : European Mathematical Society. IRMA Lectures in Mathematics and Theoretical Physics*, pages 108–133. Enriquez, Benjamin, 2008.
- [BG02] K. A. Brown and K. R. Goodearl. *Lectures on algebraic quantum groups*. Advanced Courses in Mathematics. CRM Barcelona. Birkhäuser Verlag, Basel, 2002.
- [Bou68] N. Bourbaki. *Éléments de mathématique. Fasc. XXXIV. Groupes et algèbres de Lie. Chapitre IV : Groupes de Coxeter et systèmes de Tits. Chapitre V : Groupes engendrés par des réflexions. Chapitre VI : systèmes de racines*. Actualités Scientifiques et Industrielles, No. 1337. Hermann, Paris, 1968.
- [Cau03a] G. Cauchon. Effacement des dérivations et spectres premiers des algèbres quantiques. *J. Algebra*, 260(2) :476–518, 2003.
- [Cau03b] G. Cauchon. Spectre premier de $O_q(M_n(k))$: image canonique et séparation normale. *J. Algebra*, 260(2) :519–569, 2003.
- [CM08] G. Cauchon and A. Mériaux. Admissible diagrams and combinatoric properties of weyl groups. *preprint*, 2008.
- [DCKP95] C. De Concini, V. G. Kac, and C. Procesi. Some quantum analogues of solvable Lie groups. In *Geometry and analysis (Bombay, 1992)*, pages 41–65. Tata Inst. Fund. Res., Bombay, 1995.
- [GL98] K. R. Goodearl and E. S. Letzter. Prime and primitive spectra of multiparameter quantum affine spaces. In *Trends in ring theory (Miskolc, 1996)*, volume 22 of *CMS Conf. Proc.*, pages 39–58. Amer. Math. Soc., Providence, RI, 1998.
- [GL00] K. R. Goodearl and E. S. Letzter. The Dixmier-Moeglin equivalence in quantum coordinate rings and quantized Weyl algebras. *Trans. Amer. Math. Soc.*, 352(3) :1381–1403, 2000.
- [Gor00] M. Gorelik. The prime and the primitive spectra of a quantum Bruhat cell translate. *J. Algebra*, 227(1) :211–253, 2000.
- [Hum78] J. E. Humphreys. *Introduction to Lie algebras and representation theory*, volume 9 of *Graduate Texts in Mathematics*. Springer-Verlag, New York, 1978. Second printing, revised.
- [Jan96] J. C. Jantzen. *Lectures on quantum groups*, volume 6 of *Graduate Studies in Mathematics*. American Mathematical Society, Providence, RI, 1996.
- [Jos95] Anthony Joseph. *Quantum groups and their primitive ideals*, volume 29 of *Ergebnisse der Mathematik und ihrer Grenzgebiete (3) [Results in Mathematics and Related Areas (3)]*. Springer-Verlag, Berlin, 1995.
- [Lau07a] S. Launois. On the automorphism groups of q-enveloping algebras of nilpotent lie algebras. *ED.CIM*, 28 :125, 2007.
- [Lau07b] S. Launois. Primitive ideals and automorphism group of $U_q^+(B_2)$. *J. Algebra Appl.*, 6(1) :21–47, 2007.
- [Lit98] P. Littelmann. Cones, crystals, and patterns. *Transform. Groups*, 3(2) :145–179, 1998.
- [LLR06] S. Launois, T. H. Lenagan, and L. Rigal. Quantum unique factorisation domains. *J. London Math. Soc.* (2), 74(2) :321–340, 2006.
- [LS91] S. Levendorskiĭ and Y. Soibelman. Algebras of functions on compact quantum groups, Schubert cells and quantum tori. *Comm. Math. Phys.*, 139(1) :141–170, 1991.
- [Lus90a] G. Lusztig. Finite-dimensional Hopf algebras arising from quantized universal enveloping algebra. *J. Amer. Math. Soc.*, 3(1) :257–296, 1990.
- [Lus90b] G. Lusztig. Finite-dimensional Hopf algebras arising from quantized universal enveloping algebra. *J. Amer. Math. Soc.*, 3(1) :257–296, 1990.
- [Lus90c] G. Lusztig. Quantum groups at roots of 1. *Geom. Dedicata*, 35(1-3) :89–113, 1990.
- [Lus93] G. Lusztig. *Introduction to quantum groups*, volume 110 of *Progress in Mathematics*. Birkhäuser Boston Inc., Boston, MA, 1993.
- [MR04] R. J. Marsh and K. Rietsch. Parametrizations of flag varieties. *Represent. Theory*, 8 :212–242 (electronic), 2004.
- [Mér08] A. Mériaux. Les diagrammes de cauchon pour $U_q^+(\mathfrak{g})$. 2008. <http://arxiv.org/abs/0807.1012>.
- [Pap94] P. Papi. A characterization of a special ordering in a root system. *Proc. Amer. Math. Soc.*, 120(3) :661–665, 1994.
- [Pos06] A. Postnikov. Total positivity, grassmannians, and networks. 2006. <http://www.citebase.org/abstract?id=oai:arXiv.org:math/0609764>.